

GEOLOGICKÉ PRÁCE



ZPRÁVY 15

GEOLOGICKÝ ÚSTAV DIONÝZA ŠTÚRA

BRATISLAVA 1959

AB19/b,



577/1959

OBSAH

1. Maheľ M.: Stratigrafické problémy obalovej série Malých Karpát	5
2. Bystrický J.: Príspevok k stratigrafii Slovenského krasu	19
3. Kantor J.: Príspevok k poznaniu veku niektorých žúl a pegmatitov žluticko-teplského kryštalinika A/K ⁴⁰ metódou	27
4. Kubíny D.: Poznámky o tektonickom postavení a veku „hrončockej“ žulovej intrúzie	33
5. Čillík I. — Sobolič P. — Žákovský R.: Niekoľko poznámok k tektonike pězinskopernického kryštalinika	43
6. Krach W. — Kučiński T.: Neogén južného Poľska a príslahlých území	65
7. Janáček J.: K otáze stáří a vzniku pozdišovské štěrkové formace v Potiské nížině na východním Slovensku	79
8. Janáček J.: Poznámky k hydrogeologii hlubinných vod našich mladých pánví	91
9. Janák J.: Úloha iontové rovnováhy při tvorbě a metamorfóze přírodních vod v sedimentárních oblastech	107
10. Spička V.: Příspěvek k problému stanovení hranice torton—helvet v čs. části Vídeňské pánve	139
11. Ivan L.: Zpráva o geologickom mapovaní terciéru východne od rieky Slanej	145
12. Ďurkovič T.: Výskyt problematika „Zoophycus“ v menilitových vrstvách	151
13. Jarkovský J. — Číčel B.: Jarozit z Banskej Belej	155
14. Borza K. — Martiny E. — Pospišil A.: Zpráva o výskume „červenozeme“ z oblasti Brezovského pohoria	169
15. Ončáková P.: Vulkanické sklá a ich použitie v stavebnictve	175

INHALT

1. Maheil M.: Stratigraphische Probleme der Hüllenserie in den Kleinen Karpaten	5
2. Bystrický J.: Beitrag zur Stratigraphie des Gebirges Slovenský kras	19
3. Kantor J.: Beitrag zur Kenntnis des Alters einiger Granite und Pegmatite des Žlutice—Tepláer Kristallinikums in NW Böhmen auf Grund der A/K ⁴⁰ -Methode	27
4. Kubíny D.: Anmerkungen über die tektonische Stellung und Alter der Granit-Intrusion im Gebiete „Hrončok“	33
5. Čillík I.—Sobolič P.—Žákovský R.: Einige Bemerkungen zur Tektonik des Kristallinikums bei Pezinok—Pernek	43
6. Krach W.—Kuciński T.: Neogen Südpolens und der anliegenden Gebiete	65
7. Janáček J.: Zur Frage des Alters der Pozdišovcer Schotterformation in der Theistiefelbene der Ostslowakei	79
8. Janáček J.: Anmerkungen zur Hydrogeologie der Tiefwasser unserer jungen Becken	91
9. Janák J.: Aufgabe des Ionengleichgewichtes bei Bildung und Metamorphose von Naturwässern in den Sedimentationsgebieten	107
10. Špička V.: Beitrag zur Festlegung der Torton—Helvetgrenze in dem Tschechoslowakischen Teil des Wiener Beckens	139
11. Ivan L.: Bericht über die geologische Kartierung des Tertiärs östlich vom Flusse Slaná	145
12. Ďurkovič T.: Das Vorkommen von Zoophycus-Problematikum in den meniliten Schichten	151
13. Jarkovský J.—Číčel B.: Jarosit aus Banská Belá	155
14. Borza K.—Martíny E.—Pospíšil A.: Bericht über die Untersuchung der Roterde aus dem Gebirge Brezovské pohorie	169
15. Ončáková P.: Vulkanisches Glas und seine Verwendung in der Bauindustrie	175

MICHAL MAHEL

STRATIGRAFICKÉ PROBLÉMY OBALOVEJ SÉRIE MALÝCH KARPÁT

(Nemecké resumé)

Malé Karpaty predstavujú najzápadnejšie jadrové pohorie Centrálnych západných Karpát, rozložené v susedstve Východných Álp. Ich obalová séria hrá teda dôležitú úlohu pri riešení vzťahu oboch pásmových pohorí, ale i pri riešení otázky genézy samotného centrálneho pásma. Stratigrafia tejto série je zatiaľ pomerne málo rozpracovaná. Beck a Vettters (1904), ktorí ju prví odčlenili od subtatranských sérií, rozlíšili v nej v podstate len tri členy: Permské bazálne súvrstvie kremencov, pieskovcov a arkóz; liasový ballensteinský vápenec s krinooidovými vápencami a pieskovcami, a napokon toarské — mariatalské bridlice s vložkami vápencov. U posledných pripúšťajú i mladší, doggerský vek.

Neskoršie Koutek a Zoubek (1936) rozširujú stratigrafickú škálu tejto série o ďalšie členy. V nadloží súvrstvia kremencov a arkóz, ktorým pripisujú už spodnotriásový vek, odlišili verfénске vrstvy. Súvrstvie pajštúnskych vápencov (= Ballensteinkalk) členia na strednotriásové vápence a dolomity, liasové vápenkové brekcie, tmavé vápence, piesčité a bridličnaté vápence. V nadloží mariatalských bridlíc nachádzajú ako nové členy: svetlé celistvé a radiolariové vápence, asi vrchnojurské a pravdepodobne neokomské sliene a slienité vápence.

Andrusov (1946) prijíma v zásade stratigrafiu Koutkova a Zoubku. V súvrství borinských vápencov (pajštúnskych* = Ballensteinkalk) vedľa strednotriásových vápencov a dolomitov a spodnoliasových dolomiticko-vápenkových brekcií odlišuje ešte i grestenské vrstvy.

Mahel (1953) poukazuje na základe štúdií v južnej časti pohoria na neopodstatnenosť začleňovania borinských vápencov do stredného triasu a prináša ďalšie nálezy belemnitov v tomto súvrství, svedčiace o správnosti staršieho Beckovho a Vetttersovho názoru o ich liasovej príslušnosti. Vápenkové brekcie

* Zmeny názvu vápencov sú v dôsledku zmeny názvu dediny Borinka.

nie sú podľa neho osobitným stratigrafickým členom, ale predstavujú okrajovú pribrežnú fáciu. Množstvo valúnov kryštalínika v brekciách, charakter borinských vápencov a „vklňovanie“ vápencov do kryštalínika miestami v okrajovej časti ich rozšírenia svedčia o transgresívnom charaktere liasu, na niektorých miestach priamo na kryštalíniku i o silnej členitosti podkladu. Kremenc a pieskovce rozložené uprostred súvrstvia vápencov považuje M a h e l za liasové a vyzdvihuje veľkú faciálnu pestrosť tohto súvrstvia i nepravidelné rozloženie jednotlivých hornín. V nadloží mariatských bridlíc toarského veku uvádzajú rohovcové vápence a nad nimi tenkolavicovité vápence s hľuzami rohovcov, ktoré na základe analógie s obalovou sériou Inovca a maďarskou sériou považuje za neokom.

C a m b e l (1954) sa zaoberal najmä postavením a petrografickou povahou kremencov a zhodne so staršími názormi poukazuje na prítomnosť liasových kremencov, ktoré sa však nápadne líšia od spodnotriasových prítomnostou vápnitého tmelu.

P o l á k (1957) podáva petrografickú charakteristiku mariatských bridlíc na základe detailných štúdií v okolí Borinky. Manganorudné zrudnenie v tomto súvrství považuje za syngeneticke, viazané na lavice a pretiahnuté šošovky.

Napriek prínosu spomenutých prác zostávali v stratigrafii obalovej série Malých Karpát mnohé problémy nevyriešené. Väčšina z nich ani nemohla byť vyriesená, lebo vlastne okrem práce Becka a Vettlersa týkali sa všetky ostatné len malej, južnej časti pohoria, kym podstatnú časť pohoria od dôb Becka a Vettlersa nikto neštudoval. Hlavné problémy, ktoré nastolili práce z posledných rokov sú: 1. dvojaký typ kremencov, ich stratigrafické postavenie a možnosti odlišenia, 2. postavenie borinských vápencov, 3. postavenie mariatských bridlíc, 4. stratigrafia poliasových členov.

V roku 1957 vykonal som so svojimi spolupracovníkmi štúdiá obalovej série v súvislosti s vyhotovovaním mapy územia Malých Karpát, úsek Pernek – Smolenice, v merítku 1 : 50.000 a 1 : 25.000 a doplňujúce orientačné štúdiá v južnej časti pohoria. Na základe týchto štúdií, doplnených sedimentárne petrografickým štúdiom A. Salonta y o v e j podarilo sa mi získať celý rad nových poznatkov, ktoré umožňujú riešiť, prípadne aspoň čiastočne objasniť niektoré problémy.

Otzážka kremencov

Už od dôb Becka a Vettlersa sú nám známe kremence, kremité pieskovce, arkózy a kremité zlepence ako bazálny člen obalovej série. Okrem nich sa uvádzajú uprostred borinských vápencov pieskovce, niekde viac, inde menej vápnité (analogické pizanským pieskovcom z Vysokých Tatier). M a h e l (1953) poukázal na značný rozsah týchto hornín a na ich prechod do kremencov, pripomínajúcich vzhľadom spodnotriasové. Podľa náhleho prechodu oboch typov hornín do borinských vápencov usúdil, že pieskovce i kremence uprostred masy borin-

ských vápencov predstavujú všade normálne stratigrafické polohy a sú teda liasové. Prítomnosť pieskovcov a kremencových hornín uprostred borinských vápencov zdôvodňuje i Cambel (1954); na základe petrografického rozboru dochádza k záveru, že kremence s kremitým tmelom sú spodnotriásové, kremence a pieskovce s vápnitým tmelom liasové. Moje orientačné štúdiá z posledných čias svedčia o pravdepodobnosti Cambelova názoru. Treba však ešte dodať, že liasové pieskovce majú časté vložky tmavých slieňov, čím sa podstatne líšia od spodnotriásových.

Niet teda pochybnosti o tom, že kremence (v spodnejších polohách často arkózovité), ktoré ležia priamo na kryštalíniku a vytvárajú bázu obalovej série, sú spodnotriásové. Také sú i kremence doprevádzajúce antiklinálny pruh kryštalínika, vynorený tektonicky uprostred liasového súvrstvia západne od Borinského potoka. Problematickejší je však výskyt kremencov obyčajne šošovkovitých, doprevádzaných západne od doliny Propadlé liasovými pieskovcami. Ich petrografický charakter nasvedčuje tomu, že ide predsa o člena spodnotriásového, azda práve o pokračovanie spomínaného antiklinálneho prahu kryštalínika. Tieto kremence poskytli pravdepodobne i materiál rozsiahlym až niekoľko m^3 veľkým balvanom bazálneho tortónu, transportovaným na malú vzdialenosť.

Pieskovce liasu sú však obmedzené len na južnú časť Malých Karpát spolu s borinskými vápencami. Severnejšie od Perneku sme ich nenašli.

Postavenie borinských (= pajštúnskych) vápencov

Vývinom tmavošedých i šedých vápencov s polohami brekciavitých vápencov, slieňov, dolomitov a vápnitých pieskovcov nemajú borinské vápence obdobu v Západných Karpatoch. Sú teda špecifickým členom obalovej série Malých Karpát. Beck a Vettters potvrdili podľa nálezu skamenelin, hlavne belemnítov a brachyopídov, ich liasový vek už predtým vyslovený Štúrom (1860). Československí geológovia (Koutecký - Zoubek 1936, Andrusov 1946) opierali sa pri stratigrafickom začleňovaní o analógiu s mezozoickými sériami iných jadrových pohorí. Na základe výskytu dolomitov uprostred súvrstvia borinských vápencov, neznámych v členoch mladších ako vrchný trias, začlenili podstatnú časť súvrstvia k strednému triasu. Vychádzali pritom i z poznatkov, že stredný trias je všade v obalových sériach vyvinutý a považovali jeho neprítomnosť, ako to tvrdili Beck a Vettters, za nepravdepodobnú. Belemnity sú podľa nich prítomné v brekciavitých vápencoch liasu, slienité súvrstvia a pieskovce sú zas súčasťou vyššieho člena, grestenských vrstiev.

Naše štúdia však jednoznačne potvrdzujú príslušnosť uvedených hornín k jednotnému stratigrafickému komplexu. Ďalšie nálezy belemnítov v stupavskom lome, v skalných odkryvoch asi 100 m západne od skaly Borinského hradu v celistvých vápencoch s polohami dolomitov i brekciavitých vápencov, až vápencových brekcií,

potvrdzujú názor o liasovom veku súvrstvia. Belemnity z posledne uvedenej lokality boli určené G. K r y m h o I c o m z Leningradu ako: *Passaloteuthis* sp. a *Mesoteuthis* sp. Prvý rod má stratigrafické rozpätie pliensbach až toark, druhý dommer až aalen.

Tzv. grestenské vrstvy, t. j. súvrstvie slieňov, slienitých vápencov a slienitých bridlíc s polohami celistvých tmavosivých krinoidových piesčitých vápencov i vápnitých pieskovcov, líšia sa svojím charakterom od fácie opísanej v krížanskej sérii pod týmto názvom, a to najmä väčším podielom slieňov a slienitých vápencov. Celkom iná je fácia grestenských vrstiev Východných Álp. Toto súvrstvie vystupuje v južnej časti pohoria, prevažne vo vyšších polohách komplexu borinských vápencov, teda v podloží mariatalských bridlíc. Miestami sa nájde v šošovkách, inde v hrubších masách i uprostred spodnejších vápencových komplexov.

Fácia borinských vápencov smerom na sever sa mení. Masívne vápence nahradzujú tmavošedé lavicovité až doskovité vápence, často s hľuzami tmavých rohovcov; miestami majú tenšie, inde hrubšie polohy slienitých bridlíc a tmavošedých slieňov. I krinoidové vápence vystupujú v tenších lavičkách, prípadne v doskách. Brekciiovité vápence i pieskovce chýbajú. Možno preto povedať, že vývin liasového súvrstvia v strednej časti Malých Karpát severne od Kuchyne nie je litorálny, ale otvoreného mora.

Názor Koutka a Zoubka a Andrusova o nepravdepodobnosti neprítomnosti stredného triasu bol správny, lenže tento člen nezastupujú borinské vápence s nepravidelnými polohami tmavých dolomitov, ale súvrstvie svetlošeďich dolomitov zistených v strednej časti pohoria v podloží opisaného liasového súvrstvia.

Postavenie mariatalských bridlíc

Petrografický charakter mariatalských bridlíc je už dávno známy. Tmavosivé až čierne bridlice majú vložky jemnozrnných čiernych vápencov i hruboziernnych krinoidových vápencov, čiastočne piesčitých. Známy je i toársky vek tohto súvrstvia, určený na základe pomerne bohatých nálezov z jedinej lokality pri Marianke (Schaffer 1899). Je však tiež známe, že i uprostred súvrstvia borinských vápencov sú polohy bridlíc a slieňov svojím charakterom podobné mariatalským bridliciam. Je teda na mieste otázka, či mariatalské bridlice predstavujú súvislý stratigrafický horizont, alebo či ide len o liasovú subfáciu. Posledný názor zastáva Polák (1957) na základe detailných štúdií v okolí Borinky.

Doterajšie naše poznatky a najmä nedostatok rozsiahlejších sedimentárno-petrografických štúdií i skamenelin neumožňujú nám v tom smere zaujať jednoznačné stanovisko. Podľa terénneho výskumu prikláňam sa skôr k názoru o stratigrafickej pozícii mariatalských bridlíc. Na rozdiel od bridličnatých súvrství rozložených uprostred borinských vápencov majú mariatalské bridlice vcelku menší podiel CaCO_3 , jemnejšiu štiepatelnosť s lupienkovitým rozpadom a výraznejší perleťový

lesk. I podiel vápencových polôh je v nich menší. To pravda neznamená, že azda na niektorých miestach nemôžu byť petrograficky zhodné s bridličnatými polohami borinských vápencov.

Pri geologickom mapovaní sme vymedzili pruh mariatalských bridlíc pozdĺž celého pohoria Malých Karpát a práve to ma vedie k názoru o ich stratigrafickej stálosti. Pravda, najspolahlivejšie dôkazy, a to ďalšie lokality skamenelín, chýbajú.

Stratigrafia predstrednojurských členov obalovej série

Po riešení uvedených problémov možno doplniť stratigrafiu starších členov obalovej série Malých Karpát. Najspodnejším členom sú spodnotriásové kremence s polohami arkózovitých kremencov až arkóz. V ich nadloží je miestami tenšia poloha kremítých bridlíc, ktorá sa morfologicky prejavuje depresívnym pruhom, rozloženým medzi kremencami a mladšími súvrstviami obalovej série. Takýto pruh, morfologicky zvlášť výrazný možno pozorovať severozápadne od Doľan na svahoch Kločiny a Zrkadiska. Na pravej päte Doľanskej (ompitálskej) doliny v umelých odkryvoch, robených pri zachytávaní prameňov, zistili sa červené ilovité bridličky s polohami žltohnedých buňkovitých vápencov. Červené, zelenosivé a tmavosivé bridlice vystupujú v hlbokých zárezoch lesnej cesty pri západnej päte Zrkadiska. Toto súvrstvie predstavuje verféniske vrstvy známe doteraz z južných častí Malých Karpát (Koutecký - Zoubek 1936, Cambel 1954).

Celkom novým je zistenie stredného triasu vo vývine dolomitov. Stredný triás sice bol opísaný z obalovej série (Koutecký - Zoubek 1936, Andrusov 1949, Cambel 1954), zaraďovali sa však k nemu komplexy vápencov s polohami dolomitov, patriacich bezpečne k liasu. V podloží liasových súvrství v severnejšej časti kryštalického jadra Malých Karpát našli sa hrubšie polohy dolomitov, a to na severnom svahu Klokočiny (južne od Rybárne) a pri Horných Orešanoch. Ide v podstate o sivé až bielosivé horniny s typickým dolomitickým rozpadom. Len miestami majú tmavšie sfarbenie. Nájdú sa aj polohy hrubo lavičovité i sivé hrubozrnné kryštalické dolomity. V súvislosti 90 m dlhom odkryve na južnej strane hradskej na SV od Horných Orešian možno pozorovať lavičovité dolomity o mocnosti lavíc 15 - 60 cm, detailne zvrásnené v klukaté vrásy so sklonom osných rovín 45 - 50° na SZ. Svojím charakterom sa opisované dolomity ničím nelisia od triásových dolomitov subtatranských jednotiek. Ich poloha v nadloží spodného triasu a v podloží liasového súvrstvia určuje sice zhruba ich stratigrafickú príslušnosť, nie je však jasné, či ide o stredný alebo vrchný trias. Treba ešte poznamenať, že dolomity sú oveľa svetlejšie ako vložky dolomitov, ktoré vystupujú uprostred liasových borinských vápencov.

S podný a stredný lias je vyvinutý v dvoch fáciach. V južnejšej fácii majú v spodnejších polohách prevahu tmavosivé a sivé masívne vápence s nepravidelnými polohami tmavosivých dolomitov, brekciavitých vápencov a polymik-

ných zlepencov a brekcií. Posledné typy hornín sú častejšie v okrajovej časti pri styku s kryštalínikom. Charakteristickým členom opisovaného vývinu sú i vápnité pieskovce až kremence. Tmavosivé slienité vápence a bridlice tvoria len nepravidelné vložky. Avšak vo vrchnej časti opisovaného súvrstvia vytvárajú práve tieto horniny podstatnú masu súvrstvia a celistvé i krinoidové vápence i pieskovce tvoria uprostred nich len podradnejšie polohy. Tento vrchný oddiel bol predtým opísaný ako grestenské vrstvy. Južná fácia liasu je vyvinutá v južnej časti pohoria až ku Kuchyni. Severnejšie je však druhá fácia s nedostatkom masívnych vápencov borinského typu i brekciovitých vápencov, kremencov a pieskovcov. Základnou horninou sú tmavošedé doskovité vápence s častými hľuzami tmavých rohovcov. Vápence majú obyčajne svetlosivý povrch a vykazujú zvrstvenú textúru. Rohovce uprostred nich vytvárajú miestami lavičky až 2 cm hrubé. Na niektorých miestach, najmä v sprievode slieňovcov vystupujú i polohy doskovitých krinoidových vápencov. Slieňovce i slienité vápence sú uprostred tohto súvrstvia veľmi časté a tvoria i desiatky metrov hrubé polohy; majú často bridličnatú a lupienkovitú odlučnosť. Veľký podiel slieňovcov a slienitých vápencov a doskovitosť (len zriedka sú lavicovité) zapríčinuje miernejší morfologický ráz terénu ako u fácie borínskej. Skalné odkryvy sú ojedinelé a zriedkavo sa vyskytujú i menšie (skalné) výstupky. Mikroskopicky majú vápence mikrokryštalickú štruktúru často s grafitickou prímesou. Mikrokryštalickú hmotu rohovcov tvorí karbonát a chalcedón. Kremitá hmota vytvára hľozy v hmote karbonatickej. Krinoidové vápence majú mikroskopicky organogénnu štruktúru s prevahou článkov echinodermatov. Z klastík je prítomný kremeň, ako autigénne minerály kremeň a pyrit; sekundárny je limonit. Žilky vyplňuje hydrotermálny kremeň a turmalín.

Najvyšším členom liasu sú mariatalské bridlice, ktoré majú po celej dĺžke pohoria rovnaký petrografický charakter s charakteristickým jemne lupienkovitým rozpadom bridličiek. Uprostred bridlíc a slieňovcov nájdú sa tmavošedé celistvé vápence i hrubožrnné vápence v doskách 3–15 cm hrubých. Súvislý pruh tohto súvrstvia v severnej časti pohoria oddeluje liasové súvrstvie od nadložného doggeru.

Pri lokalite Solírov západne od Dolan vystupujú v podloží i v nadloží mariatalských bridlíc lavice zlepencov. Ich valúny majú subangulárny i angulárny tvar, sú pomerne dobre opracované a stmelené vápencom. Valúny obsahujú tmavosivé rohovce a liasové vápence, zriedkavejšie i kremence a báziká. Valúny sú rôznej veľkosti, od veľkosti hrachu po detskú päst.

Mladšie členy obalovej série

Mladšie členy ako mariatalské bridlice uvádzali už Koutek a Zoubek, ktorí za také považujú súvrstvie svetlošedých celistvých vápencov, v spodných polohách masívnych, vo vrchnejších vrstevnatých až bridličnatých so šošovkami

rohovcov. Ďalším mladším členom je súvrstvie slieňov perleťovej farby a bridličnatých vápencov. O prvom súdili, že ide o vrchnú juru, o druhom zase neokom. M a h e l považuje rohovcové vápence za vrchnejourské a svetlošedé tenkolavicovité vápence s hľuzami a polohami rohovcov za neokomské.

Južná časť pohoria, pravda, neposkytovala vhodný terén pre štúdium mladších útvarov. Všetky mladšie členy vystupujú totiž až severne od Kuchyne, kde bolo možné stanoviť presnejšie stratigrafiu poliasových členov. Už kartograficky bolo možné vyčleniť dogger — spodnomalmské tmavošedé vápence a rohovce, svetlošedé vrchnomalmské vápence, masívne krinoidové aptske a slienito-pieskovcové alb-cenomanské súvrstvie.

Dogger-spodný malm. V nadloží mariatalských bridlíc vystupujú doskovité sivé až tmavosivé vápence so svetlou patinou. Sú celistvé i drobnozrnné, najčastejšie ich prestupujú hľuzy tmavých rohovcov. Podiel rohovcov smerom do nadložia sa nápadne zväčšuje, takže vo vrchných častiach súvrstvia vytvárajú i súvislejšie polohy. Vápence sú obyčajne doskovité, o hrúbke najčastejšie 10—12 cm a sú prestúpené kalcitovými žilkami.

Petrograficky sa vcelku zhodujú s liasovým súvrstvím severného vývinu. Len viac-menej súvislá poloha mariatalských bridlíc umožnila kartografické vymedzenie oboch súvrství. Miestami sú uprostred vápencov polohy bridličnatých slieňovcov, prípadne slienitých i krinoidových vápencov. Hrubšie polohy sivých krinoidových vápencov sú na severovýchodnom svahu Rybníkárky. V odkryve 8 m dlhom a 130 cm vysokom sú stredno až hrubozrnné vápence s kalcitickými žilkami a s nepravidelnou kusovitou odlučnosťou. Našli sa v nich lamelibranchiaty, ktoré Kochanová určila ako:

Chlamys cf. *ambigua* Müns t.

Arcomya sp?

Na severnej päte Holého vrchu pri poľnej ceste pod lesom našli M. Peržel a V. Viskup balvan s množstvom lamelibranchiatov, z ktorých sa podarilo M. Kochanovej určiť:

Modiola gregaria Goldf.

Pinna cf. *opalina* Quens t.

Oxytoma cf. *inaequivalvis* Sow.

Oxytoma münsteri (Goldf.)

Lima cf. *lycetti* Laub e

Lima (*Plagiostoma*) *anonii* Merian

Placunopsis cf. *oblonga* Laub e

Ostrea sp.

Gryphaea cf. *sublobata* Be sh.

Tancredia cf. *dionvillensis* Ter q.

Tancredia cf. *donaciformis* Ag.

- Astarte cf. modiolaris* Lamarck
Pleuromya aff. alduinii Brong.
Pleuromya cf. decurtata Goldf.
Pleuromya sp.
Pholadomya murchisoni Sow.
Tharcia sp. Nr. 1 Schmidt lill

Vo vrchnejších častiach opisovaného súvrstvia prevládajú zväčša doskovité, sivé až tmavosivé rohovce a rohovcové vápence. Smerom do nadložia stávajú sa rohovcové vápence svetlejšie, miestami hnadosivé i žltkasté. Obsahujú hojné radiolality; nájdú sa i kusy s červenkastým nádyhom, najmä na južnom svahu Poraja a v oblasti Kuchyne. Vrchné polohy vápencov predstavujú pravdepodobne spodný malm.

Vrchný malm — titón

Vývin vrchného malmu — titónu je v Malých Karpatoch podobný ako v oblových sériach. Sú to doskovité vápence, len miestami slaboslienité, o hrúbke dosiek 5—10 cm. Vápence majú výraznú bielu patinu a sú prestúpené miestami viac, inde menej hľuzami tmavosivých až čiernych, niekde sivohnedých rohovcov s kalcitovými žilkami. Výbrusový materiál z niekoľkých miest, a to z najvrchnejších polôh, vykazuje kalpionelovo-globochetovú mikrofáciu s *Calpionella alpina* Lorenz. Titónske vápence majú hrúbkou 10—50 m a morfologicky vytvárajú výrazný pruh.

Pri Sklenej Huti v podloží opísaných titónskych vápencov sú 4—6 m hrubé sivé slienité doskovité vápence bez rohovcov s globochetami a lombardiami. Obdobnú mikrofáciu, poukazujúcu na kimeridž (Misič 1958), konštatuje A. Salonta y ová i v masívnych sivých až bielosivých vápencoch rozložených v podloží titónu a v nadloží tmavých rohovcových vápencov južne od Vysokej.

Apt. V nadloží titónskych vápencov v strednej časti Malých Karpát vystupujú masívne vápence, miestami s doskovitými polohami. Sú sivé, vo vrchných polohách tmavosivé. V spodných polohách sú vápence jemnozrnné až celistvé s bielou patinou, s polohami hrubozařejšími, pripomínajúcimi titónske vápence. Na povrchu však majú stopy po organizmoch. Na niektorých miestach sú tieto vápence brekcievité, prípadne pseudohľuznaté, len ojedinele majú doštičky krinoidov. Podstatnú masu súvrstvia tvoria hrubozařenné vápence, často tmavosivé s hojnosťou tmavých rohovcov. Detritickým charakterom a značným podielom krinoidov pripomínajú tieto vápence lias. Rohovce tvoria hniezda, prípadne nepravidelné polohy. Vo vápencoch je často klastická prímes tvorená z úlomkov slienitých vápencov a z bieleho kremeňa. Zvetrávaním kremeňa vznikajú na povrchu ostrohranné hrbolce. Takejto klastickej prímesi je niekde viac, inde menej. Mikroskopické štúdiá A. Salonta yovej ukazujú, že ide o vápence gravelovej mikrokryštalickej klastickej štruktúry s článkami echinodermát a úlomkami ma-

choviek a solenopór. (Prítomné sú i klastické a autigénne zrná kremeňa.) Hluzy rohovcov vykazujú prítomnosť radiolárií a húb. Výskyt orbitolín poukazuje na apský vek vápencov. Z makrofauny sa našli drobné belemnity a exogýry, zatiaľ neurčené. Dôležitým poznatkom A. Salonta y o v e j je zistenie väčších úlomkov vápencov obsahujúcich globochety a titónske kalpionely. To potvrdzuje existenciu hiátu medzi usadením apských a podložných titónskych vápencov, i keď ich styk budí na niektorých miestach dojem zdanlivého prechodu.

Alb-cenoman

Najvrchnejším členom obalovej série Malých Karpát je súvrstvie ílovcov s polohami pieskovcov a piesčitých vápencov. Podstatnú časť súvrstvia tvoria vápnité ílovce sivozelenkastej farby s tenkodoštičkovitým až lupienkovitým rozpadom. Zvetrávajú do sivohneda. Uprostred nich sú polohy piesčitého vápenca a šedomodrých vápnitých pieskovcov zvetrávajúcich do hrázavošeda. Hrúbka lavíc vápencov i pieskovcov je 2—15 cm. Na východnom svahu dolinky medzi vrchami Sovina a Krč, juhozápadne od kóty 408, vystupujú uprostred ílovcov sivomodré piesčité vápence a vložky zlepencov. Valúny zlepencov dosahujú veľkosť hrachu až ľudskej päste. Sú subangulárne, až zaoblené. Materiál valúnov tvoria tmavosivé i svetlosivé celistvé vápence, vápence s hniedastým nádyhom, tmavosivé až čierne rohovce s kalcitovými žilkami, kremence, bazikum a chloritické bridlice.

V južnej časti Malých Karpát majú najmladšie členy obalovej série odlišnejší vývin. Predovšetkým nebola tu konštatovaná osobitná poloha apských vápencov. Zato uprostred súvrstvia vápnitých ílovcov sú slieňovce a tmavošedé, čiastočne slienité vápence. Vápence sa prejavujú i morfologicky a vytvárajú súvislejšie pruhy. Sú šedé, prestúpené tmavými rohovcami. Rozmiestnené sú hlavne v spodnej časti súvrstvia, vo vrchnej časti uprostred ílovcov sú polohy tmavošedých vápnitých pieskovcov. Zvlášť hrubé súvrstvie alb-cenomanu je vyvinuté východne od Vysokej. I tu uprostred bridličnato-pieskovcového vývinu sú polohy masívnych bielosivých vápencov, tvoriacich výrazné skaliská. Vápence sú poprerastané hrubými kalcitovými žilkami a uprostred nich sú i polohy doskovitých i zbridličnatejších, čiastočne slienitých vápencov. V niektorých polohách sú viac, inde menej poprerastané tmavými rohovcami nepravidelne rozloženými. Mikroskopickým štúdiom sa však nepodarilo zistiť nijakú významnú mikrofaunu.

Pozoruhodné sú výsledky mikropaleontologických štúdií ílovcov opisovaného súvrstvia. Vzorky z oblasti Kuchyná, a to zo spodných polôh vykazujú podľa J. Salaja prítomnosť *Thalmaninella ticiensis* (G a n d o l f i); vo vrchných polohách súvrstvia sa našli *Rotalipora cf. appenninica* (R e n z) a *Thalmanninella ticiensis* (G a n d o l f i); vzorky od Sklenej hutu vykazujú *Thalmaninella ticiensis* (G a n d o l f i) a *Glomospira* sp.; od Solírova zo spodných polôh *Thalma-*

ninella tycinensis (G a n d o l f i); z vrchných polôh *Rotalipora cf. appenninica* (R e n z) *Anomalina complanata* R e u s s.

Mikrofauna ukazuje, že spodná časť súvrstvia zodpovedá vrchnému albu, vrchná spodnému cenomanu.

Ako vidieť vykazuje obalová séria Malých Karpát v období spodnej kriedy dva veľké stratigrafické hiáty, a to medzi titónom a aptom a medzi aptom a vrchným albom. Zdá sa, že tu nejde o zjav špecifický pre Malé Karpaty, lebo takéto dva hiáty sme zistili s A. S a l o n t a y o v o u i v manínskej sérii pri Trenčianskej Teplej.

V obalových sériach Inovca, Suchého a Malej Magury je len jeden hiát, ale väčší, medzi titónom a vrchným albom. Apt totiž v týchto sériach nie je vyvinutý.

*

Stratigrafické štúdiá iste prinesú v budúcnosti veľa doplňujúcich poznatkov, avšak už z terajších poznatkov o stratigrafii obalovej série Malých Karpát možno posúdiť jej vzťah k ostatným obalovým sériám Záp. Karpát i k obalovej sérii centrálneho pásma blízkych Východných Álp, k tzv. sérii Semeringu.

Pri porovnávaní jednotlivých členov obalovej série Malých Karpát s ostatnými tatridnými sériami zistujeme, že väčšina jej členov má vývin osobitný, inde neznámy. Platí to najmä o triase, liase a čiastočne i o doggere a spodnom malme. Stredný a vrchný trias vyznačuje sa nedostatkom vápencov a rudimentárnym vývinom týchto členov. Dolomity, azda strednotriásové, sú pre tatridnú sériu neobvykle svetlé. Zvlášť špecifický je vývin liasu borinských vápencov i mariatalských bridlíc. Severnému malokarpatskému vývinu liasu sa podobá jeho vývin v obalovej sérii Inovca. Dogger-spodný malm je osobitný len do určitej miery. Jeho základné horniny, a to tmavé rohovce a tmavošedé vápence sa vyskytujú často i v obalovej sérii Inovca i Suchého a Malej Magury. Vývin kimeridž-titónskeho súvrstvia je v obalových sériach rozšírený. Je to člen charakteristický pre väčšinu tatridných sérií (M a h e l 1957). Apt má vývin osobitný, odlišný hlavne značným podielom krinoidov a klastík. Najvyšší člen, súvrstvie ľovcov s polohami piesčitých vápencov a vápnitých pieskovcov je zaujímavý tým, že zastupuje nielen alb, a to vrchný, ale aj spodný cenoman. Je to poznatok nový pre obalové série, nie však osobitný pre Malé Karpaty. Stretli sme sa s ním vďaka mikropaleontologickým štúdiám V. K a n t o r o v e j a J. S a l a j a už pri manínskej sérii pri Dobrej a pri Belušských Slatinách, ale i v obalovej sérii Inovca.

Obalová séria Malých Karpát nie je v žiadnom prípade blízka sérii vysokotatranskej; ani faciálne ani tektonicky nie je súčiastkou vysokotatranského pásma, či príkrovu. Doplňujúce štúdiá v manínskej sérii z posledných rokov vyčleňujú i túto sériu z tohto pásma, a tak názor o existencii vysokotatranského pásma, či príkrovu je prekonaný. Faciálne najbližšia obalovej sérii Malých Karpát je bezpochyby obalová séria susedného jadra, obalová séria Inovca. Každá z nich má,

pravda, pritom osobitnosti, ktorými sa vyznačuje každá séria jadrových horstiev (M a h e l 1947).

Nemožno však vôbec hovoriť o dajakých blízkych vzťahoch, tým menej o po-
kračovaní obalovej série Malých Karpát vo Východných Alpách, keďže najtypic-
kejšie členy obalovej série Malých Karpát, a to borinský vápenec i mariatalské
bridlice, ale ani členy vyššie neboli z Východných Álp vôbec opísané.

Geologický ústav D. Štúra
v Bratislave

LITERATÚRA — SCHRIFTTUM

- [1.] Andrusov D., 1942: Geologia Slovenska, 1946: Pajštúnsky príkrov na severnom svahu Malých Karpát. Věstník St. Geol. ust. XXI. Praha. — [2.] Beck H. — Vetter H., 1904: Zur Geologie der Kleinen Karpathen. Eine stratigraphischtektonische Studie. Beiträge zur Paleontol. u. Geol. Österreich-Ungarn u. Orients XVI, 1—2. Wien—Leipzig 1. — [3.] Cambel B., 1954: Poznámky k otázke kremencov v Malých Karpatoch. Geologické práce, Zprávy 1, Bratislava. — [4.] Cornelius P. H., 1940: Zur Auffassung der Ostalpen im Sinne der Deckenlehre. Zeitschrift d. deutsch. geol. Gesellschaft 92, 4, 5. Wien. — [5.] Koutecký J. — Zoubek Vl., 1936: Vysvetlivky ke geologické mapě v měřítku 1 : 75.000 list Bratislava 4758. Knihovna St. geol. ust. 18. Praha. — [6.] Mahel M., 1950: Obalová séria Inovca. Geologický sborník I, 1. Bratislava. — [7.] 1953: K stratigrafii obalovej série Malých Karpát. Geologický sborník III. Bratislava. — [8.] 1957: Jadrové pohorie, špecifický znak Západných Karpát. Geologický sborník VIII, 2. Bratislava. — [9.] Mišík M., 1957: Zpráva o sedimentárne-petrografickom výskume mezozoika jaderných pohorí. I. Rukopis. Geofond. Bratislava. — [10.] Polák St., 1957: Manganové rudy Malých Karpát. Geologické práce 47. Bratislava. — [11.] Schaffer X., 1899: Fauna der Dachschiefer von Mariatal. Jahrb. d. k. k. geol. Reichsanstalt XLIX. Wien. — [12.] Štúr D., 1860: Bericht über die geologische Übersichtsaufnahme des Wassergebietes der Waag und Neutra. Jahrb. d. geol. Reichsanstalt, XI., Wien. — [13.] Vetter H., 1904: Die Kleinen Karpathen als geologisches Bindeglied zwischen Alpen und Karpathen. Verhandlungen d. geol. Reichsanstalt, Wien.

MICHAL MAHEL

STRATIGRAPHISCHE PROBLEME IN DER HÜLLENSERIE DER KLEINEN KARPATEN

Trotz zahlreichen Arbeiten über das kleinkarpatische Mesozoikum (Štúr 1860; Schaffer 1899; Beck — Vetter 1904; Koutecký — Zoubek 1936; Andrusov 1946; Mahel 1953; Cambel 1954; Polák 1956) blieben in der Stratigraphie der Hülleserie viele unklare Grundprobleme offen. Als solche muss man die stratigraphische Stellung der Quarzite und Sandsteine, der sog. Borinka-Kalke, der Mariataler Schiefer und hauptsächlich die Stratigraphie der nachliassischen Glieder betrachten. Neue Untersuchungen bringen zahlreiche Tatsachen, die zur Lösung der angeführten Probleme beitragen.

Stellung der Quarzite und Sandsteine. Schon seit Beck — Vetter Zeiten sind die quarzigen Sandsteine, Arkosen und quarzigen Konglomerate als basale Schichtengruppe der Hülleserie bekannt. Neben ihnen werden die stellenweise mehr, anderswo weniger kalkigen Sandsteine

inmitten der liassischen Borinka-Kalke angeführt. Soweit die erste Schichtengruppe unmittelbar auf dem Kristallinikum liegt, besitzt sie eine klare stratigraphische Position und entspricht im Sinne der bisherigen Erkenntnisse der Untertrias. Sandsteine, meist mit einem kalkigen Bindemittel, treten inmitten der Borinka-Kalke auf. Sie sind ein Glied der Lias-Schichten. Strittig ist bloss die Position der Quarzite, die gedehnte Linsen, bzw. nichtzusammenhängende Streifen inmitten der Borinka-Kalke bilden. Ihr petrographischer, mit den triadischen Quarziten übereinstimmender Charakter führt zur Ansicht, dass es sich um ein untertriadisches Glied handelt. Ihre Position ist offenbar tektonisch.

Stratigraphische Stellung der Borinka-Kalke: (Pajštún-Kalke = Ballensteinkalk). Die durch dunkelgraue und graue Kalke mit Lagen brekziöser Kalke, Mergel, Dolomite und kalkiger Sandsteine repräsentierte Fazies der Borinka-Kalke hat keine Analogie in den Westkarpaten. Die Belemniten- und Brachiopodenfunde führten Beck - Vettters zur Anschauung über das Lias-Alter dieser Schichtengruppe. Die Anwesenheit von Dolomiten inmitten der Kalke, das Fehlen der typischen mittel- und obertriadischen Glieder der kleinkarpatischen Hüllenserie und der den triadischen Kalken anderer Serien der Westkarpaten nahestehende petrographische Charakter der massiven Kalke, führten die tschechoslowakischen Geologen dazu, einen Teil der Schichtengruppe der Borinka-Kalke, u. zw. die massiven Kalke mit Dolomitlagen als triadisch zu betrachten (Koutek - Zoubek, Andrusov, Cambel). Neue Belemnitenfunde an einigen Stellen in den massiven Kalken mit den Dolomitlagen bestätigen jedoch die Richtigkeit der früheren Anschauung (Beck - Vettters, Mahel) über das Lias-Alter der beschriebenen Schichtengruppe. Das Studium zahlreicher Profile im Terrain und der Bohrprofile beweist klar die Zusammengehörigkeit einzelner Glieder, also auch der massiven Kalke und Dolomite der Borinka-Fazies. Die Mitteltrias besitzt eine andere Entwicklung. Sie wird durch die von den Dolomitlagen inmitten der Borinka-Kalke auffallend unterschiedlichen grauen Dolomite repräsentiert. Die Kalkbrekzien in der Borinka-Fazies sind zweierlei: in der Küstennähe entstandene Brekzien mit häufigem, älterem, fremdartigem Material und endostratische Brekzien, die inmitten der massiven Kalke unregelmässig verteilt sind.

Die Borinka-Fazies ist nur im südlichen Teil der Kleinen Karpaten entwickelt. Der Oberlias ist oft in der Form von Mergeln, mergeligen Kalken und Schiefern mit Lagen dunkelgrauer Crinoidenkalke, sandiger Kalke und kalkiger Sandsteine entwickelt. Die Borinka-Kalke, d. h. die massiven Kalke und brekziöse Kalke kommen selten in dünnen Lagen vor. Diese Schichtengruppe kann man jedoch weder in den Westkarpaten, noch weniger in den Ostalpen mit den Grestener Schichten identifizieren (Andrusov 1946).

Im mittleren Teil der Kleinen Karpaten, nördlich von der Gemeinde Kuchyňa besitzt der Lias eine ganz andere Entwicklung. Das wesentliche Gestein sind dukelgraue, bankige bis plattige, oft Knollen dunkler Hornsteine enthaltende Kalke. Sie besitzen häufige Lagen dunkelgrauer, mergeliger Schiefer und Mergel, stellenweise auch Crinoidenkalklagen. Man kann sagen, dass nördlich von Kuchyňa die Lias-Schichtengruppe eine Entwicklung des offenen Meeres besitzt, während in den südlichen Teilen des Gebirges die untereren Lias-Abteilungen eine litorale Entwicklung besitzen. Die Nähe der Küste äussert sich teilweise noch in den höheren Abteilungen durch die Anwesenheit der Sandkomponente.

Stellung der Mariataler Schiefer: Der fazielle Charakter, sowie das Toars-Alter der Mariataler Schiefer ist schon lange bekannt (Schaffer). Die Lagen dunkelgrauer, mergeliger Schiefer inmitten der Borinka-Kalke erregen keinen Zweifel, ob man von den Mariataler Schiefern als von einem stratigraphischen Horizont sprechen kann. Die neuen Untersuchungen zeigen jedoch eine gleiche Entwicklung dieser Schichtengruppe entlang der ganzen Kleinen Karpaten. Auch trotz bestimmten petrographischen Ähnlichkeiten weist die Schichtengruppe doch Unterschiedlichkeiten von den Einlagen mergeliger Schiefer inmitten der untereren Lias-Schichten aus. Als solche muss man den blättchenförmigen Zerfall und den Perlmutterglanz der Schiefer betrachten.

Stratigraphie der nachliassischen Glieder der Hüllenserie. Bisher wurde die Stratigraphie dieser Glieder eigentlich nicht verarbeitet. Durch neue Untersuchungen ist es gelungen kartographisch abzutragen: dunkelgraue Kalke und Hornsteine des Doggers-unteren Malms, lichtgraue Kalke des oberen Malms, massive Crinoidenkalke des Apts und eine mergelig-sandsteinige Alb-Cenoman-Schichtengruppe.

Der Dogger wird durch kompakte und feinkörnige, dunkelgraue Knollen dunkler Hornsteine enthaltende Plattenkalke repräsentiert. Auf dem nördlichen Fuss des Berges Holý vrch fand man in ihnen eine zahlreiche Lamellibranchiatenfauna, die ihr Bajocien-Bath-Alter beweist. Die Faunenliste wird im slowakischen Text, Seite 11, 12 angeführt. In den höheren Lagen der Schichtengruppe gesellen sich dunkelgraue Hornsteine und Hornsteinkalke zu, die in der Richtung ins Hangende lichter, bis gelblich und rötlich werden. Diese oberen Lagen repräsentieren wahrscheinlich den unteren Malm. Den oberen Malm repräsentieren graue, mergelige, massive, sowie plattige Kalke. Ins Hangende übergehen sie in schwach mergelige, Knollen dunkelgrauer bis schwarzer Hornsteine enthaltende Plattenkalke mit einer ausgeprägt weissen Patina. Die unteren Schichten enthalten eine Lombardien-Globocheten-Mikrofazies und entsprechen dem Kimmeridge. Die höheren, hornsteinhaltigen Plattenkalke enthalten eine reiche Calpionellen-Globocheten-Mikrofazies und repräsentieren den Tithon.

Das Apt weist eine in den Westkarpaten ungewohnte Entwicklung auf. Es sind grösstenteils massive, graue und dunkelgraue Kalke, die in den unteren Lagen feinkörnig bis kompakt, oft brekziös, in der wesentlichen Masse grobkörnig, crinoidenhaltig sind und häufige dunkle Hornsteine enthalten. Sie enthalten eine häufige klastische Quarzbeimenge und Bruchstücke mergeliger Tithonkalke. Auf ihr Apt-Alter weist die Anwesenheit von Orbitolinen hin.

Das höchste Glied der kleinkarpatischen Hüllenserie ist die Schichtengruppe graugrüner, kalkiger Tonschiefer mit Sandsteinlagen und sandigen Kalklagen. Man findet auch Konglomerate mit Rollsteinen aus dem Kristallinikum, den untertriadischen Quarziten und aus jüngeren Schichten der Hüllenserie. Die Mikrofauna* beweist, dass der untere Teil der Schichtengruppe dem oberen Alb [*Thalmanninella tictensis* (Gadolphi)], der obere Teil dem Cenoman [*Rotalipora cf. apennica* (Renz), *Anomalina complanata* (Reuss)] entspricht.

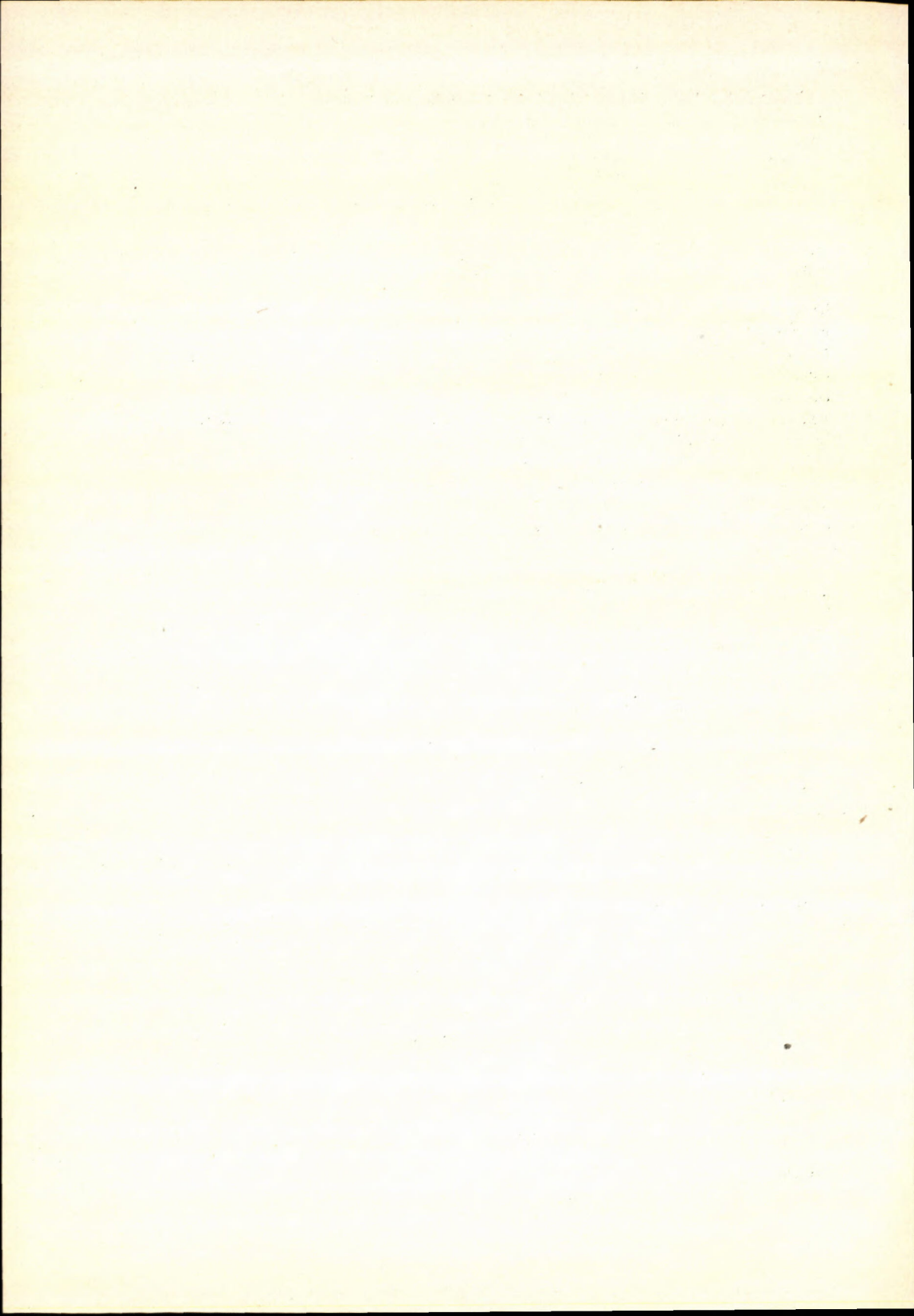
Die Hüllenserie der Kleinen Karpaten weist im Zeitabschnitt der Unterkreide zwei grosse stratigraphische Hiaten auf, u. zw. zwischen dem Tithon-Apt und den zweiten zwischen dem Apt und dem oberen Alb.

Im ganzen kann man die Hüllenserie der Kleinen Karpaten mit keiner Serie in den Westkarpaten vergleichen. Sie besitzt eine ganze Reihe von Gliedern mit einer separaten, in anderen Serien unbekannten Entwicklung, u. zw. weder in den Westkarpaten, noch in den Ostalpen.

Geologisches Institut D. Štúr's
Bratislava

Aus dem Slowakischen übersetzt von F. Návára

* nach Bestimmung von J. Salač.



JÁN BYSTRICKÝ

PRÍSPEVOK K STRATIGRAFII SLOVENSKÉHO KRASU

(O veku „meliatskej série“)

(*Nemecké resumé*)

Názov „meliatska séria“ zaviedla Čekalová (1954, s. 49) pre súvrstvie pestrých radiolaritov a tmavých bridlíc, ktoré vystupuje na ľavom brehu rieky Muráň severne od obce Meliata, aby ním zdôraznila osobitný vývin spodného triasu, presnejšie vrchného seisu Slovenského krasu.

V oblasti Držkoviec zisťuje vystupovanie tohto súvrstvia Mahel (1954) a Bystrický (1954), pričom obaja zahrňujú k nemu aj svetlé až biele hrubokryštalické vápence, ktoré sa čo do vývinu a pozície zhodujú s bielymi hrubokryštalickými vápencami, vystupujúcimi pri Meliate v podloží „meliatskej série“ v zmysle Čekalovej (1954). Týmto sa pojmom „meliatska séria“ rozšíril aj na vápence, ktoré sa na lokalite od Meliaty uvádzanej Čekalovou pokladali za karbónske (Čekalová 1954, Homola 1951).

Rozšírenie, vrstevný sled a stratigrafický rozsah celej série nie je doteraz dostačne známy. Meliatska séria totiž zaujíma priestory miernej pahorkatiny, pokrytej pliocénnymi štrkami a svahovými hlinami, takže na povrch vystupuje prevažne len v malých a izolovaných odkryvoch, čo jej štúdium značne stáhuje. Preto sme počas geologického mapovania použili niekoľko povrchových vrtov, ktoré nám jej vrstevný sled, doteraz známy z prirodzených odkryvov doplnili a pomohli aj pri stanovení jej veku.

Stratigrafické hodnotenie celej série, resp. jej niektorých členov bolo doposiaľ veľmi rozličné. Tak napr. biele, hrubokryštalické vápence od Meliaty a z údolia Slanej severne od Čoltova sa pokladali za strednotriásové ako equivalent wettersteinských vápencov (Balogh 1953, geolog. mapa). Homola (1951) proti tomu začleňuje vápence severne od Čoltova k strednému triasu, ale tie isté vápence od Meliaty ku karbónu. Karbónskeho veku hrubokryštalických vápencov od Meliaty, ako som spomenul, pridržiava sa aj Čekalová (1954). By s -

Bystriký (1954) ich pokladá za seiské, M a h e l (1954) vidí v nich equivalenta šedých doskovitých vápencov kampilu.

Tmavé bridlice, vystupujúce na lavom brehu Slanej severne od Čoltova, pokladá H o m o l a (1951) za kampilské, ale od Meliaty za vrchnoseiské. S H o m o l o v ý m názorom na vek tmavých bridlíc od Meliaty zhoduje sa Č e k a l o v á (1954), avšak tmavé bridlice pri Strelniciach (Lévert) pokladá — (vzhľadom na to, že vystupujú v podloží pestrého detritického súvrstvia kladeného poväčsine k seisu) — za karbónske. V otázke veku pestrých radiolaritov boli názory už jednotnejšie; H o m o l a (1951) a Č e k a l o v á (1954) pokladajú ich za vrchnoseiské, M a h e l (1954) zas, podobne ako ostatné členy meliatskej série, za kampilské. Keď B a l o g h (B a l o g h 1950, B a l o g h — P a n t ó 1953) zistil v Rudabánskom pohorí a v Bükku osobitný vývin ladinu, takzv. *rudabanský* (rohovcové vápence, radiolarity a tmavé bridlice), niektorí autori (A n d r u s o v 1956, A n d r u s o v — K o v á č i k 1955, K a n t o r 1955, P a n t ó 1956) prikláňali sa k názoru o príslušnosti meliatskej série k ladinu, pokladajúc ju za reprezentanta rudabanského vývinu ladinu v Slovenskom kraze. Naposledy M á š - k a (1957) predpokladá vrchnopermský vek spodnejších členov meliatskej série.

Otázka veku meliatskej série stala sa veľmi dôležitou, pretože vystupovanie ladinu v podloží pestrého súvrstvia werfénu (Držkovce, Strelnice, Hucín, Meliata) by poukazovalo na oveľa komplikovanejšiu stavbu územia a musela by sa pripustiť existencia rozsiahlych horizontálnych presunov príkrovového charakteru. Hoci vrstevný sled meliatskej série nie je doposiaľ do detailov známy — týka sa to hlavne jej bazálnych členov — na základe doterajších dát možno v nej odlišiť pomocou petrografickej fácie celkom tri oddiely:

- a) *svetlé, biele hrubokryštalické vápence;*
- b) *pestré radiolarity;*
- c) *tmavé až čierne bridlice.*

a) *Biele hrubokryštalické vápence*

Vápence meliatskej série sú prevažne biele, hrubokryštalické, masívne a len miestami (Meliata) aj hrubolavicovité. Svojím vzhľadom do značnej miery priponínajú vápence karbónu Spišsko-gemerského rudoohoria. Len pri Držkovciach (východne od obce) vyskytujú sa aj vápence menej kryštalické, podobné svetlým vápencom stredného triasu. Často sa v nich vyskytujú závalky, vložky alebo aj silnejšie polohy červených, niekedy hematitom obohatených bridlíc alebo radiolaritov (Držkovce, Meliata), čo poukazuje na ich späťosť s vyššie ležiacim súvrstvím pestrých radiolaritov. Skameneliny neobsahujú.

Takéto vápence vystupujú na povrch na všetkých doposiaľ známych výskytov meliatskej série s výnimkou Strelníc (Lévert). Najviac sú rozšírené pri Držkovciach, kde vystupujú na oboch brehoch rieky Turiec (B y s t r i c k ý 1954, M a h e l 1954). V oblasti JV od Hucína vyskytujú sa v údolí Csakány (B y s t r i c -

ký 1957) a pri Meliate budujú celú oblasť kóty 273 a južne od obce tiahnu sa do údolia Ivona. Severne od Čoltova vystupujú vo forme menšej kryhy na ľavom brehu Slanej, južnejšie od Bohúňova (Lekene).

Pozícia svetlých vápencov v rámci meliatskej série nie je nateraz celkom jasná. Pri Meliate, zdá sa, sú najspodnejšou časťou (ich podložie nie je zatiaľ známe), v oblasti Čoltova, Hucína a Držkoviec vystupujú ako veľké šošovky v súvrství tmavých bridlíc a radiolaritov.

b) *Pestré radiolarity*

Radiolarity meliatskej série sú červené, ružové, zelenkasté, žltkasté, vzácnejšie aj čierne. Sú dobre zvrstvené, doskovité a rozpadavé na drobné ostrohranné úlomky a preto sa dajú pomerne ľahko zistíť aj v hlinitej pokrývke. V oblasti Držkoviec obsahuje súvrstvie radiolaritov polohy tmavočervených, červenohnedých hematiptom obohatených pelitických bridlíc, vytvárajúcich ložisko sedimentárno-efuzívneho pôvodu (M a h e l 1954, K a n t o r — M a h e l 1954), ktoré dalo v minulosti podnet ku kutacím prácam.

Pekné odkryvy nachádzajú sa pri Držkoviach na ľavom brehu rieky Turiec (stará štôlňa) a v malom kameňolome pri ceste vedúcej po SZ svahu k. 296. V poslednom prípade ide takmer výlučne o tenkodoskovité, zelené radiolarity so slabšou (ca 1 m mocnou) polohou radiolaritov červených. Menšie odkryvy sú v údolí Drena a východne od Držkoviec (hlavne v záreze hradskej severne od obce). Pri Meliate vystupujú jednak na lokalite uvádzanej Č e k a l o v o u (1954), jednak južne od obce na Guba t. Tu budujú rázsochu prebiehajúcu z k. 321 na východ a pokračujú, striedajúc sa už s pestrými sludnatými bridlicami werfénu, na ľavý breh Murána do oblasti Kerek domb. Pozoruhodný je ich výskyt na Hámor hegyi a na vrchole nepomenovaného kopca ležiaceho severovýchodnejšie. V oboch prípadoch sú v tektonickom styku so svetlými, strednotriásovými, v druhom prípade aj s gottensteinskými, vápencami na mohutných dislokáciách smeru SSV—JJZ.

Pozícia pestrých radiolaritov nie je stabilná; preto nemôžeme im pripisovať význam „horizontu“ v zmysle H o m o l u (1951). Pri Meliate i pri Držkoviach vystupujú na hranici medzi svetlými vápencami a tmavými bridlicami; časté sú aj v súvrství zelených a červených sludnatých bridlíc werfénu. Pri Čoltove vystupujú dokonca v súvrství tmavých bridlíc; sú intenzívne zvrásnené a prestúpené diabázovými horninami (K a n t o r 1955).

Zo skamenelín vyskytujú sa len početné radiolárie, zriedkavejšie ihlice húb, ktoré ovšem neumožňujú bližšie stratigrafické začlenenie.

c) *Tmavé bridlice*

Sú popri bielych, kryštalických vápencoch najmohutnejším súvrstvím meliatskej série. Ich vystupovanie v spodnom triase Slovenského krasu bolo až donedávna

úplne neznáme. Preto nie div, že sa im pripisoval rozličný vek (kampil, karbón, ladin). Až prvé vrty na hematitové sedimentárno-efuzívne ložisko v Šankovciach ukázali, že tmavé bridlice, dosť zhodné s niektorými bridlicami karbónu Spiško-gemerského rudohoria, môžu sa vyskytovať aj v typickom súvrství zelených a červených ílovitých bridlíc werfénu, vytvárajúc s pestrými bridlicami prelínajúce sa polohy. Podobne je tomu aj pri Držkovciach, kde sa vo vrte DM-1 (K a n t o r — M a h e I 1954) striedajú tmavé až čierne bridlice s polohami červenohnedých a zelenkastých bridlíc, zhodných s bridlicami, ktoré vystupujú na povrch v údolí Dreno, kde som v nich blízko k. 272 našiel jeden exemplár *Pseudomonotis clarai* E m m r. V súvrství tmavých bridlíc sa často vyskytujú polohy tmavých vápencov, tmavých piesčitých vápencov so zvyškami článkov krinoidov alebo tmavých až čiernych, silne bituminóznych vápencov. Pri Strelničiach (Lévert) vyskytujú sa aj polohy silne prestúpené pyritom.

Tmavé bridlice budujú vo väčšine prípadov najvyššiu časť meliatskej série, pričom prechádzajú vertikálne i laterálne do pestrého súvrstvia. Laterálne prelínanie sa tmavých bridlíc s pestrými, obsahujúcimi *Pseudomonotis clarai* E m m r., umožňuje nám ich začlenenie do spodného triasu. Vystupovanie tmavých bridlíc v podloží hrubokryštalických vápencov (Hucín vrt HB-1) alebo v podloží pestrých radiolaritov (Čoltovo, vrt ČB-2) môže byť spôsobené tektonikou.

Na tmavé bridlice meliatskej série viaže sa výskyt sádrovcovo-anhydritových ložísk, zistených nateraz pri Čoltove (vrt ČB-2) a najnovšie F u s a n o m (podľa ústneho oznamenia) aj v tmavých bridliciach pri Strelničiach (Lévert), pokladaných predtým za karbónske.

Meliatsku sériu možno teda na základe uvedeného *pričleniť k spodnému triasu a paralelizovať so súvrstvím ílovitých čiernych bridlíc, pieskovcov a vápencov spodného seisu Rudabanského pohoria* (P a n t ó 1956 s. 502) a so „sádrovcovým súvrstvím“ od Perkupy (M e s z á r o s 1954) s tým rozdielom, že ani v Rudabanskom pohorí, ani v Perkupe nie sú známe z podložia tmavých bridlíc pestré radiolarity a biele hrubokryštalické vápence.

*Geologický ústav Dionýza Štúra,
Bratislava*

LITERATÚRA

- [1.] Andrussov D., 1956: Stav výskumu slovenských rudohôr. Geol. sbor., VII., Bratislava. — [2.] Andrussov D. — Kováčik J., 1955: Skameneliny karpatských druholôr. Časť II. Hlavonožce triasu Slovenska ... atd. Geol. sbor., VI., Bratislava. — [3.] Balogh K., 1950: Az északmagyarországi triász rétegtana. Földt. Közl. 80., Budapest. — [4.] — 1953: Geologische Studien in der Umgebung von Plešivec, ferner zwischen Bódvaszilas und Josvafő. Földt. Int. Évi. Jel. 1943-ról, Budapest. — [5.] Balogh K. — Pantó G., 1953: Mesozoikum severného Maďarska a prílehlých časti Jihoslovenského krasu. Sbor. ÚÚG., XX, Praha. —

- [6.] Bystrický J., 1954: Geologické pomery v oblasti južne od Jelšavy, Geol. sbor., V., Bratislava. — [7.] — 1957: Stratigrafia Slovenského krasu. Geol. práce, soš. 46, Bratislava. — [8.] Čekalová V., 1954: Geologické pomery západnej časti Juhoslovenského krasu. Geol. práce, Zprávy 1., Bratislava. — [9.] Homola V., 1951: Stratigrafie a paleogeografie Jiho-slovenského krasu. Sbor. ÚÚG, XVII, Praha. — [10.] Kantor J., 1955: Diabázy Juhoslovenského mesozoika. Geol. práce, zoš. 41, Bratislava. — [11.] Kantor J. — Maheil M., 1954: Záverečná zpráva o výskume Držkoviec. Rukopis, Geofond Bratislava. — [12.] Maheil M., 1954: Príspevok k stratigrafii južnej časti Spiš.-gem. rudoohoria — poznámky k územiu JV od Železníka. Geol. práce, Zprávy 1., Bratislava. — [13.] Máška M., 1957: Zpráva o výzkumu paleozoika Spiško-gemerského Rudohoří (I. Perm). Zprávy o geol. výzkumech v r. 1956, ÚÚG, Praha. — [14.] Mészáros M., 1954: Compte rendu préliminaire sur la recherche du gypse à Perkupa. Földt. Int. Évi Jel. 1953-ról, I. Budapest. — [15.] Pantó G., 1956: Constitution géologique de la chaîne de mineraux de fer de Rudabánya. Annales de l'Inst. géol. de Hongrie, Vol. XLIV, fasc. 2. Budapest.

JÁN BYSTRICKÝ

BEITRAG ZUR STRATIGRAPHIE DES GEBIRGES SLOVENSKÝ KRAS (Über das Alter der „Meliata-Serie“)

Die Benennung „Meliata-Serie“ führte Čekalová (1954, S. 49) für die Schichtengruppe bunter Radiolarite und dunkler Schiefer ein, die auf dem linken Ufer des Muráň-Flusses, nördlich von der Gemeinde Meliata auftreten, um so die separate Entwicklung der Untertrias, genauer des oberen Seis des Gebirges Slovenský kras zu betonen. Im Gebiete der Gemeinde Držkovce, wo die angeführte Schichtengruppe Maheil (1954) und der Autor (Bystrický 1954) feststellten, werden zu ihr auch die lichten, grobkristallinen Kalke, die mit den bei Meliata im Liegenden der „Meliata-Serie“ im Sinne Čekalová (1954) auftretenden Kalken übereinstimmend sind, gezählt. Dadurch hat sich der Begriff „Meliata-Serie“ auch auf die Kalke, die auf der von Čekalová (1954) angeführten Lokalität als karbonische betrachtet wurden (Čekalová 1954, Homola 1951), erweitert.

Die Ausbreitung und Schichtenfolge, sowie die stratigraphische Ausdehnung der ganzen Serie ist bisher ungenügend bekannt. Da die Meliata-Serie die Räume eines mässigen, mit pliozänen Schottern und Gehängelehm bedeckten Hügellandes einnimmt und nur in kleinen, oft weit voneinander vorkommenden, isolierten Aufschlüssen auf die Erdoberfläche emporsteigt, hat man bei der geologischen Kartierung einige Bohrungen gemacht, die in bedeutendem Masse ihre, aus den natürlichen Aufschlüssen bekannte Schichtenfolge ergänzten und auch bei der Feststellung ihres Alters geholfen haben.

Die stratigraphische Eingliederung der Meliata-Serie, resp. ihrer gewissen Glieder war sehr unterschiedlich. Dieselben, auf verschiedenen Lokalitäten auftretenden Schichtengruppen wurden oft sehr unterschiedlich eingegliedert. So betrachtete man die lichten, grobkristallinen Kalke bei Meliata als karbonische (Homola 1951, Čekalová 1954), oder als mitteltriadische (Balogh 1953 — geol. Karte), dieselben Kalke bei der Gemeinde Čoltová als mitteltriadische (Homola 1951) und bei der Gemeinde Držkovce sieht Maheil (1954) in ihnen ein Äquivalent der dunkelgrauen Plattenkalke des Campills. Ähnlich ist es auch mit den dunklen Schiefern, die man auf einer Lokalität zur Untertrias (Seis-Campill), anderswo wiederum zum Karbon (Strelnice-Levant) zählte. Als Balogh (Balogh 1950, Balogh — Pantó 1953) in den Gebirgen Rudabánya und Bükk (Ungarn) eine separate, sog. „Rudabánya-Entwicklung“ des

Ladins feststellte, haben manche Autoren (Andrusov 1956, Andrusov — Kováčik 1955, Kantor 1955, Pantó 1956) in der Meliata-Serie einen Repräsentanten der Rudabányai-Entwicklung im Slovenský kras gesehen. Zuletzt setzt Máška (1957) ein oberpermisches Alter der unteren Glieder der Meliata-Serie voraus.

Die Frage des Alters der Meliata-Serie ist so sehr wichtig geworden, weil das Auftreten des Ladins im Liegenden der bunten Schiefer und der Sandsteine des Seis-Untercampills (Držkovce, Strelnice, Hucín, Meliata) auf einen komplizierteren tektonischen Bau hinweisen könnte und man müsste die Existenz ausgedehnter, horizontaler Deckenüberschiebungen zulassen.

Auf Grund der bisherigen Erkenntnisse kann man in der Meliata-Serie drei Schichtengruppen unterscheiden:

- a) *weisse, grobkristalline Kalke*,
- b) *bunte Radiolarite*,
- c) *dunkle bis schwarze Schiefer*.

a) *Weisse, grobkristalline Kalke*

Sie sind massiv und nur stellenweise (Meliata) grobbankig. Ihrem Aussehen nach erinnern sie im bedeutenden Mass an die karbonischen Kalke des Erzgebirges Spišsko-gemerské rudoohorie. Oft kommen in ihnen Einlagen, Butzen, oder auch mächtigere Lagen roter, manchmal an Hämatit bedeutend angereicherten Schiefer, oder Radiolarite vor, was auf ihren engen Zusammenhang mit den höher liegenden Schichten bunter Radiolarite hinweist.

Die Position der angeführten Kalke im Rahmen der Meliata-Serie ist bisher nicht völlig klar. Es scheint, dass sie bei Meliata den untersten Teil bilden (ihr Liegendes ist bisher unbekannt), im Gebiete Čoltovo, Hucín und bei Držkovce treten sie als grosse Linsen in den Schichten dunkler Schiefer und Radiolarite auf. Sie enthalten keine Versteinerungen.

b) *Bunte Radiolarite*

Die Radiolarite der Meliata-Serie sind rot, rosenfarbig, grünlich, gelblich und seltener auch schwarz. Sie sind gut geschichtet, plattig und wegen ihres scharfkantigen Zerfalls auch in den mächtigeren Gehängelehmern leicht feststellbar. Im Gebiete der Gemeinde Držkovce enthalten die Radiolaritenschichten Lagen dunkelroter, rotbrauner, hämatitreicher, pelitischer Schiefer, die eine Lagerstätte sedimentär-effusiven Ursprungs bilden (Mahel 1954, Kantor — Mahel 1954), welche in der Vergangenheit Anlass zu Schürfarbeiten geboten hat.

Bemerkenswert ist ihr Vorkommen im Gipfelteil des Berges Hámorhegy (nördl. von Meliata) und auf dem sich nordöstlicher befindenden Berg. In beiden Fällen sind sie im tektonischen Kontakt mit den mitteltriadischen lichten Kalken, im letzten Fall auch mit dem Gutnsteiner Kalk längs mächtiger NNO—SSW streichender Dislokationen.

Die Position der Radiolarite in der Untertrias des Gebirges Slovenský kras ist unstabil, deshalb kann man ihnen die Bedeutung eines Leithorizontes Homola's (1954) nicht zuschreiben. Bei Meliata und Držkovce ist ihr Vorkommen an die Grenze zwischen den lichten, grobkristallinen Kalken und den dunklen Schiefern der Meliata-Serie gebunden; sie kommen jedoch auch in den im Hangenden der Meliata-Serie auftretenden Schichten bunter Schiefer und Sandsteine oft vor, ja — wie man im Gebiete östlich von Meliata sieht — bunte Radiolarite der Guba t. bildenden Meliata-Serie übergehen gegen Osten lateral in bunte, glimmerige Schiefer und Sandsteine des Seis-unt. Campills. Bei Čoltovo treten sie sogar in den Schichten dunkler Schiefer auf. Da sind sie intensiv gefaltet und von Körpern der Diabasgesteine durchdrungen (Kantor 1955).

Von den Versteinerungen kommen zahlreiche Radiolarien und seltener Spongiennadeln vor, die allerdings eine nähere Eingliederung nicht ermöglichen.

c) Dunkle Schiefer

Sie sind neben den grobkristallinen Kalken die mächtigste Schichtengruppe der Meliata-Serie. Ihr Auftreten in der Untertrias des Slovenský kras war bis unlängst vollkommen unbekannt. Es ist deshalb kein Wunder, dass man ihnen verschiedenes Alter zugeschrieben hat (Campill, Karbon, Ladin in der Rudabánya-Entwicklung). Die Bohrungen in der Gemeinde Šankovce und bei Držkovce haben jedoch verlässlich gezeigt, dass die dunklen Schiefer der Untertrias zugehören, da sie in den Schichten bunter Schiefer dünne oder auch mächtigere Lagen bilden. In der Bohrung DM-1 bei Držkovce wechseltlagern die schwarzen Schiefer mit rotbraunen und grünen Schiefern, die mit den im Tal Dreno auf die Erdoberfläche emporsteigenden Schiefern vollkommen übereinstimmend sind. Dort fand ich in ihnen nahe der Kote 272 *Pseudomonotis clarai* Emmer.

In der Schichtengruppe dunkler Schiefer kommen häufig Lagen dunkler Kalke, dunkler, sandiger Kalke mit Crinoidenresten, oder dunkler bis schwarzer, stark bituminöser Kalke vor. Bei Strelnice (Lévert) kommen mit feinen Pyritkristallchen stark imprägnierte Lagen vor.

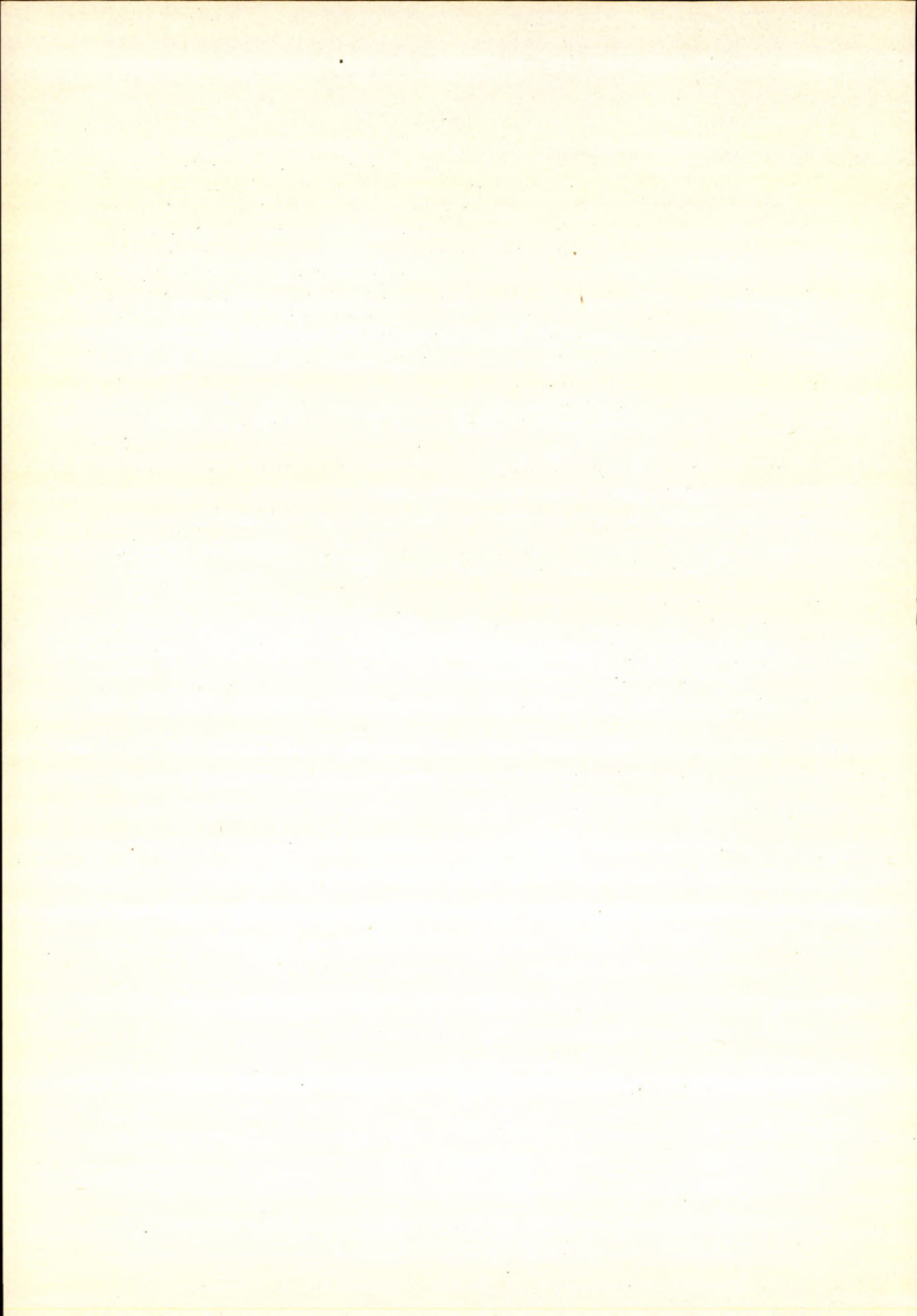
Die dunklen Schiefer bilden in den meisten Fällen den höchsten Teil der Meliata-Serie, wobei sie wie vertikal, so auch lateral in bunte Schichten übergehen. Der laterale Übergang von dunklen Schiefern in die bunten, *Pseudomonotis clarai* Emmer. enthaltenden Schiefer ermöglicht ihre Eingliederung in die Untertrias.

An die obenerwähnten dunklen Schiefer der Meliata-Serie bindet sich das Vorkommen der bisher bei Čoltovo (Bohrung ČB-2) und zuletzt durch Fusani (laut mündlicher Mitteilung) auch in den dunklen, früher als Karbon betrachteten Schiefern bei Strelnice (Lévert) festgestellten Gips-Anhydrit-Lagerstätten.

Auf Grund des Vorerwähnten kann man also die Meliata-Serie *in die Untertrias eingliedern und mit den Schichten der „tonigen, schwarzen Schiefer, Sandsteine und Kalke“ des unteren Seis des Rudabánya Gebirges* (beschrieben von Pantó — 1955) *und mit den von Perkupa durch Mészáros* (1954) *angeführten „Gipsschichten“ parallelisieren*. Jedoch weder im Rudabánya Gebirge, noch in Perkupa sind aus dem Liegenden der dunklen Schiefer bunte Radiolarite und weisse, grobkristalline Kalke bekannt.

*Geologisches Institut Dionýz Štúr's,
Bratislava*

Aus dem Slowakischen übersetzt von F. Návara



JÁN KANTOR

**PRÍSPEVOK K POZNANIU VEKU NIEKTORÝCH ŽÚL A PEGMATITOV
ŽLUTICKO-TEPELSKÉHO KRYŠTALINIKA
ARGÓN-KÁLIOVOU METÓDOU**

(*Nemecké resumé*)

Krušnohorské kryštalinikum je od nemetamorfovaných hornín Barrandienu oddeľené metamorfovanou oblasťou žlutickou, tiahnucou sa od Žlutíc Tepelskou vysočinou k juhozápadu, smerom k Planej.

Pozoruhodným zjavom, zisteným už Hochstetterom (1856) a detailnejšie študovaným Kettnerom (1913), je pozvoľný prechod od málo metamorfovaných hornín proterozoika Barrandienu cez fyllity, svory až po ruly žluticko-tepelského kryštalinika. Intenzita metamorfózy sa zvyšuje teda od Barrandienu k severozápadu, t. j. v podstate k podložiu metamorfovaného proterozoika.

Názor na pozvoľný metamorfín prechod bol potvrdený i neskôršimi výskumami, najmä Biencom (1930) a Zoubkom (1948, 1951). Kodym (1946) sa naproti tomu domnieva, že pozvoľná hranica s fyllitmi a svormi je dôsledkom tektonického a metamorfného zblíženia medzi nepremenennými proterozoickými sedimentami a metamorfovanou rulovou sériou. Práce Zoubkové (l. c.), opierajúce sa o detailný terénny výskum, však odporujú takejto koncepcii a plne potvrdzujú existenciu neprerušeného, plynulého prechodu, ktorého najhlbšie štadium metamorfózy reprezentujú ruly s autochtonnými (anatektickými) granitoidmi.

Za takýto, metazomatickou impregnáciou okolitých pararúl „in situ“ vzniklý autochtonný granit považuje žulorulu tepelskú. Je to silne usmernená okatá hornina s veľkými vyrastlicami mikroklinu, so zelenavým biotitom, titanitom, kreménom, oligoklasom, apatitom a zirkónom. Biotit a oligoklas prevládajú. Ruly plášta sú v jej okolí intenzívne migmatitizované.

V svorových rulách a svoroch leží veľmi pretiahnuté teleso prevažne usmernenej žuly sledujúcej hanovskú intruzívnu jazvu (Kratochvíl — Zoubek, 1951). Vyznačuje sa diferencovanosťou od bázickejších na biotit bohatších po apliticko-pegmatitické typy s hojným muskovitom. Podobne i zo živcov prevládajú niekedy plagioklasy, inokedy mikroklin.

Význačným rysom granitoidov hanovskej jazvy je, že sú na ne viazané početné

pegmatity, a to najmä v oblasti Kříženec, Hostičkov a Nezdice (K r a t o c h v í l -- V a c h t l -- Z o u b e k, 1951). Na ich mineralogickom zložení sa zúčastňujú: kremeň, ortoklas, menej mikroklin, muskovit, dalej biotit, apatit a lokálne pyrit. V minulosti sa časť pegmatitov ťažila kvôli živcom a muskovitu.

V granitoch hanovskej jazvy sú pegmatitové žilky a hniezda tiež hojné. Ich prechod do žuly býva spravidla rozplývavý, pozvoľný, na rozdiel od pegmatitov pretínajúcich ruly, kde je prechod vždy ostrý.

Podobne ako u granitoidov hanovskej jazvy môžeme aj u pegmatitov na neviazaných pozorovať účinky niekdajšieho tlakového postihnutia, čo K r a t o c h v í l -- V a c h t l -- Z o u b e k (1951) vysvetlujú ich tuhnutím ešte pred ukončením orogénnych tlakov.

Ďalej k juhovýchodu (smerom k Barrandienu) sa rozprestiera leškovský masív, ktorý intrudoval do fylitických hornín. Zo všetkých uvedených syntektonických granitoidných intruzív je najmenej usmernený. Je to biotitický granodiorit, líšiaci sa od spomenutých typov hlbinnejších tiež výraznejšou zonárnosťou plagioklasov.

Výskumy Z o u b k a (K r a t o c h v í l -- V a c h t l -- Z o u b e k, 1951, Z o u b e k, 1948) objasnili teda úzky vzťah jestvujúci na Tepelskej vysocine medzi intenzitou (hlbkou) metamorfózy kryštalických bridlíc a charakterom v nich sa nachodiacich telies vysokoorgénnych granitoidných hornín. Rovnako plne potvrdili pozorovania starších autorov o pozvoľnom prechode nemetamorfovaného proterozoika z Barrandienu do katazonálnych rúl žluticko-tepelského kryštalinika, ktoré sa pokladá za výsledok jedného metamorfného procesu.

Názory na dobu metamorfózy a intrúziu granitoidných hornín nie sú jednotné.

Z o u b e k uvádza, že k intrúzii žulorúl a pegmatitov a vzniku autochtonných granitov spolu s regionálnou premenou celého žluticko-tepelského kryštalinika došlo za bretonskej fázy variského vrásnenia (Z o u b e k 1948, 1951). Pritom vznik rulovej zóny treba ponímať ako výsledok „periplutonického“, diaľkového pôsobenia magmatických spust z hľbky.

V prehľadnom článku o geológii kryštalinika Českého masívu z r. 1948 Z o u b e k uvádza, že nict žiadnych dôkazov o existencii kryštalinika staršieho ako variského a kaledonského.

O. K o d y m (1953) naproti tomu vo svojich prednáškach o barrandiensko-železnohorskej zóne pripúšťa možnosť existencie starého algonkického i predalgonkického kryštalinika v Českom masíve.

V svojej najnovšej práci pojednávajúcej o kryštaliku západných Čiech sa Z o u b e k (1958) opäť dotýka problému žluticko-tepelského kryštalinika. Uvádza, že môžeme považovať za preukázaný assyntský vek hlavného vrásnenia, metamorfózy a primorogénnych granitov. Dôkazy pre tento názor — ako sa zdá — neposkytol ani tak priamo terénny výskum žluticko-tepelskej metamorfnej oblasti, ako výskumy vzdialenejších oblastí robené po drobno-tektonickej stránke Máškom a štúdie severovltavského algonkia robené Dudkom a Fediukom.

Z príležitosti Sjazdu Československej spoločnosti pre mineralógiu a geológiu, konaného v máji 1958 v Západných Čechách, uskutočnila sa jedna z exkurzii (A/1) tiež do kryštalínika Tepelskej vysočiny. Pritom boli prehliadnuté rôzne typy katametamorfovaných kryštalických bridlíc i lokality primorogénnych grani-toidov a geneticky i priestorove s nimi spätých pegmatitov v okolí Kříženca.

Pri návštive granitoidov uvedenej oblasti sa návštěvníci exkurzie opäť stretli s dvoma názormi na dobu ich intrúzie. Zoubek (1958) zastával ich assyntský vek, ako už bolo uvedené, kým Watznauer v diskusii hovoril o nich ako o produkte variského orogénu. Pre nedostatok času ani na vlastnom zasadení sjazdu nemal možnosť Watznauer podať podrobnejšie dôvody pre ním obhajovaný názor.

Láskavosťou niektorých účastníkov exkurzie získal som materiál z tepelských žúl a pegmatitov.

V tomto článku predkladám výsledky štúdia týchto vzoriek argón-káliovou metódou, aby boli k dispozícii nové, od doterajších výskumov celkom neodvislé údaje o dobe vzniku tunajších granitov a pegmatitov.

P e g m a t i t o d Kříženca

Kříženec leží severovýchodne od Planej a ca 5 km juhozápadne od ukončenia pretiahleho granitoidného telesa hanovskej jazvy, v jeho smernom pokračovaní. Je to oblasť s maximálnou koncentráciou pegmatitov, ktoré boli predmetom exploračie ako pre hrubokryštalické až 1 dm veľké živce, tak i pre veľkolupenitý muskovit.

Draselný živec z tejto lokality vykázal:

$K = 9,495 \%$ t. j. izotóp K^{40} je v ňom zastúpený

$K^{40} = 1,139 \times 10^{-5} \text{ g/g}$.

Zo vzorky bol uvoľnený argón a to v množstve

$A = 9,21 \times 10^{-5} \text{ cc/g}$.

Je teda $\frac{A}{K^{40}} = 8,08$ čo odpovedá absolutnému veku

$$t = 226 \times 10^6 \text{ rokov.}$$

Muskovit z toho istého pegmatitu obsahuje:

$K = 7,553 \%$, čiže $K^{40} = 0,906 \times 10^{-5} \text{ g/g}$.

$A = 8,345 \times 10^{-5} \text{ cc/g}$,

z čoho plynne pri $\lambda_K = 6,02 \times 10^{-11} \text{ r.}^{-1}$ a $\lambda_\beta = 4,9 \times 10^{-10} \text{ r.}^{-1}$

$$t = 254 \times 10^6 \text{ rokov.}$$

Znížený absolútny vek, ktorým sa vyznačuje živec z toho istého pegmatitu je dôsledkom difúzie argónu zo vzorky, zjavu všeobecne pozorovaného zvlášť u pertitizovaných draselných živcov.

Lestkovská žula

Študovaná vzorka pochádza z lokalita č. 7 spomenutej exkurzie A/1 t. j. zo severovýchodnej časti lestkovského intruzívneho telesa od hradskej asi uprostred medzi Lestkovom a Domaslavom.

Z granitu bol vyseparovaný biotitový koncentrát, ktorý bol skúmaný na obsah argónu a draslíka.

Výsledky:

$$K = 5,104 \%$$

$$K^{40} = 0,613 \times 10^{-5} \text{ g/g}$$

$$A = 5,570 \times 10^{-5} \text{ cc/g} \quad \frac{A}{K^{40}} = 9,08$$

Absolutný vek

$$t = 250 \times 10^6 \text{ rokov.}$$

Argón získaný z oboch vzoriek sme nemohli pre chýbanie hmotného spektografu analyzovať na prímesy izotópov charakterizujúcich vzdušný argón, ktoré mohli vniknúť do vysokovakuového systému najmä vzhľadom na horšiu kvalitu k dispozícii stojaceho kremenného skla, i pre nedostatočné tesnenie, ktoré vysokovakuové aparátury vždy vo väčšej alebo menšej miere vykazujú. Ak vezmeme do úvahy ešte určitú chybu, ktorou je zaľažené vlastné stanovenie obsahu draslíka vo vzorke, vyplýva, že skutočne absolvítne veky, aké by sa získali aplikáciou viacerých izotopických kontrolovaných geochronologických metód by mohli vykazovať určité odchýlky od hodnôt nami obdržaných.

Domnievam sa, že za najreálnejší limit takejto odchýlky možno považovať $\pm 5\%$, v zvlášť nepriaznivých podmienkach do ca $\pm 10\%$. Metodikou slepých skúšok by bolo možné overiť do určitej miery tieto predpoklady. Je to však problém metodicky vymykajúci sa z rámca tejto stručnej zprávy, zvlášť s ohľadom na to, že ide o otázkou assyntského alebo variského veku vzniku granitoidov, teda o veľké časové rozpätie.

Z výskumu vzoriek argón-káliovou metódou vyplýva, že pegmatity od Kříženca a teda i s nimi geneticky späté granitoidy hanovskej jazvy majú podobne ako intrúzia lestkovského granitu pomerne úzke vzťahy, čo plne potvrdzuje názory publikované Zoubkom (l. c.).

Doba intrúzie týchto granitoidov spadá však podľa výsledkov našich geochronologických meraní A/K^{40} metódou do variského orogénu.

20. VI. 1958.

Geologický ústav D. Štúra,
Bratislava

LITERATÚRA — SCHRIFTTUM

- [1.] Bien A., 1930 Geologisch-petrographische Studien im Gebiete der mittleren Schnella. Lotos 78. — [2.] Hochstetter F., 1856: Allgemeiner Bericht über die geologische Aufnahme der I. Sektion d. k.k. geol. Reichs-Anstalt in Böhmen im Sommer 1855. Jahrb. Geol. R. A. VII.,

Wien. — [3.] Kettner R., 1913: O poměru svorů k fyllitům a rulám na Žluticku. Rozpravy Č. A. tř. II., roč. XXII. č. 43. Praha. — [4.] Kodym O., 1953: Geologie Českého masívu I. Úvod a zóna barrandiensko-železnohorská. Učební texty Vysokých škol. Praha. — [5.] Kratochvíl F. — Vachtl J. — Zoubek V., 1951: Geologické poměry kříženecko-nezdického pegmatitového pásma tepelské vysočiny. Sborník ÚUG XVIII. Praha. — [6.] Zoubek V., 1958: Poznámky ke geologii krystalinika českého masívu. Sborník StGÚ XV. Praha. — [7.] Zoubek V., 1958: Krystalinikum Západních Čech. Časopis pro min. a geol. roč. III. č. 2., Praha.

JÁN KANTOR

BEITRAG ZU KENNTNIS DES ALTERS EINIGER GRANITE UND PEGMATITE DES ŽLUTICE-TEPLAER KRISTALLINIKUMS IN NW BÖHMEN AUF GRUND DER A/K⁴⁰-METHODE

Das Kristallinikum des Erzgebirges ist von den unmetamorphierten Gesteinen des Barrandiens durch das metamorphe Gebiet des Tepláer Hügellandes (Teplá—Žlutice-Zone) abgetrennt.

Seit Hochstetter (1856) stellten Kettner (1913), Bien (1930) und Zoubek (1948, 1951) einen allmählichen Übergang zwischen dem unmetamorphosierten Proterozoikum des Barrandiens und den Gneisen des Tepláer Hügellandes fest. Kodym (1946) ist dagegen geneigt in der Grenze gegen das Barrandien das Ergebnis einer tektonischen und metamorphen Annäherung zu sehen.

Die neuesten detaillierten Arbeiten Zoubek's (l. c.) bestätigen jedoch den allmählichen Übergang der Phyllite, Glimmerschiefer in Gneise und autochthon durch metasomatische Granitisierung „in situ“ gebildete hochogene Granite.

So ein autochthones Gestein stellt der Granit-Gneis in der Umgebung der Stadt Teplá dar, welcher durch eine Migmatisationshülle mit den umliegenden Gneisen verknüpft ist.

Höher, zwischen Glimmerschiefer und Gneise ist der Granitkörper der Hanover intrusiven Furche emporgedrungen, der auf der Oberfläche in der Form eines ca 16 km langen und 1 km breiten Streifens entblöst ist. Räumlich und genetisch eng mit diesem Granit verbunden stehen zahlreiche Pegmatitgänge, die neuestens durch Kratochvíl und Vachtl (Kratochvíl — Vachtl — Zoubek, 1951) bearbeitet wurden. Sie treten teilweise nester- und gangförmig mit allmählichen Übergängen in den Graniten, teilweise in scharf begrenzten Gängen und Linsen in den Gneisen auf.

Am häufigsten kommen sie bei Kříženec, NE von der Stadt Planá vor und wurden hier, stellenweise auch anderswo wegen ihres Feldspat- und Muskovitgehaltes abgebaut.

Ein weiterer Granitkörper breitet sich bei der Gemeinde Lestkov aus. Er ist bis in die Phyllite emporgedrungen. Im Gegensatz zu den vorerwähnten ist er wenig gepresst und weist alle typischen Merkmale eines intrusiven Granites auf. Die petrographische Charakteristik und weiter detaillierte Angaben sind hauptsächlich den zitierten Arbeiten Zoubek's zu entnehmen.

Zoubek (1948, 1951, 1958) weist auf den engsten Zusammenhang zwischen der Metamorphose und dem Charakter der zugehörigen Granitoide hin, die er als Resultat eines und desselben metamorphosierenden Prozesses betrachtet. In seinen Arbeiten aus den Jahren 1948, 1951 schreibt er, dass sich die Intrusion der Granitoide (Granitgneise) und Pegmatite zusammen mit der Metamorphose des Žlutice—Tepláer Kristallinikums während der bretonischen Faltungphase des varistischen Orogens vollzog. Ähnlich stehen Beweise (Zoubek 1948) über die Existenz eines Kristallinikums in der Böhmischem Masse aus, das älter als varistisch bzw. kaledonisch wäre.

Kodym (1953) ist dagegen geneigt, die Existenz eines voralgonkischen und algonkischen Kristallinikums in der Böhmischem Masse vorauszusetzen.

In seiner neuesten Arbeit über Westböhmische kristalline Gebiete beschäftigt sich Zoubek (1958) wiederum auch mit gewissen geologischen Problemen des Tepláer Hügellandes und schreibt, dass man das assynthische Alter der Hauptfaltung, der Metamorphose und der primorogenen Granite als bewiesen betrachten muss.

Im Mai 1958 wurde eine mit Exkursionen verbundene Tagung der Tschechoslowakischen Gesellschaft für Mineralogie und Geologie in Karlové Vary gehalten.

Die Exkursion A/1 hatte zum Ziel das Gebiet des Žlutice—Tepláer Kristallinkums, wo verschiedene kristalline Schiefer und die Lokalitäten der hochorogenen Granite besichtigt wurden.

Erneut wurde hier im Gegensatz zu Zoubek's Ansichten über assynthisches Alter der Granitoide und Pegmatite in einer Diskussion durch O. Watznauer ihr varistisches Alter hervorgehoben.

Leider wurde es wegen Mangel an Zeit nicht einmal während der Haupttagung O. Watznauer möglich, sich näher über die Gründe gewisser seiner, von den vorgetragenen Meinungen abweichenden Ansichten zu äussern.

In unserem Laboratorium wurden daher zwei Proben einer Untersuchung nach der A/K⁴⁰-Methode unterworfen: ein Pegmatit von Kříženec und ein Granit des Lestkover Massivs (Lokalität 7 der Exkursion A/1) von der Strasse zwischen Lestkov und Domaslav.

Die Resultate sind wie folgt:

1. Pegmatit von Kříženec (Feldspat)

$$K = 9,495 \%$$

$$K^{40} = 1,139 \times 10^{-5} \text{ g/g}$$

$$A = 9,21 \times 10^{-5} \text{ cc/g.}$$

Verhältnis Argon: Kalium = 8,08 woraus sich ein Alter von

$$t = 226 \times 10^6 \text{ Jahren ergibt.}$$

1a. Pegmatit von Kříženec (Muskovit)

$$K = 7,553 \%$$

$$K^{40} = 0,906 \times 10^{-5} \text{ g/g}$$

$$A = 8,345 \times 10^{-5} \text{ cc/g}$$

$$t = 254 \text{ Millionen Jahre.}$$

Der Unterschied gegenüber dem Feldspat aus demselben Pegmatit ist auf Diffusion von Argon aus dem Feldspat zurückzuführen.

2. Lestkover Granit (Biotitkonzentrat)

$$K = 5,104 \%$$

$$K^{40} = 0,613 \times 10^{-5} \text{ g/g}$$

$$A = 5,570 \times 10^{-5} \text{ cc/g.}$$

Das absolute Alter

$$t = 250 \times 10^6 \text{ Jahre.}$$

Argon wurde nicht auf Gehalte für atmosphärischen Argon typischer Isotope kontrolliert. Der damit eingeführte Fehler gegenüber dem reelen absoluten Alter soll sich unserer Meinung nach gegen $\pm 5\%$ bewegen und 10 % nur in den schwierigsten Fällen überschreiten.

Nach der A/K⁴⁰-Methode ergibt sich für die Pegmatite von Kříženec und die mit ihnen verknüpften Granitoide der Hanover Furche, so wie auch für den Lestkover Granit der Žlutice—Tepláer Kristallinkums ein Alter, das sie in die varistische Orogenese einzureihen ermöglicht.

20. VI. 1958.

Geologische Anstalt D. Štúr's,
Bratislava

DUŠAN KUBÍNY

POZNÁMKY O TEKTONICKOM POSTAVENÍ A VEKU „HRONČOCKEJ“ ŽULOVEJ INTRÚZIE

(*1 mapa, nemecké resumé*)

Teleso hrončockej žuly vystupuje na význačnej tektonickej línií veporidnej, na ktorej vznikol vo fázach karpatského orogénu násun zóny Kráľovej hole na zónu krakovskú. Priebeh intruzívneho telesa: na západe prikrývajú vulkanity Bruzeňského grúňa (1271,3) na top. liste 4563/1. Intruzívne teleso od tejto erozívnej hranice prechádza výrazným ohybom Kamenistej doliny na V od Hrončoka a smeruje ďalej na SV do hornej časti Veľkej doliny západne od Čierneho Blha, kde končí. Juhozápadná časť intruzívneho telesa v okolí Hrončoka bola zmapovaná V. Zoubkom (1928), severovýchodná časť autorom tohto príspevku (1953–1956).

Bibliografické poznámky. V posledných rokoch sú jadrové pohoria predmetom intenzívneho výskumu a už aj doterajšie práce vyriešili mnoho nových problémov. Najmä v názoroch na intruzívny mechanizmus v Západných Karpatoch dosiahol sa veľký pokrok.

Hrončockému intruzívному telesu venoval v minulosti pozornosť V. Zoubek (1928), ktorý označil horninu ako stlačenú žulu (ortorulu). R. 1936 opisuje V. Zoubek toto intruzívne teleso a horninu označuje ako žulu typu „Hrončok“; podáva jej mikroskopickú charakteristiku a prirovnáva ju podobne ako iné muránske žuly ku Kotkoviemu typu „prašivskému“. V. Zoubek konštatuje, že kontinuitné kolísanie žúl acidnejších a bázickejších sa prejavuje v jadrových pohoriach i vo vnútornom tektonickom pásmi Západných Karpát.

V mapovacej zpráve z r. 1953 (archív GÚDŠ) uvádzam, že hrončocká žulová intrúzia použila karpatskú tektonickú líniu a preto ju treba považovať za mladú neoidnú intrúziu. Tento názor zastávam aj v článku z r. 1954, kde hovorím, že žuly typu „Hrončok“ intrudovali neskôr ako granodiority typu Sihla a Polhora, najskôr v čase karpatského horotvorného diania.

Dôkazy karpatského veku hrončockej intrúzie

I. Nápadná je predovšetkým petrografická a chemická podobnosť hrončockých žúl s niektorými typmi gemeridných žúl, napr. od Hnilca. Táto podobnosť je zjavná už aj makroskopicky [podľa porovnania vzoriek z tejto lokality s L. Kameničkým (1954)]. Napriek tomu, že temer celé intruzívne teleso je silne stlačené a postihnuté dislokačnou metamorfózou, zachovali sa na niektorých miestach masívnejšie typy týchto žúl, napr. v údolí Kamenistého potoka. Ide o žulu biotitickú stredného zrna, ktorá prechádza až do porfýrického vývinu s podradným zastúpením muskovitu. Porfýrické výrastlice sú biele ortoklasy, najčastejšie o veľkosti do 1 cm, ojedinele až 3 cm. Makroskopicky sú často viditeľné karlovarské zrasty výrastlíc. Zreteľné usmernenie horniny je zjavné aj u dislokačne nezbridličnatených typov so zachovanými pôvodnými minerálmi. Toto jednosmerné usmernenie je viditeľné hlavne na biotitech a čiastočne aj na živcových výrastliciach. Usmernenie minerálov a zbridličnenie zhoduje sa s pozdĺžnym smerom intrúzie SV – JZ.

Mikroskopicky majú prevahu ortoklasy, ktoré vykryštalizovali v dvoch kryštalizačných perío-
dach. Prvá generácia ortoklasov je v základnej granitickej hmote. Sú to mikrokliny a ortoklasy.
V II. kryštalizačnej període vykryštalizovali porfýrické výrastlice ortoklasov, ktoré najčastejšie
vystupujú ako perity a mikropertyt s karlovarským zrastom. Živcové ortoklasové výrastlice
uzatvárajú kremeň oválnych tvarov a plagioklasy, častejšie postihnuté sericitizáciou, zriedkavejšie
muskovitizáciou. Ortoklasmi II. kryštalizačnej períody bývajú často uzavreté aj šupiny biotitu
a ojedinele i muskovitu. Ortoklasové výrastlice majú nepravidelný kryštalizačný tvar; len v oje-
dinelých prípadoch možno pozorovať náznak hypidiomorfného vývinu. Plagioklasy sú zastúpené
albitoligoklasmi s albitickým zrastom, s kombinovaným albito-karlovarským zrastom, len ojedinele
majú periklinický zrast, alebo sú bez zrastov. Ojedinele majú hypidiomorfný vývin. Veľkosť
plagioklasov je variabilná; niekedy dosahujú veľkosť až 7 mm. Biotit je v základnej hmote
prítomný v podobe nepravidelných šupín a porfýrických výrastlíc. V porfýrickom vývoji uzaviera
niekedy muskovit a má bohatší obsah zirkonu. Biotit má silné pleochroické farby, podľa α žlt-
hnedú, podľa β tmavohnedú. Biotit základnej hmoty je viac náhylný k druhotným premenám —
k epidotizácii a chloritizácii. Porfýrický biotit je niekedy vyvinutý v pseudohexagonálnom tvaru,
niekedy sa na ňom prejavujú účinky kataklyzy bez sprievodných sekundárnych premen. Muskovit
je iba podradne zastúpený. Býva uzavretý v biotide a v porfýrických výrastliciach ortoklasov.
Kremeň vystupuje v základnej hmote a v zraste s plagioklasmi. Z akcesorických súčiastok je
vzácný granát a zirkón. Rutil je prítomný len v biotitových výrastliciach.

Sekundárne premeny minerálov dislokačne zmenených granitov

Pre dislokačne stredne postihnutý granitický typ sú charakteristické zmeny
minerálov. Dislokačné zbridličnenie u tohto typu vychádza najmä z blízkosti
biotitových šupín v smere ich priebehu, kde nastalo intenzívne drvenie. Biotit
podlieha epidotizácii, chloritizácii, muskovitizácii alebo až „baueritizácii“. Kremeň
bol intenzívne drvený, rozdrobený na sieť drobných jedincov mozaikového, dlaž-
dičkovitého vzhľadu. Plagioklasy boli intenzívnejšie sericitizované a ojedinele

i muskovitizované. Puklinky, ktoré vznikli následkom dislokačného zbridličnenia, sú zahojené sekundárnym kalcitom. Draselné živce odolávajú sekundárnym zmenám. Sú intenzívnejšie kaolinizované, len vzácne sericitizované a bývajú prestúpené drobnými puklinkami. Na tomto stupni dislokačnej premeny je pozorovateľná silná albitizácia ortoklasov.

Na ďalšom stupni dislokačného zbridličnenia dostáva granit bridličnatý vzhľad s jasne viditeľnou lineáciou. Ortoklasy sú intenzívne drvené a po puklinách zahojené sericitom alebo kremeňom. Plagioklasy sú silne alebo úplne sericitizované, najmä na okrajoch, ale aj celé. Biotit je zväčša celkom vybielený až baueritizovaný. Na tomto type dislokačnej premeny možno mikroskopom pozorovať určitú zonálnosť usporiadania sekundárnych minerálov.

Kontaktné zjavy

Výrazné kontaktné vplyvy tohto intruzívneho telesa chýbajú, čo je zapríčinené petrografickým charakterom okolitého prostredia a spôsobom tuhnutia magmy. Nie menej dôležitým faktorom boli aj mladšie tektonometamorfné pochody, ktoré dislokačnou metamorfózou zotreli prípadný väčší kontaktný účinok.

Kontaktné rohovcové ruly vyskytujú sa na JV v styku s okolitým kryštalinickom. Je to pás dlhý asi 1,5 km a široký asi 100 m na JV svahoch hrebeňa SV od Zákľuk.

Sú to jemnozrnnité, kompaktné šedobiele kryštalické bridlice s ojedinelými imbibičnými živcami a kremennými žilkami. Základné súčiastky sú: kremeň, ortoklas, mikroklin, plagioklas a biotit. Akcesoricky vystupuje granát a vzácne i apatit. Sekundárne zmeny sú podobné ako u granitov. Veľkosť zfn sa pohybuje medzi 0,3 až 0,7 mm, ojedinele až 1,5 mm. Ortoklasy a mikrokliny sú často zatlačované červičkovitým kremeňom; najmä väčšie zrná bývajú niekedy skoro úplne zatlačené kremeňom. Imbibičné výrastlice sú mikrokliny. Uzavárajú biotit, plagioklas a kremeň. Plagioklasy sú vo všeobecnosti bázickejšie ako u granitov a sú zastúpené oligoklasmi až oligoklas-andezínmi. Granáty sú mikroskopických veľkostí a v hornine sú zastúpené nepravidelne.

Chemické zloženie granitov

Tabuľka silikátových analýz hrončockých a gemeridných žúl.
Váh. %

Č.	SiO ₂	TiO ₂	P ₂ O ₅	Al ₂ O ₃	Fe ₂ O ₃	FeO	MgO	MnO	CaO	K ₂ O	Na ₂ O
1.	71,48	0,36	0,07	12,79	0,16	2,33	1,85	0,036	2,19	4,28	3,76
2.	72,00	0,21	0,06	10,51	1,41	1,55	2,75	0,063	1,72	4,12	4,48
4.	75,63	0,20	0,01	12,08	2,12	1,50	0,48	0,02	1,12	3,32	3,16
5.	72,00	0,02	0,21	14,62	0,52	0,72	0,27	0,02	1,17	5,17	4,26

Niggliho hodnoty

	si	al	fm	e	alk	k	mg	(e/fm)
1.	340,31	35,6	22,7	11,1	30,48	0,42	0,57	0,44
2.	335,33	28,53	29,63	8,31	33,51	0,35	0,76	0,28
4.	389,4	47,4	12,1	2,3	38,2	0,35	0,62	0,19
5.	367,5	48,3	9,9	7,04	34,7	0,52	0,55	0,71

1. *Porfýrovitý biotitický granit* — Kamenistý potok.
2. *Biotitický granit slabo stlačený* — Veľká dolina
3. *Biotitický granit slabo stlačený* — Veľká dolina
4. *Granit* od Hummela severne od V. Medzeva
5. *Porfýrická turmalinická žula* — Betliar

	Základné elementy od 100 % do 1 %	Prímesné elementy od 1 % do 0,01 %	Stopové elementy od 0,01 % — nižšie
1.	Si, Al, Fe, Na, Ca, K	Mg, Ti, Ga, Li, Ba, Sr, Mn	Pb, V, Cu, Sn, Ag, Yb, Cr, Sn, Ag, Zr, Co, Ni
2.	Si, Na, Fe, Al, Ca, K	Ga, Cu, Ti, Ba, Sr, Mn, Mg	Pb, Sn, Li, Ni, Cr, Bi, V, Ag, Yb, Co, Sc
3.	Si, Al, K, Na	Ca, Ti, Fe, Mg, Ba, Cu, Mn	Zr, Ga, Sr
4.	Si, Al, Fe, Ca, Na, K	Mg, Mn, Ba, Sr, Ti	Cu, Sn, Zr, Li, Sc, Pb, Cr
5.	Si, Al, Fe, Ca, Na, K	Mg, Mn, Ba, Sr, Ti	Cu, Sn, Zr, Li, Cr, Sc, Pb, V

Analyzované vzorky hrončockých granitov patria podľa Niggliho hodnôt k draselnému radu, leukosyenit do granitickej skupiny a k rapakiwitickému typu magmy. Odchylné sú hodnoty fm, čo súvisí s prevahou monosliednych granitov (zastúpený len biotit).

V porovnaní s niektorými gemeridnými granitmi, sú hrončocké granite o niečo bázickejšie a majú vyrovnanejší petrochemický charakter. Súvisí to s hlbinejším intruzívnym vývojom tuhnutia granitickej magmy.

Konsanguinita gemeridných granitov a granitov hrončockého intruzívneho telesa je aj podľa výsledkov spektrálnych analýz veľmi pravdepodobná.

II. Je zrejmé, že hrončocká intrúzia použila význačnú tektonickú líniu nasunutia zóny Královej hole na zónu krakovskú. Žulová intrúzia sa neviaže len na kryštalické bridlice tej istej metamorfnej fácie (karpatského dislokačného metamorfizmu), ale preráža aj dislokačne rozlične metamorfované pruhy kryštalických bridlíc, najmä diaftority a fylony biotitických pararúl a migmatitov. Tu treba zdôrazniť skutočnosť, že vývoj rozličných dislokačne metamorfovaných fácií nespadá do jedného dislokačne pohybového obdobia. Vo veporidách sú rozličné späťne metamorfované fácie pôvodne katametamorfného kryštalinika — diaftority. S V. Zubkom možno pokladať diaftorézu za výsledok dislokačného metamorfizmu karpatského a kartograficky rozlíšiť vo veporidách 3 stupne postupnej diaftorézy kryštalických bridlíc a migmatitov:

- a) bridlice s katametamorfénym vývinom,
- b) bridlice so slabo spätne metamorfénym vývinom,
- c) bridlice so silne spätne metamorfénym vývinom.

Dislokačný metamorfizmus variských granodioritov vo veporidách má podobné stupne intenzity dislokačnej metamorfózy, počinajúc zbridličnatenými typmi a končiac fylonitmi.

H. S t i l l e (1953) tvrdí, že spišské granite patria najpravdepodobnejšie do obdobia laramickej fázy vrásnenia. Tento rámcový odhad veku gemenidných granitov platí podľa môjho názoru aj pre hrončockú intrúziu. Tu však možno na základe metamorfín fácií okolitého kryštalinika i samotných žúl určiť relatívne presnejšie dobu intrúzie. Ak intrúzia žúl vnikla do dislokačne rozlične postihnutých kryštalických bridlíc a po existujúcej význačnej tektonickej línií karpatskej, musí byť mladšia ako hlavná fáza sekundárneho dislokačného zbridličnenia, i ako vznik význačnej tektonickej línie (línia nasunutia zóny Královej hole na zónu krakovskú), ale staršia ako skončenie dislokačných pohybov, ktoré intenzívne zbridličnatieli, alebo až fylonitizovali žulové teleso hlavne na okrajoch.

Zbridličnenie tohto intruzívneho telesa je dôsledkom prostredia s intenzívou tektonickou aktivitou, aká existovala v koreňových zónach pri zvrásňovaní subtatranských príkrovov.

Tažšie možno určiť začiatok pohybovej aktivity veporidného kryštalinika v rámci alpsko-karpatského horotvorného diania. Ak predpokladáme, že zmena sedimentácie v druhohorách mala vzťah k pohybom ich podložia, potom možno hovoriť o obdobiach kľudu a obdobiach pohybovej aktivity, teda o obdobiach, kedy jestvovala nekludná geosynklinálna sedimentácia, alebo keď bol povrch vynorený nad hladinu geosynklinálneho mora [poznámky o geosynklinálnej sedimentácii v zmysle A n d r u s o v a (1936, 1938)]. Podľa toho bolo podložie druhohor v pohybovej aktivite už počas druhohôr, a to vo fázach vrásnenia, teda od povařiskej regenerácie (S t i l l e), cez kimerské a austrické fázy vrásnenia, až po subhercýnsku a laramickú fázu vrásnenia.

Intenzívne tektonické pohyby dislokačného charakteru možno zaradiť pravdepodobne už do obdobia skončenia subtatranskej sedimentácie, teda do mladšej austričkej fázy, ale hlavne do subhercýnskej fázy vrásnenia a trvali cez celú laramickú fázu vrásnenia. Ich skončenie je opäť problematické, pretože aj neskôr sa mohli uplatňovať regeneračné dislokačné pohyby, ktoré mali vo veporidách len pomerne nepatrny význam.

III. Hrončocká intrúzia predstavuje intrúziu syntektonicky serorogénnu. Minerálne súčiastky sú často usmernené, čím dostáva žula charakter ortoruly. Intrúzia vnikla a utuhlala ešte počas nedokončených usmernených tlakov. Žula po utuhnutí podlahla hlavne na okrajoch intenzívnej dislokačnej premene, miestami vznikli až chloriticko-sericitické bridlice, čiže fylony, hlavne v pásmi južného okraja intrúzie, kde sa dislokačné pohyby a tlaky prejavili najintenzívnejšie.

Drobné štruktúry, ako neobridličnosť, mikrovŕasy a systémy puklín majú lokálne odchylné hodnoty ako hlavné tektonické línie, v danom prípade hlavne línie na-sunutia zóny Královej hole na zónu krakovskú. Plochy neobridličnosťi fylonitov, pararúl alebo migmatitov, v ktorých sa nachádza aj severovýchodná časť intrúzie, majú smer $70-80^{\circ}$ SV poväčšine s príkrym sklonom k juhu. Usmerenie a neobridličnenie granitov má hodnoty zhodné s priebehom tektonickej línie, po ktorej vnikala intrúzia. Prirodzene, najintenzívnejšie boli dislokačnou metamorfózou postihnuté okrajové pásma. Masívnejší vzhľad žúl možno nájsť len v juhozápadnej časti, v úseku ohybu Kamenistého potoka, južne od kóty 871. Usmerenie horninových komponentov je aj tu dobre viditeľné.

V žulovom telesu možno pozorovať viac systémov puklín (hlavne tri systémy), no pre nedostatok dobrých odkryvov nemožno podať ich celkovú charakteristiku. Podľa niektorých meraní, ktoré som robil v SV časti intruzívneho telesa má prvý systém charakter pozdĺžnych puklín smer SV až SSV s príkrym sklonom nejednotného smeru. Ďalší systém puklín, ako sa zdá, relatívne mladší, sú pukliny SZ až SSZ tiež s príkrym sklonom nejednotného smeru a najmladšie sú pukliny smeru S-J s príkrym sklonom nejednotného smeru. Posledné sú doprevádzané mylonitmi.

IV. Ďalším dôkazom mladšieho veku hrončockej intrúzie oproti variskému plutonu vepridných granodioritov je skutočnosť, že hrončocké intruzívne teleso introduje čiastočne do migmatitov, ktoré sa viažu na vepridný granodioritový pluton.

V článku z r. 1954 konštatujem, že v zóne Královej hole smerom na SZ možno pozorovať v migmatitoch postupné ubúdanie ortokomponentov. Tieto granitizačné stupne možno veľmi dobre pozorovať aj v mnohých odkryvoch doliny Kamenistého potoka od Sihly až po okraj hrončockej intrúzie. Ak by boli žuly hrončockej intrúzie variské, mali by spôsobovať rozsiahlejšiu granitizáciu plášťa, čo však u hrončockej intrúzie nemožno pozorovať.

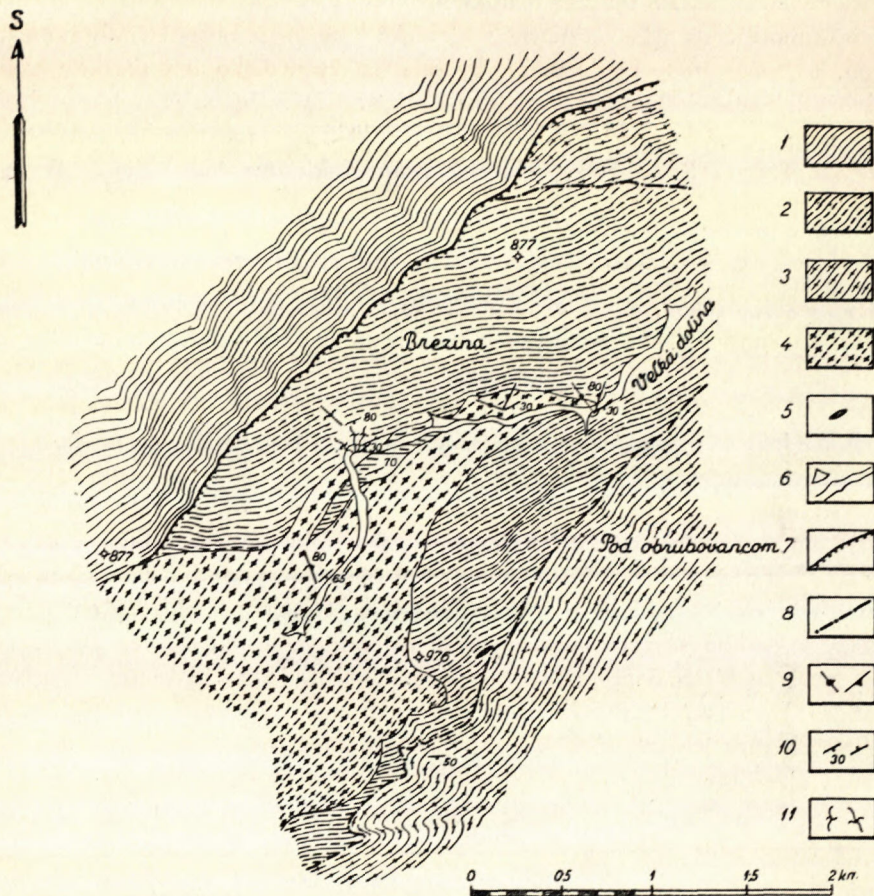
Vzťah karpatskej tektoniky k intruzívному mechanizmu

Je prirodzené, že horotvorné pochody dávajú popud ku vnikaniu magmatu do vyšších častí zemskej kôry v podobe intrúzií, alebo na povrch zemský v podobe efúzií. Až donedávna viedol sa spor, či gemeridné žuly sú karpatské alebo variské. Dnes je už tento problém vyriešený jednoznačne [Kordiuk 1941, Schönenberg 1947, Ončáková 1955, Kamenický J. - Kamenický L. 1955, (kálium-argonová skúška Kantom 1957)]. Gemeridné žuly sú hypoabysálne žulové intrúzie, ktoré použili pri svojej intrúzii význačný karpatský smer gemeridnej geantiklinály. Takéto intrúzie sú známe aj z iných alpinských typov pohorí.

Vo vepridách možno takéto intrúzie predpokladať rovnako oprávnene. V Zprá-

GEOLOGICKÁ MAPKA SEVEROVÝCHODNEJ ČASŤI HRONČOCKEJ GRANITOVEJ INTRÚZIE

Zostavil: D. KUBÍNY



1. Fylony pararúl a migmatitov s prevládajúcim parakomponentom krakovského kryštalínika. —
 2. Fylony pararúl a migmatitov s prevládajúcim parakomponentom kráľovoholského kryštalínika. — 3. Diaforizované migmatity a migmatity chočského kryštalínika. — 4. Usmernený a neoídný zbridličnatý granit hrončockej intrúzie. — 5. Kremenná šošovka. — 6. Aluvium. — 7. Tektonická línia I. radu. — 8. Tektonická línia II. radu. — 9. Pukliny. — 10. Neobridličnatosť. — 11. Menlivé smery a sklonky puklín.

vach 1954 uvádzam toto: „Ak predpokladáme redukciu a pohlcovanie celých komplexov hornín, ba i podzón (čo je dokázané), zákonite musíme predpokladať aj ich pretavovanie v hĺbkach. Ďalej je prirodzené, že so vznikom mohutných porúch v kôre zemskej mohol byť daný i popud k vulkanickej činnosti a k pochodom diferenciačným.“

Význačná tektonická línia nasunutia zóny Královej hole na zónu krakovskú, bola vhodnou vystupovou cestou hrončockej žulovej intrúzie. Niektoré poznatky a zistené fakty oprávňujú ma nadhodiť problém, či podobné intrúzie nepoužili ako výstupové cesty i iné význačné tektonické línie, resp. oblasti s hlbkovou tektonikou. Za tohto predpokladu mohlo by sa nájsť východisko aj v otázke viazanosti niektorých rudných ložísk na materskú magmu. Išlo by samozrejme o ložiská, ktoré majú jasné znaky karpatského veku, ako napr. niektoré ložiská v oblasti Nízkych Tatier (Staré Hory, Konský grúň, Ladarova hoľa, Boca, Trangoška a iné).

Vzťah zrudnenia vo veporidách ku karpatským intrúziam

Už niekoľko rokov prevláda názor, že väčšia časť rudných ložísk na Slovensku je karpatského veku. Pre tento názor hovoria mnohé dôkazy, ale hlavne karpatské smery tektonických linií a puklín, zrudnenie v zavrásnenom mezozoiku a iné. S pravdepodobnosťou, ba takmer s istotou možno tvrdiť, že niektoré spišskogemerské ložiská viažu sa na gemeridné granite. (Tento názor vyslovilo v minulosti už viac autorov).

V severnejších tektonických jednotkách je takéto štúdium veľmi stažené nedostatkom priamych súvislostí rudných ložísk s mladými intrúziami, ktoré zatiaľ môžeme len predpokladať. Len hrončocká intrúzia by mohla byť takým spájadlom. V iných jadrových pohoriach, resp. rudných oblastiach pomohli by len nepriame dôkazy zo štúdia sukcesie a paragenézy jednotlivých rudných výskytov a stopových prvkov. V každom prípade bude treba brať do úvahy možnosť existencie mladých karpatských hlbkových intrúzií ako materských rudnosných magiem niektorých rudných ložísk.

Záver

Novšie pozorovania z r. 1956 utvrdili ma v názore z r. 1954 v otázke veku granitov hrončockej intrúzie.

Na základe týchto pozorovaní usudzujem, že

1. intrúzia použila ako výstupovú cestu tektonickú líniu nasunutia zóny Královej hole na zónu krakovskú;

2. k intrúzii došlo po vzniku rozličných späťne metamorfých fácií vepridného kryštalínika a pred ukončením dislokačných pohybov, ktorých vplyv sa odrazil na zbridličnení, miestami až sfylonitizovaní žul, hlavne na okrajoch intrúzie;

3. na hrončockú intrúziu môže sa viazať aj zrudnenie v jej širšom okolí (Lubietová, Vepor, Osrblie, Čierny Blh a iné).

Je veľmi pravdepodobné, že na význačných tektonických liniach Centrálnych Karpát v nevelkých hlbkach možno aj inde predpokladať takéto intrúzie.

Ako vyplýva z uvedeného, nemožno považovať hrončocké žuly za leukokratnejší diferenciát veporidných granodioritov (Zoubek 1936), ale za samostatnú intrúziu, ktorá môže mať spoločný magmatický krík s gemenidnými žulami vo väčších hľbkach. K intrúzii došlo po väčšom časovom odstupe po variskom intruzívnom cykle v podobe syntektonickej — serorogénnej až vysoko orogénnej intrúzie karpatskej.

30. IV. 1958.

*Geologický ústav Dionýza Štúra,
Bratislava*

LITERATÚRA

- [1.] Andrusov D., 1930: Příspěvky ku geologii severozápadních Karpat. Sborník St. geol. úst. IX, Praha. — [2.] Andrusov D., 1956: Subtatranské příkrovky Západních Karpat. Carpatica I, Praha. — [3.] Andrusov D., 1938: Geologie Slovenska. Praha. — [4.] Kamennický J. — Kamennický L., 1955: Gemenidné granity a zrudnenia Spišsko-gemerského rudoohoria. Geol. práce 41, Bratislava. — [5.] Kordiuk B., 1941: Junge granite und Vererzung des slowakischen Erzgebirges. Zentralblatt f. Miner., Geol. und Paleont. Stuttgart. — [6.] Kubiny D., 1954: Niekolko poznámok ku geologii koreňových zón subtatranských príkrovov na juh od Brezna. Geol. práce, Zprávy 1, Bratislava. — [7.] Kubiny D., 1958: Poznámky o geologii, tektonike a metamorfizme veporíd južne od Hrona. Geol. práce, Zprávy 12, Bratislava. — [8.] Oncáková P., 1955: Petrografia a petrochémia gemenidných žul. Geol. práce 39, Bratislava. — [9.] Schönenberg R., 1947: Plutonismus und Metallisation in der Zipser Zone (Karpathen) (Ein Beitrag zur Altersfrage der Zipser Granite). Zeitschrift der Deutschen Geologischen Gesellschaft, 99, Stuttgart. — [10.] Stille H., 1953: Der Geotektonische Werdegang der Karpathen. Beihefte zum Geologischen Jahrbuch, 8. — [11.] Zoubek V., 1928: Geologické studie z pohoří Veporu na Slovensku. Věst. stát. geol. úst. čs. rep. IV. č. 4—5, Praha. — [12.] Zoubek V., 1936: Poznámky o krystaliniku Západních Karpat. Věstník St. geol. úst. ČSR, Praha.

DUŠAN KUBINY

ANMERKUNGEN ÜBER DIE TEKTONISCHE STELLUNG UND ALTER DER GRANIT-INTRUSION IM GEBIETE „HRONČOK“

Neuere im Jahre 1956 durchgeföhrte Beobachtungen bekräftigten meine Meinung aus dem Jahre 1954 bezüglich des Alters der Granite der Intrusion im Gebiete Hrončok.

Auf Grunde dieser Beobachtungen bin ich der Meinung, dass

1. die Intrusion als Anstiegsweg zur Verschiebung die tektonische Linie von der Zone Králová hola an die Zone Kraklov benützte;
2. zur Intrusion kam es nach der Entstehung verschiedener rückmetamorphen Facies des veporiden Kristallinkums und vor Beendung der Dislokationsbewegungen, deren Einfluss sich an der Verschieferung, an einigen Stellen sogar an der Phylonitisierung der Granite, besonders am Rande der Intrusion, zeigte;

3. an die Intrusion im Gebiete Hrončok bindet sich auch die Erzbildung in seiner breiteren Umgebung (Ľubietová, Vepor, Osrblie, Čierny Balog u. a.).

Es ist wahrscheinlich, dass man an den hervortretenden tektonischen Linien der Zentralkarpathen auch anderswo in den nicht grossen Tiefen solche Intrusionen voraussetzen kann.

Wie es aus dem oben Angeführten herausgeht, kann man die Granite im Gebiete Hrončok nicht als leukokratische Diferentiationen der vepriden Granodiorite (Zoubek 1936) betrachten, sondern als eine selbstständige Intrusion, die einen gemeinsamen magmatischen Herd mit den gemeriden Graniten in grösseren Tiefen habe könnte. Zur Intrusion kam es nach einem grösseren Abstand nach dem variscischen intrusiven Zyklus in Form einer syntektonisch: serogenen Karpatischen Intrusion.

Bratislava, 30. IV. 1958.

*Geologisches Institut Dionýz Štúr's,
Bratislava*

IVAN ČILLÍK – PAVOL SOBOLIČ – RUDOLF ŽÁKOVSKÝ

**NIEKOĽKO POZNÁMOK
K TEKTONIKE PEZINSKOPERNECKÉHO KRYŠTALINIKA**

(Nemecké resumé, 2 mapy, 17 profilov)

I. Úvod

Rozsiahle prieskumné práce orientované na pyritové zrudnenie v Malých Karpatoch priniesli okrem odkrycia zásob pyritovej rudy i niektoré fakty dôležité pre posúdenie tektonickej stavby pezinskoperneckého kryštalinika. Popri prieskume pyritových rúd skúmala sa i ekonomická hodnota zrudnenia farebných kovov. Treba tu vyzdvihnuť zásadný význam prepracovania názoru na genézu pyritového zrudnenia Polák o m (1956) oproti koncepciam starších autorov.

**II. Stručný prehľad doterajších názorov
na stavbu pezinskoperneckého kryštalinika**

Ložiská pyritu, farebných kovov i zlata a zaujímavá geologická stavba pezinskoperneckého kryštalinika boli od dávna predmetom geologického štúdia. Názory na stavbu pezinskoperneckého kryštalinika môžeme rozdeliť do troch období. Prvé obdobie (od konca minulého storočia do roku 1952) sa vyznačuje nejasnenými názormi na petrografiу, genézu a tektoniku Malých Karpát. V druhej etape, do roku 1957, sa riešili zásadné otázky petrografie a vzniku hornín, petrogenézy i základnej stavby (C a m b e l 1952, 1954, 1956, C a m b e l – K u p č o 1953, P o l á k 1956) a od tej doby sa datujú prvé pokusy riešiť detailnejšie tektonickú stavbu pezinskoperneckého kryštalinika (C a m b e l – práca v tlači).

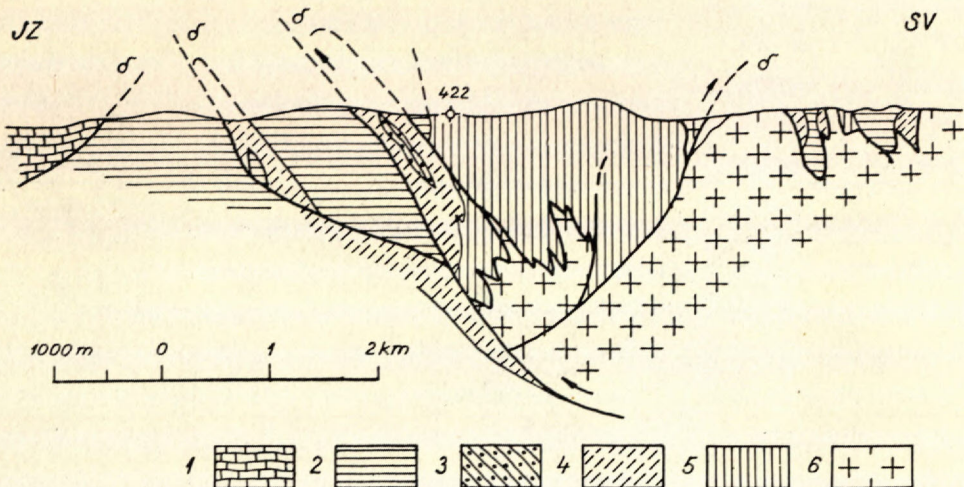
V prvom období mali najväčší význam práce Beckove a Vettersove (1904). Podľa nich je kryštalíkum Malých Karpát budované žulou, dioritom a kryštalickými bridlicami, zastúpenými kremitými fyllitmi s početnými intrúziami porfýrov. Porfyroidy spomínajú aj F a r k a s (1917), P a p p (1919), K o u t e k – Z o u b e k (1936), P a u k (1937) a celý rad iných. Genetické pomery pyritových a antimonových ložísk dáva L a c h m a n n (1915) do úzkej súvislosti s intrúziou porfýrov. K r u s c h (1916) už považuje tieto ložiská za

dozvuky intrúzie granitov, ktoré R i c h a r z (1908) považuje za poliasové. Antimonit pokladajú všeobecne za starší minerál ako pyrit. Tieto názory prevládali až do roku 1950. Zaujímavý je i vari najstarší, A n d r i a n o v (1864) popis geológie ložiska pyritu a antimonitu v Cajlanskej doline, podľa ktorého leží toto ložisko v ílovitých bridliciach bohatých na živec a je intenzívne zvrásnené; v jeho blízkosti sú grafické bridlice.

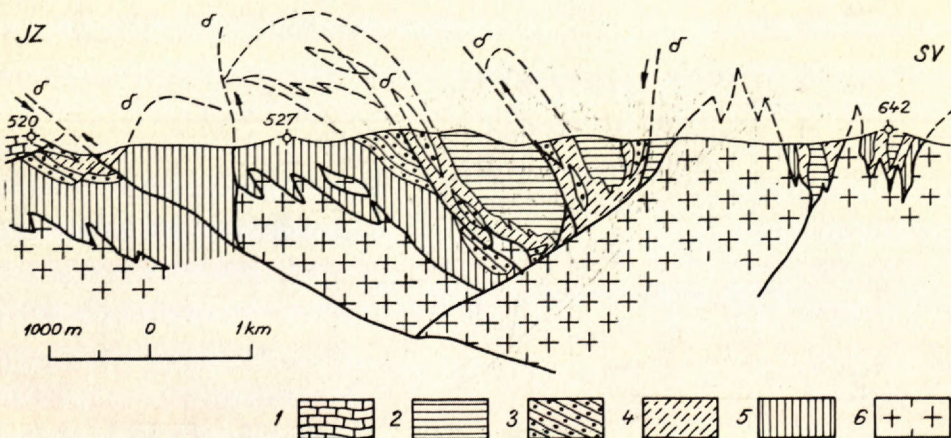
V rokoch 1950—1958 C a m b e l (1950, 1952, 1958) dokázal, že v pezinskoperneckom kryštalíniku neexistujú porfyroidy, ale že ide o škvŕnité amfibolity alebo tektonicky, prípadne hydrotermálne zmenené granitoidné horniny. P o l á k (1956) a za ním C a m b e l (1956) prichádzajú s názorom, že pyritové zrudnenie je syngeneticke, submarinno-exhalačné a že vzniklo spolu s ostatnými horninami pezinskoperneckého kryštalínika v súvrství aktinolitických bridlíc, doprevádzaných grafickými bridlicami a telesami amfibolitov. Antimonové zrudnenie je oveľa mladšie a podľa C a m b e l a (1953, 1956) navázuje na dozvuky karbónskej intrúzie granitoidov bratislavského a modranského plutonu, ktoré sú spojené v hlbke v jediné teleso. V doteraz nezverejnenej práci predpokladá C a m b e l (1958) intenzívne zvrásnenie pezinskoperneckého kryštalínika pred a počas intrúzie karbónskeho plutonu a poklesy vysvetluje ako výsledok alpského vrásnenia. V samotnom vývoji hornín pezinskoperneckého kryštalínika C a m b e l (1956) uvažuje najmä o dvoch obdobiach zintenzívnej vulkanickej činnosti, ktorá je spojená i s exhalačnými pochodom a tak sa produkuje viac stratigraficky samostatných rudných (pyritových) polôh. Počiatok vulkanickej činnosti kladie na perifériu a jej prudký opäťovný rozmach do stredu geosynklinálne paleozoika pezinskoperneckého kryštalínika. Prierez metamorfovaných hornín kryštalínika na tomto území začínajú i ukončujú detritické sedimenty.

III. Výsledky geologického mapovania povrchu

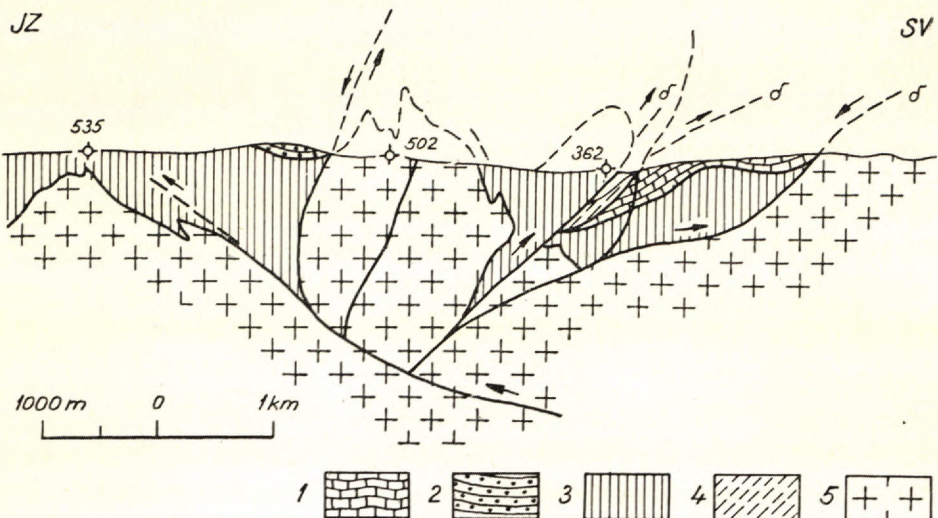
Geologické mapovanie pezinskoperneckého kryštalínika sa robilo v pomerne podrobnom merítku na povrchových mapách ($M = 1 : 1000$ a $1 : 5000$), a to prakticky v petrograficky a tektonicky najkomplikovanejších partiách a bolo spojené s rozsiahlymi prieskumnými prácami vrtnými i banskými. Toto umožňuje nám spresniť doterajšie geologické mapy (príl. 1) a sumarizovať výsledky merania štruktúr, či už v prieskumných prácach, či na povrchu, interpretovať ich do určitých štruktúrnych línií zakreslených na priloženej mape (príl. 1). Postup interpretovania nie je štatistického charakteru, ale syntézou dielčích dát i s prihliadnutím k výsledkom príslušných prieskumných prác. Interpretované štruktúry umožňujú urobiť si predstavu o zvrásnení pezinskoperneckého kryštalínika, ako to znázorňujú priečne rezy (obr. 1—4). Styk mezozoika s kryštalínikom sa pri prieskumných prácach overoval len náhodne. Trojuholník pezinskoperneckého kryštalínika, z juhu a východu uzavretý masívmi granitoidných hornín a zo



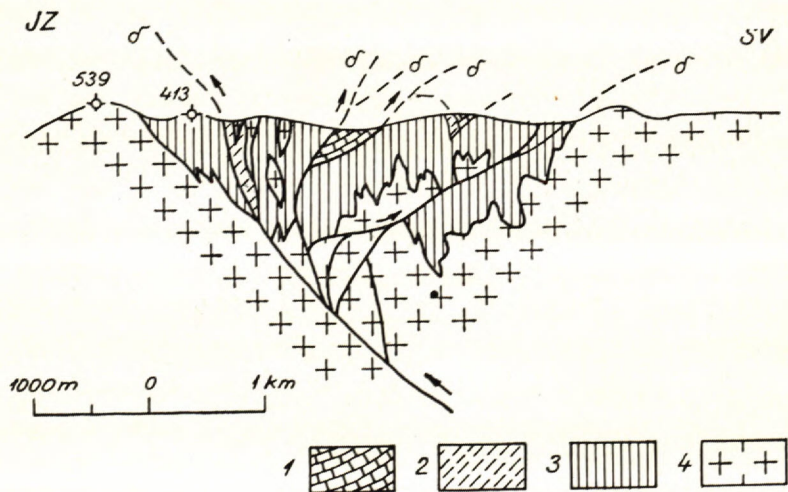
Obr. 1. Priečny rez A — A'. 1 — mezozoikum a terciér v celku, 2 — nadložné efuzíva (amfibolity), 3 — podložné efuzíva, 4 — aktinolitické bridlice, 5 — fyllity a ruly, 6 — granitoidy.



Obr. 2. Priečny rez B — B'. 1 — mezozoikum a terciér v celku, 2 — nadložné efuzíva (amfibolity), 3 — podložné efuzíva (amfibolity), 4 — aktinolitické bridlice, 5 — fyllity a ruly, 6 — granitoidy.



Obr. 3. Priečny rez C — C'. 1 — mezozoikum a terciér v celku, 2 — podložné efuzíva (amfibolity), 3 — fyllity a ruly, 4 — aktinolitické bridlice, 5 — granitoidy.



Obr. 4. Priečny rez D — D'. 1 — mezozoikum a terciár v celku,
2 — aktinolitické bridlice, 3 — fyllity a ruly, 4 — granitoidy.

severu prikrytý mezozoikom sérií Malých Karpát, má zaujímavú vejárovitú stavbu striedajúcich sa pruhov jednotlivých hornín kryštalínika. V juhovýchodnej časti tohto trojuholníka možno konštatovať aj roj väčších i menších telies *granitoidných hornín*. Za samostatného člena pezinskoperneckého kryštalínika možno považovať *biotitické fylity, svory až ruly*. Sú to detritické sedimenty paleozoického mora, pôvodne piesčito ilovitého charakteru s prevahou ilovitých zložiek. Tieto horniny sa vyskytujú obyčajne v okolí eróziou odkrytých granitoidov a tvoria okraj pezinskoperneckého kryštalínika v jeho juhovýchodnej a severovýchodnej časti. Výskyt vyššie metamorfovaných členov týchto hornín je viazaný na tesný styk s granitoidmi, v blízkosti ktorých je komplex rúl prestúpený hustou sústavou približne ložných žíl granodioritu (severne od kóty 539 — bratislavský masív). Okrem detritických sedimentov sa vyskytujú i horniny zmiešaného typu, kde nad detritickou zložkou má absolútну prevahu vulkanický materiál. Komplex *vulkanicko-detritických hornín* začína na báze amfibolitmi, v nadloží ktorých možno ešte miestami konštatovať ojedinelé polohy vyložene detritických sedimentov (Turecký vrch). Ďalej sa striedajú horniny *detriticko-organogénneho pôvodu* — terajšie grafitické bridlice a fylity — s horninami detriticko-pyroklastického zloženia, ktoré majú ráz tufitov a nazývajú sa aktinolitické bridlice. V tomto súvrství sú známe pomerne zriedkavé šošovkovité telesá *amfibolitov*. Toto súvrstvie nazývame tiež produktívnym, pretože je nositeľom sedimentárne-exhaláčného *pyritového zrudnenia* (Polák). V nadloží súvrstvia je vyvinutý mohutný komplex *amfibolitov*, ktoré svojou mocnosťou a rozsahom presahujú význam amfibolitov na podloží a v strede detritickovulkanického súvrstvia. Popri amfibolitoch bežného zrnitého a masívneho typu (jemnozrnné amfibolity), väčšinou hrubolavicovitej textúry, sa ojedinele vyskytujú polohy *škurnitých amfibolitov*. Ďalšou anomalitou vulkanicko-detritického komplexu sú *kremité fylity*, známe zo severnej časti kryštalínika, z oblasti Rybniček — Kuchyňa. Ich podstatu tvorí prakticky iba kremeň s ojedinelymi lupienkami biotitu a ihličkami aktinolitu a ich mineralogické zloženie doplňuje i primárny pyrit. Väčšina hornín vulkanicko-detritického komplexu vytvára centrálnu časť pezinskoperneckého kryštalínika; najmä pruhy podložných amfibolitov a produktívnej zóny vytvárajú pásy vejárovite usporiadane smerom SZ — JV tak, že ich konvergenciu možno očakávať na JV časti terénu. Nadložné amfibolity vyplňujú väčšinou priestory medzi pásmi produktívnej zóny v strednej časti kryštalínika a len na západnom okraji sú kolmo ohraničené vyššie uvádzaným vejárovitým priebehom produktívnych zón.

Postavenie produktívnej zóny je miestami zaujímavé. Na Tureckom vrchu priamo v nadloží produktívnej zóny sa vyskytujú biotitické fylity a ruly. Na severnom ramene produktívnej zóny je však sled hornín obdobný ako inde, a to: biotitické fylity — produktívna zóna — nadložné amfibolity. Podobná situácia je i smerom na sever od kóty 576. Aj tu sú to ruly, potom podložné amfibolity a produktívna zóna. Sledovanie štruktúr a prieskumné práce (vrtu) objasňujú tieto

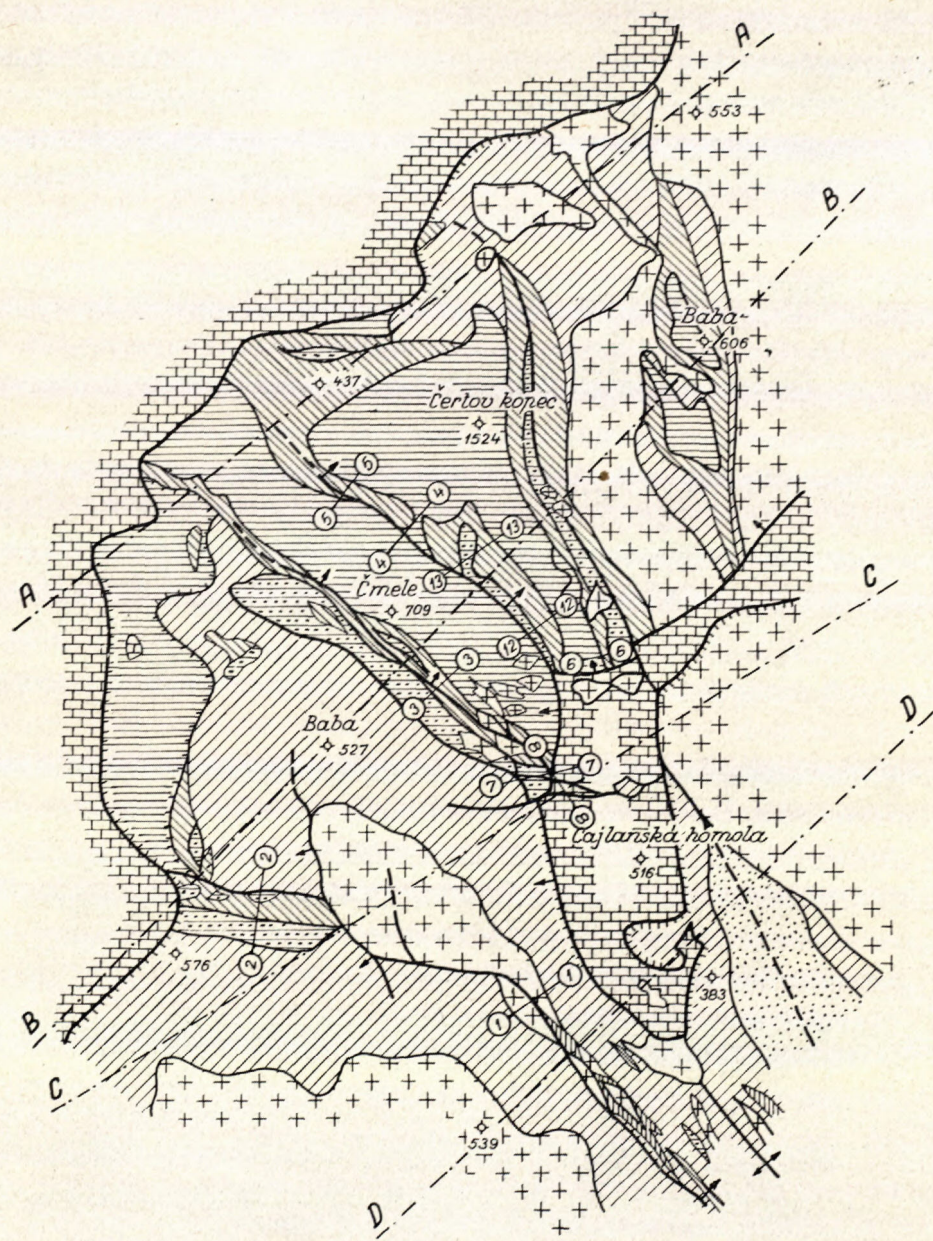
nezrovnalosti. Styk produktívnej zóny v smere S—J a Z—V je mimoriadne komplikovaný vo smere a sklene foliácie hornín. *Východozápadné rameno produktívnej zóny* má podla prieskumných vrtov smerom do hlbky sústavne menší sklon a podla výnosu jadra z vrtov a dokumentácie štôlne Rudolf ide iba o *tektonickú brekciu*. Najmä nadložné partie produktívnej zóny sú prakticky mylonitom. Preto dochádzame k názoru, že *styk produktívnej zóny v smere V—Z na Tureckom vrchu a biotitických fyllitov a rúly v okolí kóty 648 je tektonický a že fyllity a rúly boli presunuté cez produktívnu zónu*. Nadložné amfibolity v okolí Gašparovej a ďalej na severe majú odlišný priebeh štruktúr ako severné rameno produktívnej zóny Tureckého vrchu a partie biotitických fyllitov. To svedčí o tektonickom styku nadložných fyllitov s ostatnými horninami tejto oblasti. *Zaujímavé postavenie má i ostrov produktívneho súvrstvia a amfibolitov (nadložných?) severozápadne od vrchu Baba*. Už medzi produktívnym súvrstvím a amfibolitmi javí sa na tomto ostrovčeku jasná disharmónia štruktúr, ba i samotný ostrov je zrejme *tektonicky obmedzený oproti okolitým biotitickým fyllitom a svorom*. Rámcové tektonické pomery produktívnych pásov medzi kótami Baba—Čmele—Čertov kopec—Skalnatá dobre ilustrujú priložené detaily z prieskumných prác, ktoré dopĺňujeme týmto komentárom:

1. Čelba je z konca slednej chodby Kolárskej štôlne, v juhovýchodnom pokračovaní pezinskoperneckého kryštalínika. Ide o detail z klínu silne drvených kryštalických bridlíc, zaseknutého medzi granodioritové teleso. Poruchové pásmo je nositeľom sírnikového zrudnenia, v ktorom dominuje antimonit. Vo vlastnom poruchovom pásmе však najčastejšie prevládajú drvené grafitické bridlice (profil 1).

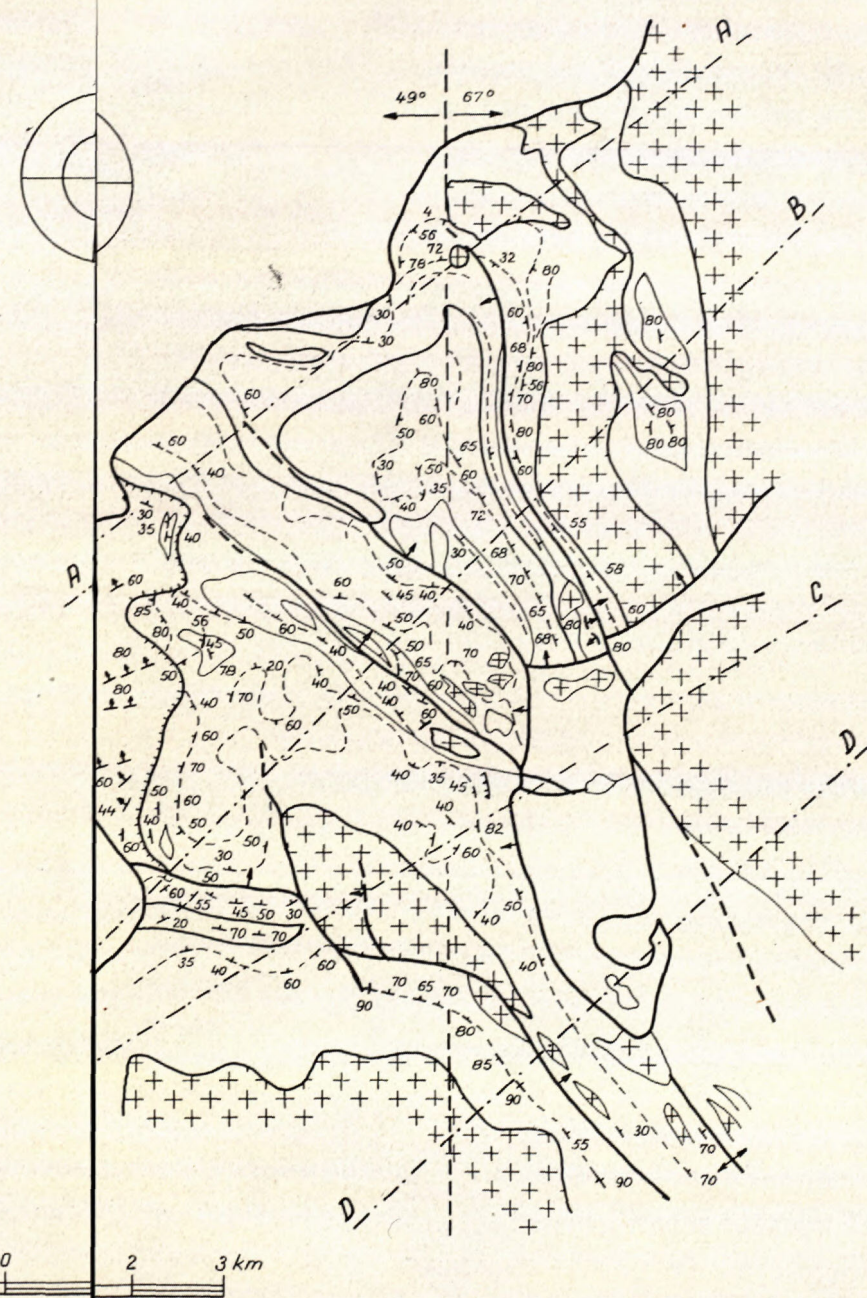
2. *Turecký vrch*. Profil podáva za pomocí vŕtaných sond a vrtov čiastočnú geologickú situáciu juhovýchodnej časti kryštalínika. Najhlbším vrtom boli zistené biotitické fyllity a rúly, tvoriace vložku na rozhraní medzi spodnými amfibolitmi a aktinolitickými bridlicami. Samotná produktívna zóna aktinolitických bridlíc obsahuje väčšiu rozvetvujúcu sa pretiahnutú šošovku hnetených a drvených grafitických bridlíc. V nadloží grafitickej polohy nachádza sa hlavná rudná poloha, oddelená iba niekoľko metrov mocným súvrstvím aktinolitických bridlíc, túto polohu tvorí kremitografitová pyritová ruda, ktorej mocnosť sa smerom do hlbky zmenšuje. Najhlbším vrtom sa zistila iba pyritová ruda grafitického typu, zrejme vyvalcovaná v grafitických bridliciach. V nadloží sa striedajú polohy grafitických a aktinolitických bridlíc, až do tektonického styku so strednými jemnozrnnými amfibolitmi. Profil názorne ukazuje zmenšovanie veľkosti sklonu produktívneho súvrstvia smerom do hlbky.

3. *Augustín*. Profil charakterizuje produktívnu zónu ložiska Augustín, ktoré je typické svojou mimoriadne komplikovanou morfológiou rudných telies. Ďalej je tu patrný zaujímavý tektonický styk granodioritu s kryštalickými bridlicami. Pri všetkých prieskumných práciach bola konštatovaná silná mylonitizácia

Schématická geologická mapa a interpretovaná štruktúry pezinskopernecke kryštalínika

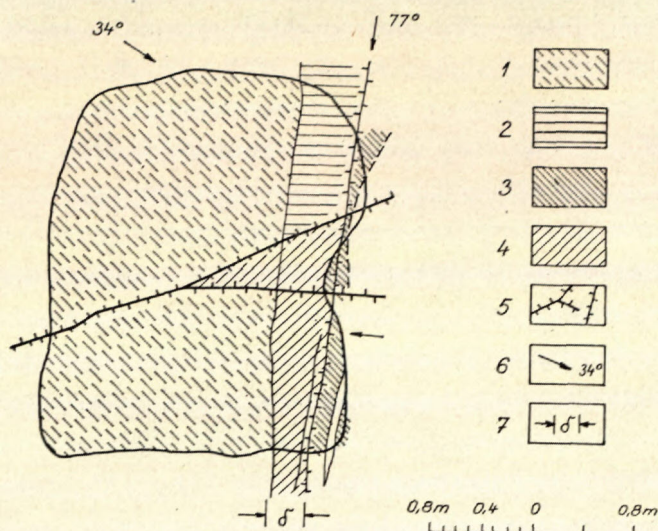


1 — kvartér; 2 — mezozoikum a terciér v celku, 3 — granitoidy, 4 — nadložné efuzíva (amfibolity), 5 — metamorfované tufity (aktinolitické bridlice), 6 — podložné efuzíva (amfibolity), 7 — výskyt blastomylonitizovaných untruzív (škvŕnité amfibolity), 8 — ilovito-kremiťité pelity a psamity (fylity a ruly),

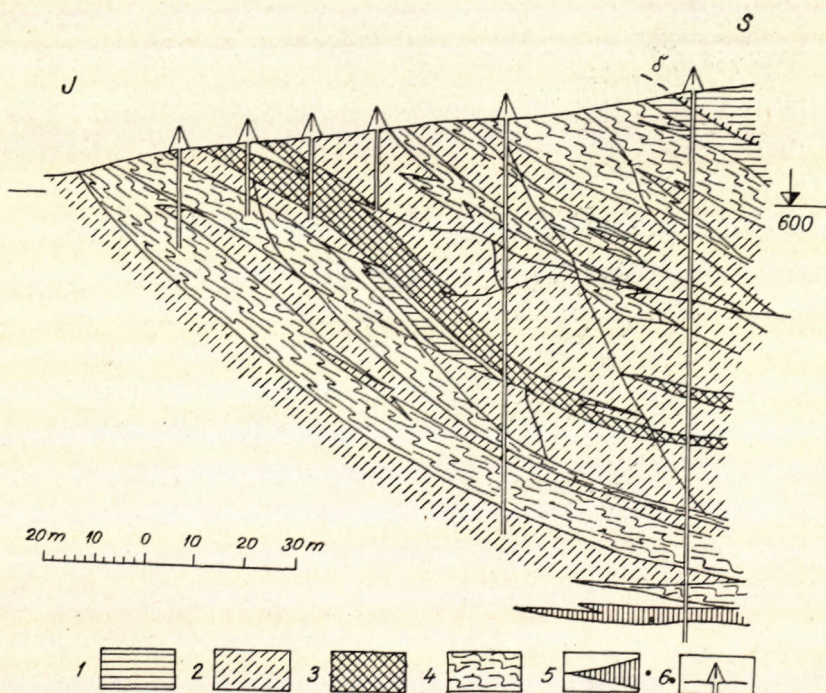


9 — tektonický styk, 10 — význačné poruchy, 11 — integrované štruktúry v metamorfovaných efuzívach, 12 — integrované štruktúry v ilovito-kremiťitéch pelitoch a psamitoch, 13 — názorné priečne rezy, 14 — detailné priečne rezy, 15 — hranica diferencií priemerných sklonov hornín.

- 1
 - 2
 - 3
 - 4
 - 5
 - 6
 - 7
 - 8
 - 9
 - 10
 - 11
 - 12
 - 13
 - 14
 - 15
- 49° 67°



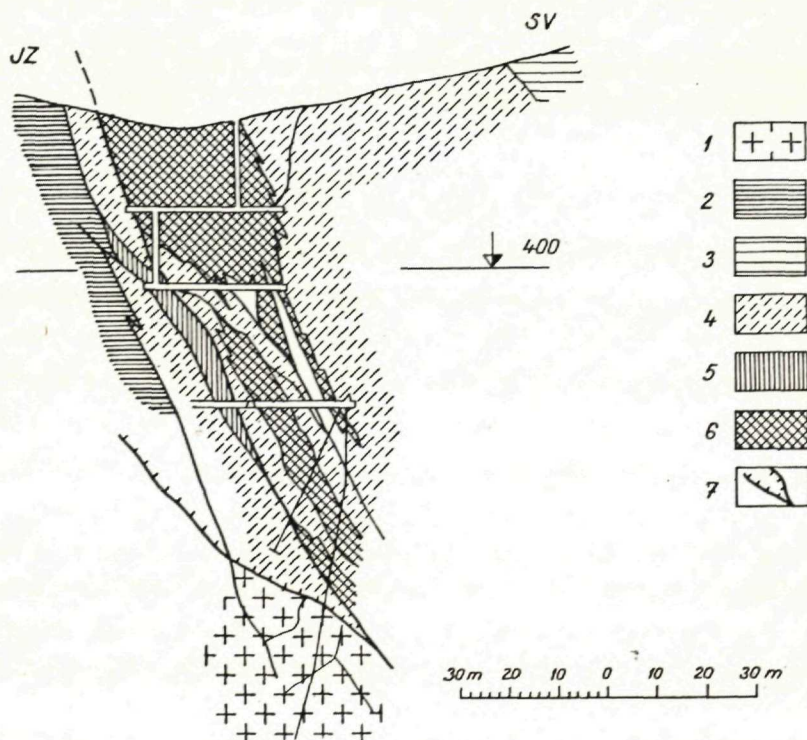
Profil 1. Kolárova štôlňa. 1 — aktinolitické bridlice, 2 — grafitické bridlice, 3 — hnetené grafitické bridlice, 4 — silne hnetené grafitické bridlice, 5 — dislokácia, 6 — sklon štruktúr, 7 — dislokačné pásmo s náletmi Sb₂S₃ (hnetené grafitické bridlice).



Profil 2. Turecký vrch. 1 — stredné amfiboly, 2 — aktinolitické bridlice, 3 — pyritová ruda, 4 — hnetené grafitické bridlice, 5 — vložky paralúl a fyllitov, 6 — hlbinné vrty.

granodioritu. Pre ilustráciu uvádzame prehľad percentuálneho výnosu jadra z vrtov, ktoré prechádzali v tejto oblasti cez partie granitoidných hornín:

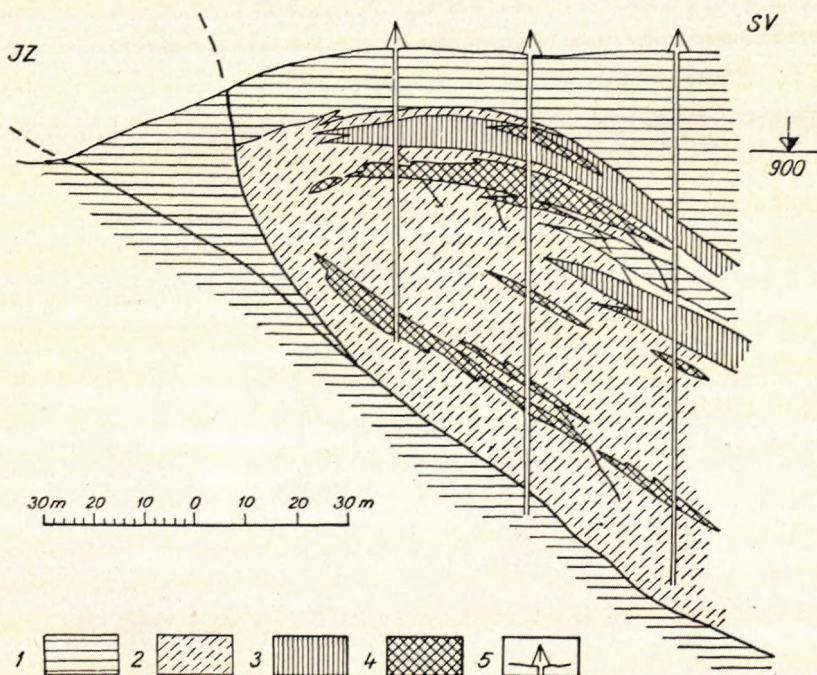
Vrt číslo	Navŕtané v rozmedzí	Výnos v %	Poznámka
PZ-21/a	48,0— 62,0	10	V podl. 4 m mocná poloha drt. graf. bridl.
PZ-26	19,0— 29,5	13	Pukliny vyplnené kryšt. mladšieho pyritu
PZ-50	0,0— 52,0	46	—
PZ-51	21,0— 90,4	36	Silne drvené a vyhojené mladším pyritom
PZ-53	39,0— 49,0	20	Silne mylonitizované
PZ-55	63,0— 87,0	63	—
PZ-56	2,0— 13,6	21	Silne drvené
PZ-57	3,0— 64,5	20	Silne mylonitizované
PZ-58	2,0— 45,0	17	—
PZ-60	6,0— 41,0	37	—
AP-6	103,0— 111,0	2,5	Mylonit
AP-8	75,0— 150,0	6,9	—



Profil 3. Augustín. 1 — granitoidy, 2 — podložné amfiboly, 3 — nadložné amfiboly, 4 — aktinolitické bridlice, 5 — grafitické bridlice, 6 — pyritová ruda, 7 — dislokácia.

V oboch podzemných vrtoch na predmetnom profile je výnos vrtného jadra taký malý, že tu právom môžeme predpokladať poruchové pásmo, ktoré smerom na povrch prechádza cez grafitické bridlice a ďalej využíva rozhranie rudného telesa a kryštalických bridlíc ako mechanicky odlišných elementov. Tieto partie poruchového pásma v aktinolitických bridliciach sú značne chloritizované a prestúpené žilkami kremeňa v polohách grafitických bridlíc. Táto tektonická linia má veľký význam a značne formuje úložné pomery produktívnej zóny ložiska Augustín. Jej priebeh možno konštatovať prakticky na všetkých prieskumných úsekoch a na nej i tektonicky vyznieva ložisko Augustín v oblasti Čmele, ktoré je silne rozrušené v oblasti Misarského Ostrovca.

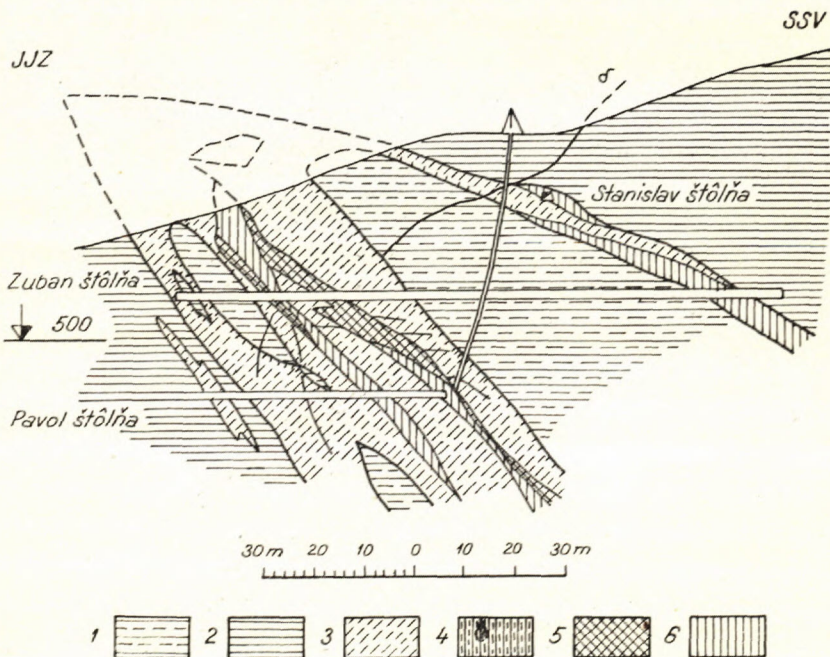
4. Čertov kopeč. Profil je vedený v miestach, kde sa v pezinskoperneckom kryštaliniku zásadne mení smer a sklon, vrstevnatosť a foliácia. Profil predstavuje vrásu, kombinovanú s dislokáciami prešmykového charakteru. Je doložený geologickým mapovaním a prieskumnými prácami. V blízkom okolí profilu na JV a SZ produktívnu zónu uzavierajú nadložné amfibolity, ako to vidíme na profile. Inde je už tento uzáver pokrytý. Produktívnu zónu tvorí na spodnom ramene vrásu silne segmentovaná rudnou polohou v aktinolitických bridliciach, na hornom



Profil 4. Čertov kopeč. 1 — nadložné amfibolity, 2 — aktinolitické bridlice, 3 — grafitické bridlice, 4 — pyritová ruda, 5 — hlbinné vrtky.

ramene vrásy, tektonicky neredukované grafitické bridlice a nepatrne väčšia segmentovaná rudná poloha. V hornej časti vrásy sú ďalej tektonické zvyšky poloh amfibolitov (pravdepodobne podložných). Celé produktívne pásma sa vyznačuje mimoriadnou chloritizáciou a na spodnom ramene vrásy sa vyskytuje i pyrhotín. Na základe týchto faktov predpokladáme, že k presunu produktívnej zóny došlo cez nadložné amfibolity, pričom krehkosť amfibolitov podmienila vznik zlomov a relatívne plastické bridlice produktívneho pásma majú početné flexury a vrásy. Rudné polohy a amfibolity ako mechanicky odlišné elementy boli v produktívnej zóne intenzívne segmentované a tektonicky roztrhané.

5. J a h o d i s k o. Tento profil je ďalším pokračovaním produktívnej zóny severozápadným smerom v oblasti Čertového kopca a prakticky len potvrdzuje opis profilu č. 4. Tu je ešte viac zvýraznená mechanická diferenciácia medzi telesami amfibolitov a bridlíc. Ďalšou zaujímavosťou je výskyt a zrudnenie sírnikov s prevahou antimonitu a bertieritu. Toto zrudnenie je viazané na poruchy kompaktnej pyritovej rudy, alebo na poruchové pásma, hlavne amfibolitov. Vložky bridlíc v amfibolitoch sú detailne prehnetené. Profil zároveň ukazuje redukciu horného ramena vrásy, ktorá je výraznejším prejavom vyvalcovania v dôsledku rozsiahlejšieho presunu nadložných amfibolitov na tomto ramene. Dá sa predpo-

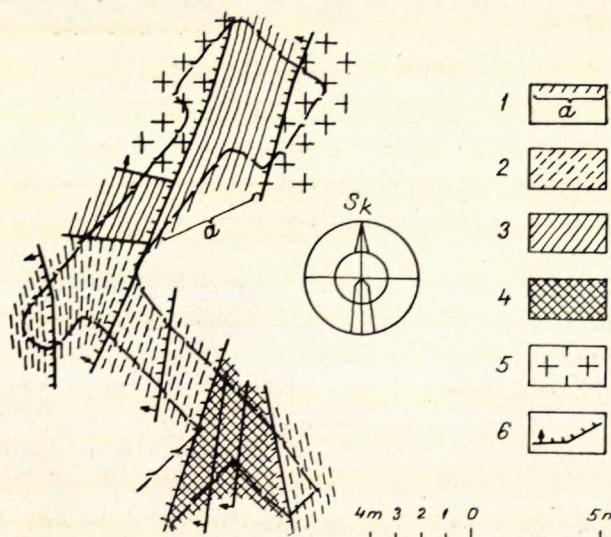


Profil 5. Jahodnísko. 1 — podložné amfibolity, 2 — nadložné amfibolity, 3 — aktinolitické bridlice, 4 — grafitické bridlice, 5 — pyritová ruda, príp. antimonit, 6 — hnetené grafitické bridlice.

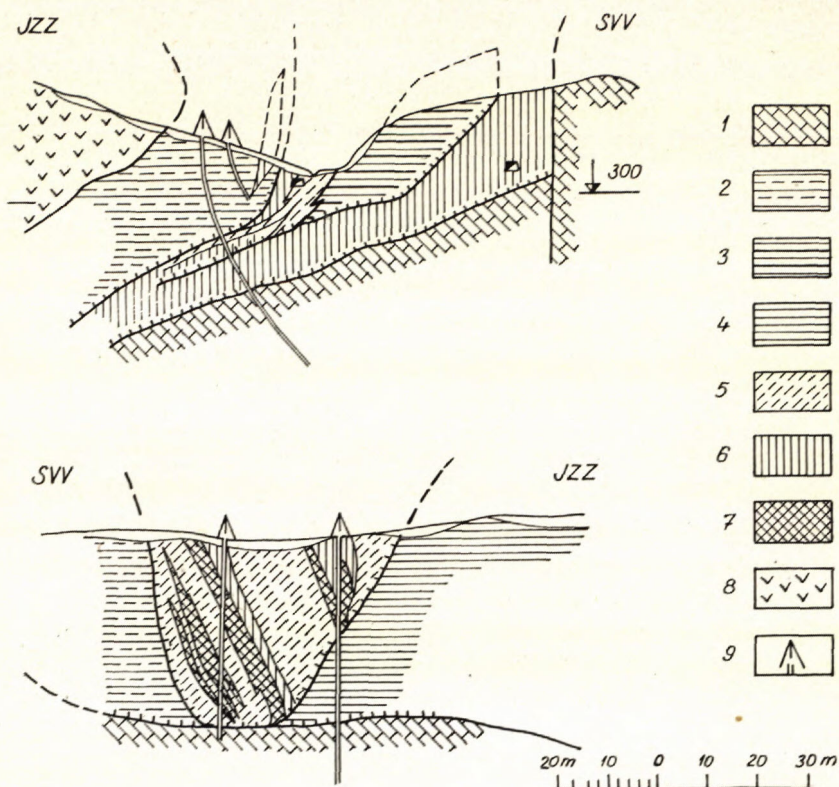
kladať, že produktívna zóna spodnej časti ramena vrásy bola pred redukciou čiastočne uchránená v dôsledku určitej stability podložných amfibolitov spodného ramena vrásy. Počas prieskumných prác na tomto revíre bola konštatovaná detailná tektonika zlomového charakteru s malými amplitúdami posunu, predovšetkým v polohách pyritovej rudy i na samotnom antimonitovom zrudnení. Je zrejmé, že medzi týmito zlomami môžu byť zastúpené prvky, súvisiace s vrásnením celého komplexu i prvky, ktoré sú mladšími zložkami celého vrásnenia. Staršie zlomy sú výsledkom vybytia napäťi kompaktných lavíc pyritovej rudy alebo amfibolitov, ktoré majú porovnatelne menšiu plasticitu pri vrásnení ako bridlce. Pre správne zaradenie zlomov do tej alebo onej skupiny je smerodatné antimonitové zrudnenie, spojené s karbonátmi a kremeňom.

6—7. Profily štôlne Michal a Rybníčka. Tieto profily veľmi добре charakterizujú styk mezozoika a kryštalinika v oblasti Cajlanskej homoly. Profily hovoria o tom, že pri alpskom vrásnení došlo zrejme k značným presunom kryštalinika na mezozoikum.

Značne zvrásnené a rozrušené južné krídlo produktívnej zóny na profile Rybníček, zaseknuté medzi nadložné a podložné amfibolity s prejavom význačnej diskordancie pri vrásnení, je presunuté na pomerne plocho uloženú dislokáciu cez vápence mezozoika. Presunové pásmo je charakterizované niekoľko metrov mocnou tektonickou brekciou. Rudné polohy sú rozptýlené skoro po celej produktívnej zóne a sú značne chloritizované. Sklon produktívnych polôh je opačný ako obvykle (smer JJZ) a je známy z tejto produktívnej zóny i ďalej na severu. Na tomto



Profil 6. Rýhová — dynamitový sklad. 1 — mladšie hydroterm. prejavy v grafitických bridliciach — žilky a hniezda karbonátov, nálety Sb₂S₃, 2 — aktinolitické bridlice, 3 — grafitické bridlice, 4 — pyrhotín, 5 — granitoidy, 6 — dislokácia.



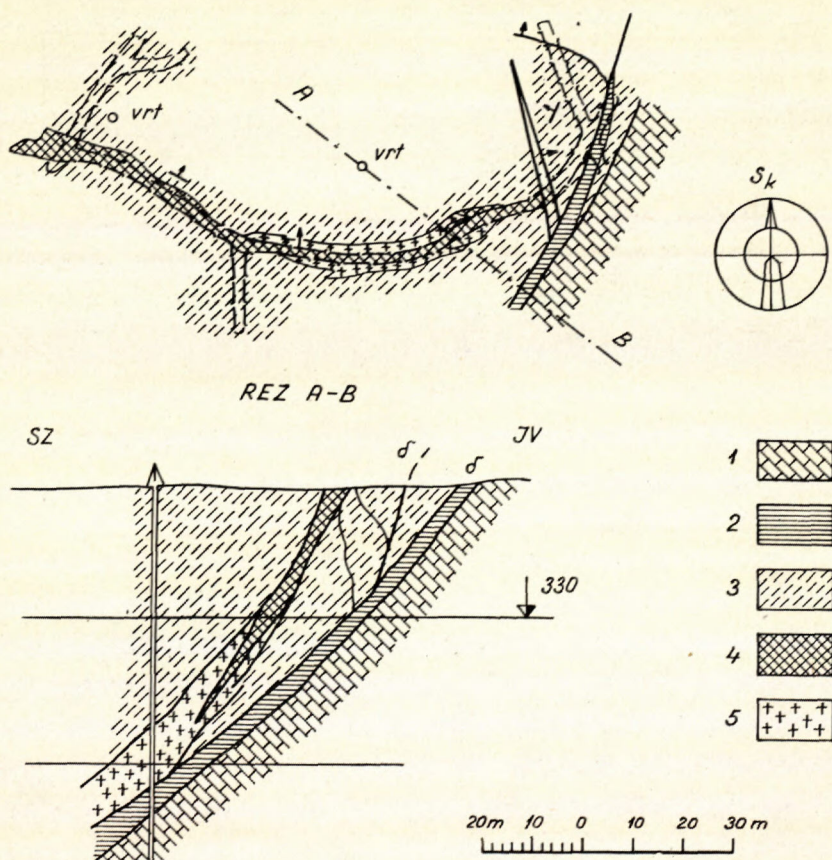
Profil 7. Štôlňa Michal – Rybníček. 1 – mezozoikum a terciér v celku, 2 – podložné amfiboly, 3 – stredné amfiboly, 4 – nadložné amfiboly, 5 – aktinolitické bridlice, 6 – grafitické fyllity, 7 – grafit. bridlice, príp. pyritová ruda, 8 – biotitické fyllity a ruly, 9 – vrt.

výskyt sa zistilo väčšie množstvo Cr granátu – uwarovitu, trávovo zelenej farby, ktorý vyplňuje dutinky kryštalických bridlíc. V severnom pokračovaní tejto zóny je známe antimonitové zrudnenie.

Na profile štôlne Michal možno konštatovať presun kryštalinika cez mezozoické väpence. Presunová línia je komplikovaná dislokácia poklesového charakteru. Tento pokles je pravdepodobne výsledkom vyrovnania napäti medzi jednotlivými partiami kryštalinika po jeho intenzívnom zvrásnení. V komplexe produkívnej zóny možno konštatovať po spojení oboch ramien vrásy redukciu aktinolitických bridlíc pyritovej polohy a tektonickú rozvláčnosť telies amfibolitov. Amfiboly sa zachovali prakticky iba v jadre vrásy. Prieskumné práce na úseku medzi podložnými amfibolitmi a produktívnu zónou overili disharmóniu vo vrásnení. Obdobná situácia je i medzi podložnými amfibolitmi a biotitickými fyllitmi. Tento úsek prakticky reprezentuje skôr tektonické, než primárne vymiznutie ložiskového ľahu Augustín na prešmykových líniah pri styku s mezozoikom Cajlanskej ho-

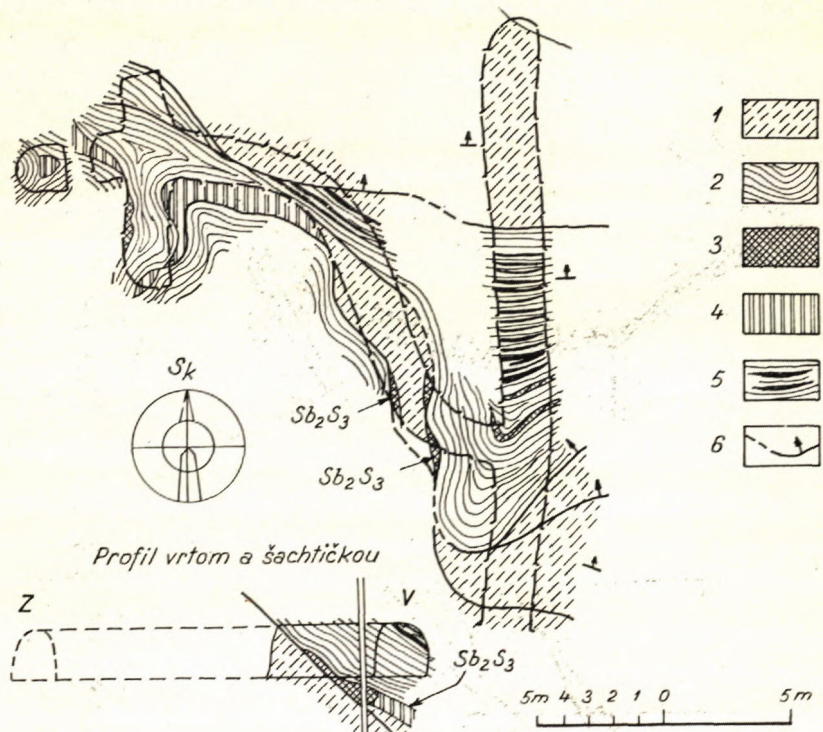
moly a zároveň i veľké stlačenie kryštalínika v juhovýchodnej časti predmetného terénu.

8. Rýhová. Na mapke i na profile vidno presunutie kryštalínika cez mezozoické vápence. Na tektonickej línii sú silne mylonitizované grafitické bridlice, ktoré slúžili ako tektonické mazadlo. Aktinolitické bridlice v nadloží poruchy sú detailne zvrásnené a silne chloritizované. Silne drvená žulová apofýza, primákyňajúca sa svojou spodnou časťou k poruche, uzatvára menšie ložisko kremito-grafitovej pyritovej rudy. Ložisko je smerom na východ tektonicky prerušené. Ide pravdepodobne o prešmyk či posun s väčšou amplitúdou, pretože jeho pokračovanie sa za zlomom na prekope k tomu účelu razenom, nikde nezistilo.



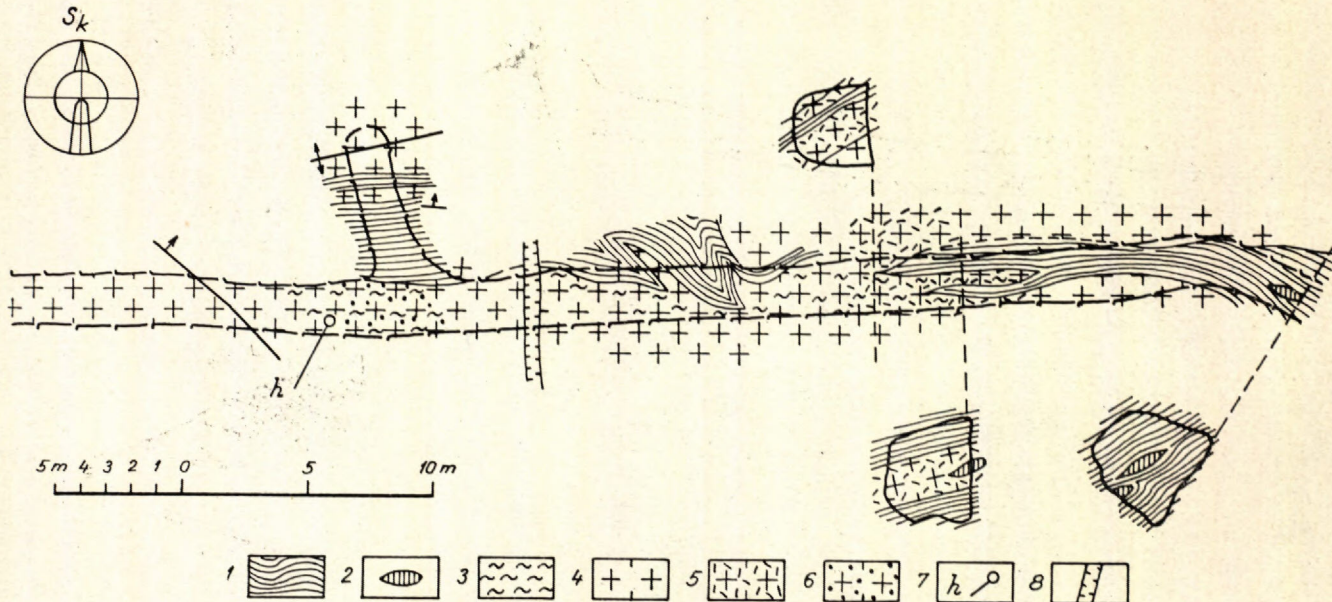
Profil 8. Rýhová. 1 — mezozoikum, 2 — hnetené grafitické bridlice, 3 — aktinolitické bridlice, 4 — pyritová ruda, 5 — granitoidy.

9. Štôlňa Stanislav. Predložená situácia a detail úložných pomerov zrudnenia Sb ukazuje na veľmi zložitú tektonickú stavbu. Hnetené a detailne zvrásnené grafitické bridlice tvoria silne porušenú zónu v hydrotermálne postihnutých aktinolitických bridliciach značne chloritzovaných. Početné šošovky kremeňa v grafitických bridliciach sú na dislokačných líniah poohýbané a rozrušené. Zrudnenie Sb je vyvinuté v podobe náletov a šošoviek umiestnených na miestach styku grafitických a aktinolitických bridlíc. Tieto šošovky antimonitu môžu byť, ako bolo konštatované na štôlňach Pavol a Zubau, ojedinele segmentované mladšími poruchami. Plasticú deformáciu grafitických a aktinolitických bridlíc dopĺňuje deformácia disjunktívna.



Profil 9. Pernek — detail štôlne Stanislav. 1 — aktinolitické bridlice, 2 — grafitické bridlice, 3 — pyritová ruda, príp. antimonit, 4 — kremeň, 5 — lavice pyritovej rudy, 6 — dislokácia.

10. Nádej. Dokumentácia časti štôlne ukazuje situáciu na západnom klíne úseku Nádej ložiska Augustín. Po zbridličnení kryštalických bridlíc, ktoré je totožné s primárной vrstevnatostou, došlo k intrúziam variských granodioritov, ktoré tvoria početné ložné apofýzy, ichory až injekcie. Granodiority i okolité horniny postihla intenzívna tektonická premena, ktorá sa prejavila silným zvrásnením hornín, pričom tu došlo k čiastočnému zvrásneniu granodioritov, porušených



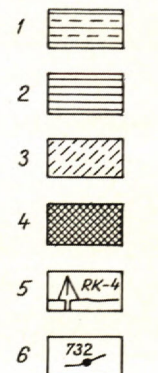
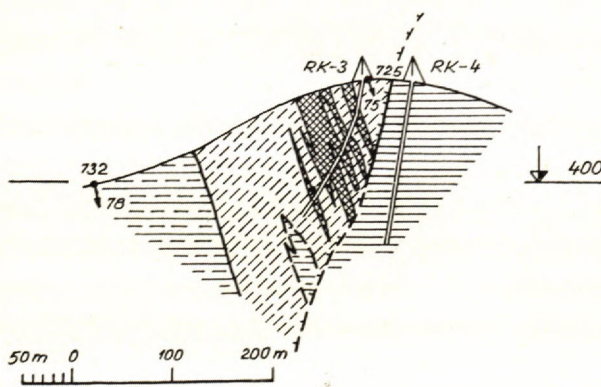
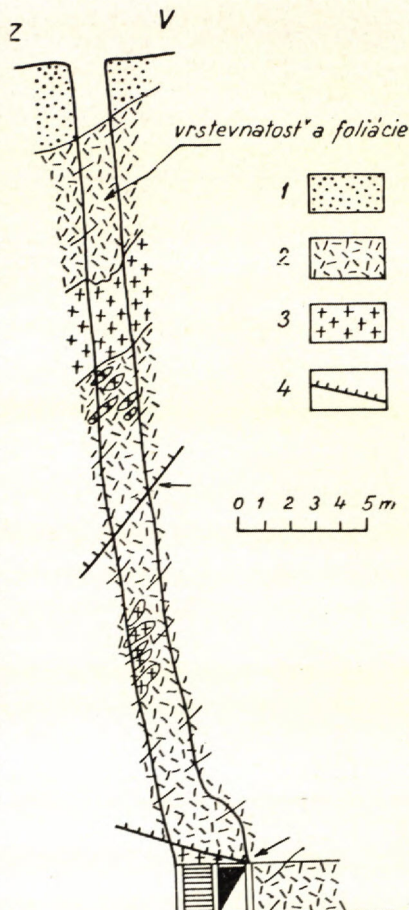
Profil 10. 1 — grafitické bridlice, 2 — xenolit grafitických bridlíc v granitoidoch, resp. šošovky granitoidov v grafitických bridliciach, 3 — milonitzáca, 4 — granitoidy, 5 — silne porušené granitoidy, 6 — sericitizovaná žula, 7 — hyalit na puklinkách, 8 — dislokácia.

ešte mnohými dislokáciami. Granodioritové apofýzy vnikajú do okolitých hornín bez ohľadu na ich petrografický charakter, pričom na kontakte došlo k určitému zatlačovaniu a pochlcovaniu okolitých hornín.

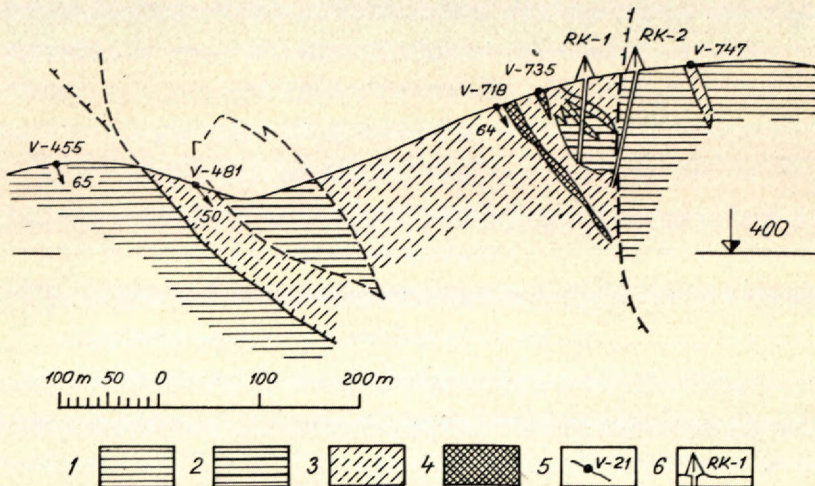
11. Prekop pod štôlňou Augustín — komín. Vnikanie granodioritu do amfibolických hornín veľmi dobre ilustruje komín na Rýhovej štôlni. Granodiorit tu vniká na miestach zbridličnatenia do amfibolitov. Okraje granodioritu sú proti amfibolitom nepravidelné, laločnaté, pravdepodobne dôsledkom anatexie medzi intruzívnu zložkou a amfibolitmi.

12. a 13. Rybníček. Priečne rezy, zistené počas vrtných prác a povrchového geologického mapovania, dokumentujú intenzívne stlačenie produktívneho súvrstvia medzi masy nadložných amfibolitov. Toto stlačenie je doplnené význačnými tektonickými líniarmi na rozhraní nadložných amfibolitov a produktívneho súvrstvia. Z rezov je zrejmá disharmónia vrásnenia a useknutie polôh pyritových rúd.

Profil 11. Rýhová — komín. 1 — kvartér, 2 amfibolity, 3 — granitoidy, 4 — dislokácia.



Profil 12. Rybníček — priečny rez 12-12. 1 — podložné amfibolity, 2 — nadložné amfibolity, 3 — aktinolitické bridlice, 4 — pyritová ruda, — 5 povrchový vrt, 6 — odkryv.



Profil 13. Rybníček — priečny rez 13-13. 1 — nadložné amfibolity, 2 — stredné amfibolity, 3 — aktinolitické bridlice, 4 — pyritová ruda, 5 — umelý odkryv, 6 — povrchový odkryv.

V. Interpretácia geologickej stavby

Z doloženého dokumentačného materiálu možno zaujať stanovisko k niektorým problémom geologickej stavby pezinskoperneckého kryštalínika, a to k

1. otázke superpozície jednotlivých súvrství kryštalínika a ich horninovej náplne;
2. priebehu a metamorfóze sedimentov;
3. intrúzii granitoidov
4. a k zaradeniu metalizácie sírnikov Sb do celého vývoja pezinskoperneckého kryštalínika.

1. Superpozícia súvrství a ich náplň

Stratigrafické postavenie pezinskoperneckého kryštalínika nie je vyriešené. Analógia litologického zloženia s kryštalínikom tatíd a gemeríd poukazuje na jeho predkarbónsky vek (diabázová séria gemeríd, pararuly tatíd).

a) Podľa umiestnenia *detritických hornín* pezinskoperneckého kryštalínika, premenených na biotitické fyllity až ruly v okolí granitoidov — ktoré zrejme predstavujú partie priestorove najnižšie — a na okraji pezinskoperneckého kryštalínika, možno tento komplex hornín považovať za jeho najstaršie sedimenty. Monotónne a odlišné litologické zloženie a — prakticky až na nepatrné výnimky — prudký skok v zmene charakteru sedimentov v celom priereze kryštalínika, vytvárajú týmto horninám samostatné postavenie.

b) *Detriticko-efuzívne súvrstvie* je mladším členom kryštalínika, pričom jeho spodné partie sú odkryté iba v ojedinelých pruhoch. Vlastné súvrstvie začína menej rozšírenými rozptýlenými explóziami a efúziami, ktorých metaproduct na-

zívame „podložnými“ amfibolitmi. Stredná časť tejto série má komplikované zloženie. Sú to kombinované detriticko-organogénne, detriticko-vulkanické a vulkanické horniny. Vulkanizmus je explozívny a spojený s rozsiahloou exhalačnou činnosťou. Produktom efuzívnej činnosti (intruzívnej ?) sú *stredné amfibolity*. S exhaláciou síry je spojené vyzrážanie železa vo vhodnom zásaditom prostredí (prítomnosť grafitických bridlíc) vo forme pyritu a jeho sedimentácia vo vodnom bazéne (Polák 1956). Charakter rozsiahlych lávových pokryvov majú vulkanity v nadložnej časti tejto série, nami nazvané *nadložné amfibolity*. *Nadložné amfibolity* (ak neberieme do úvahy intruzívne horniny) sú *stratigraficky najmladším doteraz konštatovaným členom* pezinskoperneckého kryštalínika. Vznik škvrnitych amfibolitov je veľmi nejasný; môžu byť produktami metamorfózy hypobabsálnych bázik (C a m b e l 1952). Niektoré skutočnosti, ako neurčiteľné hranice s okolitým zrnitým amfibolitom (Pernek — štôlňa Pavol) a výskyt nadložných amfibolitov obvyčajne v strednej časti komplexu, nevylučujú možnosť považovať ich za *centrá efudovaného vulkanického telesa*, v ktorých boli vhodné termodynamické podmienky pre kryštalizáciu jednotlivých minerálov. Celý komplex amfibolitov je prevažne metaproductom efuzív; iba niektoré partie tenkolavicovej až bridličnatej textúry nevylučujú existenciu metamorfovaných pyroklastík (Lom pri Perneku, prekop na štôlni Augustín u pol. b. 58).

2. Metamorfóza sedimentov

Dôležitým zjavom v rámci celého kryštalínika je *konkordantnosť vrstevnatosti a foliácie (bridličnatosti)*. Len ojedinele boli zistené odklony od tohto typického znaku metamorfózy pezinskoperneckého kryštalínika. To svedčí o tom, že sedimenty pezinskoperneckého kryštalínika boli v *predmetamorfnom štádiu len nepatrne zvrásnené*. Celkove stupeň metamorfózy odpovedá epizonálnym podmienkam. Existencia *svorov a rúl* detritickej série, ako už bolo vyšie povedané, je priestorove viazaná na perifériu granitoidných masívov a preto ich považujeme za produkt *hlbinnej kontaknej metamorfózy* (C a m b e l, V a l a c h 1956).

3. Intrúzia granitoidov

Intruzívne telo granitoidov i k nemu patriace apofýzy a injekcie sú obmedzené na juhovýchodnú polovicu pezinskoperneckého kryštalínika. Severozápadná polovica nemá žiadne intruzívne podobného charakteru; podla umiestnenia intruzívnych telies možno usúdiť, že sa v dobe intrúzie ako významný tektonický smer uplatňoval smer severovýchodný. Tento smer bol zrejme zhodný so smerom miernej synklinálnej alebo antiklinálnej kresby kryštalínika v dobe intrúzie granitoidných hornín a je prakticky kolmý na terajšie štruktúrne línie kryštalínika. Obdobný smer ako hlavné intruzívne telo zaujímajú i ojedinelé intrúzie východne od kót Baba a Čmele, ktoré prerážajú horniny detritickej-vulkanickej série. Prieskumné práce dokázali prenikanie injekcií a drobných apofýz i po plochách foliácie a puklinách.

Laločnaté obmedzenie najmä menších apofýz hovorí o miešanom charaktere intruzív, kde sa na stavbe jednotlivých telies účastní i materiál okolitého prostredia. Intrúzia granitoidov prebiehala asi takto: po metamorfóze sedimentov pezinskoperneckého kryštalínika a ich miernom zvrásnení v smere os štruktúrnych elementov (JZ – SV) bolo postihnuté v juhovýchodnej časti ponorené kryštalínikum intrúziou granitoidov, ktoré boli na sprievodných tektonických líniach doprevádzané apofýzami a injekciami vo smere vrstevnatosti. Samotnú intrúziu dodatočne doprevádzala celá plejáda žil výsledných produktov diferenciácie magmy.

4. Vrásnenie a konečný stav tektonickej stavby pezinskoperneckého kryštalínika

Celý dokumentačný materiál potvrdzuje *intenzívne tektonické pochody po intrúzii granitoidov*, počas ktorých sa zvrásnilo pezinskopernecké kryštalínikum vo forme charakteristickej vejárovitej stavby synklinál a antiklinál, kombinovaných najmä s prešmykmi. Našu predstavu o rozložení predovšetkým význačných disjunktívnych tektonických prvkov ilustruje priložená geologická a štrukturálna mapa (obr. 1 a 2), na ktorej si zasluhuje pozornosť najmä *vzájomná závislosť štrukturálnych disjunktívnych prvkov (prešmykov, pásiem hnetenia a pod.) v samotnom kryštalíniku* i pri tektonickom obmedzení *mezozoika Cajlanskej homoly*. Tieto dislokácie zrejme na seba navádzajú a sú súčasťou celej tektonickej stavby, vzniklej v jednej tektonickej etape po *mezozoiku*. Celková vergencia vrás na JZ umožňuje predpokladať orientovaný tlak od SV a nasunutie modranského žulového masívu na masív bratislavský. Vzhľadom na to, že masív granitoidov bol orientovaný približne v tomto smere, vytvoril sa typický trojuholník kryštalínika s enormným stlačením juhovýchodnej časti a s rozptylom prvkov tohto stlačenia najmä v pruhoch *produktívneho súvrstvia* smerom na SZ. Pri tomto stlačení došlo zrejme k detailnému zvrásneniu fylitov, svorov, grafitických bridlíc atď., k *presunu kryštalínika na mezozoikum* v okolí Cajlanskej homoly a k rozbitiu prechodného mostu granitoidov medzi modranským a bratislavským masívom. Jednotlivé apofýzy boli postihnuté mylonitizáciou a odtrhnuté od materského telesa. Najmä v juhovýchodnej časti boli *pohltene, usmernené alebo redukované* celé súvrstvia a detailne izoklinálne zvrásnené. V severozápadnej časti, ako to dokumentujú priložené profily, má kryštalínikum viacmenej kryhovú stavbu len s náznakmi izoklinálneho uloženia. Už štatistický rozbor zistených dát sklonu vrstiev udáva pre partie západné a východné rozdielne hodnoty o 18° . I tento výsledok je značne skreslený rôznorodosťou mechanických a fyzikálnych vlastností hornín kryštalínika.

Pri samotnom vrásnení sa významne uplatňovali rozdielne fyzikálne a chemické vlastnosti hornín. Podľa nich môžeme horniny pezinskoperneckého kryštalínika rozdeliť do týchto skupín:

1. *húzevnaté, málo pružné horniny: amfibolity, granitoidy, kremence mezozoika;*

2. *húževnaté, pružné horniny*: aktinolitické bridlice, mezozoikum vo vývoji vápencov, ruly, kremíté fylity;
3. *pružné, slabo tvárnitelné horniny*: fylity, svory, slienité vápence a sliene mezozoika;
4. *plastické horniny*: grafitické bridlice a fylity.

Zvrásnenie amfibolitov, granitoidov a kremencov bez kombinácie so zlomom je ojedinelým zjavom. Tieto horniny tvoria v celej stavbe bloky, prípadne šošovkovité, sekundárne formované útržky medzi horninami plastických vlastností. Kremence vytvárajú zaujímavý val vo východnej časti, orientovaný kolmo na zložky predpočítaného tektonického tlaku. V aktinolitických bridliciach, vápencoch, rulách, kremítich fylitoch a svoroch možno v celom mezozoiku pozorovať výrazné uplatnenie vrásovej stavby, zvlášť markantnej vo fylitoch juhozápadnej časti kryštalínika. U grafitických bridlíc a fylitov sú časté zjavy diapirizmu, hnetenia, vybíjania napäťia produktívneho súvrstvia, sekundárnej foliácie (dislokačne metamorfnej) a redukcie. Sú výborným tektonickým mazadlom a preto sa v nich poruchy expozujú. Tieto ich vlastnosti boli príčinou výrazných prejavov *disharmónie pri vrásnení* na rozhraní medzi granitoidmi, amfibolitmi a inými členmi kryštalínika, medzi mezozoikom a kryštalínikom, i diferenciálnych pohybov šošoviek granitoidov a amfibolitov v produktívnom súvrství. Ďalej podmienili zaujímavú tektonickú stavbu kryštalínika v samotnom produktívnom pásme a v jeho blízkom podloží i nadloží. *Produktívne pásmo* bolo doslova *vtlačené* medzi kryhy nadložných amfibolitov a jeho vrásovú stavbu museli v zrejom štádiu pôsobenia zložiek stressu doplnovať prešmyky, aby sa vyrovnať napätie už v samotnom pestrom produktívnom pásme. Väčšina týchto prešmykov zdanlivo smerne i úklonne vyznieva, len čo narazí na grafitické bridlice, alebo aktinolitické fylity s menším zastúpením vulkanickej zložky, kde sa prejavuje len v hnetení a nemožno ju tak sledovať. Tieto zjavy sú mimoriadne intenzívne v juhovýchodnej časti pezinskoperneckého kryštalínika, kde vlastné produktívne pásmo, amfibolity a telesá granitoidov boli tak silne zvrásnené, že predstavujú len zbytky v detritickej sérii, kde boli buď pohľtené, alebo podlahli erózii, ako to zvýrazňujú priložené priečne rezy (obr. 1–4). Po vyvrásnení kryštalínika, zrejme v čase *vyrovnanávia napäťia* v epoche karpatského orogénu, vznikali ešte *zlomy poklesového rázu*, ktoré sme konštatovali severne od Cajlanskej homoly a pri štôlnej Michal.

Vývoj pezinskoperneckého kryštalínika možno rozdeliť na tieto základné etapy:

- a) sedimentácia a efúzia bázických vyvrelín v geotektonickom cykle variscíd (paralelne s fylito-diabázovou sériou gemeríd ?);
- b) mierne vrásnenie po epimetamorfóze týchto hornín v dôsledku inverzie vývoja variskej synklinály;
- c) intrúzia granitoidov, spojená s hlbinnou kontaktnou metamorfózou (ruly, svory), ako záverečné štádium variskej geotektonického cyklu;
- d) ďalšia sedimentácia mezozoika v geotektonickom cykle alpiníd;

e) intenzívne vrásnenie a jeho dozvuky pri vyrovnávaní napäťia komplexu kryštalínika, kedy sa vytvorila typická vejárovitá stavba vrás a prešmykov, doplnených v záverečnom štádiu aplského vrásnenia poklesmi.

5. Zaradenie metalizácie sírnikov Sb do celého vývoja pezinskoperneckého kryštalínika

Pri zaradení sírnikového zrudnenia Sb do geologického vývoja pezinskoperneckého kryštalínika možno sa opierať o tieto skutočnosti:

a) zrudnenie sírnikmi Sb je viazané na *dislokačné linie* a ich blízke okolie, ktoré sú produkтом dozvukov intenzívneho vrásnenia pezinskoperneckého kryštalínika (ložisko Augustín – Čmele, ložisko Sb v Cajle, Perneku a v Kuchyni, ložisko Pb pri Perneku a pod Babou), teda vrásnenia alpiníd;

b) žily a žilky sírnikov Sb sú prestúpené dislokáciami poklesového charakteru;

c) v štôlni Karol na Misárskom Ostrovci sa našli drúzovité výplne otvorených dutín, kde sírniky Sb formované do kryštálových agregátov podliehali deformácii už pri nepatrnom dotyku prsta a zrejme nemohli prekonáť ani sebamenšie tektonické pohyby.

Vzhľadom na tieto vážne faktory možno považovať zrudnenie sírnikmi Sb za neoidné a zaradiť tieto mineralizačné procesy na koniec alpidného vrásnenia. Drobnú, ojedinelú porudnú tektoniku treba spájať s vyrovnávaním napäťí v samotnom kryštalíniku, prípadne s tektonickými pohybmi (radiálnymi), zistenými v tejto časti Karpát v paleogéne a neogéne.

Záver

Pezinskopernecké kryštalíkum tvorí charakteristický trojuholník paleozoických sedimentov predkarbónskeho veku, ktoré začínajú detritickým súvrstvím a končia súvrstvím miešaného charakteru — detriticko-vulkanickým. Metamorfóza sedimentov je epizonálnej intenzity a pred metamorfózou nedošlo prakticky k zvrásneniu sedimentov. Metamorfované sedimenty boli mierne zvrásnené a intruďovala do nich magma intermediárneho charakteru. V epoche karpatského (alpského), geotektonického cyklu bol po sedimentácii mezozoika tento úsek intenzívne zvrásnený, čiastočne nasunutý na mezozoikum a vytvorila sa typická vejárovitá stavba, identifikovaná podľa pruhov produktívneho súvrstvia s pyritom. Do záverečnej etapy alpského vrásnenia spadá metalizácia sírnikmi Sb. Žily týchto sírnikov postihla ešte tektonika poklesového typu.

*Západoslovenský rudný prieskum, n. p.,
Banská Bystrica*

LITERATÚRA

[1.] Andrian F. — Paul C. M.: Die geologischen Verhältnisse der Kleinen Karpathen und angrenzenden Landgebiete in nordwestlichen Ungarn. Jahrbuch d. k. k. geol. Reichsanst. XIV.

Wien 1864. — [2.] Beck H. — Vetter H.: Zur Geologie der Kleinen Karpathen, Beiträge zur Paläontologie und Geologie. Oest. Ung. u. d. Orientes XVI. Wien—Leipzig 1904. — [3.] Campbell B.: Amfibolické horniny v Malých Karpatoch. Geol. práce 29. Bratislava 1952. — [4.] Campbell B.: O metamorfizme kryštalínika Malých Karpát. Geol. sbor. I. Bratislava 1950. — [5.] Campbell B.: Predbežná zpráva o výskume kryštalínika Malých Karpát. Geol. práce, zprávy I. 1954. — [6.] Campbell B.: Genetické problémy zrudnenia v Malých Karpatoch. Geol. práce, zprávy 9. Bratislava 1956. — [7.] Campbell B.: Príspevok ku geologii pezinskoperneckejho kryštalínika. V tlači — 1958. — [8.] Campbell B. — Kupec G.: Geochemické, genetické a geologické pomery malokarpatských rudných ložísk. Geol. sbor. III. Bratislava 1953. — [9.] Campbell B. — Valach J.: Granitoidné horniny v Malých Karpatoch, ich geologia, petrografia a petrochemia. Geol. práce 42. Bratislava 1956. — [10.] Farkas J.: A kénkovand ismertetése. Uverejnené v Banyaszati és kohászati lapok v číslach 16—22 v r. 1917. — [11.] Lachmann R.: Antimon und Schwefelkies bei Pernek in Ungarn. Ztschr. prakt. Geol. 23. Berlin 1915. — [12.] Pauk F.: O rudných nerastoch Malých Karpát. Sbor. Št. ban. múzea v B. Štiavnicki — I — 1937. — [13.] Papp V. K.: Die Eisenerz und Kohlevorräte des Ungarischen Reiches I. Budapest — 1919. — [14.] Polák St.: Niekoľko poznámok k otázke vzájomného vzťahu medzi pyritom a pyrhotínom v malokarpatských kýzových zrudneniach. Geol. práce, zprávy 6. Bratislava 1956. — [15.] Polák St.: Relikty intrastratifačných korrugácií v metamorfovaných pezinských pyritových zrudneniach. Geol. práce, zprávy 8. Bratislava 1956. — [16.] Krusch P.: Beitrag zur Kenntnis der Schwefelkies und Antimonerzlagerstätten der Kleinen Karpathen. Ztschr. f. prak. geol. 24. Berlin 1916. — [17.] Polák St.: Manganové rudy Malých Karpát. Geol. práce, zošit 47. Bratislava 1957. — [18.] Richardz P.: Der südliche Teil der Kleinen Karpathen und die Hainburger Berge. Mitt. d. deol. ges. I. Wien 1908. — [19.] Toborffy Z.: Vorläufiger Bericht über meine petrographischen Beobachtungen in den Kleinen Karpathen. Jahrsb. d. k. k. geol. Reichsanst. Budapest 1916, 1918. — [20.] Zoubek V.: Poznámky o kryštalíniku Západných Karpát. Věst. SGÚ XII. 1936. — [21.] Zoubek V. — Koutecký J.: Zpráva o geologických studiích a mapování v okolí Bratislavы. Věstník SGÚ XII. Praha 1936.

I. ČILLÍK — P. SOBOLÍČ — R. ŽÁKOVSKÝ

EINIGE BEMERKUNG ZUR TEKTONIK DES KRISTALLINIKUMS BEI PEZINOK—PERNEK

Das Kristallinikum bildet bei Pezinok—Pernek einen charakteristischen Dreieck vorkarbonischer Sedimente, die mit detritischen Schichten beginnen und mit gemischten, detritisch-vulkanischen Schichten enden. Die Metamorphose der Sedimente ist epizonaler Intensität und vor der Metamorphose kam es praktisch zu keiner Faltung der Sedimente. Die metamorphierten Sedimente wurden mässig gefaltet und es intrudierte in sie ein Magma intermediären Charakters. Während des karpatischen (alpidischen) geotektonischen Zyklus nach der Sedimentation des Mesozoikums wurde dieser Abschnitt intensiv gefaltet, teilweise auf das Mesozoikum aufgeschoben und es bildete sich ein typischer Fächerbau, der nach den Streifen produktiver, pyrithaltiger Schichten identifiziert wurde.

In die Schlussetape der alpidischen Faltung fällt die Metallisation von Sb-Sulfiden. Die Gänge dieser Sulfide wurden noch durch eine Senkungstektonik betroffen.

*Geologische Forschung,
Banská Bystrica*

Aus dem Slowakischen übersetzt von F. Návara

W. KRACH – T. KUCIŃSKI

NEOGÉN JUŽNÉHO POLSKA A PRILAHLÝCH ÚZEMÍ

(*2 mapy, nemecké resumé*)

Úvod

Priložené mapy podávajú prehľad najväčších morských záplav z niektorých časových úsekov. Svoje poznatky sme čerpali z literatúry, z vlastných pozorovaní a z výsledkov vrtných a iných prác. Paleogeografia úzko súvisí so stratigrafickým delením. Stratigrafická tabuľka je výsledkom pokusov o rozdelenie polského tortónu s prihliadnutím na územie západnej Ukrajiny a Moravy. Podľa posledných názorov hranica spodného a vrchného tortónu leží na sádrovcoch, poprípade na litotamniách (tab. 1). Paleogeografické mapy sme zhotovili na základe W. Friedbergovo, J. Nowakovo a W. Krachovo (1933, 1938, 1958) rozdelenia miocénu. V rozčlenení tortónu prijíname delenie na *spodný (opol), stredný (grabov)* a *vrchný (buglov)* podstupeň. Posledný podstupeň zaraďujú sovietski geológovia do sarmatu (Kudrin 1957).

Najväčšia miocénna morská záplava bola v tortóne; zaberala územie karpatského predhoria a čiastočne siahala na juh od hranice dnešného nasunutia Karpát. V tejto oblasti môžeme podľa Nowaka (1938, 1947) rozlísiť pásmo pobrežné a pásmo panvové (hlbinné). Pobrežné okrajové usadeniny obsahujú rôznorodé fácie, ako plytkovodné íly, sliene, vápence, piesky a štrky; usadeniny panvové majú ilovito-piesčitý charakter. Oblast záplavy môžeme ďalej rozdeliť na: 1. časť *predkarpatskú* (panvovú) so západným (Sliezsko, kraj Krakova), stredným (kraj Rzeszowa) a východným (západná Ukrajina) úsekom, 2. časť *karpatskú* (južnú) s autochtónom a paraautochtónom v nadloží, 3. časť *severnú* so západným (slezským), stredným (świetokrzyžským a lubelským) a východným (podolsko-volyňským) úsekom.

Spodný miocén východného a západného úseku

V spodnom miocéne viaže sa morská záplava na východné (západná Ukrajina) a západné územie (severná Morava). Poľsko bolo v tom čase pevninou. Vývoj

prikarpatskej panvy vo východnom úseku je spätý so savskou fázou vrásnenia (S t i l l e 1951). Spodný miocén sa začína transgresívou sériou záhorských vrstiev, a to slobodskými, truskaveckými a dobromilskými zlepencami. Tieto rozdeľujú staršiu soľnú formáciu, ktorej spodná časť (spodná séria vorotyščenská) sa podľa novších výskumov (S u b b o t i n a, P i š v a n o v a 1951) viaže na podložnú kosmačskú sériu karpatského flyša. Zloženie exotického zlepencového materiálu a štúdium sedimentačných pomerov ukazuje na existenciu paleozoického prahu na severovýchode. Čiastočná prítomnosť karpatského materiálu svedčí o denudácii vynorujúcich sa Karpát na juhozápade. Vekove tvoria záhorské série podľa analógie s podobnými útvarmi v Rumunsku (P r e d a 1927) hranicu medzi burdigalom a helvétom.

V Jaklovci pri Ostrave (ČSR) sú známe piesky a zlepence s faunou, ktorú G a n s (1936) opísal ako burdigsalskú a jej vek najnovšie potvrdil Č t y r o k ý (1958). Podľa V a š í č k a (1946) v oblasti Ostravy nie sú vyvinuté útvary staršie ako tortón.

Helvét východného úseku

Zvyšujúca sa koncentrácia solí v panve, ktorá sa rozpadla na jednotlivé lagúny, spôsobovala vyznievanie sadrovev alebo kamennej a potašovej soli (Lacko, Stebník, Dolina), pričom v juhovýchodnej časti vzniklo silné vysladzovanie a polokontinentálna sedimentácia vo forme pieskovcov, striedajúcich sa s ílmi so stopami po dažďových kvapkách a zvieratách a s čerinami (dobrotovské vrstvy). Celú sériu pieskovcov a ílov nazýva V j a l o v (1951) vrchnou vorotyščenskou sériou. Na podolskej platoforme v okolí Bučača vo vysladzujúcej sa zátoke usadili sa bracké piesky s *Rzezhakia dubiosa*. Neskoršie sa zátoka zmenila na jazero so sladkovodnými organizmami. Na okoli Dnestra a Zlatej Lipy sa objavili tiež stopy kontinentálnych útvarov.

Helvét západného úseku

Z poľského horného Sliezska nies sôr dôkazov o prítomnosti starších usadenín ako helvétskych. Oligocénny vek súvrstvia z vrtov pri Zawade (M i c h a e l 1913) nie je istý. Možno, že tu ide o zvyšky usadenín odtrhnutej zátoky helvétskeho mora. Helvétske, resp. helvétsko-tortónske more zalievalo pestro modelovaný reliéf karbónu. Vo zvyškoch ílovitých usadenín, zničených tortónskou transgresiou, napr. v Dziedziciach, Brzeszczach a Mszane (W. K r a c h 1939) vystupuje helvetska fauna, naväzujúca na analogickú faunu a súvrstvie v okolí Ostravy. Pretože tieto íly podľa poľských geológov obsahujú tortónsku mikrofaunu, môžeme priprustiť, že táto je resedimentovaná. Helveto-tortónskeho veku môžu byť aj debowiecké zlepence, ílovité zlepence a íly s *Balantium fallauxi* z okolia Andrychowa.

Na severe v rozľahlých jazerách sa najprv usadzovali piesky a štrky, neskôr so slojmi hnedého uhlia, napokon opäť piesky s piesčitým ílom (oblasť na východ od Korytnice a okolie Sandomierza). Hnedé uhlie považuje sa podľa svojej pozície pod tortónskymi korytnickými ílmi za helvétske.

Tortón

Vývoj tortónu je veľmi rozmanitý, hlavne v periférnej časti. Spodnotortónske usadeniny dosahujú značnú mocnosť v juhovýchodnej a v juhovýchodnej oblasti; v ústrednej časti sú zas pomerne málo vyvinuté a miestami celkom chýbajú.

V západnej časti panvy možno rozlíšiť sériu ílovitú, vyššie piesčitú, prechádzajúcu do ílov. Vrchný ílovitý horizont obsahuje na báze ložiská kamennej soli, v nadloží sadrovce.

V strednej oblasti sa vyvinuli podsadrovcové íly, prechádzajúce k severovýchodu do tzv. „baranowských pieskov“. V nadloží vystupujú anhydryty a v okrajovej časti sadrovce.

V juhovýchodnej oblasti sa vyvinula séria červených a zelených ílov značnej mocnosti s polohami soľnosnej formácie a s ložiskami potašovej soli.

Naproti tomu strednotortónske usadeniny sú v Sliezsku čo do mocnosti v pomere k ústrednej a juhovýchodnej oblasti oveľa menšie. Toto akiste súvisí s intenzívnymi poklesovými pohybmi.

Vo vrchnom tortóne zmenšuje sa plošné rozšírenie panvy a na západe je spojenie prerušené.

Spodný tortón (opol) — podlitotamniarový horizont

Spodnotortónska záplava je v pomere k helvétskej väčšia, pričom vznikli tu nové ostrovy alebo plytčiny. More sa v okolí Krakova zužovalo a znova rozširovalo smerom na východ, vytvoriac niekoľko zátok. V strednej časti panvy oblievalo more rozľahlý ostrov, resp. plytčinu. Tento ostrov sa smerom juhovýchodným zužoval a tiahol úzkym pásom pozdĺž dnešnej okrajovej línie stebnického nasunutia.

Počiatkom spodného tortónu bola juhovýchodná časť prvnej prikarpatskej panvy nepatrne posunutá na severovýchod. Súčasne klesla podolská platforma a bola zaliata plynkým morom a vytvorila sa tzv. podolská „kreza“.

V západnej časti na predhorí sliezskych Karpát prevláda vo vývoji ílovitá fácia s tenkými krivo lúpenatými pieskovcami a s bohatou bentonickou a planktonickou mikrofaunou (T. Kuciński, W. Porebska 1958); na severe prechádzajú tieto útvary do silenitých ílov s *Amussium denudatum*, miestami so zvyškami staršieho podložia (Krač 1958). Miestne vysladzovanie je zvýraznené vložkami hnedého uhlia (Libiaž, Lorenzdorf a i.). V dzialoszyckej zátoke na okolí

Ksiaža a Maloszowa (K r a c h 1947) vystupujú okrajove zvyšky usadenín tohto horizontu, vyvinuté vo forme pieskov a ílov s bohatou faunou mäkkýšov. V ďalšej zátoke na severovýchode, rozprestierajúcej sa na okolí Korytnice, tvoria tento horizont pleurotomové íly a sliene (K o w a l e w s k i 1930). Obidve zátoky boli oddelené pretiahnutým poloostrovom. Z niekoľkých miest sú známe podobné útvary pri okrajovej časti Karpát (Grudna Dolna). Opísaným pobrežným útvaram v spomenutých zátokách odpovedajú v južnom pásme spodné íly, ktoré sa našli pri vrtoch, (Gdów a i.).

V prikarpatskej východnej panve sa usadzovali stebnické vrstvy (T o l w i n - s k i 1927) vo forme pestrých vápnitých bridličnatých ílov s vložkami pieskovcov. Takzv. „červená formácia“ má brackický alebo limnický vývoj (H i l t e r m a n n 1944). Okrem toho vystupujú, hlavne vo vrchnej časti, čisto morské usadeniny, vyznačujúce sa zelenou farbou. V spodnej časti stebnickej série ležia zlepence z valúnov exotických a flyšových hornín.

Pobrežné usadeniny východnej oblasti sú rôznorodé, a skladajú sa prevažne z piesčito-vápnitých, gaukonitických ílov (fácia baranowská) s *Amussium denudatum* (K a r a k o w a 1952), čiastočne litotamniových vápencov a pod. Smerom na západ prechádzajú pobrežné fácie do hlbokovodných ílov, na severovýchod do pieskov.

Pri severovýchodných brehoch spodnotortónskeho mora na rozľahlých priestrannstvách vytvorilo sa v uzavretých a vysladených morských zátokách hnedé uhlie (napr. Rava Ruska, Skwarzawa, Złoczów, Poczajów). Niektorí polští a sovietski geológovia považujú tieto útvary všeobecne za helvátske. V poslednom čase zaradil ich K u d r i n (1955) na základe makrofauny do spodného tortónu.

Litotamniový horizont

V litotamniovom horizonte sa obrysy panvy menili len málo. V predpolí stredných Karpát zostala nadalej plynčina alebo ostrov. Pomerne najväčšie rozšírenie a vývoj fácie pripadá na okraj Świętokrzyských hôr, na Lubelsko a podolsko-volynskú platformu. Pravdepodobne jestvovala tu ešte pevnina, ktorá delila platformu od východnej prikarpatskej panvy.

V hornom a tešínskom Sliezsku, kde bolo pomerne hlboké more, vyvíjali sa litotamniové vrstvy len výnimočne v okolí Głubczyc, Biskupíc, Czechowíc a Gliwíc (F. R o e m e r 1870, W. K r a c h 1958).

V oblasti Krakova reprezentujú litotamniový horizont rífové ustricové sliene a heterostegínové piesky (Wielka Wieś, Miechów, Bienczyn v ílovitej fáci). K tomuto horizontu patria tiež sladkovodné vápence s *Cepaea silvana* na okolí Krakova v Sliezsku (K r a c h 1947). Dobre vyvinuté litotamniové a litavské vápence s heterostegínovými pieskami vystupujú v okolí Miechówa (dzialoszycká zátoka) a na okraji Świętokrzyských hôr, v zátoke soleckej (Pinczów) a polanieckej (Staszów, Korytnica).

Dobre vyvinutá fácia litotamnovo-detritických vápencov je v lubelskej oblasti. Tieto útvary považujú niektorí geológovia za stredný tortón (K o w a l e w s k i 1958) na základe pekténov (*Chlamys elegans*). Tieto útvary sa vkliňujú medzi útesové vápence s *Haliotis volhynica*, ktoré vznikli pravdepodobne tiež vo vrchnom opole a v strednom tortóne. Na platforme Podolia a Volyne zastupujú litotamniovú fáciu ešte pieskovce a sliene.

Pri južnom brehu vystupujú litotamnie len zriedkavo. Rzeszowskú zátoku lemuje rad dobrých odkrývov (Niechobrz, Olimpów a i.). V Dolnej Grudni je známa fácia bryozoových vápencov a v Brzozowej heterostegínovej pieskovce. Na východe je známe takéto miesto iba pri Dobromile (Czaple). Tento horizont sa nedá oddeliť v hlbších partiách panvy, kde prebiehala sedimentácia ílov.

Pokiaľ ide o organický život, vyznačuje sa litotamniový horizont okrem hrubo-schránkovej fauny molúsk s *Chlamys latissima* aj ježovkami a inými formami, charakteristickými pre plytké a teplé vody.

Nadlitotamniový horizont

V čase sedimentácie tohto horizontu bola silná oscilácia mora na čiastočne erodovanom podloží. V jeho spodných častiach vystupujú slabo oválané horniny podložia, čo svedčí o náhlom prehlbení. Sú to prevažne ílovito-slienité útvary s glaukonitom, často piesčité alebo výlučne piesky. Makrofauna sa odlišuje len málo od podlitotamniovej; vyskytuje sa tu hlavne *Chlamys koheni*, *Chlamys felineum*, *Chlamys scissa*, *Amussium denudatum* a *Amussium cristatum*. V Sliezsku okrem toho v starších vrstvách ešte pektény ako *Lima miocenica*, *Vaginella austriaca* a iné.

Treba poznamenať, že *Chlamys scissa*, ktorá sa v tomto horizonte vyskytuje dosť často, je v hornom Sliezsku zvláštnosťou a viaže sa na východné oblasti. Tento horizont obsahuje na báze lagenidovú mikrofaunu, ktorá odpovedá pravdepodobne vrchnému lagenidovému pásmu viedenskej panvy (T. B u d a y — J. C i c h a 1956).

Na Krakovsku vystupuje tento horizont na okolí Krzeszowíc, Wieliczky, v Bochni a v autochtonie a v nasunutí vo forme takzv. chodenických vrstiev, ktoré tvoria īly s vložkami pieskovcov, s anhydritmi a soľou. Vo vrchnej časti vystupujú kremité sliene s tufmi. Do tohto horizontu treba zaradiť aj soľ pri Zore v hornom Sliezsku. V okolí Krakova a Miechowa vystupuje hromadne v ílovitej fácii nadlitotamniového horizontu *Ostrea cochlear*. Od Tarnobrzegu a Sandomierza je známa fácia bielych pieskov s pekténmi (K o v a l e w s k i 1929), na Lubelsku fácia zelených ílov s bohatými hniezdami litotamníí a pekténmi *Chlamys scissa*, *Chlamys lilli* a *Chlamys wolfi*.

Vo východnej panve sa usadili pestré īly s kamennou a potašovou soľou stebnickej série, ktoré vo vrchnej časti prechádzajú do ílov balickej fácie s foraminiferami.

Na platforme Podolia a Volyne nie je tento horizont vždy vyvinutý. Najčastejšie je tu vo fácií glaukonitovo-piesčitej, ktorá je podobná mladším kaiserwaldským vrstvám stredného tortónu.

Ervíliový a sadrovcový horizont

Horotvorné pohyby v Karpatoch spôsobili prerušenie spojenia zálivu so Stredozemným morom. Vysušovaniu mora a strácaniu soľnej a sadrovovej sedimentácie predchádzalo čiastočné vysladzovanie panvy. Blízko brehov sa objavovala bracká fauna s erviliami. Ervíliová vrstva v Sliezsku a na Krakovsku je málo vyvinutá (Opava, Czechowice pri Oliwiciach, krzeszowická priekopa); naproti tomu na okraji Šivetokrzyžských hôr v zátoke dzialoszyckej a soleckej nachádzame ju často. Jej stopy vystupujú pravdepodobne vo Wieliczke. Na okolí Sandomierza vystupuje vrstva s erviliami nielen pod sadrovcam, ale niekde aj v strede podsadrovových ílov (Kowalewski 1958), ba dokonca i uprostred sadrovov. Preto je stratigrafická hodnota ervíliovej vrstvy veľmi otázna. Len dôkladné výskumy umožňujú odlišiť vlastnú ervíliovú vrstvu s *Ervilia pusilla*, *Modiola hoernesii*, *Cardium praesobsoletum*, vystupujúcich hromadne s *Chlamys lilli* a *Chlamys wolfi*, od podobných vrstiev ostatných, ktoré vystupujú vlastne už na spodu opola a na hranici grabova a buglova.

Nad nadlitotamniovým horizontom so soľnou sériou resp. nad ervíliovou vrstvou vyzvija sa vlastný sadrovcový horizont, ktorý vystupuje na veľkej rozlohe často prerývane. Ako príklad vývoja sadrovovej fácie môžeme uviesť profil v soleckej a dzialoszyckej panvičke. V spodnej časti vystupujú tu hrubokryštalické sadrovce, vyššie sa striedajú sadrovce drobnokryštalické s ílmi a nad nimi sú sadrovce hrubokryštalické, bridličnaté, stlačené a tenkovrstvované.

Vývoj sadrovcového horizontu v hornom Sliezsku pripomína nám vývoj sadrovca, ktorý sme už prv opísali (Czernica, Zawada, Pszów, Kietrz, Krywala a ī.). Na Lubelsku sadrovcový horizont nevystupuje.

Na východe, v oblasti horného Dnestrus dosahuje sadrovcová formácia značnú hrúbku a podobne ako na západe prechádza aj tu smerom juhozápadným do anhydritov, ba dokonca i do soľnej formácie (okolie Kosowa). Táto formácia po krajuje smerom juhozápadným, ako o tom svedčí výskyt sadrovov vo vrchných častiach stebnických vrstiev pri Kalusze a Jordanówke pri Przemyśli.

V južnej časti, v Karpatoch zachovala sa sadrovcová formácia vo väčších zvyškoch pri Wielkej Lopuszke (pri Przeworsku) a na okolí Rzeszowa. Smerom do stredu panvy zastupuje sadrovce anhydrit a pri severných brehoch celkom miznú, alebo ich zastupujú sliene so sírou (napr. Pszów, Swoszowice, Csarkowy, Posadza, Tarnobrzeg, Szydlów) alebo ratyňské pôrovité vápence (SV od sadrovovej východnej oblasti) ako produkt chemickej premeny sadrovov.

Stredný tortón (grabov)

V súvislosti s pohybmi Karpát možno pozorovať oživenú eróziu. Objavujú sa štrkové a piesčité usadeniny, nanesené riekami z Karpát, ktoré smerom do stredu bazénu prechádzajú do ílovitých usadenín.

Na západe, v južnom pásmi, na flyšových útvaroch i v spodnom tortóne vystupujú zlepence a pieskovce a menej bahnité íly s faunou (Bachowice, Marcy-poreba, Benczyn, Andrychów). Na okolí Wieliczky sa vyvinula piesčitá fácia bogucických vrstiev, laterálne prechádzajúca do ílovitej fácie „grabowieckej“ s bohatou faunou. V zátoke Gdowa vystupujú hrubé piesčité zlepence. Medzi Brzeszkom a Wojniczom možno pozorovať diskordantné uloženie grabova na opole. Grabowiecke more siaha svojimi zátokami až do Karpát, napr. v Niskowej pri Novom Sączi, kde na opolských íloch s hnedým uhlím ležia piesky s morskou faunou (S k o c z y l a s ó w n a 1932). Z okolia Tarnowa sú už dávno známe íly (Zglobice), piesky (Blonie) a piesčité zlepence (Szczepanowice) s bohatou faunou (F r i e d b e r g 1907).

V oblasti predhoria východných Karpát sa vyvinula pobrežná fácia radycká, ktorá smerom severovýchodným prechádza do fácie hlbokovodnej krakovskej (pokuckej). Pri Kosove vystupuje štrkovito-piesčitá fácia (pistyńska).

V severnom pásmi západnej oblasti (Sliezsko) je grabov vyvinutý vo forme ílov. Na severe nachádzame tiež fáciu ílov s medzivrstvičkami pieskov (Gaszowice, W. K r a c h 1939) a íly s lignitmi (Gliwice Staré, W. K r a c h 1954) s bohatou faunou. Na okraji Świętokrzyských hôr (okolie Sandomierza a Tarnobrzegu) v pobrežných íloch tohto horizontu vystupujú pektény. Na Lubelsku je grabov piesčitý alebo slabo vyvinutý. Na podolsko-volyňskej platforme smerom na juh vystupujú íly a kaiserwaldské sliene s pekténmi, na severovýchod piesčité usadeniny s litotamiami.

V smere osi bazénu ílovitý grabov krakovskej fácie strieda sa s piesčitými vrstvičkami.

Proti opolu je tento podstupeň charakterizovaný odlišným spoločenstvom pekté-novej fauny. V nižšom kaiserwaldskom horizonte vystupujú hromadne pektény *Chlamys galiciana*, *Chlamys elini* a *Chlamys neumayri*. Vo vrchnom, viacej piesčitom bogucickom horizonte tieto pektény miznú a objavujú sa formy rebrovité — *Chlamys elegans*, *Pecten besseri* a *Chlamys lilli*, ktoré pripomínajú skôr fáciu opola. Tieto rôznorodé fauny zastúpené sú brackými obyčajnými slimákmi (*Potamides schaueri*) a pod. Hned nad sadrovcam vystupujú často spirialisové íly a nad nimi bohatá planktonická mikrofauna (globigerinová vrstva, Z. K i r c h - n e r 1956).

Vrchný tortón (buglov)

Pohyby v Karpatoch spôsobili rozdelenie panvy na dve časti, na zanikajúcu západnú, obmedzenú na okolie Gliwíc, a na východnú, ktorá zaberá na východ od Krakova priestor predchádzajúcej záplavy.

V Gliwiciach sú to íly so *Syndesmya* (W. Krach 1954) a vyššie vysladzujúce sa ílovité usadeniny s flórou. V Proszowiciach pri Krakove vyvinul sa buglov vo forme ílovitých štrkov. Južný breh panvy tiahne sa na východ do okolia Walek a Zdzaru pri Tarnowe. Pri Zdzare sa našla fauna moluskov vrchného tortónu (W. Fiedberg 1938).

Okolo Mielca začína buglov piesčito-štrovými usadeninami s vložkami ílov so štrkm; nad nimi sa strieda komplex pieskov s ílmi. V ich nadloží prevládajú bridličnaté íly krakovského typu s piesčito-ílovitými vrstvičkami. Podobný vývoj má buglov i na rozľahlých priestranstvách predhoria stredných Karpát (Pilzno, severne od Rzeszowa). Na okraji Świetokrzyżských hôr susedia na spodu s krakovským ílom vložky syndesmiových vápencov. Na Lubelsku patria pravdepodobne k buglovu opracované detritické piesky s tortónskou morskou faunou.

Vo východnej oblasti vystupuje buglov prevažne vo forme krakovských ílov, niekedy s makrofaunou (Stará Wies, pri Drohobyczci). Na okolí Daszawy nachádzame fáciu štrkov, pieskov i vyšších ílov. Na Pokucku prevláda fácia ílovitá (vrchné pokucké vrstvy).

Buglov bol oddelený na základe miešanej tortónsko-sarmatskej fauny, ktorá je typicky vyvinutá na Volyni. Vyznačuje sa neprítomnosťou pekténov. Podľa sovietskych geológov pričlenil Kowalewski tento podstupeň do sarmatu (Kowalewski 1957, 1958).

Sarmat

Na západe a na juhovýchode sa rozloha mora zmenšila; naproti tomu presunula sa záplava na severovýchod, na územie Volyne. Jeho zvyšky nachádzame na okolí Rejowca a Chelmu.

V Sliezsku vystupuje nad útvarmi grabova a pri Gliwiciach nad buglovom naširoko rozložená sladkovodná lignitová formácia, ktorá patrí pravdepodobne k buglovu, resp. k spodnému sarmatu (Krach 1954). Výskumom bohatej flóry, nájdenej hlavne v Gliwiciach a Sosnici (H. Czezottowa 1951) sa doteraz nepodarilo definitívne určiť jej vek. Lignitová formácia spája sa na severe so suchozemskou trefohornou formáciou nižinného Poľska.

Na okraji Świetokrzyżských hôr, v polanieckej zátoke je spodný sarmat vyvinutý vo dvoch fáciách. Na západe a pri severnom okraji je detritický, v podobe pieskov, pieskovcov a zlepencov, východným smerom je vyvinutý vo fáciu krakovských ílov.

Na okolí Sandomierza a na Lubelsku vyvinul sa sarmat v rozličných fáciach s prevahou pieskov a mušlových zlepencov. Veľký podiel na usadeninách má detritus z rozložených tortónskych usadenín. Okrem toho vystupuje tu ešte rífová fácia serpulovo-bryozoových vápencov na prahoch starého podložia. Nad spodno-sarmatskými pieskami v severnej časti Lubelska (okolie Rejcow a Chelmu) vystupujú kremité pieskovce stredného sarmatu (K. Kowalewski 1924). Po dobné fácie sú známe z oblasti Volyne, kde vystupujú aj sladkovodné vápence, niekde i hnedé uhlie.

V strede panvy je spodný sarmat vyvinutý vo fácii krakovských ílov. V juhovýchodnom pásme pri Przemyšli vystupuje piesčitá fácia (Chraplice). Pozdĺž hranice stebnického nasunutia vyznačili sovietski geológovia (SEROV 1955) na mapách úzky pás sarmatu, ktorý navázuje na czernioweckú zátoku. Makrofauna známa z tejto oblasti poukazuje tiež na buglov (J. Czarnocki, K. Kowalewski 1932).

Záver

Prvé horotvorné pohyby v miocene boli vo východných oblastiach, kde sa odzrkadlili vo vývoji zlepencových záhorských sérií. Stopy vulkanickej činnosti vidíme vo forme tufitov v truskawieckych zlepencoch (M. Kamienski 1936). Debowiecke zlepence na západe poukazujú na mladšie helvetsko-tortónske pohyby Karpát a na vytvorenie priehlbenniny, do ktorej sa vlialo spodnotortónske more od Moravskej brány.

Koncom spodného tortónu pozorujeme novú vulkanickú fazu v tufitoch, usadených v chodenických vrstvách, na východe vo vrstvách stebnických. Silné pohyby vrásnenia možno pozorovať medzi spodným a stredným tortónom. Rozmery karpatského nasunutia v západnom a strednom pásme sa odhadujú na 20 km.

Slabé vulkanické úkazy boli pozorované pod aj nad sadrovcovým horizontom v hornom Sliezsku, pri okraji Šivetokrzyžských hôr na Podnestri. Slabé pohyby nasunutia možno pozorovať medzi grabovom a buglovom. Namiesto nich uplatnili sa tu pohyby, ktoré vyzdvihli podložie západných oblastí. Toto zapríčinilo rozbitie panvy, vysušenie západnej časti a prelievanie vód smerom na východ.

Obnovenie vulkanickej činnosti pozorujeme na hranici medzi buglovom a sarmatom. V tom čase podlahlo silnému vrásneniu a nasunutiu stebnické pásmo. Nakoniec so zdvihnutím Karpát en bloc ustupuje sarmatské more z východných oblastí.

LITERATÚRA — SCHRIFFTUM

- [1.] Buday T. a Cicha J.: Nové názory na stratigrafii spodného a stredného miocénu Dolnomoravského úvalu a Povážia. — Geol. práce, zošit 43, Bratislava 1956. — [2.] Czechtowa H.: Środkowo – miocénska flora Zalesiec koło Wiśniowca. Acta Geol. Pol., vol. II, nr. 3.

Warszawa 1951. — [3.] Czarnocki J., Kowalewski K.: Torton górny i jego fauna z otworów wiertniczych okolic Daszawy. Pos. PIG. Nr. 32. 1932. — [4.] Čtyroký P.: Předběžná zpráva o revisním paleontologickém výzkumu na Jaklovci v Ostravě. (Preliminary report on the paleontological revision research at Jaklovce in Ostrava). — Věstník ÚÚG, roč. XXXIII — 1958 — č. 1: — [5.] Friedberg W.: Młodszy miocen Galicji zachodniej i jego fauna. Spraw. Kom. Fizjogr. PAU, t. 40. 1907. — [6.] Przyczynki do znajomości miocenu Polski Cz. II. (Beiträge zur Kenntnis des Miocäns von Polen II. Teil 2.) Roczn. PTG, tom IX. Kraków 1933. — [7.] Makrofauna z wiercen wykonyanych przez S. A. „Pionier” na obszarze Podkarpacia w latach 1936—1937. (Makrofauna aus den durch die „Pionier“ A. G. in den Jahren 1936—1937 im Karpatischen Vorland durchgeföhrten Bohrungen). Roczn. PTG XIV (1938), Kraków 1938. — [8.] Ganss O.: Das Miocän des Jaklovec bei Mähr. Ostrau und dessen Bedeutung für die Stratigraphie des schlesischen Miocens. Firgenwald 9. H. 4. Reichenberg 1936. — [9.] Hiltermann H.: Stratigraphie und Facies im Vorland der galizischen Karpaten. — Zeitschr. für prakt. Geol. 52, H. 7: 1944. — [10.] Kamiński M.: O tufach wulkanicznych Przedgórza Karpat. — Sur les tufs volcaniques de l'avant — pays des Karpates. — Archiwum Mineralogiczne. (Arch. Miner. Soc. Sc. et Lett. Varsov.) XII. Warszawa 1936. — [11.] Kowalewski K.: O utworach trzeciorzędowych północnej części Wyżyny Lubelskiej. (Sur le tertiaire dans la partie Nord du plateau de Lublin). — Pos. Nauk. PIG nr. 8: 1924. — [12.] Stratygrafia miocenu okolic Korytnicy w porównaniu z trzeciorzędem pozostałych obszarów Górz Świętokrzyskich. Stratigraphie du Miocene des environs de Korytnica en comparaison avec le Tertiaire des autres territoires du Massif de S-te Croix. — Spraw. PIG T. 6: 1930. — [13.] Stratygrafia ilów krakowieckich w Świniorach w stosunku do pozostałych obszarów miocenu pd. zbocza Górz Świętokrzyskich oraz ich analogie z utworami solonośnymi Wieliczki. (Sur le stratigraphie des argiles de Krakowiec a Świniry, leur relation avec les autres niveaux du Miocene sur le versant sud du Massif de Ste Croix et leur comparaison avec le dépôts salifères a Wieliczka). — Pos. Nauk. PIG 24: 1929. — [14.] Uzupełnienia i nowe dane dotyczące podziału miocenu w Polsce (I-II). Przegląd Geol. nr. 1—2: 1957. — [15.] Stratygrafia miocenu południowej Polski ze szczególnym uwzględnieniem południowego obrzeżenia Górz Świętokrzyskich. Miocene stratigraphy of southern Poland with special attention paid to the southern margin of the Święty Krzyż Mountains. Kwartalnik Geol. tom 2 (1). Warszawa 1958. — [16.] K r a c h W.: Badania nad miocenem śląsko-krakowskim. Prace Geol. śląs. 7: 1939. — [17.] Miocen okolic Miechowa. Stratygrafia i paleontologia. Miocene of the neighbourhood of Miechów, stratigraphy and paleontology. — Biul. PIG 43, 1947. — [18.] Materiały do stratygrafii miocenu Górnego Śląska. Materials to the stratigraphy of the Upper Silesia Miocene. — Biul. IG 71, 1954. — [19.] Nowy profil i fauna miocenu z Gliwic Starych na Górnym Śląsku. New profile and miocene fauna from Gliwice Upper Silesia. — Biul. IG 71, 1954. — [20.] K r a c h W.: Stratygrafia miocenu górnej Odry i górnej Wisły oraz jej związek z obszarem wschodnim. Kwartalnik Geol., T. II Warszawa, 1958. — [21.] K u d r i n L. N.: O vozrastie piešano-uglinisto-uglistych otloženij na territorii jugo-zapadnoj okrainy Russkoj platformy. — Dokl. AN SSSR 1955 — tom. 101. nr. 3. Moskva. — [22.] O sопostavlenii miocenovych otloženij Predkarpatja i centralnogo Predkaukazja. Dopovidi ta povidomlennie. Vyp. 7, čast 3. Vydat. Lviv. Universitetu. Lvov, 1957. — [23.] Kirchner Zb.: Stratygrafia miocenu Przedgórza Karpat Środkowych na podstawie mikrofauny. Acta Geol. Pol., vol. VI, Warszawa 1956. — [24.] Š a z a k o w a W. P.: Stratigrafija i fauna płastinczo-żabiernych molusków średnie-miocenowych otloženij Opolja. — Trudy Mos. Razwied. Instituta, t. 27. Moskwa 1952. — [25.] Kuciński T. i Porębska W.: Utwory mioceńskie na Przedgórzu Karpat Zachodnich i ich fauna otwornicowa (w druku). — [26.] Nowak J.: Dniestr a gipsy tortońskie. Das Dniestr Fluss und die tortonen Gipse. — Roczn. PTG XIV, Kraków, 1938. — [27.] Miocen północnej krawędzi Karpat. The Miocene of the northern border of the Carpathians. — Roczn. PIG XVII za 1957 r. Kraków

1948. — [28.] Michael R.: Über die Altersfrage des Tertiars im Vorlande der Karpathen. — Zeitschr. d. D. Geol. Ges. Bd. 65. 1913 r. — [29.] Preda O. M.: Geol. de la valée du Teleajen. — Guide d. exc. Ass. pour l'avanc. de la géologie des Carpates. 2 -me reunion en Roumanie, 1927. — [30.] Roemer F.: Geologie von Oberschlesien. Breslau 1870. — [31.] Sierova M. J.: Stratigrafija i fauna foraminifer miocenovych otloženíj Predkarpatja. — Materiály po biostratigrafii zapadnych oblastej Ukrainskej SSR. Moskva 1955. — [32.] Skoczyńska K.: Przyczynek do znajomości miocenu kotliny sądeckiej. Beitrag zur Kenntniss der Miocänablagerungen in der Umgebung von Nowy Sącz. — Rocznik PTG t. VI (1929) Kraków 1930. — [33.] Stille H.: Der geotektonische Werdegang der Karpaten. Beihefte z. Geolog. Jahrb. — Geol. L. = A. der Bundesrep. Deutsch. Hannover 1953. — [34.] Subbotina N. N., Glyško W. W., Pišvanova L. S.: O vozrastie nižnej vorotyščenskej svity predkarpatskogo krajevogo Progiba. Dokl. AN SSSR 1955. T. 104, nr. 4. — [35.] Tołwiński K.: Z geologii południowej strefy przedgórza polskich Karpat Wschodnich. (Géologie de la zone méridionale de l'avant. pays des Karpates polonaises orientales). Spraw. PIG. IV. Warszawa 1927. — [36.] Vjalov O. S.: Schema dielenija miocena Predkarpatja. Dokl. AN SSSR, t. XXVIII, nr. 5. Moskva 1951. — [34.] Vašíček M.: Pleistocenní poruchy v miocenních sedimentech u Sudic a u Muglinova. Věstník Král. Čes. Spol. Nauk. Třída matemat. — přír. Roč. 1944. Praha 1946.

W. KRACH-T. KUCIŃSKI

DAS NEOGEN SÜDPOLENS UND DER ANLIEGENDEN GEBIETE

Die beigelegten Karten stellen Umrisse der maximalen Verbreitung der Meeresüberflutung der miozänen Paratethys, sowie den Ausmass der karpatischen Überschiebung vor. Die Zusammenstellung der paläogeographischen Karten stützt sich auf eine Gliederung des Tortons, die von W. Friedberg (1953), J. Nowak (1938, 1947) und W. Krach (1958) angegeben war, und zwar in eine untere (Opolian), mittlere (Grabovian) und obere (Buhlovian) Unterstufe. In dem obengenannten Meeresarm kann man im allgemeinen nach Nowak eine Strandzone und eine Senkungszone unterscheiden; dazu kommen noch die karpatischen Strandhorizonte, die auf die Sedimente des Beckens überschoben wurden.

Das untere Miozän beginnt im südöstlichen Teil (laut Subbotina und Pišvanova, 1951) mit einer transgressiven Schichtserie von Zagórze (Konglomerate von Sloboda Rungurska und Truskawiec). Auf Grund der Analogie ähnlicher Bildungen in Rumänien (Preda, 1927), wird das Alter dieser Serie an die Grenze zwischen Burdigal und Helvet gelegt. Im westlichen Teile des Beckens sind dagegen Sande und Konglomerate mit einer Fauna bekannt, dessen Alter O. Gans (1936) und P. Čtyroký (1958) als Burdigal bestimmten.

In einer engen, in südöstlicher Richtung verlängerten Zone entwickelte sich im Helvet (H. Hiltermann, 1944) die obere Worotyszcze Serie (O. Wjalow, 1951) mit Salz-einlagen (Lacko, Stebnik, Dolina); sie übergeht in südöstlicher Richtung in die Dobrotower Schichten. Auf dem Plateau von Podolien haben sich in der Umgebung von Buczacz brackische Sande mit *Rzechakia* abgelagert.

Die Gestalt des Beckens war im Südwesten vom karbonischen Relief bedingt. In den tonigen Ablagerungsresten, die durch eine tortonische Transgression zerstört wurden — z. B. in Dziedzice, Brzeszcze, Mszana (W. Krach, 1939) — tritt eine helvetica Fauna auf, die an eine analoge Fauna aus der Umgebung von Ostrau anknüpft. Auch die Konglomerate von Debowiec und Tone mit *Balantium fallaxi* aus der Umgebung von Andrychow könnten helvetica Alters sein.

Am Südrand des Polnischen Mittelgebirges entwickelte sich nach K. Kowalewski (1958) eine Braunkohlenformation.

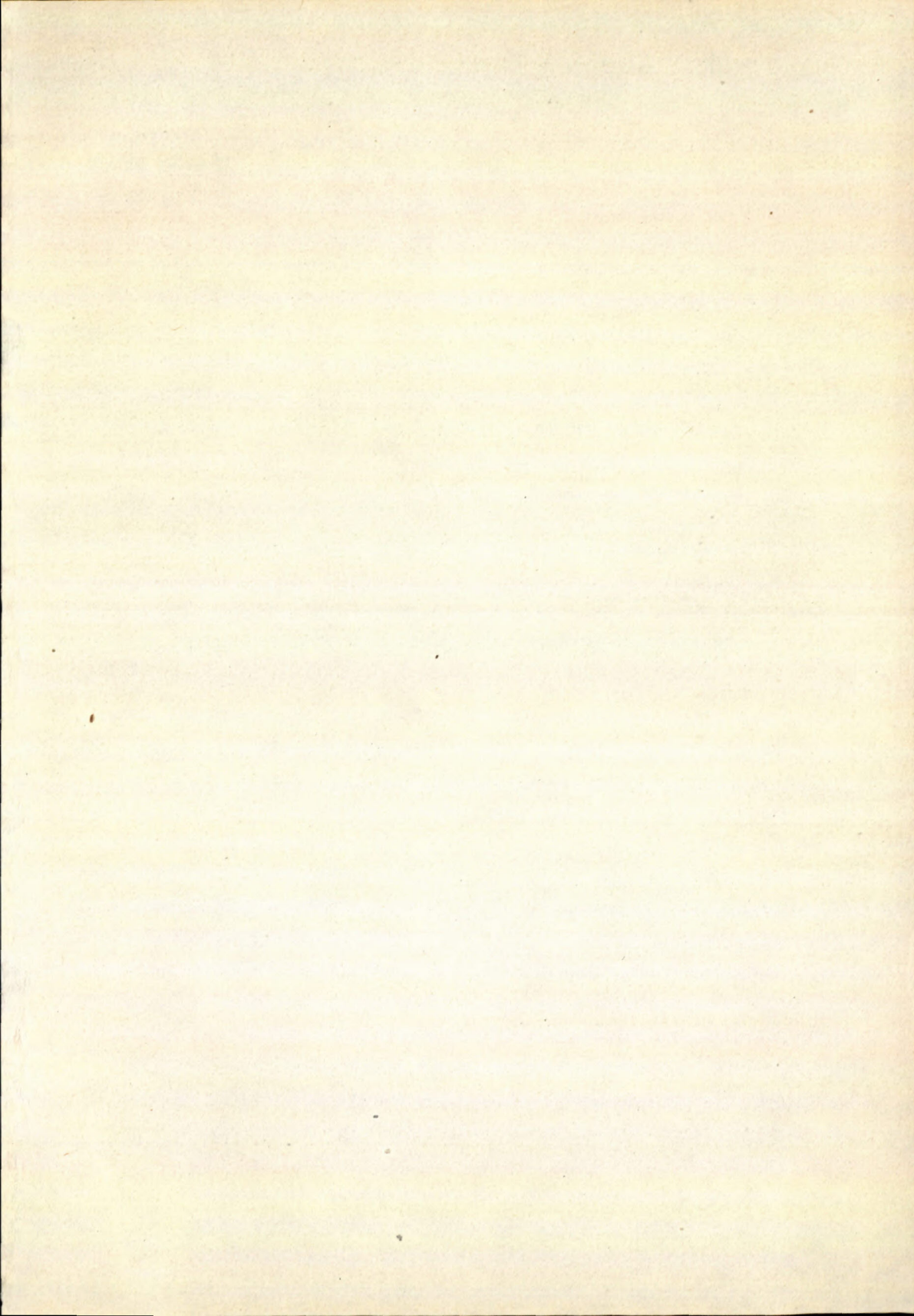
Zwischen den obenangeführten Becken entstand im unteren Torton eine Verbindung, wobei die Meeresablagerungen in den südwestlichen und südöstlichen Gebieten, nahe der heutigen nördlichen Grenze der karpatischen Überschiebung eine beträchtliche Mächtigkeit erreichten; demgegenüber sind die Sedimente im Zentralteil des Beckens zum grössten Teil nur sehr gering entwickelt, oder fehlen sie stellenweise überhaupt. Im Osten erreichten die bunten Stebniker Schichten eine beträchtliche Entwicklung. Im mittleren Teil enthalten sie eine Salzformation. Diese Tatsache war ein Grund dazu, dass sie in Stebniker Schichten sensu stricto und in Kaluszer Schichten (Cz. Kuźniar, 1939) eingeteilt wurden. Im Hangenden treten an einigen Stellen Gipse auf (Jordanówka bei Przemyśl). Ähnliche Verhältnisse herrschen auch im Westen. In der Umgebung von Bochnia—Gdów treten die Chodenicer Schichten sensu lato mit Steinsalzlagerungen auf; über diesen chemischen Sedimenten wurden die Chodenicer Schichten sensu stricto mit kieseligen Mergeln, Tuffiten und Gipsen im Hangenden abgelagert. Diese Gipse entsprechen wahrscheinlich den Gipsen aus dem Gebiet des Nida-Flusses und Podolien. Unter und auch über ihnen findet man zahlreiche Tuffiteinlagen. Es bestehen aber Bestrebungen, die chemischen Sedimente in einen geringen Horizont einzureichen (J. Nowak, 1947, und Zb. Kirchner, 1956).

Am Südrand des Polnischen Mittelgebirges und in Podolien sind die erwähnten Serien äquivalent mit den Lithothamnien — den sog. unter und ober Lithothammien liegenden Schichten, wie auch mit den chemischen Sedimenten. In der karpatischen Strandzone treten stellenweise auch Lithothamnien und Gipse auf. Ein Zusammenhang der Liegendifferenzen der nördlichen und südlichen Zone wird durch die Mikro- und Makrofauna aus Korytnica und Grudna Dolna begründet. Auf Grund des Studiums der Veränderlichkeit der Mikrofauna in den unteren Tonen der Bohrungsprofile (T. Kuciński, W. Porębska 1958) kommen wir zum Schlusse, dass sie für den unteren Lagenidenhorizont gehalten werden könnten; demgegenüber könnte der obere Horizont wahrscheinlich auf der Basis der „Baranower Schichten“ (K. Kowalewski) und ihren äquivalenten Chodenicer Schichten sensu stricto auftreten. Am nordöstlichen Ufer des untertortonischen Meeres entstand im Liegenden der Tortontypen auf einem breiten Gebiet in den geschlossenen und ausgesäusten Meeresbuchten die Braunkohle (z. B. Rawa Ruska, Skwarzawska, Złoczów, Pocajów).

Die Ablagerungen des mittleren Tortons sind im Norden weniger verbreitet als in dem unteren Torton. Ausserdem weisen sie im schlesischen Gebiet eine beträchtlich geringere Mächtigkeit auf, als in den zentralen und nordöstlichen Teilen des Meeres. Entlang des Karpatenrandes bewahrten sich mächtige schottrig-sandige Sedimente (überwiegend deltaförmige), mehr nach Norden die Sande von Bogucice, die dann weiter in Tone von Grabowiec übergehen. In der nördlichen Zone ist Grabovian in der Fazies der tonigen Pectenschichten entwickelt.

Die gebirgsbildende Bewegungen im Buhlovian die die Karpaten emporhoben, verursachten eine Verteilung des Beckens in zwei Gebiete — einen kleineren, auslöschen den, und einen grösseren östlichen Teil. Die Schichten im zentralen und im vorkarpatischen Teil des Gebietes erreichten eine beträchtliche Mächtigkeit. In unterem Teile sind sie in Form von Sanden mit Toneinlagen und als reine Tone entwickelt. In der nördlichen Zone entwickelten sich dünne tonige Schichten mit *Syndesmya*. Im Osten sind mit ihnen die oberen Pokucie- und die oberen Daszawa-Schichten, wie auch ein Teil der Krakowiec-Tone analog.

Im unteren Sarmat verringerte sich der Ausmass der überfluteten Schichten sowohl im Westen, wie auch im Südosten; dagegen verschob sich diese Überflutung in nördlicher Richtung nach Volynien. In dem Gebiet der Vortiefe sind die Sedimente in der Krakowiec-Fazies und am nördlichen Rande, wie auch in Volynien in den verschiedensartigen Seichtwasserfazien entstanden. Unter ihnen bemerkenswert ist die längs der Hügelzone von Roztocze verbreitete

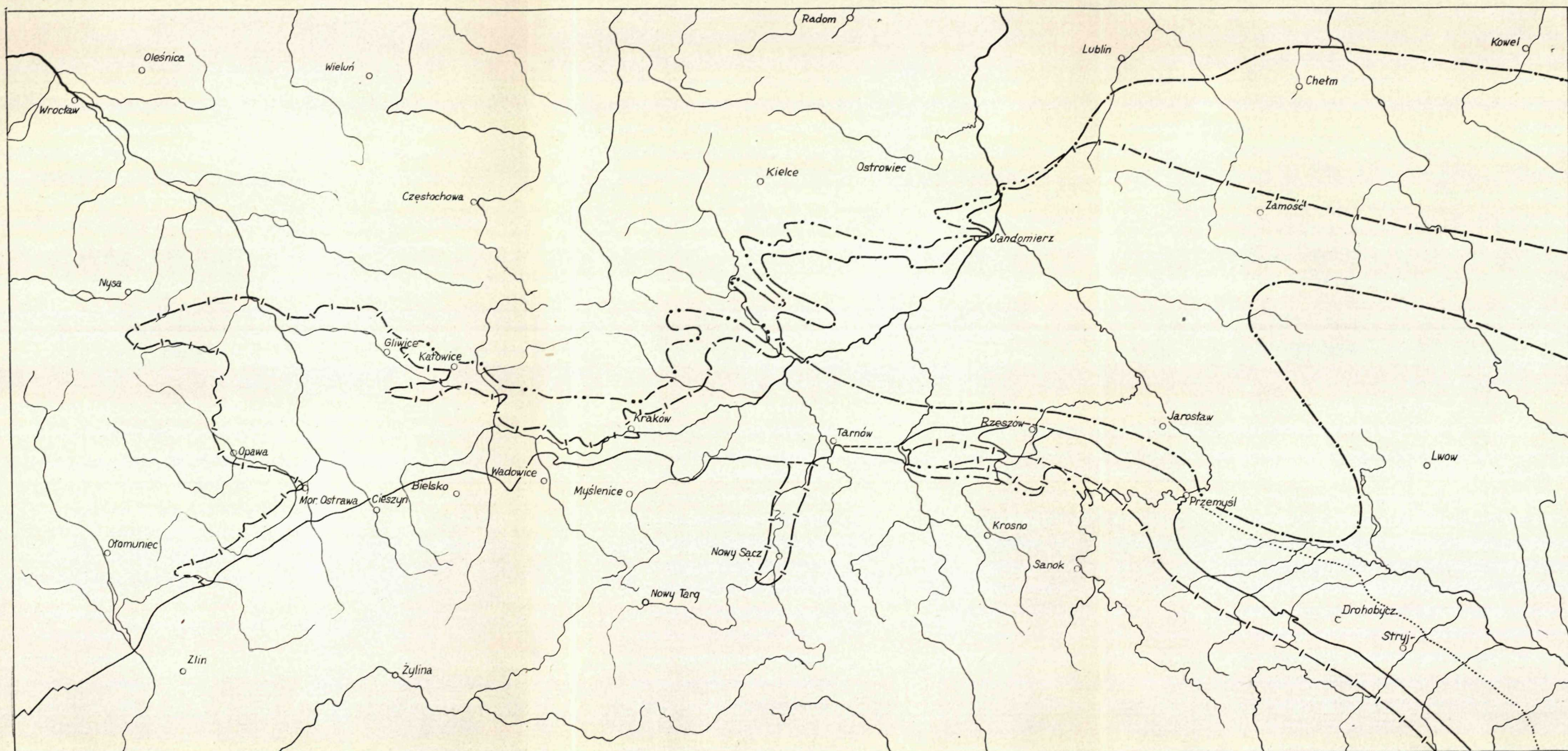


Stratigrafia meogējužného Poľska

Stratigraphie des Néogens in Südpolen

Hranice morských záplav na predhorí severných Karpát (príl. I)

Grenze der Überschwemmungen am Rande der Nordkarpaten



Prevažne spodný sarmat
Überwiegend Untersarmat

Stredný tortón
Mitteltorton |---|---|---|

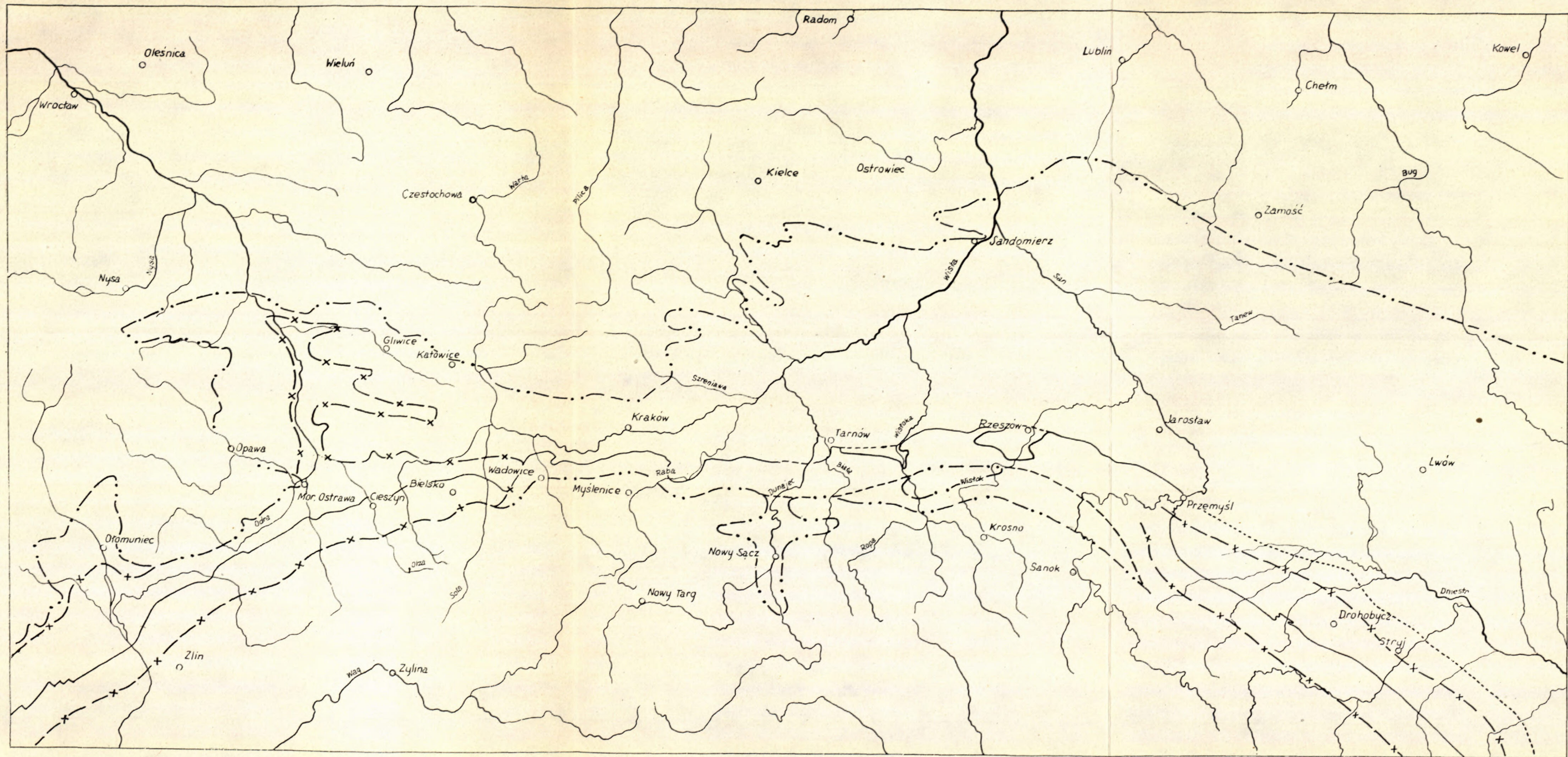
Okraj Karpát koncom buglova
Karpatenrand Ende Buhlovians

Okraj Karpát koncom grabova
Karpatenrand Ende Grabovians |---|---|---|

Dnešný okraj stebnickej jednotky
Derzeitiger Rand der Stebniker Einheit

Hranice morských záplav na predhorí severných Karpát (príl. II)

Grenze der Überschwemmungen am Rande der Nordkarpaten



Spodný tortón . .

Fazies der Kalkenriffe mit Serpulen und Bryozoen. In südöstlicher Richtung, längs der Stebniker Überschiebung stellen sich die sovietrussischen Geologen einen engen Streifen des Sarmat vor, der sich mit der Bucht von Czerniowiec verbindet. Die aus diesem Gebiet bekannte Makrofauna verweist aber auf Buhlovian. In Schlesien breitet sich über dem marinen Buhlovian oder über den älteren Bildungen eine Ligniteformation aus, die wahrscheinlich noch zum Buhlovian bzw. schon zum Untersarmat gehört.

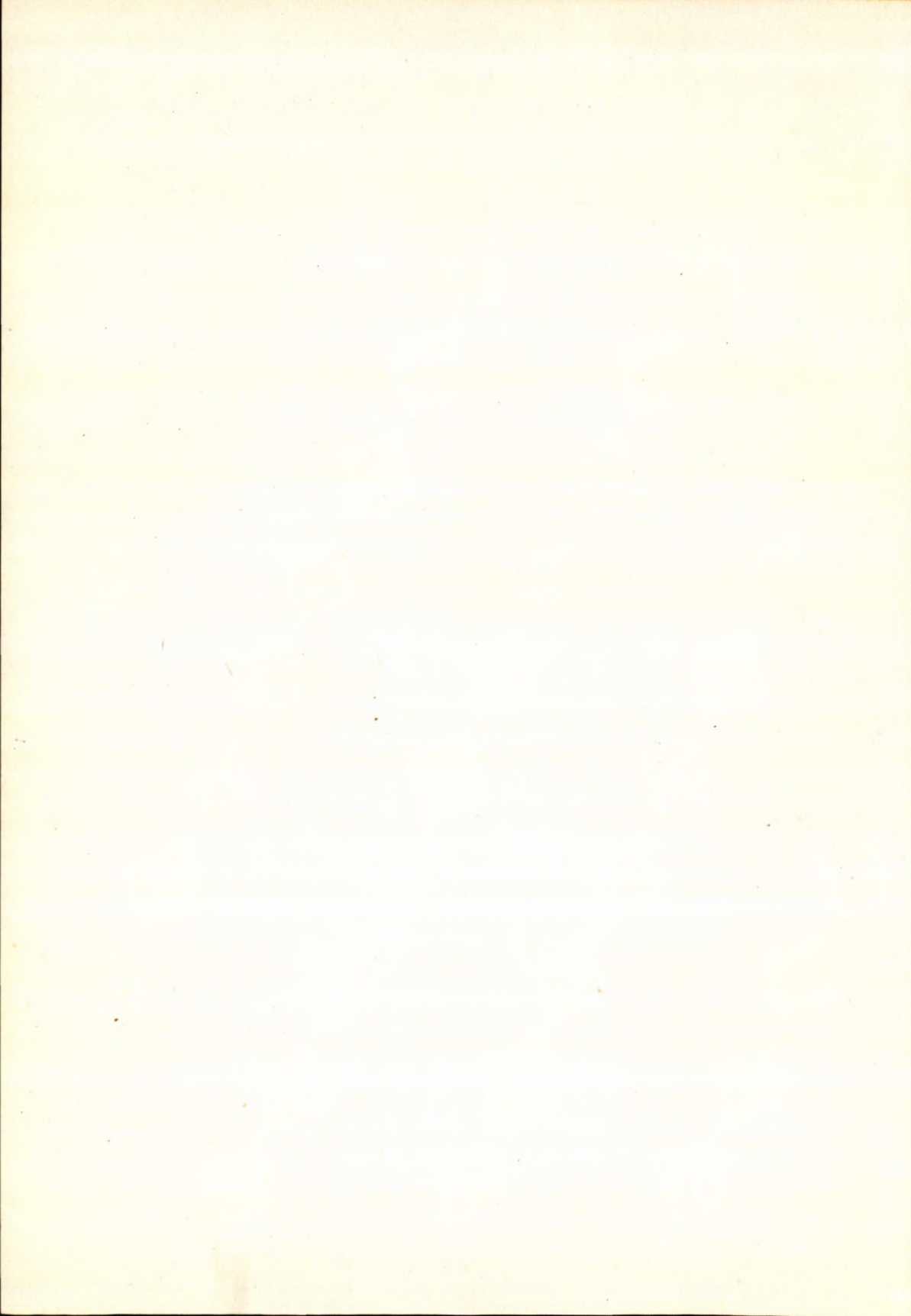
Die ersten gebirgsbildenden Bewegungen haben im Miozän auf dem östlichen Gebiet stattgefunden, wo sie sich in den Konglomeraten der Zagórze-Serie geltend gemacht haben. Spuren der vulkanischen Tätigkeit machen sich in Form von Tuffiten in den Konglomeraten von Truskawiec bemerkbar (M. K a m i e n s k i, 1936). Die Konglomerate von Dębowiec im Westen verweisen auf die jüngeren helvetisch-tortonischen Bewegungen in den Karpaten. Die Entstehung der Vorlandsenke hat die Meeresüberflutung von Mähren nach Schlesien ermöglicht.

Am Ende des unteren Tortons kommt eine neue vulkanische Phase in den Chodenicer Schichten und im Osten in den Stebniker Schichten zum Ausdruck. Starke Faltungsbewegungen machen sich an der Grenze zwischen dem unteren und mittleren Torton bemerkbar. Ausmass der karpatischen Überschiebung in der westlichen und mittleren Zone wird auf 20 km geschätzt.

Eine geringere vulkanische Tätigkeit ist unter und auch über dem Gipshorizont Oberschlesiens, am Rande des Polnischen Mittelgebirges und im Dniestertal zu beobachten. Kleinere Überschiebungsbewegungen kann man zwischen dem Grabovian und Buhlovian bemerken. Demgegenüber haben sich die Bewegungen stärker geltend gemacht, die die Basis des westlichen Teiles des Gebietes emporhoben; diese Bewegungen verursachten eine Aushebung des Beckens, seine Austrocknung im westlichen Teile und das Vergießen des Wassers in östlicher Richtung.

Eine Belebung der vulkanischen Tätigkeit kann man an der Grenze zwischen Buhlovian und Sarmat beobachten. Zu jener Zeit unterlag die Stebniker Zone einem intensiven Faltungsprozess und einer Überschiebung. Schliesslich nach der Emporhebung „en bloc“ der Karpaten erlosch das sarmatische Meer in dem östlichen Gebiet.

Übersetzt von inž. M. R u m a n n.



JOSEF JANÁČEK

K OTÁZCE STÁŘÍ A VZNIKU POZDIŠOVSKÉ ŠTĚRKOVÉ FORMACE V POTISSKÉ NÍŽINĚ NA VÝCHODNÍM SLOVENSKU

(*Německé resume*)

Obsah práce

Úvodem je podán současný stav vědomostí o tomto problému, doplněný výčtem pracovníků, kteří se studiem pozdišovských štěrků zabývali.

Výsledky nejnovějšího systematického průzkumu v r. 1957, přinesly jasno v této otázce. Vrtními pracemi bylo bezpečně prokázáno, stáří, vysvětlen vznik a původ štěrků, dosud různě stratigraficky interpretovaných.

Nová zjištění jsou důležitá předně po stránce ryze výzkumné. Umožnila pevnou stratigrafickou lokaci nejmladší andesitové eruptivní fáze. Přispěla k vyjasnění nazírání na tektogenetický vývoj pánve v nejmladších údobích. Jsou však též významným přínosem pro výzkum aplikovaný.

Úvod a stručný přehled prací

Rozsáhlé a mocné pokryvy štěrků v severotiské nížině a v Košické kotlině, jejich uložení, vznik a pozoruhodné valounové složení, byly zvláště v poslední době předmětem studia řady výzkumných pracovníků. Výzkumu byla podrobena hlavně košická štěrková formace, neboť území Košické kotliny bylo do r. 1953 zkoumáno intensivněji.

Štěrkové pokryvy jsou velmi rozšířenými sedimenty v Košické pánvi. Je odtud známa celá řada přirozených i umělých odkryvů (M. Mišík 1955). Známý odkryv štěrků na východním okraji Košic, při odbočení hlavní silnice na Sečovce popisuje M. Mišík (1955) a J. Senec, J. Šagrovscký (1957).

Zjistilo se, že v celém komplexu je možno rozlišiti typické polohy. Ve spodním obzoru převládají valouny dolomitických vápenců a dolomitu spolu s pegmatity. Ve svrchních polohách mají převahu valouny žilného křemene a triasových křemenců. Rovnoměrně jsou v souvrství zastoupeny metamorphy Spišsko-gemerského rudohoří.

Valounová analýsa košického odkryvu ukázala toto složení, (M. Mišík 1955, J. Seněš, J. Šagrovsý 1957):

Dolomity a dolomitické vápence	21 %
žula a pegmatit	20 %
žilný porfyr	18 %
triasový křemenec	11 %
rula, svor, fyllit	9 %
droby, křemenec, lidit	5 %
břidlice (verucano)	4 %
arkosy	3 %
kaolinisovaný andesit	1 %

Na podkladě současných vědomostí můžeme košickou a pozdišovskou štěrkovou formaci považovat za stratigraficky ekvivalentní. Valounové složení je však rozdílné. V košických štěrcích převládají valouny hornin Spišsko-gemerského Rudohoří, kdežto ve štěrcích pozdišovských mají převahu valouny flyšových sedimentů. Různé valounové složení štěrků v obou oblastech dokumentuje netolik různé oblasti původu štěrků, nýbrž i to, že v době ukládání byla již košická oblast morfologicky samostatnou pánví.

Stejnemu stáří nasvědčuje analogická geologická posice štěrků (Vl. Homola 1954). Štěrky spočívají zřetelně diskordantně na různých stratigrafických členech neogénního souvrství. Východně Košic, přecházejí košické štěrky Ruskovským sedlem, do východní části pánve ke Slančíku a k Novému Mestu. J. Šagrovsý (1953) považuje tyto štěrky za pliocenní a uvádí, že leží na andesitech a současně na pravém břehu Olšavy na sarmatských slínech. Poněvadž štěrky neobsahují andesitových valounů, můžeme se přikloniti k názoru, že tu jde skutečně o štěrky starší, než nejmladší andesitový střednopliocenní vulkanismus, patřící III. generaci pyroxen-andesitů. (J. Janáček 1958). Tyto nejmladší andesitové výlevy řadil J. Seněš (1954) do pannonu. Podložní andesity by tedy příslušely předposlední andesitové erupci (II. generace pyroxen-amfibol andesitů). Podle těchto zjištění můžeme tyto štěrky považovat za košické, resp. pozdišovské.

Názory na stáří bezandesitových štěrkových formací východoslovenského neogénu byly různé. Později se však většinou shodovaly o pliocenním původu štěrku, bez bližšího začlenění (D. Andrusov 1948, J. Šagrovsý 1950, 1953, 1955, J. Seněš 1955, J. Gašparík 1954, M. Mišík 1955). Byly však i názory jiné. V rámci studia markasitového ložiska na basi štěrkové formace košické u Tepličan dotýkají se V. Kantorová – J. Kantor (1955) otázky stáří tohoto souvrství a považují je za mladší než vrchnohelvetské. Naproti tomu J. Ilavský (1955) považuje nesprávně celý komplex slinitých jílů, štěrků a písků za jeden nedělitelný celek vrchnohelvetského stáří, presto, že ostrá diskordance štěrkového souvrství byla mimo diskusi (V. Kan-

torová — J. Kantor). Na podkladě zjištění, že v povodí dolního toku Hornádu, jižně státních hranic, v Maďarsku, leží štěrková (košická ?) formace na nejvyšších vrstvách kongeriových, (t. j. ekvivalentu středního pannonu vnitroalpské pánve), pokláda Vl. Homola (1954) Košickou štěrkovou formaci za svrchnopliocenní. Tentýž názor má L. Reich (1952).

V r. 1956 popsal podrobně Košickou štěrkovou formaci J. Švagrovsý a mluví o jejím pannonském (t. j. spodnopliocenném) stáří, zatím co F. Čech (1956), se vrací ke staršímu, širšímu pojetí pliocenního věku pozdišovských štěrků. V poslední době byla však přijata platnost pannonské, resp. posarmatské příslušnosti štěrkových formací v páni (J. Senes — J. Švagrovsý 1957). Stejně jako předchozí, upozorňují autoři na nepřítomnost anebo nedostatek (?) pyroxen-andesitových valounů. Proto je na př. v Podvihorlatské páni stratigrafická posice těchto štěrků autory interpretovaná tak, že štěrky se uložily na basi pannonu po efusi sarmatských, avšak před erupcí pannonských andesitů.

V nejnovější práci z r. 1957 upozorňuje B. Leško na důsledky vyplývající z dosud známých zjištění. Kloní se rovněž k názoru o pannonském stáří pozdišovských štěrků. Poněvadž štěrky andesitových valounů neobsahují, je jasné, že k vystoupení nejmladších andesitových láv došlo až po jejich uložení, tudíž v mladším pliocénu.

Novým důkazem tohoto správného pojetí jsou výsledky průzkumu z r. 1957, předložené v této práci.

Nový výzkum a jeho výsledky

Od počátku systematického stratigrafického a strukturního vrtního průzkumu v páni bylo jasné, že vyřešení otázky původu a stáří pozdišovské štěrkové formace je velmi důležitým úkolem nejen teoretickým, nýbrž i na poli aplikovaného průzkumu živic i uhlí. Mělo být důležitým příspěvkem k poznání genese pánve, zvláště v jejím mladém údobí vývoje. Mělo však být též účinnou orientací a pomocí při strukturním průzkumu.

Abychom tuto závažnou otázku vyřešili, byl v jižní a jihozápadní oblasti od spojnice Trhoviště—Pozdišovce—Michalovce proveden sondážní vrtní průzkum v profilech do hl. 300—350 m. Profily byly orientovány ve směru S—J, k Malčicím. Prvořadým úkolem tohoto průzkumu byl orientační tektonický průzkum jižně trhovištské hrásti. Kromě toho však měl tři cíle výzkumné:

Prvým úkolem bylo prokázat bezpečně a spolehlivě stratigrafickou identitu pozdišovských štěrků a pestré serie svrchnopannonské. Náznaky této možnosti přinesl již orientační průzkum v r. 1957.

Stanovený úkol byl splněn s kladným výsledkem. Byl odvrácen souvislý profil sond, s nepřetržitým jádrem, jednoznačně korelovatelných, pravidelně až do podloží štěrkové formace, resp. pestré serie. Průzkumem bylo zjištěno, že štěrky, které jsou v oblasti Pozdišovců 60—110 m mocné, nabývají směrem k jihu na mocnosti

větší než 280 m a mírně se noří do pánve. Do štěrku, který směrem k jihu se stává drobnozrnnější, se současně vkládají vrstvy pestrých jílů, které znenáhla nabývají na mocnosti, až zcela převládají. Štěrk pak tvoří více méně mocné, vertikálně isolované vrstvy. Basální štěrk nebo písek je vyvinut téměř pravidelně.

Na podkladě tohoto zjištění můžeme pozdišovské štěrky, jako e k i v a l e n t pestré serie, považovat za s v r c h n o p a n n o n s k é, t. j. sedimenty nejmladšího, s p o d n í h o p l i o c é n u.

Svrchnopanonská pestrá serie byla v oblasti východoslovenského neogénu definována jako nejmladší, 280–600 m i více mocný člen neogenního souvrství, spočívající diskordantně a transgresivně na starším neogenním podkladě. Lithologickým a petrografickým vývojem je nápadně shodná s pestrou serií a je prakticky bezfosilní (J. Janáček 1958).

Určitý nesouhlas při regionální stratigrafické korelací svrchního pannonu se jeví v karpatských pánvích, dokud platilo staré stratigrafické dělení tohoto vrstevního celku. Ve vnitroalpské pánvi byl svrchní pannon do nedávna dělen na svrchní pestrou serií, na níž lokálně se uložila svrchní uhelná serie, jako souvrství nejmladší. Do spodního oddílu svrchního pannonu byla řazena spodní uhelná serie. Zhruba stejně dělení svrchního pannonu se přijímalo pro naše území Malé dunajské nížiny.

Poznáním transgresivní povahy pestré serie, která má ve vnitroalpské pánvi regionální platnost (J. Janáček 1957), a zvážením dalších kriterií faunistických a paleogeografických jeví se dnes spodní uhelná serie jako nejmladší souvrství ústupové sedimentace spodního pannonu, který podle nového stratigrafického dělení zastupuje celé kongeriové vrstvy (t. j. střední + spodní pannon ve starém pojetí) (T. Buday, 1958). Na něm transgreduje pestrá bezfosilní serie svrchnopannonská. Transgrese je velmi výrazná a sahá daleko přes okraje mladších pánví.

V tomto novém pojetí stratigrafie pannonu vymizí veškeré dosavadní nesrovnanosti regionální stratigrafické korelace ve všech karpatských pánvích.

V pestré serií u Trebišova byla nalezena svrchnopannonská ostrakodová mikrofauna a sladkovodní plži:

Candonia sp. III. Pok,
Cyprideis pannonica (Méh),
opercula plžů

V nejvyšších pannonských sedimentech pestré série u Malčic byli nalezeni též zástupci svrchnopannonských ostrakodů:

Candonia sp. III. Pok,
Candonia sp. II. Pok.,
Cypria abbreviata (Reuss), ojediněle a
opercula plžů

(*Cypria abbreviata* je hojná hlavně ve středním pannonu).

Podle uvedených faunistických dokladů, lithologického vývoje, stratigrafické posice a paleogeografických znaků, můžeme zařaditi pestrou serii vcelku bezpečně do svrchního pannonu, t. j. nejvyššího spodního pliocénu a srovnati ji s pestrou serií vnitroalpské pánve a dunajské nížiny.

Pestrá serie je souvrstvím v severotiské nížině značně rozšířeným. Uložila se hlavně v hlubších jižních částech pánve. Z výsledků vrtního průzkumu ji známe z oblasti Trebišova, Malcic, Markovců, Královského Chlumce a Velkých Kapušan. V denudačních zbytcích se pravděpodobně zachovala i v Podvihorlašské pánvi. Největší její mocnost byla dosud zjištěna u Malcic a činí 280 m. Uvnitř pánve, ve směru k JV, je pestrá serie daleko mocnější.

V pestré serii jsou uvnitř pánve téměř výlučně zastoupeny jíly. Jsou intensivně žlutohnědě a hnědožlutě skvrnité, někdy až zcela žlutohnědě vybarvené. Jejich prvočinní základní zbarvení je světlezelenošedé, světlezelenavěšedé, světlešedé, řidce bělošedé. Písčitost je pravidelně slabá až velmi slabá. Velmi hojně jsou zastoupeny jíly zcela nepísčité, dokonale plastické. Kromě pestrých jílů jsou přítomny též polohy zelenošedých a světlezelenošedých jílů, zvláště při nadloží. Sedé jíly se uložily jen velmi řidce. Pravidelně téměř v profilu chybí. Proplásky a tenké vložky uhelného jílu byly zjištěny jen v profilech několika vrstev, a to jen zcela ojediněle.

Nepřítomnost uhelných jílů, příp. lignitů je jedním z kriterií jak rozlišití svrchnopannonskou pestrou serii od pestrého vývoje šedých vrstev tufticko-lignitické serie hlouběji v pánvi.*). Šedé vrstvy v pestém vývoji jeví vždy alespoň reliktní uhelnou sedimentaci. Nejvýraznějším znakem a kriteriem příslušnosti sedimentů, je naprostá převaha jílů v pestré serii. Vápnité jíly, pestré či nepestré, obyčejně jemně písčité, jsou zastoupeny jen ve zcela podřadném až minimálně množství.

Přítomnost tufů ani tufitů nebyla v pestré serii zjištěna. Zato poměrně hojně, k severu velmi hojně až převládající, jsou polohy štěrků. Objevují se v celém vrstevním profilu. Kromě toho je vyvinut pravidelně basální štěrk nebo písek. Místy jej zastupuje silně písčitý jíl nebo slinitý jíl.

*) Tufticko-lignitická serie je 430–520 m mocné souvrství v podloží pestré serie svrchnopannonské. Je odděleno stratigrafickým hiátem v rozsahu spodního pannonu. Dělíme ji na spodní šedé vrstvy, mocné 170–200 m, střední pestré vrstvy o mocnosti 80–110 m a svrchní šedé vrstvy, jejichž mocnost je 180–210 m.

Spodní šedé vrstvy se uložily ve středním sarmatu. Jejich stáří bylo bezpečně prokázáno podle přítomného společenstva mikrofauny s *Elphidium hauerinum* (d'Orb.), (J. Janáček 1958) (Pozn.: střední sarmat ve smyslu R. Grilla).

Střední pestré vrstvy jsou bez fauny. Svrchní šedé vrstvy klademe na podkladě posledních nálezů společenstva s *Nonion granosum* (d'Orb.) do svrchního sarmatu. Kromě toho jsou pro toto zařazení i kriteria další (J. Janáček 1958).

Stratigrafickou hranici svrchní sarmat – střední sarmat klademe předbežně na basi středních pestrých vrstev.

Jak bylo již vpředu uvedeno, jsou štěrky v hlubších částech pánve málo mocné. Tvoří vrstvy o mocnosti 3–10 m. Jsou poměrně drobnozrnné a obsahují dosti bohatou písčitou příměs. Směrem k severnímu okraji pánve stávají se hrubo-zrnější. Současně se zvětšuje mocnost a hojnost štěrkových poloh. Jsou 30–40 m mocné, takže pestré jíly tvoří méně významné mezivrství. Konečně u Pozdišovců přecházejí do pozdišovských štěrků.

Význačnou vlastností těchto štěrků je úplná absence valounů pyroxenických andesitů a andesitů vůbec. Štěrkové analyzy velkého počtu sond v jižní a jihovýchodní oblasti Pozdišovců, kterými byl problém faciální změny pestré serie sledován, ukázaly vcelku jednotné složení:

glaukonitický pískovec	52,9–66,8 %
vápnito-písčitá břidlice	13,2–16,9 %
tmavý rohovec	9,4–28,2 %
světlý rohovec	3,1–5,1 %
žilný křemen	1,6–5,4 %
kvarcit	0,3 % (v jediné sondě)
ryolit	0,9 % (v jediné sondě)

Valouny glaukonitického pískovce jsou většinou dobře až dokonale oválené. Řidce jsou též přítomny ve valounových úlomcích. Povrch valounů je jemně nerovný až drsný. Jsou zastoupeny v různých šedozelených a šedých barevných odstínech. Hnědavé a žlutavé zbarvení je druhotné. Velikost valounů je 5–25 mm v prům. Přesto, že jsou valouny dobře opracované, není možno usuzovat na jejich dlouhý transport, neboť pískovec není zvláště pevný. Původ valounů je flyšový.

Valounky břidlice jsou téhož původu. Břidlice je jemně písčitá, vápnitá, méně tvrdá než pískovec. Proto tvoří drobné, dobře zaoblené valounky rozměrů 3 až 9 mm, hladkého povrchu. Bary jsou šedé, světlešedé a zelenavěšedé. Není zdaleka transportovaná.

Valouny rohovce jsou 3–13 mm velké, dobře zaoblené, lesklého a hladkého povrchu. Jsou bělošedé až špinavě bílé, tmavohnědé, červenavěhnědé, lasturnatého lomu. Dokonalé opracování valounů tvrdého rohovce svědčí o dlouhém transportu. Původem jsou z karpatského mesozoika, pravděpodobně z jury.

Valouny křemene jsou 3–7 mm velké, dobře opracované, dokonale hladkého povrchu. Matečnou horninou valounů je žilný křemen, blíže neznámého stáří. Dokonalé zaoblení ukazuje na daleký transport.

Jediný nalezený valoun kvarcitu je šedavě bílý, dokonale oválený, hladkého povrchu. Má průměr asi 6 mm. Soudě podle jeho textury má původ z krystalinika, a to značně vzdáleného.

V jediné sondě byly nalezeny tři valouny silně zvětralého bělošedého ryolitu, původem z tortonských ryolitových erupcí. Na toto stáří ukazuje silná destrukce

eruptiva. Zcela totožné složení bylo zjištěno v přirozených odkryvech. Valouny jsou však hrubé.

Druhým výzkumným úkolem průzkumu bylo získati spolehlivá data o geologické posici pestré serie. Byl řešen současně s prvým úkolem, stejnými sondami. Bylo zjištěno, že pozdišovské štěrky leží diskordantně a transgresivně na různě starém neogenním podkladu (s výjimkou pestré serie). Poněvadž bylo prokázáno, že pozdišovské štěrky a pestrá serie jsou dvě lithologicky odlišné facie stejného stáří, je tím současně prokázán diskordantní a transgresivní styk svrchnopannonské pestré serie s podložím. Dalším důkazem toho jsou přítomné basální štěrky nebo píska, které byly systematicky převrtány.

Uvedeným závěrem je však na našem území současně definováno časové rozpětí stratigrafického hiátu od konce svrchního sarmatu do počátku svrchního pannona.

Třetím úkolem průzkumných prací u Pozdišovců bylo získat informace o věku poslední nejmladší andesitové eruptivní fáze (pyroxenické andesity III. generace). Z posledních studií vyplývá, že nejvyšší hřebeny Prešovsko-Slánských hor a Vihorlatu vznikly až v pannonu, po uložení košických a pozdišovských štěrků (J. Senec 1954, J. Senec, J. Šagrovsý 1957). B. Leko (1957), klade již poslední andesitovou erupci do nejmladšího pliocénu. Všechny tyto závěry jsou opřeny o zjištění nepřítomnosti pyroxen-andesitových valounů v pozdišovských štěrcích.

Novým průzkumem byly získány další důkazy tohoto posledního, správného pojetí. Na žádné, z velkého množství zde odvrstaných sond, nebyl až do hloubky 280 m nalezen ani jeden valoun pyroxenického andesitu, ani andesitu vůbec. Stejná zjištění byla učiněna na ploše rozsáhlých umělých odkryvech, nových velkých pozemních staveb. Přijímáme proto tento názor, t. j. že nejmladší andesitové erupce, které daly vznik hlavním hřebenům Prešovsko-Slánských hor a Vihorlatu jsou mlaďí, než košická a pozdišovská štěrková formace.

Našim příspěvkem k řešení problému je průkazné podložení nové stratigrafické lokace nejmladších erupcí pyroxenických andesitů. Je opřena o vyjasněnou stratigrafii nejmladších členů neogenní výplně pánve.

Poněvadž pestrá serie je svrchnopannonského věku a pozdišovské štěrky jsou jejím ekvivalentem, vyvřely pyroxenické andesity III. eruptivní generace ve vyšším pliocénu, pravděpodobně ve středním. Toto pojetí je v dobré shodě s poměry na Zakarpatské Ukrajině, odkud jsou prokázané nejmladší andesitové erupce, ležící na spodnopliocenních kongeriových vrstvách (J. A. Korobkov 1951, O. S. Vjatlov 1957).

Velmi zajímavou je otázka vzniku a ukládání štěrkových formací. Dosud byly vykládány, jako uloženiny velkých pannonských říčních toků, které ústily do pannonských jezer (B. Leko 1957 a j.). Tento výklad není však dostačující ani vystihující. Jeho slabou stránkou je nemožnost vysvětlení velkého

rozšíření štěrků v pánvi a jejich až 300 m velká mocnost. Dalším závažným nedostatkem je známá zkušenost, že při ústí velkých řek nedochází k ukládání hrubého materiálu, nýbrž materiálu jemného, t. j. bahna, nejvýše jemného písku. Unášecí síla zvolna tekoucí vody v ústí je malá. J. Seneš, J. Švagrovský (1957), považují tyto štěrky za říční sedimenty při okraji. Hlouběji v pánvi se uložily jako mělkovodní deltové jezerní uloženiny. Ani toto vysvětlení vzniku není vystihující.

Pozoruhodný výklad původu košických štěrků podává J. Švagrovský (1953). „S ohledem na to, že košické štěrky se skládají výlučně z velmi tvrdých hornin, je možno usuzovat, že to jsou reliktní štěrky, které během geologických dob tvořily několikrát slepence. Ty byly rozrušené a znova přemístěné.“ Není vyloučeno, že v Košické kotlině mohly se tyto podmínky vzniku uplatnit.

Naše nová zjištění dávají odpověď i na otázku původu bezandesitových štěrků. Ukázali jsme již, že pozdišovské a košické štěrky jsou svrchnopannonského stáří. Z naší pánve i jiných karpatských pánví je známo, že svrchní pannon, t. j. pestrá serie, je výrazně, místy až silně transgresivní. Je tedy nutno na štěrkové formace košické a pozdišovské pohlížet jako na produkt svrchnopannonské transgresie. Je ovšem nesporné, což bylo vrtním průzkumem též prokázáno, že ve vyšším profilu štěrky facielně zastupují pelitické sedimenty uvnitř pánve.

Vznik a původ štěrkových formací dobře osvětlíme rekonstrukcí vývojových změn pánve v mladších údobích. Po uložení sarmatu dochází k mimořádným paleogeografickým změnám ve vývoji pannonské pánve, které postihují její velkou část. Tato rozsáhlá pánev, která z největší části dosud byla souší, počíná na počátku spodního pannonu intensivně poklesávat. Poklesné pohyby však zasahují do severního výběžku pánve jen jako mírné vertikální pohyby, takže území zůstává relativně vysoko. Spodnopannonská transgrese dosahuje proto jen okrajů našeho pánevního výběžku, který je v té době souší. Kromě Turňanské kotliny (?) není pobřežní čára spodnopannonské záplavy dosud známa. V JV směru byly popsány kongeriové vrstvy ze Zakarpatské Ukrajiny (J. A. Kotrobek 1951, O. S. Vjatlov 1957).

Vznik značného relativního výškového rozdílu mezi Velkou pannonskou pánví a našim územím, byl citelným zásahem do vodního režimu spodnopannonských říčních toků, které přitékaly do jezera od severu. Na severu došlo pravděpodobně současně k pozitivním vertikálním pohybům flyšového pásma, které stoupalo jako protiváha klesající pannonské pánve. Pokles spodní erosivní base, a snad i zvednutí svrchní erosivní base toků, se projevilo ihned obnovením velmi intenzivní eroze, produkci velkého množství štěrku a jeho ukládáním na středním a dolním toku.

Teprve počátkem svrchního pannonu, který je v karpatských pánvích v důsledku intensivních poklesných pohybů dalekosáhle transgresivní, je též oblast severního výběžku pánve tektonicky postižena. Do klesajícího zálivu proniká sladko-

vodní svrchnopannonská záplava hluboko k severu, až do oblasti Rakovec, Lesné, Hrušov a do Podvihorlatské pánve. V košické kotlině dosáhlo jezero až oblasti SV Košic. Hlavním činitelem při této transgresi byly poklesné pohyby ker podle severojižních zlomů.

Postupující svrchnopannonská záplava resedimentovala říční štěrky uložené v době suchozemské periody spodnopannonské. Ve velkých mocnostech se tyto přemístěné štěrky navršily při okrajích pánve, kde představují pobřežní hrubozrnou facii celého pelitického souvrství uvnitř pánve. Basální hrubozrnný štěrk nebo písek je vyvinut hluboko do pánve.

Přirozeně, že není při okraji pánve vyloučen ani lokální vliv toků řek. Z výše popsaných důvodů však lze jejich podíl při sedimentaci štěrkového souvrství spatřovat spíše v lokálně uložených čočkách a vrstvách jílů při okraji, které sedimentovaly jako jemná bahna při ústí a v klidnějších údobích. Důležitou funkci při formování význačného štěrkového pásmu severojižního směru mezi Ondavou a Laborcem mohly mít vodní proudy řek v deltách.

Není vyloučeno, že v oblasti Košické kotliny při svrchnopannonské resedimentaci štěrků byly dodavatelem valounového materiálu skutečně starší než spodnopannonské říční štěrky, jak se domnívá J. Švagrovský (1953). Podporou pro to by bylo zjištění diferenciace valounového složení košických štěrků, což u pozdišovských štěrků nepozorujeme.

Podporou naší koncepce původu a vzniku košických a pozdišovských štěrků mohou být i obdobné poměry ve vnitroalpské pánvi vídeňské (T. Buday, I. Cicha 1956). Zde ve vyšším helvetu, na počátku III. pásmu, dochází k náhlému rozšíření svrchnohelvetské transgrese a k ukládání mohutných hrubozrnných štěrků a slepenců jablonických, v severovýchodní zálivové části pánve u Jablonice. Jsou to rovněž transgresi přemístěné štěrky starších štěrkových kuželů, které se uložily ve II. pásmu. Uvnitř pánve odpovídají těmto štěrkům ekvivalentní sedimenty pelitické.

Teprve po uložení svrchnopannonských pozdišovských štěrků při okrajích a pestré serie uvnitř pánve, ožívá ve středním nebo svrchním pliocénu znova a naposled andesitový vulkanismus. Jsou to nejmohutnější suchozemské erupce, které utvářely hlavní a nejvyšší hřebeny Prešovsko-Slánských hor a Vihorlatu. Vyvřely pyroxenicko-amfibolické andesity III. andesitové generace. Tyto nejmladší lávy a vulkanické sedimenty, byly bohatým zdrojem valounového materiálu pleistocenních a kvarterních říčních štěrků.

Hodonín, 6. června 1958.

Čs. naftové doly n. p.

SEZNAM UŽITÉ LITERATURY

- [1.] Andrusov D., 1948: Soľné ložisko východného Slovenska. Almanach východ. Slovenska 1948—1949. Košice. — [2.] Buday T. — Cicha J., 1956: Nové názory na stratigrafii spodného a stredného miocénu Dolnomoravského úvalu a Pováží. Geologické práce, Zc. 43. Bratislava. — [2a.] T. Buday, 1958: Prehľad vývoje neogénu západných Karpát (v tisku). — [13.] Čech F., 1956: Zpráva o geologických výzkumech v oblasti mezi Strážským a Bánovcami n/Ond. Rukopisná zpráva. Archiv Geol. úst. D. Štúra, Bratislava. — [4.] Gašparik J., 1954: Predbežná zpráva o geologickom mapovaní východného svahu Prešovských hor. Geol. práce, Zprávy 1. Bratislava. — [5.] 1954: Stratigrafické studium oblasti severne od Drahova. Geol. sborník V. Bratislava. — [6.] Homola Vl., 1954: Geologie východoslovenské neogenné pánve. Rukopisná zpráva. Archiv. Úst. pro naft. výzk. Brno. — [7.] Ilavský J., 1955: Markasitové ložisko v neogéne východného Slovenska pri Tepličanoch. Geol. práce, Geotechnika 9. Bratislava. — [8.] Janáček J., 1957: Předběžná zpráva o nových stratigrafických poznatcích ve svrchním pannonu vnitroalpské pánve vídeňské. Geol. práce, Zprávy 10. Bratislava. — [9.] 1958: Předběžná zpráva o nových výsledcích stratigrafického výzkumu ve východoslovenském neogénu. Věstník ÚÚG, roč. XXXIII, 1958. — [10.] 1958: Poznámky k tektonice a paleogeografií východoslovenského neogénu. Věstník ÚÚG, roč. XXXIII, 1958. — [11.] 1958: Nové ložisko soli na východním Slovensku. Geol. úst. D. Štúra, Bratislava (v tisku). — [12.] 1958: Zpráva o výsledcích geologického výzkumu neogénu na východním Slovensku se zretelem k problémům průzkumu živic. Rukopisná zpráva. Archiv Čs. naft. dolu, archiv ÚÚG. — [13.] 1958: Studie o stratigrafii, tektonice a paleogeografií neogénu východného Slovenska (v tisku). — [14.] Kantorová V. — Kantor J., 1955: Príspevok k poznaniu markasitového ložiska pri Tepličanoch severne od Košíc. Geol. sborník VI. Bratislava. — [15.] Korobkov J. A., 1951: Molluski strednego miocena Marmorošskej vpadiny Zakarpattia. Trudy Vses. neft. nauč., isled. geol. razv. instituta. Leningrad—Moskva 1951. — [16.] Leško B., 1957: Geológia a geomorfológia územia severne od Prešova. Geol. práce, Zoš. 47. Bratislava. — [17.] Mišík M., 1955: Štrkové súvrstvia košickej kotliny. Geolog. práce. Zprávy 3. Bratislava. — [18.] Reich L., 1952: Observations géologique dans la région des collines de Cserhát et dans le massif de Szendrő. Jahresber. d. ung. geol. Anst. über d. Jahr 1949. Budapest. — [19.] Senec J., 1954: Geologická stavba územia medzi Hanušovcami a Juskovou Volou na východnom úpäti Prešovsko-tokajského pohoria. Geol. sborník V. Bratislava. — [20.] 1955: Výsledky geologického výskumu na území medzi Kokošovcami a Rankovcami na západnom úpäti Prešovsko-tokajského pohoria. Geol. práce. Zprávy 4. Bratislava. — [21.] 1955: Poznámky ku geotektonickému a paleogeografickému vývoju neogénu východného Slovenska. Geol. práce, Zprávy 6. Bratislava. — [22.] Senec J. — Švagrovský J., 1957: Neogén východného Slovenska. Geol. práce, zoš. 46. Bratislava. — [23.] Švagrovský J., 1950: Štrková formácia pri Varhaňovciach. Geol. sborník I. Bratislava. — [24.] 1953: Sladkovodný neogén na úpäti vulkanického masívu Drahov. Geol. sbor. VI. Bratislava. — [25.] 1954: Geologické pomery východného úpäťia Prešovsko-tokajských hôr medzi obcami Kalša a Michalany. Geol. sbor. V. Bratislava. — [26.] 1955: Geologické pomery juhovýchodnej časti Košickej kotliny. Geol. práce. Zprávy 4. Bratislava. — [27.] 1955: Neogén širokého okolia Košíc. Geol. práce. Zprávy 9. Bratislava. — [28.] Vjalov O. S., 1957: Neogenovye otloženia zapadnych oblastej USSR (obščij obzor) Geol. práce. Zoš. 46. Bratislava.

**ZUR FRAGE DES ALTERS DER POZDIŠOVCER SCHOTTERFORMATION
IN DER THEISTIEFEBENE IN DER OSTSLOWAKEI**

Umfangreiche und mächtige Schotterablagerungen in der nördlichen Theistiefelbene, wie auch im Kaschauer Talbecken, ihre Lagerung, Entstehung und bemerkenswerte Geröllzusammensetzung veranlassten besonders in der letzten Zeit eine Reihe von Forschern zum eingehenden Studium. Ansichten über das Alter der jüngsten Schotterformationen des ostslowakischen Neogens der sog. Kaschauer und Pozdišovcer Schotter waren verschieden. Später aber einigten sie sich meistens über den pliozänen Ursprung der Schotter, jedoch ohne nähere Eingliederung (D. Andrusov 1948, J. Švagrovský 1950, 1953, 1955, J. Senec 1955, J. Gasparík 1954, M. Mišík 1955, u. a.). L. Reich (1952) und Vl. Homola (1954) halten diese Schotter für oberpliozäne.

Im Jahre 1956 spricht J. Švagrovský vom pannonischen Alter Pozdišovcer Schotterformation. Diese Ansicht wurde in letzter Zeit vorherrschend (J. Senec, J. Švagrovský 1957). Neuestens setzt B. Leško (1957) voraus, dass die jüngste Andesitlava erst im jüngsten Pliozän an die Oberfläche emportrat, weil die pyroxenischen Andesitgerölle aus der jüngsten Eruptionsperiode in den Schottern fehlen. Einen neuen Beweis dieser Auffassung liefern die Resultate der letzten Forschungsarbeiten aus dem Jahre 1957, die zur Lösung der Frage des Alters, Ursprungs und der Entstehung der Pozdišovcer Schotter geführt haben.

Bei den systematisch durchgeführten Flachbohrungsuntersuchungen bei Pozdišovce in südlicher Richtung wurde festgestellt, dass Schotter, die bei Pozdišovce eine Mächtigkeit zwischen 60 und 100 m besitzen, nehmen in südlicher Richtung an Mächtigkeit zu, bis über 280 m, und fallen almählich ins Beckeninnere ein. In dem Schotter, der in dieser Richtung immer feinkörniger wird, legen sich gleichzeitig bunte Tonschichten ein, die an Mächtigkeit zunehmen, bis sie ganz vorherrschend werden. Der basale Schotter oder Sand ist regelmässig entwickelt.

Auf Grund dieser Feststellung können wir die Pozdišovcer Schotter, als ein Äquivalent der bunten Serie, für oberpannonische Sedimente des jüngsten, unteren Pliozäns betrachten. Die stratigraphische Identität der Schotterformation und der bunten Serie, löst anderseits auch die geologische Lage der bunten Serie. Die Pozdišovcer Schotter liegen diskordant und transgressiv auf der neogenen Schichtenfolge verschiedenen Alters. Daraus ergibt sich, dass auch die oberpannonische bunte Serie auf ihrer Grundlage diskordant und transgressiv liegt. Weil das Liegende der bunte Serie obersarmatischen Alters ist, ist damit auf unserem Aufnahmgebiete der nördlichen Theisebene ein stratigraphischer Hiatus im unteren Pannon definiert.

Neue Untersuchungen liefern uns auch wertvolle Informationen über die letzte, jüngste Andesitphase (pyroxenische Andesite der III. Generation). An keiner der zahlreichen Bohrsonden wurde bis zur Tiefe von 280 m kein einziges Geröll von pyroxenischen Andesiten gefunden. Dies wurde mit Sicherheit durch Geröllanalyse einer ganzen Reihe von Sonden und auch aus neuen grossen künstlichen Aufschlüssen festgestellt. Deshalb kann die Ansicht angenommen werden, dass die jüngsten Andesiteruptionen der Prešov-Slaná-Gebirge und des Vihorlats jünger sind, als die Kaschauer und Pozdišovcer Schotterformationen. Da es zur Sedimentation der bunten Serie und der Schotter im oberen Pannon kam, d. h. im jüngsten Unter-Pliozän, entstanden die pyroxenischen Andesite der III. Generation im mittleren oder oberen Pliozän. Diese Auffassung ist in Übereinstimmung mit den Verhältnissen in der Karpathen-Ukraine, wo die jüngsten Andesite auf den Kongerienschichten lagern (J. A. Korobkov 1951, O. S. Vjalov 1957).

Sehr interessant erscheint die Frage der Entstehung und Ablagerung der Schotterformationen. Bis jetzt wurden sie als Sedimente aus Flussmündungen betrachtet, was weder richtig, noch zutreffend war. An den Flussmündungen ist nähmlich die Transportkraft des Wassers sehr gering und deshalb wird da nur Schlamm, höchstens feiner Sand abgelagert.

Die erstangeführte Auffassung wird durch grosse Verbreitung des Schotters und durch seine Mächtigkeit bis zu 300 m geschwächt. Aus unseren Feststellungen und Schlussfolgerungen geht hervor, dass die Schotterformationen ein Produkt und Beweis der oberpannonischen Transgression anzusehen sind.

Nach der Beendigung des Sarmats kam es in der Entwicklung des pannonischen Beckens zu aussergewöhnlichen paläogeographischen Veränderungen, die dessen grossen Teil ergriffen haben. Der Beckengrund begann intensiv zu sinken, aber die Rückgangsbewegungen berührten unser Gebiet nicht; es blieb als Festland. Die unterpannonische Transgression reichte nur bis zum Turňa-Tal und bis zur Grenze der Karpaten-Ukraine.

Bildung einer beträchtlichen, relativ hohen Stuffendifferenz zwischen dem Grossen Pannonischen Becken und unserem Aufnahmegebiete, war auch ein fühlbares Eingreifen ins Wassertystem der unterpannonischen Flüsse. Im Norden kam es wahrscheinlich gleichzeitig zu einer positiven vertikalen Bewegung der Flyschzone, die sich als Gegengewicht zu dem herabsinkenden pannonischen Becken erhob. Die Senkung der unteren erosiven Basis beim gleichzeitigen Aufsteigen der oberen erosiven Basis der Flüsse hatte gleichzeitig eine intensive Erosion, Schotterproduktion und Akkumulation zum Ausdruck gebracht.

Erst am Anfang des oberen Pannons, das in den Karpathenbecken stark und weitreichend transgressiv war, wurde auch das Gebiet des nördlichen Ausliefers des pannonischen Beckens tektonisch ergriffen. Die oberpannonische Überschwemmung durchdrang weit nach Norden, bis ins Gebiet nord-westlich von Kaschau, Lesná und Hrušov und resedimentierte die Flussschotter, die zur Zeit der festländischen unterpannonischen Periode abgelagert wurden.

Nach der Ablagerung der oberpannonischen Schotter im Mittel- oder Ober-Pliozän belebte wieder und zum letzten Male der Andesitvulkanismus. Es waren dies die umfangreichsten festländischen Eruptionen der dunklen pyroxenischen Andesite, die die Hauptbergkämme der Prešov—Slaná-Gebirge und des Vihorlats bilden.

Übersetzt von inž. M. Rumann.

Tschsl. Erdölbetriebe, VEB,
Hodonín

JOSEF JANÁČEK

POZNÁMKY K HYDROGEOLOGII HLUBINNÝCH VOD NAŠICH MLADÝCH PÁNVÍ*)

Předloženo 30. dubna 1958

(*Německé resumé*)

Úvod

Teprve v posledních několika létech je u nás problematika hlubinných, zvláště živících vod, chápána tak, jak si toho její důležitost zaslhuje. Její studium, s hlediska obecných i speciálních jevů geochemických, bylo postaveno na vědecký základ v r. 1952. Vypracováním klasifikace našich hlubinných vod, poznáním a stanovením obecných zákonitostí a pravidel jejich vzniku a metamorfosy (J. Janák, 1952, 1955), jakož i v poslední době, objasněním podstaty geochemických metamorfních procesů v sedimentech (M. Michalíček 1958), dosáhli jsme v tomto oboru žádoucí a nutné úrovně.

Přínos našich nových poznatků na tomto úseku je cenný. Upřesňuje, doplňuje a rozšiřuje podstatně nejen naše dosavadní poznatky teoretické, nýbrž přináší i cenné zisky v oblasti aplikované geologie a v neposlední řadě i v přidružené provozní vrtní technice.

Neméně důležitým úsekem problematiky hlubinných vod, až do nedávné doby neprávem značně opomíjeným, jsou vlastní otázky hydrologické. Týkají se hlavně původu hlubinných vod, původu jejich minerálního obsahu, režimu vod, jejich pohybu, jejich hlubinné situace, mechanických podmínek přeměny a j. Ne však na všechny tyto otázky můžeme dát dnes uspokojivou odpověď. Takovou připomínkou končí ostatně většina odborných studií o tomto problému. V takovém světle přistupujeme i k našemu tématu.

Nejjazimavější a nejcennější poznatky jsme dosáhli v oblasti Dolnomorava vského úvalu na Moravě a na Slovensku, a to díky široce rozvinutému hlubinnému vrtání na živice. Již méně úplná a neúplná zjištění máme z ostatních pánví karpatských.

*) Obsah přednášky v Čs. společnosti pro mineralogii a geologii v Praze a Bratislavě, v únoru a březnu 1958.

Příspěvky, které se tu předkládají byly získány z největší části při průzkumu vnitroalpské pánve vídeňské. Zobrazují tedy většinou hydrogeologické poměry hlubinných vod této mladé pánve. Kromě toho jsou připojeny i důležitější poměry a vztahy obecnější povahy, pokud se našeho tematu dotýkají.

Hlubinné vody mladých karpatských pánví, jejich vznik a proměna

V mladých karpatských pánvích můžeme hlubinné vody rozčleniti na normální vody vrstevní (pravé spodní vody), které mohou být sladké nebo mineralisované a vody živičné. Všechny přítomné vody mohou být teoreticky fosilní nebo přeměněné. Fosilní vody mohly být původem slané, bracké i sladké. Je však třeba zdůraznit, že nedotčené fosilní vody neexistují. I když taková voda je stagnující a tvoří dokonale isolovanou vodní nádrž, přece jen dochází během geologických dob k určitým změnám. Mluvíme-li tedy o vodě fosilní, je třeba míti na zřeteli, že tu jde pouze o její větší či menší podíl. Abstrahuje-li všechny procesy a faktory, které mohou změnu ve složení vody způsobiti, zůstává zde ta skutečnost, že z nádrže fosilní vody unikají na př. elektrolyty isolační stěnou pelitu jako polopropustnou blanou. Hlubinná voda označená jako fosilní, nese tedy pouze základní rysy původní uzavřené vody, ale ani ta nebyla ušetřena metamorfosy. Její „fosilní charakter“ se spíše vztahuje na původní, neměnné, t. j. fosilní uložení, bez zřetelných i zastřených pohybových změn.

Přeměněné hlubinné vody, mohou se vyskytnouti jako běžné vody minerální. Hlavně sem však patří živičné vody ložiskové. Svůj minerální obsah odvozuje z organické substance, která jako kapalná fáse migrovala do nádržných hornin, dala vzniknouti živici a byla podstatou mineralisace hlubinné vody. Mineralisace metamorfovaných vod a jejich chemické složení jsou určeny třemi hlavními faktory:

mineralisací a složením původní vody,
obsahem solí a iontů v okolí (v hornině) a
geologickou pozicí zvodnělé vrstvy.

V současné době má hlavní úlohu první faktor, v geologické minulosti faktor druhý. Třetí faktor má význam v minulosti i přítomnosti. V minulosti je jim ovlivněn vznik, stav a druh difusní rovnováhy; v přítomnosti ovlivňuje více či méně zřetelný pohyb vody ve vrstvě, vyvolaný nejrůznějšími zásahy.

Podle biologického působení rozlišujeme v pánvích vody sladké, s koncentrací minerálních roztoků do 1 ‰, bracké s koncentrací solí v rozmezí 1 ‰ – 3,5 ‰ a vody slané, s koncentrací roztoku solí od 3,5 ‰ výše.

Velmi důležitou je otázka možnosti geologické dokumentace charakteru sedimentačního vodního prostředí a původu, změn a uložení hlubinných vod. Tyto možnosti byly nalezeny. Jsou to předně kriteria všeobecně stratigrafická

a paleogeografická, dále kriteria, která dává srovnávací paleontologie a paleoekologie, kriteria hydrogeochemická a konečně studium geochemických procesů sedimentace.

Jestliže výsledkem šetření všech těchto disciplín bylo souhlasné tvrzení o původu sedimentu a jeho vody, pak byly závěry jednoznačné. Jestliže však v některé z nich se jeví nesouhlas, pak zde byly druhotné změny, které zastřely původní vznik a vývoj sedimentu a hlubinné vody.

Vznik hlubinné vody byl v prvém stadiu podmíněn jejím uzavřením při sedimentaci vrstvy. Ve vnitroalpské pánvi vídeňské, ve které velký až hlavní význam měla synsedimentární poklesová tektonika, došlo v druhém stadiu k poklesávání zvodnělé vrstvy do značných hloubek, často až několik tisíc metrů pod původní polohu, ve které se uložila. Při tom mohl nastati dvojí stav konečné tektonické posice zvodnělé vrstvy:

Vrstva byla s hlediska geologického dokonale uzavřena, t. j. nalézá se v ploše různě velké, avšak vodotěsnými poklesnými dislokacemi úplně ohrazené vkleslé nebo pokleslé kře. Pod pojmem těsnosti poklesného zlomu rozumíme zlom o takové hloubce poklesu, že nastalo dostatečné přerušení souvislosti porésní vrstvy v pokleslé a na vysoké kře. Tím byla zvodnělá vrstva isolována. Při tomto prvém případě mohou existovat v pánvi dva odlišné stavby:

1. Vkleslá nebo pokleslá kra se nalézá v centrální nejhlubší partii pánve. Pouze v tomto jediném případě a za předpokladu tektonického klidu během dalšího vývoje, mohla si hlubinná voda podržeti svůj původní charakter, t. j. mohlo dojít k její „fossilizaci“. Jedině centrální, hluboké a nejhlubší strukturní části pánve se vyznačují stagnančními vývojovými podmínkami. Je ovšem jasné, že toto nejsou jediné podmínky, aby si voda zachovala rysy původní fosilní vody. Velmi důležitým činitelem může tu být chemické složení matečného sedimentu, jeho podloží i nadloží. Příkladem u nás mohou být sádrovcové vody oblasti břeclavsko-lanžhotské.

2. Pokleslá vrstva byla sice dokonale uzavřena, avšak poloha pokleslé kry v pánvi je relativně vyšší. V tomto případě se nemohl první stav a složení vody v žádném případě zachovat, neboť se zde uplatnil hydraulický pohybový faktor, působící zpomalené proudění vody ve špatně propustných sedimentech, ve směru do nižších strukturních poloh. Proběhly zde procesy metamorfózy vody v prostředí s nepatrnnou hodnotou hydraulického faktoru.

Jestliže porésní zvodnělá vrstva nebyla s geologického hlediska dokonale uzavřena, tu pak nezáleží na tom, zdali vrstva se nalézá v nejhlubší části pánve, kde jinak jsou podmínky stagnanční, nebo v partiích relativně vyšších. V každém případě zde nastala rychlá změna původního typu vody, za výdatné spoluúčinnosti zvýšeného hydraulického faktoru. Ten mohl být v konečném stadiu vystupňován do té míry, že nastala úplná výměna vody za vodu jiného typu.

Hlubinné vody mineralisované, t. j. přeměněné, representují v pánvi nejhojněji zastoupenou složku hlubinných vod. Vycházejme z předpokladu existence prvních vod různého druhu, proti čemuž není námitek. V geologické historii pánve jsou dobře známé a snadno prokazatelné, nejen mořské a bracké, ale i plošně rozsáhlé sedimentační cykly sladkovodní. Existují pak tyto jednoduché původní soustavy vody a horniny:

slaná mořská voda — sedimenty ze slané vody,

bracká voda — sedimenty z bracké vody a

sladká voda — sedimenty ze sladké vody.

Metamorfni pochody, kterým byla voda i hornina vystavena, se počaly uplatňovati ihned po uložení vrstvy a isolaci její vody. Je to chemické působení vody na horninu a opačně, v prvním stadiu klidu. V dalším vývoji se staly pak intensivnější tou měrou, jakou se uplatnily příslušní činitelé metamorfosu podporující a ovlivňující. Jsou to v prvé řadě činitelé pohybové, a to hydraulický pohyb vody a pohyb vody působený vytláčením kapaliny z horniny.

Hydraulický pohyb vody je přímo odvislý od hydraulického gradientu, t. j. poměru množství přítékající vody, jejího tlaku a dále permeabilitě vrstvy. Uplatnění se prvého a druhého faktoru bylo v přímé souvislosti s tektonickými pohyby. Třetí faktor je závislý na litologickém složení vrstvy. Hydraulický pohyb vody je zde tedy hlavně podmíněn a r t e z s k o u z á k o n i t o s t í, t. j. vody se pohybují z vyšších poloh do nižších. Podle podmínek a stavu mohl nastati intensivní pohyb vody v dobře propustné vrstvě, nebo pomalý pohyb vody ve vrstvě špatně propustné.

Pohyb vody, působený vytláčením kapaliny z horniny gravitačním a tektonickým stláčením sedimentu je sice velmi pomalým, avšak v okamžiku, kdy nastalo jisté tektonické uvolnění, projevil se v plné intenzitě a mohl nabýti rozhodujícího vlivu při vytvoření se konečného stavu. Kromě tektonického uvolnění zde měla zajisté důležitou roli i ta skutečnost, že kromě vrstev vodou nasycených existují, resp. vznikají sedimenty vodou méně nasycené nebo i suché. Vznikají tím způsobem, že přítomná voda je spotřebována k výstavbě horniny při diagenesi. Do takových míst směruje pak pronikání vody pory horniny.

Dalším faktorem je kapilární tlak vody. Způsobuje rovněž pohyb vody a metamorfosu vody podporuje. Je však omezen výlučně na sedimenty, které leží nad hladinou nasycnosti, kde působí vzlínavost.

Tlak vody působený energií rozprávajícího se plynu je zjev v pánvi velmi běžný. Pravidelně jde o plyn živící, který je přítomen buď jako oddělená plynná fáze nad kapalinou, nebo je v kapalině pod tlakem rozpuštěn.

Konečně zde přichází v úvahu gravitační tlak, podmíněný specifickým rozdílem vah vody, nafty a plynu a tlak vody vyvolaný změnami diagenetickými.

Působením těchto činitelů došlo v pánvi k vytvoření již složitých soustav voda — hornina, které můžeme rozdělit takto:

Sediment ze slané vody — slaná voda, nikoli původní;

sediment ze slané vody — bracká voda;

sediment ze slané vody — sladká voda.

Sediment bracký — slaná voda,

sediment bracký — bracká voda, nikoli původní,

sédiment bracký — sladká voda.

Sladkovodní sediment — slaná voda,

sladkovodní sediment — bracká voda,

sladkovodní sediment — sladká voda, nikoli původní.

V těchto soustavách dochází současně k vlastním metamorfním pochodům, při nichž nastává přeměna chemického složení vody i horniny. Každá z těchto soustav je charakterizována specifickým typem vody, vyjádřeným salinitou nebo alkalitou a určitým stupněm mineralisace.

Je snadno pochopitelné, že metamorfní procesy nějsou tu nikterak přesně od sebe difEROvány, nýbrž probíhají spojitě, případně se prolínají. Proto se nikdy nesetkáváme s přesně definovanými konečnými stavy, jako ostatně všude v přírodě.

Chemické metamorfní pochody jsou ovlivněny druhem geologické formace, což znamená jinými slovy, chemickým složením horniny, dále chemickým složením vody, tektonikou oblasti, která podmínuje pohyb vody, teplotou vody, množstvím stabilně přítékající vody a její průtokovou rychlosť.

Jak vyplývá z našeho přehledu, mohla metamorfosa vody proběhnouti dvěma směry, a to od vod málo mineralisovaných k silně mineralisovaným, při čemž iontovým dodavatelem je sediment nebo od silně mineralisovaných k vodám se slabou mineralisací. V tomto případě hornina obohacuje svůj minerální obsah na úkor vody. Uvedený poznatek je jedním ze základních principů hydrogeochemie hlubinných vod.

V prvním případě mohla voda druhotně nabýt charakteru až mořských vod. Krajinm produktem takové přeměny je vznik solanek, t. j. vysoce koncentrovaných hlubinných vod z chemických sedimentů a slaných formací. Tohoto případu ve vnitroalpské pánvi vídeňské není. Jsou však známé z oblasti východo-slovenského neogénu (J. Janáček 1958).

Poznáním uvedených pravidel hydrogeochemie vod lze se u většiny hlubinných vrstevních a minerálních vod dopátrati o původu, pohybu a přeměně přítomných minerálů. V praxi zvláště důležitým bývá rozhodnutí, zda minerální obsah hlubinné vody má původ z horniny a v jakém podílu, nebo zdali naopak způsobuje druhotné iontové obohacení horniny.

Uvedené faktory, které metamorfosu podporují nebo ovlivnily, mají do jisté míry evoluční charakter, a v současné době probíhají. Existovaly však též

v geologické historii změny, mající ráz revoluční. Způsobily je různí činitelé na př. rozsáhlé orogenetické pohyby, ale i epeirogenetické fluktuace, zahrnující rozsáhlé oblasti zemské kůry, regionálně založená vulkanická činnost, prudké a dalekosáhlé změny klimatické a atmosferické a j. (J. J. Chobotarev, 1955).

Zvláštním případem hlubinných vod v pánevích jsou ložiskové vody živící a vody živičného typu v souvrství vůbec. Jsou to vody definované původně jako „u zavřené vody při sedimentaci vrstvy“ nebo jako „pohřbené vody s vrstvami na původním místě“. Byly též nazývány „pohřbené solanký“.

Je možné, že malé množství takových fosilních ložiskových vod existuje, a to ve spojení s ložisky živic na původním, primárním místě svého vzniku. Druhou podmínkou takového výskytu je stagnující prostředí, tedy velké hloubky centrální pánve. V případě vnitroalpské pánve vídeňské by přicházely v úvahu hlavně vody flyšové. Ve východoslovenské oligocenní pánvi je jejich existence pravděpodobnější.

Jakmile však takové vody byly zkoumány, ukázalo se, že většina těchto „fosilních ložiskových vod“ je velmi podstatně zasažena četnými chemickými a fyzikálně-chemickými procesy jako je: absorbce, evaporace, ředění, výměna basí, hydratace, redukce a j., takže tyto vody vůbec nerepresentují přesně původní uložené vody.

Tak jako v jiných oblastech, i u nás se poznalo, že většinou všechna naše ložiska živic nejsou na svém původním místě. Zjistilo se, že vody stejného typu a velmi často vody stejného složení, jaké by měla mít voda fosilní, přicházejí spolu s živicí na druhotném ložisku. Vysvětlení pro původ takové vody je dnes dvojí:

Přijetím výkladu, že nafta migrovala jako mikroskopické kapénky a jemné blanky ve své konečné formě, musíme nutně předpokládat současnou migraci ložiskové vody.

Za předpokladu, že nafta migrovala horninami v nehotovém stavu a k jejímu konečnému „vyzrání“ došlo až v nádržné hornině, je se třeba přikloniti k názoru, že minerální látky tu druhotně přešly do vodního roztoku.

Minerální obsah ložiskové vody druhotného ložiska živice je tedy původem z odumřelých těl mořských živočichů. Za vhodných podmínek může se ložisková voda svým chemickým složením značně přiblížit složení vody mořské. Může však mít mineralizaci i vyšší.

Pohyb vody v pánevích

Pohyb hlubinné vody je v pánevích způsobován několika faktory, které jak bylo v předu uvedeno, přímo podmiňují nebo ovlivňují též proměnu hlubinné vody.

Nejdůležitějším pohybovým činitelem je hydrostatický spád hlubin-

ných vod, který se řídí všeobecnou zákonitostí artézských vod. Předpokladem jeho vzniku jsou tektonické pohyby vrstvy. Platí bez výhrady u vrstev dobře propustných. Způsobuje pohyb pravých spodních vod z míst nejvýše položených do míst nejhoubších a odtud případně opět do míst výše položených, avšak polohou vždy nižších, než vykazují místa výchozí. Jeho efektivní hodnota v horninách méně propustných je z hydrologického hlediska bezvýznamnou.

Gravitační a tektonické stlačování sedimentů je velmi významným činitelem, který způsobuje vytláčení vody z vrstev a tím jejich pohyb. V tomto případě se voda pohybuje v různém směru, kde nastane prostorové uvolnění, vzestupný směr nevyjímaje. Nejčastěji dochází k pohybu vody z hlubin pánve k okraji, t. j. z míst vyššího tlaku do místa tlaku nižšího. Je to tedy faktor působící opačně proti směru proudění vody artézské. Gravitační a tektonické tlaky na horninu, které jsou hybnou silou hlubinné vody, dosahují v hlubinách pánve velkých hodnot.

Pohyb působený gravitačním tlakem má dvě stadia. V prvé fázi došlo k vytláčení vody ze sedimentů jílovitých do písčitých. Bahno po své sedimentaci má porositu 40–90 %. Postupným poklesáváním je hornina překrývána stále mocnějším nadložím, stlačuje se, stoupá hustota a klesá porosita. Přítomná voda je vytláčována z pórů. Jsou-li přítomny uhlovodíky jsou vytláčeny rovněž. Tyto procesy vytláčování jsou v subsidenčních pánvích jedním z nejdůležitějších příčin migrace živic.

V druhé fázi se voda stěhuje v porénní vrstvě z centrálních částí k okrajům pánve. Stlačováním a zmenšováním porosity vytláčí se voda z písčitých vrstev. Děj probíhá zvláště tehdy, kdy písčitá vrstva poklesne do značné hloubky. Podporou tohoto efektu je zjev, že i zpevněný sediment ve velkých hloubkách, vlivem tlaku hmoty nadložních vrstev jeví vlastnosti plastických hmot.

Pohyb hlubinné vody působený tektonickými tlaky měl zde zcela obdobné dvě fáze: vytláčování vody z matečné horniny do vrstev porénních a vytláčování vody této vrstvy z partií centrálních do vyšších strukturních poloh.

Vznik tektonických tlaků na vrstvu ve vnitroalpské pánvi vídeňské i v jiných našich mladých subsidenčních pánvích je geneticky spjat se systémem entárními poklesnými pohyby vrstev do značných hloubek. Tyto tektonické tlaky jsou největší v centrálních, nejhoubších kráč. Jejich vznik je podmíněn gravitačními, radiálními pohyby kerných bloků a celků.

V sedimentační pánvi s konstantním plošným vymezením a kernou poklesovou stavbou zapadá vrstva po svém uložení stále do větších hloubek. Děje se tak působením gravitačního radiálního tlaku. Poklesávání vrstev je spojité podle poklesných dislokací synsedimentární povahy. Poněvadž prostor kry i pánve je omezen a vlastní prostor kry je do hloubky stále menší, dochází zde k tektonickému stlačování vrstvy. Vrstva je podrobena nejen radiálnímu tlaku nadložních vrstev, nýbrž i tektonickému stlačování bočnému, sekundárně vyvolanému. Tyto

tlaky se projevují efektivně tak, že se vrstva počíná do hloubky stále více deformovat. Současně dochází k intensivnímu stlačování materiálu, zmenšování porosity a zvětšování hustoty.

Jestliže takovýto stav nastane v nejhlubší centrální části pánve a zlomy jsou z geologického hlediska těsné, t. j. porézní vrstvy jsou dokonale isolované, mohou nastati extrémní stavy horninových tlaků a anomální tlaky hlubinných vod.

Je vidět, že z hydrologického hlediska je gravitační a tektonické vytlačování vody z hornin velmi důležitým faktorem, protože způsobuje pohyb vody ve všech směrech.

Pohyb hlubinné vody v pánvích je též působen energií z většováním se objemu plynu. V mladých pánvích přichází v úvahu v produktivních terénech naftových a plynových. Předpokládá migraci a nahromadění plynných živic. Pohybová energie vody je v tomto případě přímo úmerná množství nahromaděného plynu. V oblasti hydrologické je tento činitel rovněž důležitým. Může působit pohyb vody prakticky též ve všech směrech.

Výsledná gravitační síla z rozdílu specifických vah vody je rovněž hybnou silou hlubinných vod. Voda specificky těžší má snahu zaujmouti v souvrství polohu nejnižší, voda lehčí naopak polohu nejvyšší. Větší specifická váha vody je způsobena větším minerálním obsahem, menší rozpuštěnými plyny. Rozpuštěné plyny mohou být hořlavé i nehořlavé. Jejich množství přímo ovlivňuje pohyb vody. V případě rozpuštěné pevné fáze působí gravitační síly směrem dolů, je-li rozpuštěna plynná fáze, působí hybná síla ve směru vzhůru. Z hlediska hydrologie hlubinných vod je uvedená hybná síla rovněž velmi významným prvkem, a to zvláště v druhém případě, t. j. při zlehčení vody rozpuštěným plynem.

Podle cementační poučky dochází při diagenetických změnách v sedimentu k postupnému vyplňování pórů horniny tmelem. Přítomná voda nebo její díl je tak vytlačována. Pohyb této vody je pomalý a teoreticky se může dítí ve všech směrech. Při hydrologických hodnoceních je tento faktor zanedbatelný.

Rovněž bez praktického významu je v zlina výpohyb vody, působený kapilárními silami, neboť je velmi omezen, a to jak prostorově, tak co do množství průtoku vody. Pod hranici nasycnosti nebo zvodnění vrstvy se neuplatňuje.

Režimy hlubinných vod*)

jsou v úzkém vztahu s tlakem a pohybem vody. Z nejdůležitějších faktorů, ovlivňujících energii hlubinné vody je třeba uvést hloubku zvodnělého obzoru, tlak

*) Pod pojmem režim hlubinné vody, rozumíme součinnost řady faktorů, ježí výslednicí je dána energie kapaliny, udávaná v měrných jednotkách.

vody, obyčejně hydrostatický, tlak rozvrstveného nebo rozpuštěného plynu, porosity a propustnost horniny, pohyb vody, rychlosť pohybu, teplotu, horninový tlak a j. V našich pánevích byly zjištěny u hlubinných vod režimy gravitační, hydrostatické a artézské. Dále jsou to režimy plynové, které mohou být způsobeny energií rozpínajícího se plynu v oddělené fázi nebo v kapalině rozpuštěného plynu pod tlakem. Samostatně stojí hlubinné vody, jejichž energie se odvozuje od horninových tlaků.

Naproti tomu diagenetické vytlačování vody z pór horniny a síly kapilární jsou při vytváření režimů hlubinných vod prakticky zanedbatelné.

Režim gravitační je nejjednodušším, ale také v pánevích poměrně řidce zastoupený. Energie vody je odrazem váhy vodního sloupce ve zvodnělé vrstvě. Efektivně se projevuje přepadem vody v přírozených hlubokých údolích, které přetínají zvodnělou vrstvu, nebo v umělých hlubokých odkryvech, na př. důlních šachtách, nebo v hlubinných vrtech. Jsou to režimy vod terénů, s přirozeným nebo umělým narušením původního stavu, t. j. režimy degradované. Gravitační energie je vždy menší, než energie vodního obzoru v téže hloubce, jehož režim je hydrostatický.

Režim hydrostatický a artézský je nejběžnějším režimem hlubinných vod v našich pánevích. Hlavní složka energie zde odpovídá váze vodního sloupce od povrchu do hloubky vrstvy. Jestliže zvodnělá vrstva, byť i tektonicky narušená, má zevnou souvislost s povrchem na okraji pánevní, může voda vykazovat pozitivní artézský přetlak a přetok nad úroveň terénu. Je jen třeba, aby byly splněny podmínky poučky o spojitých nádobách.

Není-li zjevné spojitosti zvodnělé vrstvy s povrchem, existuje zde t. zv. skryté spojení. Režim takové hlubinné vody je sice podmíněn hydrostatickou zákonitostí, avšak spojost s povrchem je teoreticky zprostředkována vodou mezi pory částic sedimentu. V tomto případě je tlak kapaliny nebo plynu roven přesné hodnotě hydrostatického tlaku v příslušné hloubce.

Plynové režimy jsou rovněž v mladých pánevích běžné. Jsou obyčejně v genetické souvislosti s akumulacemi kapalných nebo plynových živic. Jsou to však též běžné režimy minerálních vod doprovázených nehořlavými plyny různého původu. Jsou to vlastně režimy složené. Základní složka energie této vody je hydrostatického původu. Druhou složkou je energie rozpínajícího plynu, který je přítomen nad kapalinou v oddělené plynové fázi pod tlakem, nebo je pod tlakem v kapalině rozpuštěn. Plynové režimy mohou být též přetláknové, jsou-li splněny specifické podmínky vývoje a tektoniky písčité vrstvy.

Jak již bylo uvedeno v předu, přetlakový, neplynový tektonický režim hlubinné vody, může být v mladých pánevích způsoben horninovými tlaky. Týká se to hlavně vnitroalpské pánevní vídeňské, kde tyto případy se omezují na centrální hlubiny pánevní, za předpokladu, že jsou splněny zvláštní tektonické

podmínky. I když jsou takové případy poměrně řídké, přece je musíme v pánvi předpokládati, neboť jak bude v dalším vysvětleno, neznáme žádného jiného vysvětlení pro abnormální tlaky hlubinných vod, jaké byly u nás zjištěny.

Některé příklady z vnitroalpské pánve vídeňské

Pro naše téma je tato pánev nejdůležitější, neboť je tu prozatím soustředěno a rozvinuto intensivní vyhledávání živic a mladého pannonského uhlí. Tyto průzkumné práce přinesly bohatý materiál hydrologický.

Je to mladotřetihorní pánev uvnitř alpsko-karpatského horského systému. Její tektonický vývoj je udáván poklesnými dislokacemi, většinou s y n s e d i m e n t á r n í h o rázu karpatského, v menší míře i diagonálního směru. Subsidence neogenních serií trvá prakticky až do nejrannějších vývojových stádií pánve.

V helvetu a tortonu, kdy v souvislosti s doznačujícím alpským orogénem dochází hlavně při vnějším karpatském oblouku ještě k intensivním tangenciálním tlakům a dalekosáhlým horizontálním tektonickým pohybům, můžeme i uvnitř horského pásma, ve vnitroalpské pánvi, předpokládati menší pohyby působené tlaky tangenciálními. Tyto pohyby mohly vzniknouti ve směru do nitra pánve, ale také ve směru k okraji. Není proto v těchto údobích vyloučena možnost určitého rozšíření prostoru a uvolnění zlomových ploch, a to hlavně při okrajích pánve. Centrální hluboké partie pánve jsou pravděpodobně těchto pohybů ušetřeny.

Takové uvolněné zlomové plochy byly tedy již jako netěsné založeny. Prvotní netěsnost mohla býti později zvětšena opakoványmi postesedimentárními poklesnými pohyby v mladších údobích vývoje pánvi (J. Janáček, 1955).

Od sarmatu až do pannu jsou tektonické pohyby v pánvi omezeny na synogenetické poklesy, při čemž rozsah subsidenční pánve je neménly. Neménly sedimentačním prostorem v tomto případě rozumíme vnitřní, mimookrajovou část pánve, omezenou hlavními poklesnými dislokacemi. Mělké okrajové transgrese a regrese jsou přirozeně prostorově proměnné.

Vlivem těchto vývojových činitelů dochází ke vzniku zlomových dislokací, které jsou prvotně těsné v pannu a sarmatu a mohou býti těsné v tortonu a helvetu, zvláště v centrálních partiích pánve. V okrajových zonách, kde horizontální pohyby v nejspodnějším miocénu byly asi znatelnější, mohou býti zlomy v tomto vrstevním úseku již prvotně netěsné.

Pod pojmem prvotní netěsnost rozumíme takový stav, kdy zlom není těsnícím elementem, třebaže by porušoval horniny neporésní. Následkem horizontálních pohybů sedimentů je dislokace „otevřenou“, takže je možné proudění vody po zlomové linii.

Je třeba však rozlišiti ještě druhou netěsnost zlomů, která je způsobena tím, že porésní vrstvy v pokleslých kráč a na vysokých kráč, příp.

mezíkrách, nejsou přerušeny, neboť výšky poklesu jednotlivých ker jsou menší než mocnost porésních, zvodnělých vrstev.

V obou případech dochází k volnému styku a proudění hlubinné vody o vyšším tlaku, t. j. obyčejné vody nejhlubšího obzoru, do obzorů vyšších. Voda obzoru vyššího je atakována, přip. zcela vyměněna. Nastává zde anomální stav, kdy mineralisace hlubinné vody neodpovídá hloubkové posici vody. Je přirozeno, že atakování vyšších obzorů vod touto cestou může nastati nejen ve směru zvyšování mineralisace, ale též ve směru vyslazování, a to jsou-li vody spodních obzorů původně sladké.

Může nastati i extrémní případ. To tehdy, když vody spodních obzorů, související prostřednictvím prvotně nebo druhotně netěsného zlomu s vyššími obzory, mají značný přetlak. Dochází zde k porušení těsnosti zlomu v krátkém úseku sarmat-pannon při povrchu a k průvalu hlubinné vody na povrch nebo pod aluvium. Tak vznikly přirozené prameny minerálních vod živícího typu, např. minerální sírovodíkové vody s m r d á c k é.

Další velmi závažnou a zajímavou otázkou ve vnitroalpské pánvi vídeňské je problém maximálních tlakových anomalií hlubinných vod. Takové vody byly zjištěny v oblasti Lanžhot — Rabensburg. Eruptivní průvaly vod nastaly na 4 sondách. Přetlaky slané vody byly tak silné, že v krátké době byla rozražena koloidní emulze výplachu a výplach vytačen nebo vyhozen ze sondy. Dále došlo k destrukci stěny vrtu a k havarii, která měla za následek likvidaci sondy. Na poslední ze čtyř hlubinných sond v této oblasti byl zjištěn v helvetském úseku, v hl. 2450 m, při naplněné sondě tlak na mezikruží 192 Atm. Maximální naměřený tlak byl 261 Atm. Přičtěme-li k tomu hydrostatický tlak vodního sloupce, t. j. 245 Atm., dojdeme k neobvykle vysoké hodnotě tlaku vody v obzoru, 437 Atm., resp. max. 506 Atm.

Tak vysoké přetlaky hlubinné vody nemohou býté původem artézského, tím méně hydrostatického nebo gravitačního. Teoretický výchoz vrstvy při okraji pánve může mít v nejpříznivějším případě relativní výšku o 100 m vyšší než místo vrtu, což odpovídá artézskému tlaku + 10 Atm. Předpoklad, že infiltracní oblast těchto vod je nutno hledat v porésních mesozoických horninách Karpat, neobstojí. Tyto horniny tvoří sice z části podloží pánve, avšak ve velkých výškách infiltrované vody by musely vytékat při úpatí Malých Karpat, kde jsou horniny odkryty.

Působení energie rozpínajícího se plynu je zde vyloučeno již z toho důvodu, že zde plyn není přítomen. Zbývá proto jediné vysvětlení, a to je horninový tlak na zvodnělou vrstvu. V souladu s předchozími výklady jsou tyto anomální tlaky omezeny na nejhlubší, centrální, nebo nejbližše přilehlé části pánve.

Je-li tento názor správný, zdá se být logickým závěrem, že po počátečním tlakovém a kapacitním maximu vodního výronu nastane rychlý pokles tlaku i vydatnosti. Taková pozorování byla skutečně na třech sondách učiněna. Nebylo je lze prověřiti na sondě poslední, a to s ohledem na maximální tlaky.

Praktické poznámky k některým pánvím

Značně rozvinuté průzkumné a těžební vrtání na živice ve vnitroalpské pánvi vídeňské přineslo nám dosud ze všech neogenních pánví nejbohatší materiál z oboru hydrologie a geochemie hlubinných vod. Na podkladě poznání obecných zákonitostí bylo zde možno stanoviti určité závislosti a pravidla. Ty se týkají hlavně posouzení režimů hlubinných vod a stupně jejich metamorfosy.

Tyto úvahy nejsou důležité výlučně jen z hlediska hydrologie hlubinných vod. Srováním původního stavu se stavem dnešním docházíme k obecným závěrům, které se přímo dotýkají prospekce živic. Jak se poznalo, je při tomto postupu velmi důležité vážiti a hodnotiti tyto nejzávažnější stavy a faktory:

původ sedimentu;

jeho litologický vývoj laterální i vertikální;

tektonické narušení a charakter dislokací s hlediska genese a funkce;

druh podloží, jeho původ, litologický charakter, tektoniku podloží, povahu jeho styku s nadložím;

vzdálenost sedimentu od okraje pánve;

relativní polohu serie v pánevní výplni;

morfologii oblasti vlastní i širší;

stupeň přirozené destrukce (denudace, eroze);

hydrografii a konečně i

stupeň a druh umělého narušení přirozeného stavu zásahem člověka.

Tak na př. můžeme dnes v Dolnomoravském valu vcelku bezpečně vyčleniti oblasti sladkých hlubinných vod artézských, zahrnující nejen úseky sladkovodních uloženin, nýbrž i sedimentů původně brackických i mořských, t. j. sedimenty sarmatské, tortonské, helvetské i burdigalské. Jsou to oblasti o krajových tektonických pásem, vyvinuté většinou v okrajové, porésní detritické facií, omezené dislokacemi netěsnými, většinou starého založení, vykazující opakování postsedimentární pohyby. Podloží takových oblastí je převážně krystallické nebo mesozoické. Od nadloží je dělí výrazná miocenní diskordance a hiát. Relativní poloha takových území je vysoká při okraji a klesá do nitra pánve. Morfologická tvářnost oblastí je výrazem intensivní okrajové denudace a eroze. Napříč výchozů těchto sedimentů pravidelně tekou hojně horské říčky a potoky, takže infiltrace do porésních vrstev je intensivní a stálá.

Takto utvářené podmínky způsobují nebo podporují silné proudění sladké vody v porésní vrstvě a je-li původní voda bracká nebo slaná, úplně ji degradují. Jsou to oblasti se zjevným či otevřeným artézským režimem. Jsou to přirozeně oblasti s hlediska prospekce živic zcela nenadějně.

Takové rayony jsou omezeny hlavně na okrajovou oblast malokarpatskou, od Děviny až k Lakšárské Nové Vsi. U Lakšárské Nové Vsi se jako podloží počíná již uplatňovati flyš.

Od tohoto okrajového pásma dále do nitra pánve je pásmo hlubinných vod s artézským či hydrostatickým režimem, se skrytým spojením s povrchem. Mohl se vytvořiti v sedimentech všech přítomných neogenních stupňů. Podmínkou takového stavu je přítomnost těsnících syngenетických zlomů a příznivá, t. j. nízká strukturní poloha, obyčejně dále od okraje. Původ a charakter podloží při vytváření režimů hlubinných neogenních vod v tomto případě není rozhodující.

Pro posouzení vzniku, současného stavu a minerálního složení hlubinné vody a její genese je však zde rozhodujícím kriteriem původ a vývoj sedimentu, druh, původ a dnešní stav podloží.

V téže pozici, t. j. uvnitř pánve a ve stejných poměrech vznikly hlubinné vody s tlakovými režimy plynovými. Plynová fáse je tu representována živičným plymem. Tlakový režim plynový může se vytvořiti v pánvi opět v sedimentech různého původu, mořského, brackického i sladkovodního. Kromě podmínek uvedených v předchozím případě, je tu však většinou třeba neogenního nebo podložního souvrství, ve kterém mohla živice vzniknouti nebo se akumulovati, nebo vhodné tektoniky vrstvy. Z podloží pak migruje dále do nadložních serií a hromadí se v porésní vrstvě pod tlakem, nebo migruje ve vrstvě do vyšší polohy.

Při západním okraji pánve, kde je vyvinuto flyšové podloží, jsou oblasti s těmito režimi posunuty velmi blízko k okraji.

Anomální tlakové bezplynové režimy tektonické jsou omezeny na centrální místa pánve. Jak bylo uvedeno, vyžadují zvláštních podmínek tektonických.

Zaujmavé jsou též okrsky s vodami, s režimy gravitačními. Jsou to hlavně oblasti vnitropánevních strukturních elevací s vysokou relativní polohou v pánvi. I když by byly všechny zbývající podmínky příznivé, nemohou tlaky hlubinné vody dosáhnouti ani hodnot tlaku hydrostatického, jestliže výška obzoru na struktuře je vyšší než teoretická napájecí oblast vrstvy.

Konečně sem patří i takové oblasti, jejichž původní poměry jsou silně porušeny přirozenou destrukcí (denudace, eroze) nebo narušeny činností člověka. Jsou na př. stará těžní naftová pole, kde hlubinné vrtby jsou odvrтанé v husté síti a rozhodujícím způsobem narušují původní režim hlubinné vody.

V malé dunajské nížině, pokud je nám známo z výsledků vrtního průzkumu na živice a jímacích prací na vodu, převládají zvláště ve svrchním miocénu a v pliocénu hlubinné vody s režimem artézským a hydrostatickým, resp. gravitačním. Tlakové režimy plynové byly zde rovněž zjištěny, avšak dosud vždy byly v plynnej fázi přítomny pouze plyny nehořlavé s malým až nepatrným podílem živičného plynu. Maximální tlakové tektonické režimy zjištěny zde nebyly.

Ve východoseverním neogénu je dosud zjištěná situace obdobná. V neogenním souvrství svrchního pannonu a v sarmatu známe režimy gravi-

tační a artézské. Ve svrchním brackém tortonu jsou režimy hlubinných vod stejné. Kromě toho však byly v četných případech zjištěny plynové tlakové režimy s akumulacemi živících plynů. Z mořského svrchního tortonu jsou dnes kromě toho známé velmi aktivní a vysoce pozitivní artézské obzory silně sycených solanek. Jsou vázány na tortonské solné souvrství (J. Janáček, 1958). Tlakové vody, jejichž režim je podmíněn tektonickými tlaky, nebyly pozorovány.

Východoslovenská oligocenní pánev je oblastí, kde v minulosti nafta mohla vznikati, dnes je však degradovaná. Pánev je typická hlubinnými živícími vodami, většinou metamorfovanými, oxydačního charakteru. Jsou však přítomné dosud i živícé vody nemetamorfované, nebo snad lépe jen nepatrně metamorfované. Zdá se, že tyto nemetamorfované vody se vyskytuje výhradně ve východním úseku pánev v širším okolí Rimavské Soboty. Je pravděpodobné, že z velké části mohou být fyzikálními vodami mořskými v mezích existence pojetí takových vod. Nasvědčuje tomu několik skutečností; chemické složení některých vod je totožné se složením vody mořské.

Možnost metamorfosy je minimální a vyplývá z existence původní jednoduché soustavy voda-hornina, t. j. slaná mořská voda, sediment ze slané vody. Je závislá na hloubkové pozici těchto vod. Jsou omezeny na nejhlubší části pánev. Dále plyne z charakteru zvodnělého obzoru. Porésní obzory tvoří malé a velmi řídké, dokonale uzavřené čočky v mohutných přes 1000 m mocných seriích neporésních slinitých jílů. Konečně vyplývá z celkové stratigrafie posice oligocénu, jehož podloží je v této části pánev budováno nepropustným krystalinikem.

Režimy hlubinných vod oligocenní pánev jsou gravitační a hydrostatické, jimiž se vyznačují vody nemetamorfované. Pro metamorfované vody jsou charakteristické plynové režimy tlakové. Tlakovou složku zde tvoří většinou kysličník uhličitý, nebo jeho směs s plyny živícími a jen v malé míře methan. Anomální tlaky, tektonicky podmíněné, zde nebyly zjištěny.

Příkladem hydrogeochemicky úplně degradované pánev je severočeská pánev křídová. Je nesporné, že původní soustavou zde byla slaná mořská voda — sediment ze slané vody. Podmínky sedimentologického, litologického, tektonického i morfologického vývoje však byly takové, že ustálený stav pro celou pánev je dnes soustava sediment ze slané vody — sladká voda. Průtokové množství sladké vody s artézským režimem, je v písčitých obzorech tak velké, že metamorfní změny vody horninou ovlivněné jsou nepozorovatelné.

Brno, 30. dubna 1958.

Čs. naftové doly, Hodonín

LITERATURA

- [1.] Buday T. — Cícha J. — 1956: Nové názory na stratigrafii spodního a středního miocénu Dolnomoravského úvalu a Pováží. Slov. akad. vied, Geol. práce Zoš. 43, Bratislava. — [2.] Dlabač M. — 1956: Řešení otázek akumulace nafty v sarmatu a tortonu vídeňské pánve. Rukopisná zpráva. Ústav pro naft. výzkum Brno. — [3.] Chebotarev J. J. — 1955: Metamorphism of natural waters in the crust of weathering — 1. Geochimica et Cosmochimica Acta 1955, Vol. 8, strana 22 — 48 — Australia. — [4.] Janáček J. — 1955: Nové tektonické a tektogentické poznatky československé části vnitroalpské pánve. Sborník Ústř. úst. geolog., Sv. XXI. 1954, 1. díl. Praha. — [5.] — 1958: Nové ložisko kamenné soli na východním Slovensku. Edice Slov. geol. úst. D. Štúra. V tisku. Bratislava. — [6.] Janák J. — 1952: Klasifikace čs. naftových vod. Rukopisná zpráva. Ústav pro naft. výzkum, Brno. — [7.] — 1955: Klasifikace hlubinných vod československé části vnitroalpské pánve. Práce Úst. pro naftový výzkum v Brně, č. 4—8. Praha, Min. paliv. — [8.] Klenova M. B. — 1948: Geologija mora. Gos. uč. — ped. iz. Min. pros. RSFSR. Moskva. — [9.] Michaliček M. — 1958: Sorbované kationty jílových sedimentů — indikátor hydrochemického režimu sedimentace. Acta Universitatis Carolinae. Praha, 1958, v tisku. — [10.] Švecov M. S. — 1957: Petrografia sedimentárnych hornin. Slov. Akad. vied. Bratislava.

JOSEF JANÁČEK

ANMERKUNGEN ZUR HYDROGEOLOGIE DER TIEFWASSER UNSERER JUNGEN BECKEN

In den jungen Karpathenbecken können wir das Tiefschichtenwasser in normales Schichtenwasser, das entweder süß oder salzig sein kann, und Naphtwasser zergliedern. Diese Wasser sind veränderlich. Theoretisch können sie auch fossil sein. Unberührte Fossilwasser existieren jedoch nicht. Hauptsächlich handelt es sich um mineralisiertes Wasser.

Der Ursprung des Tiefwassers ist durch Absperrung bei der Sedimentation bedingt. Bei der weiteren Entwicklung können die Bedingungen seiner „Fossilisation“, Metamorphose oder vollständigen Veränderung geschaffen werden. Die Hauptfaktoren, die über den Endzustand entscheiden, sind: die Tektogenese des Beckens, die Art des tektonischen Bruches und der Charakter der Sedimente.

Die Bewegung des Wassers im Becken, als einer der wichtigsten Faktoren, die die Metamorphose beeinflussen, wird durch den hydraulischen Druck des Wassers, durch das gravitative und tektonische Herausdrücken des Wassers aus dem Gesteine, durch die Energie des vergrösserten Gasumfangs, durch den Unterschied des spezifischen Gewichtes des Wassers mit den aufgelösten Mineralien und aufgelösten Gasen, durch Bindung oder Herausdrücken des Wassers bei den diagenetischen Veränderungen und endlich durch die kapillaren Kräfte bedingt.

Im Wiener Becken gibt es verschiedene Tiefwasserrégime: gravitative, hydrostatische und artesische, weiter solche mit Gasdruck und mit tektonischem Druck. Es sind die einfachen Regime. Ausserdem kommen verschiedene Kombinationen der einfachen Regime vor.

Im Wiener Becken unterscheiden wir Zonen des artesischen Süßwassers, und zwar nicht nur in Süßwasser-, sondern auch in Brack- und marinen Sedimenten. Weiter kann

man Zonen des mineralisierten Wassers mit hydrostatischen und artesischen Regimen unterscheiden. Wasser mit Gasdrucksystemen, mit anomalem Druck tektonischen Ursprungs und schliesslich mit gravitativen Regimen sind im Becken auch nicht selten.

Übersetzt von inž. M. Ruman n.

*Tschsl. Erdölbetriebe, VEB,
Hodonin*

JAROSLAV JANÁK

ÚLOHA IONTOVÉ ROVNOVÁHY PŘI TVORBĚ A METAMORFOSE PŘÍRODNÍCH VOD V SEDIMENTÁRNÍCH OBLASTECH

Ústav pro naftový výzkum, Brno

(8 obr., německé resumé)

Bylo provedeno experimentální ověření základních procesů, které probíhají při tvorbě a metamorfóze přírodních vod v sedimentárních horninách a byl prokázán zásadní vliv iontové rovnováhy na vznik vod různých typů.

Byl dokázán vznik vod sodného typu porušením iontové rovnováhy, metamorfosou vápenato-bikarbonatní a vápenato-síranové vody, dále vznik kalcium resp. magnesium-chloridového typu vod trvale posunovanou rovnováhou a metamorfosou slaných vod, a doložena omezená možnost tvorby chlorido-vápenaté vody metamorfosou slaných sodno-bikarbonatních vod.

Na tomto základě je vyložen vznik a přeměny vod v sedimentárních horninách; závěry byly učiněny pro sedimentární oblasti na území ČSR, hlavně třetihor a druhohor a dají se bezproblemy aplikovat jinde, hlavně pro celou oblast alpsko-karpatské soustavy. Současně byly stanoveny 3 základní fysikálně-chemické zákonitosti, jimiž se řídí vznik a přeměna vod, a důsledky, které tato zjištění mají pro geologickou práci.

Hydrogeochemie si vynucuje v komplexu geologicko-průzkumných prací trvalé postavení jako součást průzkumu ložisek minerálních surovin (živice, sůl, minerální vody atd.). Zatím však jejich možnosti není plně využíváno.

V této studii předkládám některé teoretické a praktické výsledky experimentálního výzkumu tvoření a metamorfózy přírodních vod v sedimentárních oblastech a zaujímám kritické stanovisko k některým pracem v tomto oboru.

Přehled informací

Jak máme možnost stále zjišťovat, setkáváme se při vrtní průzkumné a těžební praxi v sedimentárních oblastech s hlubinnými vodami v podstatě dvou typů: sodného a vápenatého (hořečnatého) typu. V mořských sedimentech jsou to hlavně slané vody sodno-bikarbonatního a chloridovápenatého charakteru. Vody CaCl_2 -typu jsou silně mineralisovány a soudí se, že jsou vázány na uzavřené horizonty s malou nebo žádnou komunikací vod. U nás jsou rozšířeny jen v některých

rých hlubších částech pánví. V dosavadním objemu analytického materiálu, který plyne z vrtních prací, jsou tyto vody v menšině. Naproti tomu slané vody sodnobikarbonatního typu se vyskytují v našich oblastech ve většině případů. Jsou to vody o malé nebo střední mineralisaci a vyskytují se v povrchových i v hlubinných partiích sedimentačních pánví, a to jak miocenních tak paleogenních. Tyto vody jsou typické pro povrchové části naftových oblastí a povrchová hydrogeochemie se s nimi převážně setkává. Natrium-bikarbonátové vody jsou však uváděny, zvláště ve starší literatuře, i ve spojitosti s vulkanickými projevy magmatu, neboť tyto vývěry se často nacházejí v hlubinných vyvřelých horninách (žuly).

Ačkoliv se při naftovém podnikání setkáváme nejčastěji s typem alkalickoslaných vod, není jejich vznik jasné. Otázka genese vod tohoto typu není ryze teoretická, jak se na první pohled zdá. Stanovením přičin tvorby těchto vod si přiblížíme podmínky metamorfózy vody a tudíž okolnosti, které ovlivňovaly vývoj sedimentů a jejich diagenesi. V našich geologických podmínkách má toto studium značný význam: ve značné části sedimentačních prostorů, které jsou naftonadějně, vládly podmínky sedimentace nejen ze slaného (mořského), ale také z brackého až vyslazeného prostředí. Značná část sedimentů je v oblasti silné infiltrace a koloběhu vod, způsobeného geologickým rozrušením, odkryvy nebo posicí nad proplutnějším podložím.

V literatuře nacházíme trvale se zvyšující pozornost, která se věnuje otázkám vztahu složení vod k jejich genesi, dále k výskytu a vyhledávání ložisek živic a konečně k hydrogeologickým studiím. Dokazuje to přiložená literatura, kterou doplňujeme náš přehled z let 1952 a 1953^{21, 22}.

Nejzávažnějšími novými pracemi, řešícími úlohu rozpustnosti a výměny minerálních látek při vytváření chemického charakteru vod, jsou studie Valjaškovy^{54, 55}, Chobotareovy^{18, 19} a Schöllerovy⁴⁴. Tyto studie mají znamenitý praktický význam pro obecnou hydrologii a také pro speciální hydrologii naftových ložisek. Vyplývá to z praktických aplikací. Uvádíme na př. práci Šagojance⁴⁹, který zpracoval obecné poznatky při hydrogeologických pracích na ruské tabuli a stanovil vrstevní typy chemické zonálnosti hlubinných vod. Podobně propracovával otázkou vertikální zonálnosti Marinov³⁷ a Durov⁶. Je známo sestavování hydrochemických map^{5, 15, 21, 23, 45, 49}.

U nás se hydrochemickými studiemi zabývali hlavně Mahe³⁶, Zýka^{56–59}, Juránek⁵⁷ a Janák^{21–23} (neuvádíme zde podrobně práce řady geologů, které se vztahují k řešení problémů geologických a hydrochemie je detailním doplňkem). Výsledkem Maheovy studie o vztahu chemického složení vod ke geologické stavbě Slovenska je podstatné rozšíření názoru na vadosní původ většiny minerálních vod na území Slovenska. Tyto úvahy jsou touto prací v široké míře pokusně prokázány.

Zýka^{56–59} a po něm Juránek provedli povrchové hydrochemické zónování na území východního Slovenska a části Moravy, které poskytlo hydrochemické mapy typů vod významných

na určité geologické formace. V současné době předložil Zýk a⁵⁸ práci, v níž charakterisuje vody naftového typu a vysvětluje genesi vod některých typů. Statistický mapový materiál je již ve shodě se skutečností,* avšak zdůvodnění příčin tvorby chemického složení vod a dedukce o původu některých důležitých typů vod jsou často málo kritické a někdy i chemicky vadné.

Kromě řady drobných, vzájemně si odpovídajících tvrzení (srv. cit. 58a, str. 89, 2. odst. str. 90, 1. odst.; str. 88, 5. odst., str. 101, tab. aj.) nelze přijat Zýkovi charakteristiku naftové vody^{58b}. Jeho kriteria dovolují posuzovat jako vody naftové reliktní vody po deposici chloridu sodného a naopak, na př. velkou část vod infiltrovaných do mořských sedimentů. V důsledku toho se naftonadějnou územní celkou kryje Zýkovi se sedimentárními oblastmi mořského původu, ztrácí tím konkretnost a průkaznost. Lze najít příklady, že podle „naftových“ znaků poznáme spíše tektonickou otevřenosť terénů (a tudíž menší naftonadějnou) a naopak. Dále nelze souhlasit s chemicky vadnou generalizací v literatuře často studované redukce sulfátů na bikarbonáty jako procesu, jímž vzniká *natrium-bikarbonatní typ vod*^{56–59}. Podobně chemické zdůvodnění změn složení mísením vod různých typů je nedomyšlené⁵⁸. S těmito názory se vyrovávám v pokusné části na příslušných místech (str. 119, 122).

Vlastní úvahy a pokusný materiál

Zpracováním analytického materiálu o hlubinných vodách československé části vnitroalpské pánve²¹ bylo dosaženo názoru²², že mezi jednotlivými *vodními* polohami vzniká iontová a koncentrační rovnováha, která se projevuje vzájemným ovlivňováním různých i *oddělených* poloh. Proti tomuto názoru vystoupil Homola^{16a} (Zprávy o geolog. výzkumech 1955). Soudíme, že byla nalezena nová kriteria pro posuzování primárních a sekundárních stavů složení hlubinných vod, stupně jejich živnosti a také některá vodítka pro přesnejší určení původu vod a povahy sedimentačního prostředí. Nyní jsou tyto myšlenky dále rozvíjeny pro soustavu *voda-hornina*. Na rozdíl od prací, které zpracovávají statisticky dostupný materiál, byly provedeny systematické laboratorní pokusy, sledující ověření průběhu procesů, které při tvorbě a metamorfóze vod probíhají. Tím byl získán přímý materiál, který konfrontuji se skutečnými příklady z přírody.

Iontová rovnováha

Při ukládání mořských sedimentů dochází k intensivnímu styku látek koloidního charakteru (hlavně typu aluminosilikátů, ale i organ. hmot) s mořskou vodou. Tento děj je provázen sorpcí a výměnou iontů mezi sedimentem na straně jedné a sedimentujícím prostředím na straně druhé. Tyto iontovýměnné komplexy nesou tedy otisk chemického složení vody, v níž vznikly nebo kterou byly ovlivněny.

*) K zahraniční práci Zýkovi (*Acta geol. Hung.* 4, 383 — 1957) je třeba mít výhrady i k mapovému materiálu. Na př.: Zóna síranových vod centrálních Karpat na Slovensku (ale i oblast Krušných hor, okrajové oblasti Alp atd.) je znázorňována jako sodnosíranová. To se neshoduje na převážné části vyznačeného území se skutečností a tam kde shoda je, vysvětlení genese (cit. lit. str. 389) nedostačuje.

Pro iontovou výměnu lze použít Guldberg-Waagova zákona rovnováhy hmot

$$K = \frac{(A)^+ \cdot (B)^-}{(AB)}$$

kde $(A)^+$ je dissociovaný kationt, $(B)^-$ je dissociovaný komplex a (AB) je nedissociovaný nasycený měnič iontů (komplex).

Pro složení sorbovaných iontů lze pak odvodit pro ionty stejných valencí vztah

$$\frac{r.Mg^{++}}{r.Ca^{++}} = K_1 \frac{c.Mg^{++}}{c.Ca^{++}} \quad \frac{r.Na^+}{r.K^+} = K_2 \frac{c.Na^+}{c.K^+}$$

kde $r.Mg^{++}$, $r.Na^+$ atd. je obsah sorbovaných kationtů v milivalech na 100 g horniny v rovnováze s $c.Mg^{++}$, $c.Na^+$ atd., t. j. milivalů kationtů na litr vodného prostředí; K_1 , K_2 jsou rovnovážné konstanty.

Podobně pro vztah kationtů s nestejnou valencí je nutno psát

$$\frac{r.Na^+}{r.\sqrt[3]{Ca^{++}}} = K' \frac{c.Na^+}{c.\sqrt[3]{Ca^{++}}}$$

kde značky mají stejný význam jako v předešlé rovnici.

O tomto předmětu byla publikována řada prací^{8, 12, 30, 35, 40}. Většina autorů^{12, 35, 40} akceptuje použití Gulberg-Waagova zákona, jen J enny²⁶ měl námitky proti jeho použití. Hlavní obtíže při použití tohoto zákona spočívají v tom, že proces iontové výměny je spojen s adsorpčními zjevy, způsobenými koloidní povahou komplexů. Zásadně je možno říci, že zákon je kvantitativně platný jen pro soustavy iontů o stejně valenci, zatím co pro soustavy směsné je proces komplikovaný³⁰.

Nicméně je iontová rovnováha proces reálný a pouze hodnota K z Guldberg-Waagovy rovnice není pro směsné soustavy iontů ($Na-Ca$, $Mg-K$ atd.) konstantní, takže kvantitativní zhodnocení lze provést pouze do určité míry.

Zřetelný vliv prostředí na složení sorbovaných iontů je zřejmý z příkladu v tab. 1.

I. Vytváření sodného charakteru vod iontovou výměnou

1. Vytváření sodného typu vod porušením iontové rovnováhy

Prostým zvýšením obsahu některého kationtu v roztoku zvyšuje se koncentrace téhož iontu v sorbované formě. Proces rovnováhy je ovšem vratný. Vystavíme-li tedy nasycený horninový komplex účinku málo mineralisované vody, dojde podle Guldberg-Waagova zákona k dissociaci iontů a jejich přechodu z horninového komplexu do roztoku. Krajní případ prostředí se sníženou mineralisací je destilovaná voda. V přírodních podmínkách se k tomuto příkladu dá přirovnat pouze působení infiltrované dešťové vody na nejsvrchnější část lithosféry. Musíme však počítat s tím, že i dešťová voda přichází obohacena malým, avšak důležitým obsahem kysličníku uhličitého a v oblasti biosféry se jím dále nasycuje. Tím také její působení není zcela totožné jako působení destilované vody, neboť působí na systém

T a b u l k a I
Obsah sorbovaných iontů

Původ sedimentů	Ca	Mg	Na	K	
	mval/100 g				
Zuidersee	24,0	49,0	19,0	8,0	Hissing
Anglické pobřeží	47,9	26,0	20,6	5,5	Page
Jura, Anglie	85,0	10,8	0,7	3,5	Salgado
Oklahoma	3,8	—	11,2	—	Case
Huntington Beach — jíl	—	19,8	4,0	4,5	
dtto	—	37,1	35,9	4,0	Kelley
v rovnováze s mořskou vodou	—	—	—	—	
Otay, Calif. -- bentonit	100,0	—	—	—	
Otay, Calif. — v rovnováze					
s mořskou vodou	10,3	45,9	37,2	6,6	
Láb — torton	37,8	4,1	11,4	1,3	
Nesvačilka — oligocen	18,4	4,7	24,2	2,1	
Lužice — helvet	21,7	5,9	11,9	1,7	Nedorost

Poznámka: Hissing D. J.: Inter. Soc. Soil. Sci., Part A, 183 (1932);
 Page H. J., Williams W.: J. Agr. Sci. 16, 551 (1926);
 Salgado M. L. M.: J. Agr. Sci. 23, 18 (1933);
 Case L. G.: Bull. Amer. Assoc. Petrol. Geol. 17, 66 (1933);
 Kelley W. P. a Liebig: Bull. Amer. Assoc. Petrol. Geol. 18, 358 (1934);
 Nedorost M.: Záv. zpráva VÚN č. 5-5529/II. (1955).

nasyceného výměnného komplexu chemicky; nedochází jen k pouhému vytvoření rovnováhy mezi horninou a roztokem, nýbrž k chemické reakci.

Tento proces byl v laboratorním měřítku sledován působením destilované vody (obr. 1) a roztoku kyseliny uhličité na vzorky mořských sedimentů (vrtních jader) známého složení. Výsledky jsou velmi dobře patrný z tab. 2.

Prosté snížení mineralisace vody má za následek uvolňování sodíku z jílů a jiných horninových komplexů nasycených v minulosti do rovnováhy ionty, obsaženými v mořské vodě a vytvoření, případně prohloubení sodného charakteru vody, aniontová složka je určena dissociace schopným aniontem přítomným v sedimentu. Množství uvolněného sodíku je větší v případě působení roztoku kyseliny uhličité.

Daleko intensivněji tento proces vynikne, dojde-li k působení velkého množství kysličníku uhličitého. To nastává hlavně v tektonicky porušených částech terénů s vyplní sedimentárních hornin mořského původu, otevírají-li vzniklé poruchy výstupové cesty hlubinnému kysličníku uhličitému. Tento jev je zvláště v našich geologických podmínkách častý a setkáváme se s ním hojně na Slovensku, často však i na Moravě (Přerov, Luhačovice, Nezdenice aj.) a v Čechách (Poděbrady, Karlovy Vary aj.).

Dokonalým příkladem vzniku koncentrovaných natrium-bikarbonátových vod působením volného kysličníku uhličitého na mořské sedimenty jsou minerální prameny lokality Cigelka, okr. Bardějov. Při vrtních pracech byly zde odvrťány tři

matečné horizonty minerální vody, jakož i polohy mimo přímé působení minerální vody, resp. volného kysličníku uhličitého. Pozoruhodné je srovnání obsahu sorbovaného sodíku v horninových komplexech z té části území, které stojí pod přímými

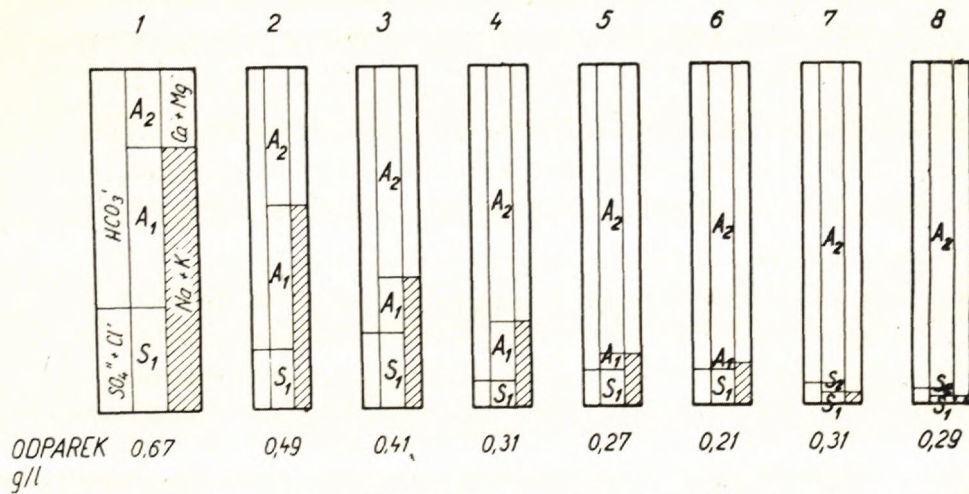
T a b u l k a 2

Vytváření sodného typu vody porušením iontové rovnováhy přisobením destilované vody a kyseliny uhličité

E l u á t mvaly kationtů uvolněné ze 100 g sedimentu 1 litrem roztoku	Působení H_2CO_3 700 mg/litr flyš	Působení destilované vody		
		flyš	helvet	oligocen
Ca	3,48	1,42	0,69	0,90
Mg	1,97	0,72	0,43	0,00
Na	17,80	14,60	11,93	7,96
K	0,20	0,20	0,27	0,26

Sorbované kationty v mval/100 g jílu				
Ca	29,5		12,5	10,5
Mg	4,4		3,7	2,6
Na	21,4		13,9	8,0
K	3,9		1,1	1,2

Poznámka: Flyš — Nesvačilka 1, hloubka 188—196 m;
helvet — Lužice 52, hloubka 1023—1025 m;
oligocen — Nesvačilka 1, hloubka 1428—1433 m.



Obr. 1. Vznik sodno-bikarbonatní vody porušením iontové rovnováhy (sediment — popis v tabulce 4 — byl eluován vždy 300 ml destilované vody).

vlivy volného CO₂ a z části chráněné před vlivem CO₂ s obsahem sodíku v minerální vodě. Data jsou uvedena v tab. 3.

T a b u l k a 3

Obsah sorbovaného sodíku v jílech a minerální vodě na lokalitě Cigelka

Příklad	Vrt	Obsah sodíku v sedimentu mval/100 g	Obsah CO ₂ mg/litr	Obsah Na ve vodě mval/l	Odparek g/litr	Palnerovy indexy				Poznámka
						S ₁	S ₂	A ₁	A ₂	
1	P ₁₁	7,6	88,0	7,1	0,81	12,7	—	33,9	53,4	alkalická
2	P ₅	2,6	2861,6	357,1	20,50	28,9	—	68,2	2,9	alkalická
3	P ₇	2,9	2519,0	245,7	14,56	29,2	—	64,6	6,2	alkalická
4	P ₉	0,8	80,8	0,2	0,26	4,6	8,5	—	86,9	zemitá
5	P ₂	14,2	—	—	—	—	—	—	—	

Poznámka: Příkl. (1) sediment v oblasti mimo přímé působení CO₂;
 příkl. (2, 3) sediment vystavený účinku kysličníku uhličitého;
 příkl. (4) sediment zeela vyluhovaný (povrchový);
 příkl. (5) sediment mořský (hlubinný).

Obsah sodíku v horninových komplexech mimo oblast přímého působení kysličníku uhličitého je vysoký. Činí 8–14 mval Na 100 g pelitické složky. Tento obsah je zřejmě zachován. V kontaktu s málo mineralisovanou povrchovou vodou (infiltrovaná meteorická voda), která neobsahuje větší množství kysličníku uhličitého, dochází k uvolňování sodíku do roztoku a k tvorbě bikarbonátně-sodného typu vody o malé mineralisaci (příklad 1). Stejný případ málo mineralisované vody v kontaktu s horninou, která nemá sodné komplexy ukazuje, že za stejných poměrů vzniká bikarbonátně-vápenatá voda se zřejmým nedostatkem sodíku (příklad 4). Naproti tomu sedimenty, které přišly do styku s kysličníkem uhličitým, resp. uhličitou minerální vodou, odevzdaly většinu dissociovatelného sodíku (příklad 2 a 3). Dá se soudit, že zbytkový obsah sodíku 2–3 mval na 100 g pelitické složky odpovídá rovnováze minerální vody s horninou. Kdyby tato hornina byla vystavena působení málo mineralisované infiltrované vody nasycené kysličníkem uhličitým, došlo by bezpochyby k úplnému vymytí sodíku, jak je to patrné z laboratorního pokusu na obr. 1 (složení sedimentu je v tab. 4).

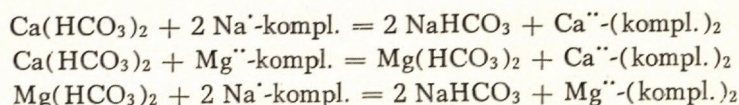
2. Vytváření sodno-bikarbonátního typu vody metamorfosou vody vápenato-bikarbonatní

Až dosud jsme se zabývali případem rovnováhy jedné komponenty (sodíku) v soustavě voda-horninový komplex. Je-li v rovnováze větší množství iontů, nastává kromě vytvoření rovnováhy voda-horninový komplex ještě vytvoření rovnováhy mezi jednotlivými sorbovanými ionty podle jejich iontové výmenné síly.

Různé kationty mají různou výmennou schopnost. Obecně je známo, že na př. dvojmocné kationty jsou vázány přírodními iontoměniči silněji než ionty jedno-

mocné. Pro jílové minerály typu montmorillonitu určil relativní výměnnou sílu hlavních běžných kationtů na př. Ronov (Dokl. Akad. Nauk SSSR 48/5-1945): $\text{Na}^+ < \text{H}^+ < \text{K}^+ < \text{Mg}^{++} < \text{Ca}^{++}$. Pořadí potvrzuje starší údaje Renicka⁴⁰ a Fosterové⁸. To znamená, že nejpevněji je sorbován vápník, nejlabilnější vazbu vykazuje sodík. U různých jílových minerálů a koloidních částic se bude ovšem velikost rozdílu ve výměnné schopnosti iontů lišit, zvláště v triádě $\text{Na}^+ - \text{H}^+ - \text{K}^+$, avšak pořadí hlavních kationtů, které se podílejí na charakteru hlubinných vod $\text{Na}^+ - \text{Mg}^{++} - \text{Ca}^{++}$ (hlavně dvojice sodík-vápník) je vždy zachováno.

Tento fakt má v přírodních podmínkách zvláště výrazný význam, uvádíme-li, že kromě dešťové vody prakticky každá přírodní voda má jistou mineralisaci a svůj specifický chemický charakter. U hlubinných vod je pak mineralisace vždy zvýšená a také chemický charakter bývá odlišný od vod povrchové zóny. V důsledku větší iontovýměnné síly vápníku dochází tedy k vytěsnění sodíku z horninového komplexu, což jest provázeno intensivní přeměnou kationtového složení. Hlavní děje lze zachytit rovnicemi:



T a b u l k a 4

Sledování chemických změn při průtoku vápenato-bikarbonatní vody jílem

Sledované hodnoty	Výchozí roztok	Eluát à 300 ml				
		1.	2.	3.	5.	7.
		mval/300 ml				
Na ⁺	0,0	5,67	3,00	1,54	0,37	0,08
K ⁺	0,0	0,25	0,17	0,13	0,09	0,05
Ca ⁺⁺	3,77	1,39	1,87	2,57	2,78	3,39
Mg ⁺⁺	0,0	0,59	0,43	0,48	0,43	0,25
Cl ⁻	0,0	0,75	0,33	0,25	0,08	0,06
SO ₄ ²⁻	0,0	1,36	0,30	0,34	0,13	0,04
HCO ₃ ⁻	3,77	6,65	5,11	4,51	3,80	3,68
SiO ₄ ⁴⁻	0,0	0,23	0,29	0,24	0,16	—
S ₁	0,0	23,4	10,0	9,6	2,4	2,4
S ₂	0,0	—	—	—	—	—
A ₁	0,0	51,6	48,2	24,4	11,2	0,6
A ₂	100,0	25,0	41,8	66,0	86,4	97,0
pH	6,6	7,7	7,3	7,3	6,8	6,7
Mg : Ca mval/mval	0,00	0,42	0,23	0,19	0,15	0,08

Poznámka: Sediment: vrtní jádra vrtů Lužice 99, 101, 104, 117, 119 a 134; torton, burdigal a flyš z hloubky 670 až 1441 m; obsah sorbovaných iontů na 100 g sedimentu: Ca 5,6 mval, Mg 3,07 mval, Na 10,0 mval a K 0,67 mval; obsah aniontů: 2,35 mval SO₄, 1,06 mval Cl, 8,60 % CO₃ a 3,54 % písek.

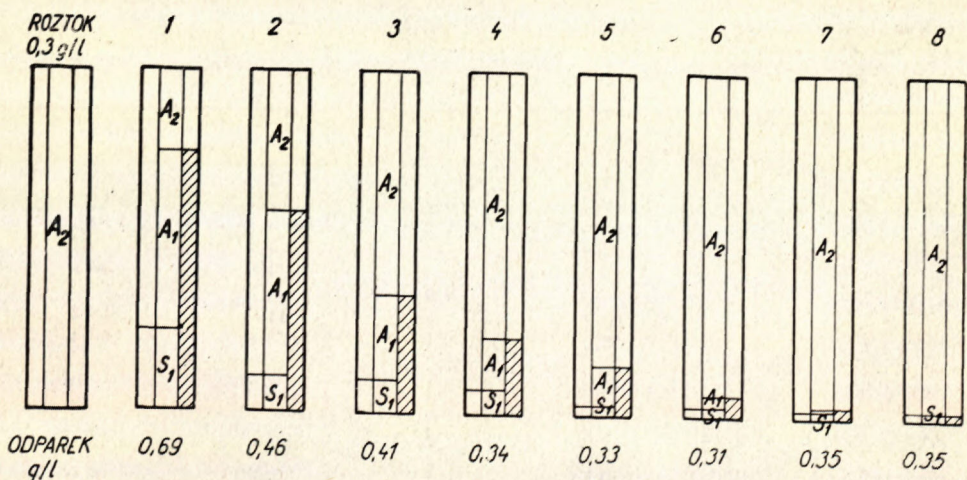
Tento proces nastává při infiltraci svrchních, převážně bikarbonátové-vápenatých vod o malé mineralisaci, do sedimentárních hornin (horizontů) s iontovým měnnými komplexy. Je tedy důležitý pro pochopení regionální změny složení vod v horizontech napájených povrchovou, obecně cizorodou vodou (artézské bazény, dislokace a spojení nesourodých horizontů atd.) a pro správné vymezení významu zón natrium-bikarbonátových vod při povrchovém mapování.

Proces byl sledován v laboratoři při průtoku vápenato-bikarbonátové vody jílem mořského původu. V tab. 4 a obr. 2 je vidět přesvědčivě vznik natrium-bikarbonátové vody. Teprve postupem vymývání sodíku z komplexů obnovuje se původní typ vápenato-bikarbonátové vody. Je třeba si také všimnouti, že současně dochází k vytěšňování poměrně značného množství hořčíku, což se projevuje posunem poměru Mg:Ca ve prospěch hořčíku.

Děj však nastává také v hlubších partiích lithosféry. Je možné jej doložiti změnami složení vod zachycených při vrtních pracích na lokalitě Dudince.

Geologie prameniště: Hlavní pramen lokality Dudince ŠH-1 vyvěrá (podle prof. Dr. Hyne) ze soustavy pískových horizontů tortonského stáří; horizonty slouží jako kolektor vody, která přichází z hluších partií po prvořadé poruše, provázející hrást, budovanou krystalinem. Hrast nevychází na povrch, byla však zachycena geofyzikálním měřením cca 100 m pod povrchem.

Geochemie prameniště: Voda je složena, podle mého soudu, ze dvou složek, majících různé zdroje; je to sádrov-zemitá voda, kterou dodává mesozoikum (speciálně sádronosný trias) a slaný typ, který dodává torton anebo hlouběji uložený burdigal-helvet (?). Tento názor byl zřetelně akceptován¹⁷.



Obr. 2. Vytváření sodno-bikarbonátového typu vody metamorfosou vody vápenato-bikarbonátové (sediment — popis v tabulce 4 — byl eluován vždy 300 ml roztoku bikarbonátu vápenatého).

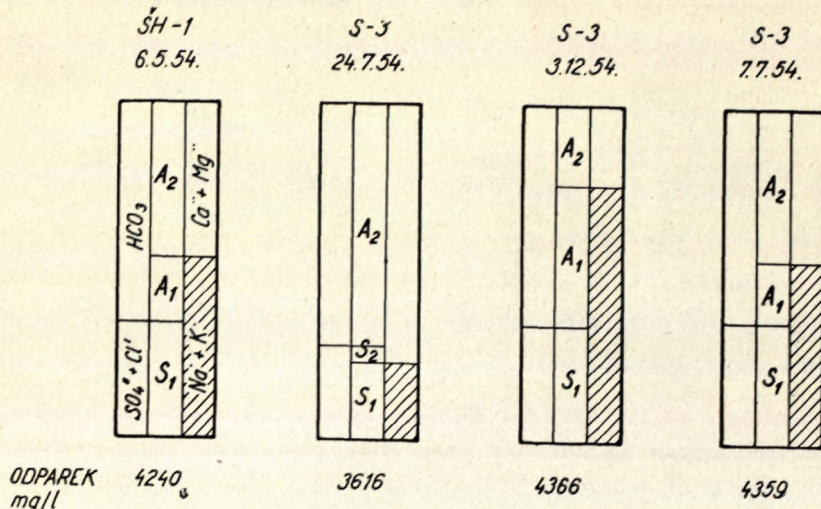
Chemické rozbory a geochemické faktory, na nichž lze sledovat existenci iontové výměny, jsou v tab. 5 a na obr. 3. Složení vody vývěru ŠH-1 je výsledkem ustálené rovnováhy složky hlubinné, sádrově-zemité (Ca^{++} , Mg^{++} , Na^+) s vodou a výměnnými komplexy v sedimentech miocenního stáří (Na^+ , Mg^{++} , Ca^{++}). Vrtem byl zachycen horizont (který rozvádí vodu v širším prostoru) v místě, kde voda pouze omezeně komunikuje (proudění hlubinné vody usměrňuje přirozený vývěr ŠH-1). Obsah sodíku v této vodě (produkční pokus z 24. 7. 1954) je tudíž nižší, zato však obsah vápníku i hořčíku je podstatně zvýšen. Také poměr vápníku a hořčíku je posunut ve prospěch vápníku. Voda ve shodě s tím neobsahuje bikarbonát sodný. Tyto skutečnosti je možno zaznamenat také v údaji pro tvrdost a v obsahu chloridů. V geochemických kriteriích se projevují v nízké první salinitě 23 %, v existenci druhé salinity 4,9 % a v povýšené hodnotě uhličitanového koeficientu 6,11.

Jakmile nastal přítok vody do vrtané sondy, změnil se hydraulický režim horizontu a nastoupila fáze metamorfosy iontovou výměnou; nastává prudký vzrůst obsahu sodíku za současného pronikavého úbytku vápníku a menšího úbytku obsahu hořčíku (analýsa z 8. 12. 1954); zároveň dochází ke změně poměru hořčík-vápník ve prospěch hořčíku. Průběh procesu lze dokumentovat vzrůstem první

T a b u l k a 5
Změna složení vod při vrtání na lokalitě Dudince

Sledované hodnoty	ŠH-1 6. V. 1954	Pokusné vrtání		
		24. VII. 1954	8. XII. 1954	7. VII. 1955
Odperek Tvrnost	mg/litr (°něm.)	4240 101	3616 148	4360 51
Cl'	579	287	555	588
$\text{SO}_4^{''}$	513	532	549	565
HCO_3'	3098	3015	3108	3025
$\text{Ca}^{..}$	495	698	172	487
$\text{Mg}^{..}$	134	219	117	134
$\text{Na}^+ + \text{K}^+$	941	361	1358	979
S_1	34,2	23,0	34,5	36,4
S_2	%	4,9	—	—
A_1	19,2	—	41,7	18,2
A_2	46,6	72,1	23,8	45,4
$\text{HCO}_3' : \text{Cl}'$	3,04	6,11	3,25	2,99
$\text{HCO}_3' : \text{SO}_4^{''}$	mval/mval	4,44	4,53	4,22
$\text{Mg}^{..} : \text{Ca}^{..}$	0,45	0,51	0,89	0,46
NaHCO_3	mol %	19	0	42
				18

salinity na rovnovážnou úroveň 34,5 % (ŠH-1 má 34,2 %), vznikem první alkalitity, odpovídající téměř 42 mol % bikarbonátu sodného a poklesem tvrdosti na polovinu, t. j. 51° něm. Uhličitanový koeficient nabyl hodnoty 3,25, odpovídá tedy koncentraci zdrojové vody. Dalším průtokem vody sa eluoval sorbovaný sodík až do vyrovnání obsahu sodíku, vápníku a hořčíku v roztoku a v komplexu a voda nabyla složení hlubinné vody pramene ŠH-1 (analysa ze 7. 7. 1955).



Obr. 3. Průběh iontové výměny kationtů při vrtních pracích na lokalitě Dudince.

Změna složení a koncentrace iontů ve vodě odpovídá přesně iontovýměnné síle těchto kationtů na jílových komplexech:

$$\begin{array}{ll} \text{iontovýměnná síla} & \text{Na} < \text{Mg} < \text{Ca} \\ \text{koncentrace ve vodě} & \text{Na} > \text{Mg} > \text{Ca} \end{array}$$

Protože poměr hlavních aniontových složek, které jsou nositeli vyměňovaných kationtů, je trvale konstantní ($\text{HCO}_3 : \text{SO}_4 = 4,65 - 4,44 - 4,53 - 4,22$) je daný produkční pokus jednoznačným důkazem iontové výměny a vzniku natriumbikarbonátních vod touto cestou.

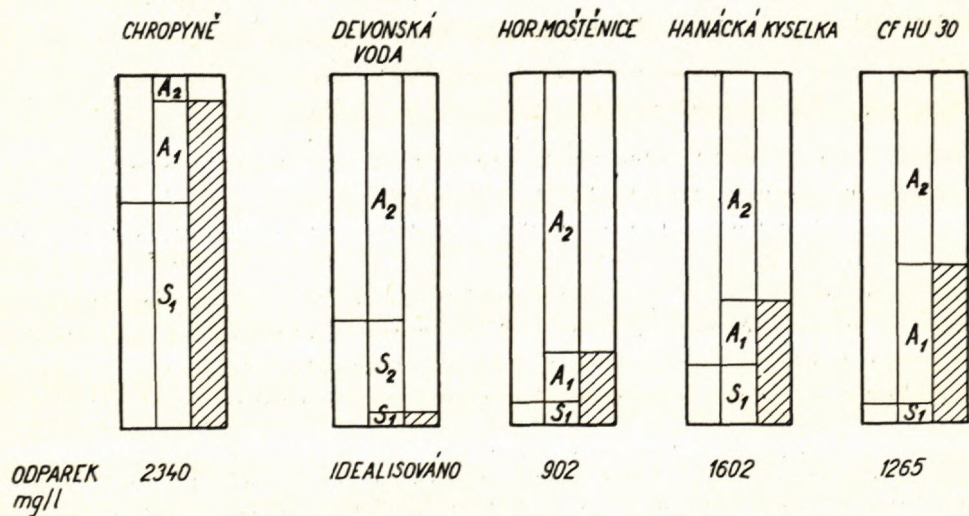
Dokumentovaný proces byl uměle vyvolán v přírodních podmínkách lidským zásahem; máme však řadu příkladů, kde tento proces probíhá zcela samovolně. Jako takový příklad je možno uvést genetické zpracování vod lokalit v širším okolí Přerova. Změny v chemickém složení jsou zřetelně patrný z tab. 6 a obr. 4.

Geologická a geochemická charakteristika: Exhalace kysličníku uhličitého na regionálním zlomu v českém masivu způsobuje ve vodách nadložního devonu vznik bikarbonátně-vápenatých vod (zemité kyselky). Zemité minerální voda na své cestě k povrchu vniká do luterštéckých štěrků na basi miocenu, rozlévá se a podléhá *metamorfoze*. Tato voda

T a b u l k a 6

Změny chemického složení devonských vod stykem s miocenními sedimenty
(širší okolí Přerova)

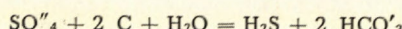
Sledované hodnoty	Ideali- sovaná devonská voda	Hor. Moštěnice	Hanácká kyselka	Cf Hu 30	Chropyně
Odperek mg/litr	—	902	1602	1265	2840
Tvrď (°něm.)	—	39,02	55,5	39,5	9,9
Cl' mg/litr	—	31	185	46	1155
SO ₄ ' } mg/litr	—	11	4	8	4
HCO ₃ ' }	—	1001	1574	1488	1123
Ca.. mg/litr	—	199	279	187	37
Mg.. }	—	49	71	58	20
Na ⁺ + K ⁺ }	—	83	252	271	1104
S ₁ }	4	6,3	17,2	5,6	64,0
S ₂ }	26	—	—	—	—
A ₁ }	—	14,2	18,1	39,9	29,1
A ₂ }	70	79,5	64,7	54,5	6,9
HCO ₃ : Cl' mval/mval	—	4,9	18,7	18,8	0,63
NaHCO ₃ mol %	0	14	18	40	29
NaHCO ₃ mval/litr	0	2,5	5,5	10,3	14,8



Obr. 4. Chemické charakteristiky minerálních vod na lokalitách v širším okolí Přerova.

je v poměrně intensivním pohybu a vytéká jako prameny Hanácké kyselky v Hor. Moštěnicích. Stejný typ vody zůstává však i mimo tyto celkem otevřené cesty. Takové případy byly zachyceny vrtními pracemi v oblastech bez komunikace vod, případně s velmi omezenou komunikací (Chropyně, Cf Hu 30). Podrobné geochemické zpracování viz Rozpravy ČSAV 65/4, řada MPV, str. 33 (1955). Výklad metamorfosy vod těchto lokalit, provedený Zýkou^{56, 58a} nelze přijat jako chemicky správný a domyšlený.

O původu *sodno-bikarbonátních* vod předpokládá Zýk^{56–58}, že jsou produktem biogenní redukce síranů: Cituje (odkaz 58a, str. 88): „Změny chemického složení výsledné vody jsou vyvolány procesy desulfatizačními, probíhajícími činností bakterií redukujícími sulfáty dle rovnice

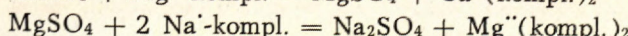
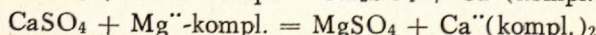
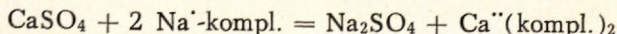


Redukovány jsou SO''_4 ve vodním roztoku a SO''_4 vstupující do vodního roztoku z okolních hornin. Těmito procesy je původní „mořský typ“ vody měněn v typ natrium-bikarbonátní.“

Citované práce neuvádějí základní literaturu o tomto problému, aby bylo patrné kde nalézt chybu. Proces biogenní redukce sulfátů v přírodních vodách probíhá a byl studován Bastinec^{1, 2} a Ginzburg-Karagičevovou¹⁴, u nás Stárkou⁴⁸ (úplný přehled a pokusné studium otázky, viz Spurný a Dostálka⁴⁷). Žádný z autorů netvrdí, že produktem redukce je bikarbonát *sodný*. Síran vápenatý, kterým se obohacují vody, se redukuje na bikarbonát vápenatý. Jeho obsah nemůže stoupat, nýbrž je regulován součinem rozpustnosti $\text{Ca}(\text{HCO}_3)_2$, který je nízký. Je zřejmé, že NaHCO_3 může vzniknout pouze redukcí síranu sodného; jeho existence ve vodách je však druhotná; vzniká právě působením bikarbonátu sodného na síran vápenatý. Nelze tedy přijat výklad, že *natrium-bikarbonátní* typ vody vzniká biogenní redukcí sulfátu (vápenatého). Pokud se týče biogenní redukce samé jako obecného zdroje karbonátů bylo vždy poukazováno, že není jediným a hlavním zdrojem bikarbonátního aniontu a příklady, s nimiž se běžně setkáváme při hlubinné sondáži a při povrchových průzkumech ukazují, že tomu tak je dokonce jen v menších případech. Setkáváme se běžně s vysokým obsahem bikarbonátu sodného ve vodách s obsahem sulfátu bez přítomnosti sirovodíku (Láb-14, helvet, hloubka 1756–60 m, mineralisace 8,7 g soli/litr, z toho 3,4 g HCO'_3 /litr, 0,25 g SO''_4 /litr, H_2S není), naopak s nízkým obsahem bikarbonátů ve vodách s vysokým obsahem sirovodíku a síranu (Lakšárská N. Ves Cf Lv 266, helvet, hloubka 204 m, mineralisace 5,1 g soli/litr, z toho 0,65 g HCO'_3 /litr, 1,2 g SO''_4 /litr a 0,1 g H_2S na litr); jednou je tomu za přítomnosti živic, jindy při jejich absenci.

3. Vytváření sodného typu vod metamorfosou sádrové vody

Podobný sled iontovýměnných reakcí, jaký probíhá mezi bikarbonátně-vápenatou vodou a výměnnými komplexy, probíhá i ve styku s vodou síranově-vápenatou. Při obsahu sodíku v komplexech vzniká pak místo bikarbonátu sodného síran sodný:



Tento proces byl opět studován laboratorně působením nasyceného roztoku síranu vápenatého na horniny mořských sedimentů, získaných z vrtních jader. Výsledky jsou patrný z tab. 7.

T a b u l k a 7
Vytváření sodného typu vody metamorfosou vody síranově-vápenaté

E l u á t mvaly kationtů ze 100 g sedimentu 1 litrem roztoku	Působení roztoku CaSO_4 mval/litr, pH 6,3		
	11,2	5,9	2,9
Ca	14,3	8,9	5,9
Mg	4,3	3,2	3,0
Na	8,1	8,0	7,9
K	0,7	0,6	0,6
pH	7,5	7,4	7,4
Mg : Ca (mval/mval)	0,30	0,36	0,51

Poznámka: Sediment: oligocen, Nesvačilka — 1, hloubka 420 až 470 m; obsah sorbováných iontů v mval/100 g: Ca = 15,3, Mg = 5,0, Na = 15,9, K = 1,7.

I při působení různě koncentrovaného roztoku síranu vápenatého dochází prakticky k úplnému vytěsnění sodíku jakožto iontu, který je vápníkem nejsnáze vytěsnitelný. V případě hořčíku vidíme zřetelné vytěsnění, jehož intensita je závislá na koncentraci iontu vápenatého v roztoku, neboť iontovýmenná síla hořčíku je oproti sodíku podstatně větší. Obě reakce jsou podpořeny rozpustností síranu sodného a hořečnatého.

Postup metamorfosy v přírodních podmínkách může být přetržitý nebo plnuly. Přetržitá přeměna nastává jednorázovou přeměnou síranu vápenatého na síran sodný, takže celkový obsah SO_4^{2-} -iontů zůstane konstantní. V druhém případě dochází k trvalému rozpouštění síranu vápenatého vodou a k přeměně na síran sodný až do vytvoření rovnováhy sodíku v roztoku se sodíkem v komplexu.

Proces přetržité metamorfosy lze dokumentovat různým stupněm metamorfosy sádrových vod na lokalitách Baldovce, Sivá Brada a Spišská Nová Ves (tab. 8, obr. 5).

Geologická charakteristika: Oblast Baldovsko-Spišská je tvořena mesozoikem Braniska a paleogenními sedimenty flyšovými centrálních Karpat. Flyšová část je dělena zlomovým systémem baldovským, na nějž jsou vázány vývěry studovaných vod (směr JZ – SV) na dvě části o různém petrografickém vývoji. Východní část má vývoj pískovcově-slepencový a západní část vývoj slinitý. Mesozoikum je representováno vápenci (případně dolomity) stáří asi středně-triasového.

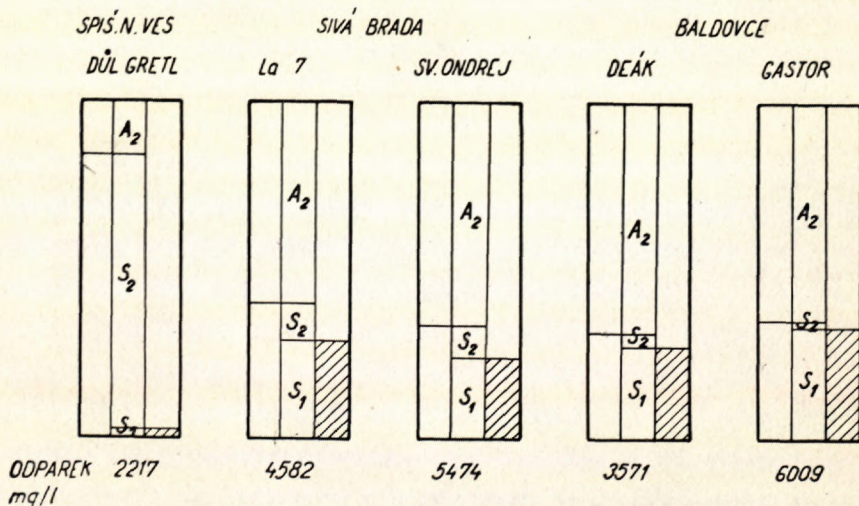
Geochemická charakteristika: Jde o vody vadosní, infiltrované v prostoru Braniska do mesozoika. V středno- nebo spodno-triasových vápencích a dolomitech (werfenské sádrovcové vrstvy) dochází k tvorbě sádrových, případně sádrově-zemitých vod. Tato voda se stýká na zlomovém systému s exhalacemi CO_2 a dále se mineralisuje. Pak vystupuje k povrchu a metamorfosuje se ve flyšových sedimentech. Na povrchu se objevuje v soustavě vývěrů v různém stupni vytvoření sodného typu vody.

Názorně je stupeň pokročilosti iontové výměny možno vyčíst z přehledné tabulky 8. Ve všech případech je obsah iontů SO_4^{2-} celkem konstantní, t. j. 1100 až 1300 mg/litr = 23 až 27 mval/litr vody. Toto množství síranového iontu odpovídá

T a b u l k a 8

Stupně metamorfosy sádrové vody na lokalitě Baldovce – Sivá Brada

Sledované hodnoty	Sádr. voda Spiš. N. Ves důl Gretl	Sivá Brada		Baldovce	
		LA-7	Sv. Ondrej	Deák	Gastor
Odparek mg/litr	2217	4582	5474	3571	6008
Tvrnost (°ném.)	85,5	143,0	207,0	135,8	209,1
Cl'	25	318	301	284	448
SO_4^{2-}	1248	1112	1139	619	1311
HCO_3^-	26	2814	3896	2790	4400
Ca^{++}	536	618	949	665	895
Mg^{++}	46	281	325	184	361
$\text{Na}^+ + \text{K}^+$	12	590	565	421	867
S_1	1,6	28,6	23,7	27,6	33,6
S_2	84,6	11,2	9,9	3,8	2,0
A_1	—	—	—	—	—
A_2	13,8	60,2	66,4	68,6	64,4
Na_2SO_4 mol %	—	5	7	25	23
CaSO_4 mol %	85	11	10	4	2

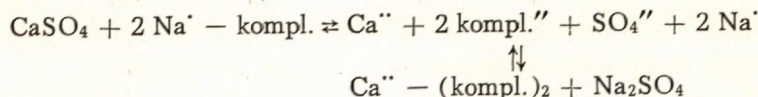


O b r. 5. Chemické charakteristiky minerálních vod spiško-baldovských lokalit.

vídá váhově asi 2 g CaSO₄ na litr, což jest přibližně rozpustnost síranu vápenatého ve vodě. Tím je metamorfosa iontovou výměnou vápníku za sodík prokázána.

Výklad genese vod této lokality, jakož i lokalit s podobným charakterem vod, které podal Zýk a^{58b} (str. 258), není chemicky správný.

Případ plynulé metamorfosy, kdy výměna způsobuje trvalé narůstání síranu sodného v roztoku, nastává, je-li síran vápenatý v prostředí sodných komplexů rozptýlen nebo je trvale přiváděn. Pak dochází k trvalému rozpouštění CaSO_4 a k výměně kationtů. Tento děj probíhá rychle při vyluhování sedimentu proudící vodou (síranově-sodná fáze v artézských bazénech), může však probíhat pozvolna i za podmínek stagnace vody. Možnost tvorby je dána pohyblivostí síranu sodného ve stadiu zrodu, neboť horninové komplexy je možné ve styku s vodou považovat za částečně dissociované:



Takto je třeba posuzovat vznik síranových naftových vod, charakteristických pro hranici helvet-torton v oblasti Břeclav—Brodské—Kúty—Malacky. Přehled typických síranových vod je v tab. 9.

Tabuľka 9

	Břeclav - 13 1960 - 71 m helvet	Břeclav - 5 1883 - 86 m stř. tort.	Brodský - 8 1203 - 05 m torton	Kůty - 3 1231 - 35 m helvet	Závod - 3 1883 - 86 m helvet	Závod - 3 1630 - 32 m helvet	Smolinské - 1 1725 - 31 m helvet	N. Žižkov - 9 1763 - 64 m torton	V. Blítovice 1388 - 92 torton
Odperek mg/litr	22120	11890	9620	7702	11903	14426	9094	10900	12069
Tvrďost (° něm.)	56	13	15	2	46	49	2	10	17
Cl'	5504	5567	4821	2625	3019	5227	3865	4886	6518
SO ₄	6921	1064	994	1676	2189	1106	1350	795	335
HCO ₃	2958	1230	1632	828	2260	2441	1260	1524	972
S ₁	86,0	89,9	85,4	88,8	78,0	81,2	87,9	86,0	91,8
S ₂	-	-	-	-	-	-	-	-	-
A ₁	6,5	7,3	11,1	10,6	10,4	10,4	11,5	12,2	5,2
A ₂	7,5	2,8	3,5	0,6	8,4	8,4	0,6	1,8	2,0
Na ₂ SO ₄ mol %	41	11	11	28	14	5	24	5	3,5
Na ₂ SO ₄ mval/litr	144	22	21	35	46	23	42	17	7

Nejnápadnější rozdíl v odparku a v obsahu síranů je u dvou hlubinných vod z oblasti Břeclav. Změna při poměrně malém hloubkovém skoku je neobvyčejná. Stane se pochopitelnou, jakmile si početně navodíme stav hlubinné vody před začátkem plynulé síranové metamorfosy. Tu dostaneme charakteristiky:

T a b u l k a 10
Složení vod před plynulou síranovou metamorfosou

	Břeclav - 13 1960 - 71 m	Břeclav - 5 1883 - 86 m
Odperek mg/litr	11 100	10 200
S ₁	83,4	88,6
S ₂	—	—
A ₁	13,3	8,4
A ₂	3,3	3,0

Tento proces není vázán pouze na oblasti s výskytem nafty a je možné se s ním setkat i na jiných lokalitách (vrtba Vlachy - 1 v podhalském flyši v Liptovské kotlině; Františkovy lázně - Glauberovy prameny; Mariánské Lázně - Rudolfův pramen a pod.).

II. Vytváření kalcium resp. magnesium-chloridového typu vod iontovou výměnou

1. Uvolňování Mg a Ca trvale posunovanou rovnováhou

Bylo ujasněno, že působením konc. roztoku jednoho iontu na výměnný komplex dojde k uvolňování jiných vázaných iontů. Působíme-li volnou soustavou vápenatých iontů (voda) na vázanou soustavu Ca⁺⁺ a Mg⁺⁺ iontu (hornina), dojde k uvolňování Mg⁺⁺-iontů do roztoku. V případě sedimentu mořského původu je tento proces prokázán pokusně v tabulkách 4, 5, 7, 12 až 14 a skutečností, že vody miocenních sedimentů (naftové vody) mají relativní obsah vápníku a hořčíku vždy posunut ve prospěch hořčíku.

Avšak i horniny, jejichž ionty mají isotropní vlastnosti, mohou být příčinou iontové výměny. Tento proces byl uměle zkoušen působením sádrové vody na dolomit s obsahem 25,2 % MgCO₃. Přírůstek obsahu hořčnatých iontů v roztoku je patrný z další tabulky.

Tento uměle napodobený proces probíhá často v přírodě, zvláště v horninách slovenského mesozoika. Možno jej dokumentovat na lokalitě Trenč. Teplice (obr. 6).

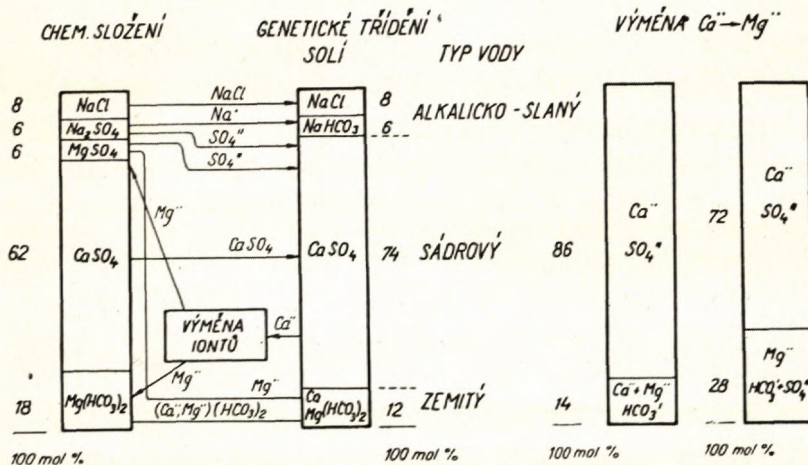
Geochemie pramenů: Minerální podíl vody je složen ze dvou geneticky odlišných složek: alkalicko-slané kyselky sodno-bikarbonátového typu a vody sádrově-zemité. Voda sádrově-

Tabuľka 11

Doba styku dny	Obsah Mg ⁺⁺ v roztoku mval/litr
1	0,07
2	0,35
4	0,78
8	1,20
16	1,42

Poznámka: Poměr voda : hornina = 2 : 1

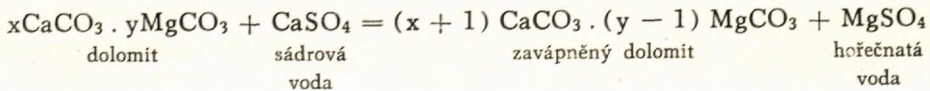
PRAMEN „SINA“



Obr. 6. Průkaz iontové výměny Ca — Mg minerálních vod lokality Trenčanské Teplice.

zemitá vzniká v triasových vápencích a dolomitech (werfen), původ natrium-bikarbonátové vody se klade do flyše nebo jiných mořských sedimentů. Podrobný popis a výklad procesu metamorfosy viz záv. zpráva VÚN, Brno, 12 A/1954, str. 334–61).

V systému dolomit + sádrovec, t. j. $\text{CaCO}_3 + \text{MgCO}_3 + \text{CaSO}_4$, nastane přesun iontů ve směru daném minimálním součinem rozpustnosti. Ten klesá podle řady: $\text{CaSO}_4 \rightarrow \text{MgCO}_3 \rightarrow \text{CaCO}_3$. V roztoku přítomný síran vápenatý je ve zřejmém přebytku, takže nastane vytěšňování hořčenatých iontů podle schematu



Kvantitativní poměry procesu je možno sledovat v grafu 6. Uvážíme-li, že obsah hořčíku v zemité složce vody je asi 30 %, t. j. asi 4 mol % v celé vodě, pak nastalo obohacení vody hořčíkem o 24 mol % při stejném deficitu vápníku.

2. Vytváření vápenato-chloridového typu vod

Nyní je třeba se zabývat soustavou výměnný komplex — mořská voda v podmínkách uzavření vody v horizontu. V prvním stadiu problému uvažujme nej-jednodušší poměry. Výměnný komplex je nasycen pouze vápenatými ionty a v kontaktu je prostý roztok chloridu sodného. V důsledku rovnováhy v soustavě nutno očekávat přechod vápenatých iontů do roztoku, i když vápník má daleko větší iontovýměnnou sílu a je tudíž v komplexu mnohem silněji vázán. Tyto úvahy byly opět laboratorně zkoumány působením roztoku o různé koncentraci NaCl na sedimenty miocenního a oligocenního stáří. Výsledky jsou patrné z tab. 12.

T a b u l k a 12
Vytváření CaCl₂ typu vody metamorfosou vody slané

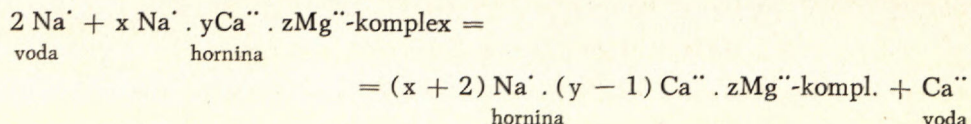
E l u á t ze 100 g sedimentu 1 litrem roztoku	Působení roztoku NaCl mval/litr pH = 5,7		
	512	256	127
Ca	10,9	10,0	9,3
Mg	4,1	5,2	4,3
Na	—	—	—
K	1,4	1,1	0,9
pH	7,3	7,3	7,4
Mg : Ca mval/mval	0,38	0,52	0,46

Poznámka: Sediment je popsán v tabulce 7.

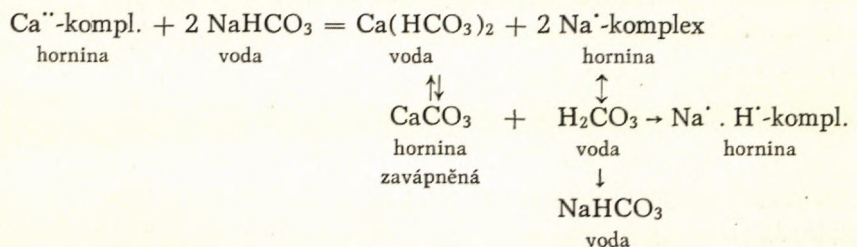
Předchozími pokusy je prokázáno, že v kontaktu s iontovýměnnými komplexy je možné uvolnit silněji vázané ionty (Ca⁺⁺, Mg⁺⁺) ionty slaběji vázanými (Na⁺, K⁺), je-li koncentrace vytěsnějících iontů v okolí komplexu dostatečně veliká. Tento přechod silněji vázaných iontů je podporován nízkým nebo žádným obsahem iontů Ca⁺⁺ v roztoku a přítomností takových aniontů, jejichž vápenaté soli jsou v řadě sloučenin s nejvyšším součinem rozpustnosti nebo alespoň jedním z nejvyšších součinů rozpustnosti. Z toho vyplývá, že velmi záleží nejen na koncentraci a druhu kationtů, které jsou v roztoku při vytváření rovnováhy, nýbrž také na koncentraci a druhu aniontů.

3. Omezená možnost tvorby chlorido-vápenaté vody metamorfosou slaných sodno-bikarbonátních vod

Slané vody sodno-bikarbonátního charakteru obsahují relativně vysoký podíl sodíku a velmi nízký a nebo snížený obsah vápníku. Dalo by se soudit, že je tedy intensita působení sodných iontů dostatečná a obsah vápenatých iontů v roztoku dostatečně nízký, aby mohlo dojít k výměnnému pochodu



V prostředí bikarbonátu sodného však zároveň dochází k rovnováze, jež je regulována součinem rozpustnosti bikarbonátu vápenatého, neboť vápník, uvolněný do roztoku, může být vázán jenom jako bikarbonát vápenatý.



Maximální rozpustnost bikarbonátu vápenatého činí při 20 °C asi 3,3 mval Ca⁺⁺/litr vody s normálním obsahem kysličníku uhličitého. Při zvýšeném obsahu volného kysličníku uhličitého ovšem vzrůstá rozpustnost bikarbonátu vápenatého, takže při nasycení vody kysličníkem uhličitým činí již asi 27,5 mval Ca⁺⁺/litr.

Tabulka 13

Sledování chemických změn při průtoku slané vody sodno-bikarbonátního charakteru jílem

Sledovaná hodnota	Výchozí roztok	Eluát à 300 ml				
		1.	2.	3.	5.	7.
		mval/300 ml				
Ca..	0,0	1,07	0,64	0,48	0,27	0,27
Mg..	0,0	1,45	0,81	0,48	0,27	0,22
Na..	164,3	—	—	—	—	—
K..	0,0	0,43	0,30	0,18	0,11	0,11
Cl'	157,0	—	—	—	—	—
SO ₄ ' ₂	0,0	1,30	0,45	0,25	0,17	0,15
HCO' ₃	7,3	6,83	6,89	7,19	7,25	7,31
SiO' ₃	0,0	0,15	0,14	0,14	0,11	—
S ₁	95,5	96,0	95,8	95,6	95,6	95,6
S ₂	—	—	—	—	—	—
A ₁	4,5	2,6	3,4	4,0	4,0	4,0
A ₂	—	1,4	0,8	0,4	0,4	0,4
pH	8,0	7,4	7,5	7,5	7,8	7,9
Mg : Ca mval/mval	—	1,35	1,26	1,00	1,00	0,82

vody. V podmírkách naftových vod se nesetkáváme s nasycením vody kysličníkem uhličitým, takže rozpustnost bikarbonátu vápenatého bude vždycky hluboko pod udanou maximální hranicí. Taktéž zvýšená teplota potlačuje jeho rozpustnost.

Tento proces byl laboratorně studován působením slané, sodno-bikarbonatní vody na pelitickou složku mořských sedimentů (helvet, oligocen). Přehled výsledků je patrný z tab. 13.

Z pokusů s prvními eluáty je dobře patrна regulace obsahu vzniklého bikarbonátu vápenatého vysrážením karbonátu vápenatého podle rovnice na str. 126. Projevuje se to v úbytku iontu HCO_3^- . Zároveň je vhodné si všimnout, že nastává vytěsnování hořčíku, které se projevuje posunem poměru $\text{Mg} : \text{Ca}$ ve prospěch hořčíku (voda první výluh 1,35; hornina 0,53).

Vzrůst obsahu vápníku touto cestou tedy není u běžných naftových vod sto překročit cca 5–10 mval/litr. Protože k vytěsnění vápníku je třeba vysoké koncentrace sodíku (tedy obsah Na v roztoku v rádu alespoň 10^2 mval Na/litr), představuje maximální obohacení vody vápníkem sotva 5 mol % a projeví se tedy nejvýše 5 % zvýšením druhé alkalinity. Může tedy dojít k tvorbě CaCl_2 – typu vody pouze z vysoce slané vody s nepatrnným obsahem NaHCO_3 . Tento proces je dobře patrný z laboratorních pokusů s vymýváním sedimentů mořského původu konc. roztokem NaCl v koncentraci odpovídající mořské vodě, jak je patrno z tab. 14.

T a b u l k a 14
Sledování chemických změn při průtoku slané vody jílem

Sledovaná hodnota	Výchozí roztok Na Cl	Eluat à 300 ml				
		1.	2.	3.	5.	7.
		mval/300 ml				
Ca..	0,00	1,77	1,34	0,96	0,64	0,64
Mg..	0,00	1,34	0,86	0,59	0,38	0,27
Na..	163,2	—	—	—	—	—
K..	0,00	0,38	0,25	0,18	0,12	0,13
Cl'	163,2	—	—	—	—	—
SO_4^{2-}	0,00	1,06	0,63	0,31	0,10	0,11
HCO_3^-	0,00	0,83	0,71	0,65	0,65	0,71
SiO_3^{2-}	0,00	0,19	0,14	0,16	0,10	0,08
S_1	100,0	98,2	98,6	99,0	99,4	99,4
S_2	0,0	1,2	1,0	0,6	0,2	0,2
A_1	—	—	—	—	—	—
A_2	0,0	0,6	0,4	0,4	0,4	0,4
pH	5,5	7,4	7,5	7,5	7,6	8,0
Mg : Ca mval/mval	—	0,76	0,64	0,61	0,59	0,42

Poznámka: Sediment popsán v tabulce 4.

Ještě obtížnější je vytvoření chlorido-vápenatého typu vody metamorfosou síranových vod. U vod vápenato-síranových je koncentrace vápníku ve vodě natolik zvýšená, že účinně brzdí další uvolňování vápníku z horninového komplexu do vody. U vod síranově sodných, je ovšem uvolnění vápníku možné, při tomto procesu se však v prvé řadě tvoří síran vápenatý, neboť regulaci koncentrace vápníku v dané soustavě řídí iont SO_4^{2-} . Z rozboru poměrů je pak zřejmé, že potřebnou koncentraci vápníku ve vodě nelze iontovou výměnou prakticky dosáhnout.

Proces vytváření chlorido-vápenatého typu vody je tedy možný jen za podmínek *stagnace mořské vody* v kontaktu s neporušenými komplexy, nasycenými ionty v *rovnováze s mořskou vodou*. Je třeba si všimnout, že při tomto ději se zvyšuje sodný charakter horninových komplexů. Dojde-li v geochemické historii vody k jakémukoliv pohybu, který je provázen snížením mineralisace nebo změnou chemického typu vody, dojde k rychlému uvolňování sodíkových iontů do roztoku a ke zvratu chlorido-vápenatého typu vody na typ vody slané sodno-bikarbonátní.

Hlavní důsledky, o nichž se můžeme přesvědčit v existujícím analytickém materiálu, jsou tyto:

a) chlorido-vápenaté vody mají vždy zvýšenou mineralisaci a její charakteristika je: vysoká první salinita, přítomnost druhé salinity, chloridová salinita v naprosté převaze;

b) chlorido-vápenaté vody budou mít pouze nízký obsah uhličitanů nebo síranů a jejich charakteristika bude: nízká druhá alkalita a nepřítomnost první alkality.

Oba důsledky je možno ověřit na rozorech našich typických chlorido-vápenatých vod v tab. 15.

Tím je prokázáno, že k typu vody kalcium-chloridovému nelze dospěti prostým vyluhováním hornin nebo mišením vod.

III. Naše pojetí metamorfosy a vytváření chemického typu vod v sedimentárních horninách

1. Základní fyzikálně-chemické faktory, které určují chemický a fyzikální typ vody

Z úvah a pokusů, které byly provedeny dříve a nyní, vyplývá, že tvoření a přeměna přírodních vod v sedimentárních oblastech se řídí v podstatě těmito základními zákonitostmi:

a) mezi všemi vodními polohami se vytváří dynamická iontová a koncentrační rovnováha²², působící trvale ve všech směrech, v minulosti i současnosti ve směru vyrovnání rozdílů; (vertikální rozsah je předmětem diskuse — Homola, loc. it.);

b) koncentrace a chemický typ aniontové složky vod je regulován součinem rozpustnosti solí přítomných kationtů (Valjaško^{54, 55});

c) koncentrace a chemický typ kationtové složky vod je regulován iontovou rovnováhu v soustavě voda-hornina.

T a b u l k a 15
Chlorido-vápenaté typy vod

Lokalita	Odparek g/litr	Cl ⁻	HCO ₃ ⁻	SO ₄ ²⁻	S ₁	S ₂	A ₁	A ₂
		mval/litr			%			
<i>Miocen</i>								
Báhoň — 1								
torton 1990—93 m	31,2	477,1	30,1	1,1	81,6	12,4	—	6,0
Báhoň — 1								
torton 1971—73 m	29,9	458,9	26,5	1,5	87,2	7,4	—	5,4
Láb — 30								
torton 1557—62 m	29,6	528,3	1,8	2,4	92,4	7,2	—	0,4
Jakubov — 11								
torton 1653—55 m	27,2	437,6	9,9	3,0	93,6	4,2	—	2,2
Láb — 13								
torton 1489—90 m	25,2	414,0	10,6	1,6	95,6	2,0	—	2,4
Darkov — 3								
torton 150 m	25,0	416,9	4,2	0,2	88,4	10,6	—	1,0
Láb — 30								
torton 1470—72 m	21,7	401,8	6,9	1,2	95,8	2,4	—	1,8
Báhoň — 1								
torton 1163—70 m	21,2	351,0	5,9	0,1	91,2	7,2	—	1,6
Nesvačilka — 1								
helvet 604—608 m	14,9	240,0	11,5	4,9	93,0	2,6	—	4,4
<i>Paleogen (flyš)</i>								
Poddvorov — 6								
flyš 1119—1200 m	14,0	250,0	3,2	2,6	87,8	11,0	—	1,2
<i>Oligocen</i>								
Nesvačilka — 1								
1553—57 m	48,5	792,1	3,3	0,7	77,2	22,4	—	0,4
Nesvačilka — 1								
1462—67 m	37,3	640,0	4,5	0,8	85,2	14,2	—	0,6

První zákonitost vede k pozvolnému stírání rozdílů mezi vyhraněnými typy vod a je příčinou vzniku horizontálního a vertikálního zónování vod. Druhá zákonitost určuje pořadí složek, kterými se obohacuje solný obsah vody při *vyluhování*, stupeň pozvolného mineralisování a změny chemického složení, které z vyluhování plynou. Hraje dominantní úlohu při změnách aniontové složky přítomných solí. Třetí zákonitost určuje *směr iontové výměny*, která nastává při určitém chemickém složení a mineralisaci vody v důsledku styku s horninou. Hraje dominantní úlohu při změnách kationtové složky přítomných solí.

2. Cyklus metamorfosy vod v sedimentárních horninách

Hlavní složky sedimentárních hornin, které ovlivňují chemické vlastnosti cirkulujících nebo uzavřených vod, jsou uhličitan vápenatý a hořečnatý, síran vápenatý, křemičitan vápenatý, chloridy alkalií a různé vodnaté křemičitany hlinité (krystalované: zeolity, jílovité minerály; amorfni: koloidní jílové) a organické substance, které vážou proměnná množství hlavních kationtů Ca^{++} , Mg^{++} , Na^+ a K^+ . Seřazeny podle součinu rozpustnosti mají pořadí (podle vzestupné rozpustnosti):

T a b u l k a 16
Typy solí obsažených ve vodách podle součinu rozpustnosti

Sloučenina	Rozpustnost mg/litr	Dominantní aniont
$\text{Ca}_3(\text{PO}_4)_2$ CaSiO_3 MgSiO_3 CaCO_3 MgCO_3	10 až 10^2	$\text{SiO}_3^{''}$
$\text{Ca}(\text{HCO}_3)_2$ $\text{Mg}(\text{HCO}_3)_2$	10^2 až 10^3	HCO_3'
CaSO_4 NaHCO_3	10^3 až 10^4	SO_4^- (HCO_3')
NaCl Na_2SO_4	10^4 až 10^5	Cl^- (SO_4^-)
MgSO_4 CaCl_2 MgCl_2	více než 10^5	Cl^-

Vzájemné poměry při vyluhování jsou celkem jasné a jsou dány citovanými pracemi V a l j a š k o v ý m ⁵⁵ a C h e b o t a r e v o v ý m ¹⁹. Naše nálezy tyto vývody potvrdily. Neplatí to však o metamorfotických procesech, které prosté rozpouštění nebo míšení a regulace chemického charakteru součinem rozpustnosti nestačí vyložit. Abychom mohli pochopit dynamickou metamorfosu vody při jejím pohybu (zvláště v prostředí sedimentů), je třeba přisoudit daleko závažnější úlohu iontové rovnováze a iontové výměně. Jakmile se na vodu a horninu začneme dívat jako na heterogenní soustavu, schopnou vzájemné výměny látek a na samotnou horninu jako na přírodní měnič iontů, pak je metamorfosa vod při styku s horninou důsledkem chromatografického děje na měničích iontů. Tento měnič iontů (výměnné komplexy sedimentárních hornin) může být vápenatý, sodný, hořečnatý, amonný, kyselý nebo vápenato-sodný, vápenato-hořečnatý, sodno-kyselý, obecně smíšený.

Cyklus metamorfosy při vzniku a přeměně vody má podle našeho pojetí dvě hlavní větve. Každá větev má svůj logický průběh změny chemického typu vody,

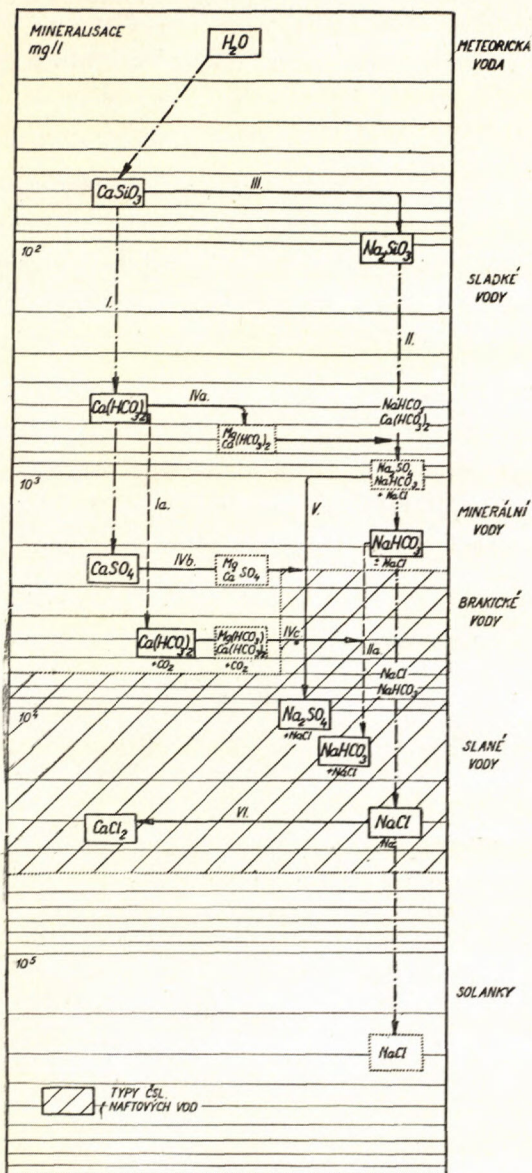
regulovaný v podstatě součinem rozpustnosti hlavních složek příznačných pro danou větev. Avšak přechody mezi jednotlivými větvemi jsou způsobeny chromatografickou výměnou v heterogenním systému voda-hornina. Bez těchto pochodů není možno vysvětliti existenci a vznik důležitých skupin přírodních vod, jakož i výskyt dominantního aniontu, na př. ve dvou stupních mineralisace (na př. bikarbonátní typ dominuje při celkové mineralisaci 588–800 mg/litr a 1200 až 3000 mg/litr nebo síranový typ dominuje při celkové mineralisaci 1500 až 2500 mg/litr nebo při mineralisaci až 10 000 mg/litr.)

Tyto rozváděné názory jsou znázorněny na obr. 7 graficky. Vystihují cyklus tvorby a metamorfosy vod převážné části sedimentárních oblastí na území ČSR, hlavně třetihor a druhohor. Bezpochyby budou platné pro celou oblast alpsko-karpatské soustavy.

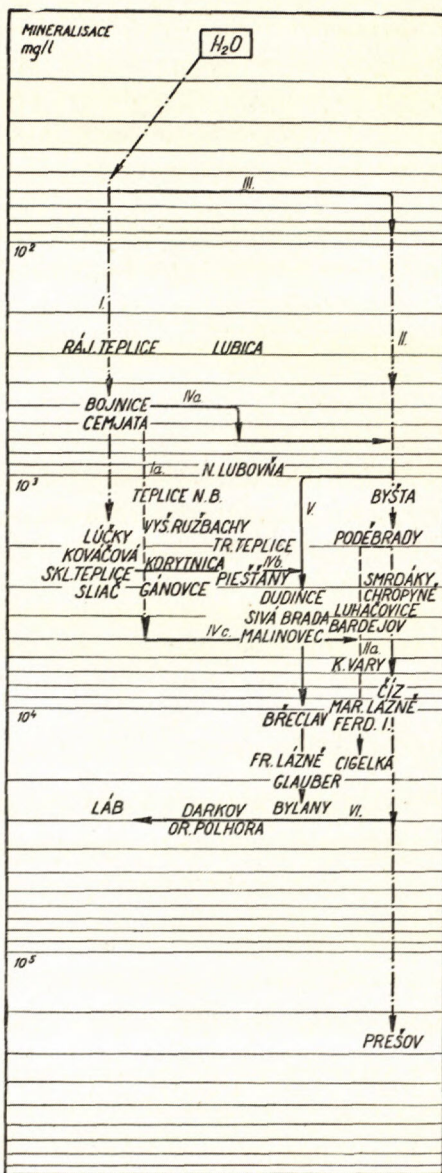
Z grafu je zřejmý základní charakter vody, který se tvoří prostým vyluhovaním v horninách bez výměnných komplexů. Je označen čerchanou čarou I. Tento cyklus jmenujme *vápenatým*. Končí typem síranově-vápenaté vody (sádrové), tedy nikoliv typem chlorido-vápenatým (V a l j a š k o). Poněkud zvláštní, avšak principiálně stejné postavení mají vody s vysokým obsahem kysličníku uhličitého. Proces je označen Ia. Hojně se vyskytuje v oblastech s hlubinnými exhalacemi kysličníku uhličitého. Vápenatý cyklus metamorfosy je v našich geologických podmínkách neobyčejně vyvinut v oblastech mesozoických sedimentů na Slovensku; (sr. obr. 7 a 8) setkáváme se s ním však i v českých zemích. Podle pokročilosti tohoto procesu můžeme sestavit některé naše lokality minerálních vod takto: Cemjata, Hodějov, Rajecké Teplice, Turč. Teplice, Bojnice, Vyhne, Brusno, Teplice n. Bečvou, Králová, Sv. Ján, Sklenné Teplice, Lúčky, Korytnice, Sliač, Gánovce atd.

Druhá větev grafu je označena čerchanou čarou II. a představuje přeměnu typů vod při vyluhování v oblastech sedimentárních hornin mořského (slaného) původu. Končí typem maximálně mineralisované vody (nasycený roztok NaCl). Tento cyklus jmenujme *sodným*. Současně stejným směrem probíhá linie IIa, kterou vyznačuje opět vysoký obsah kysličníku uhličitého. Typ II. nalezneme v přírodě v postupně pokročilejším stadiu na těchto lokalitách: Byšta, Smrdáky, Chropyně, Číž až prešovské solanky. Typ IIa. je velmi častým a najdeme jej: Velaty, Suchá Loz, Poděbrady, Sadská, Herlany, Luhačovice, Cigelka atd. (sr. obr. 7 a 8).

Dále jsou v grafu vyznačeny další vyhnaně typy, s kterými se setkáváme v přírodě v sedimentárních horninách a jejichž existenci nejsme s to vysvětliti ani vyluhováním ani míšením. V grafu jsou označeny plnými čarami III, IVa, b, c, V a VI. Vznik se však stane logickým, jakmile jej považujeme za důsledek iontové rovnováhy. Přechod III probíhá v povrchových vrstvách sedimentů mořského původu (na př.: karpatský flyš). Přechod IVa možno najít na lokalitách: Nová Lubovňa, Tučín, Hor. Moštěnice, přechod IVb a c na př.: Piešťany, Trenč. Tepli-



Obr. 7. Grafické znázornění cyklu metamorfosy vod v sedimentárních oblastech.



Obr. 8. Promítnutí některých význačných minerálních vod našich lokalit do grafického znázornění cyklu metamorfosy vod.

ce, Fatra-Zaturčie, Dudince, Sivá Brada, Bušince a pod. Přechod V. je možno zaznamenat na lokalitách Břeclav, Kúty, Mar. Lázně, Františkovy Lázně. Přechod VI. lze dokumentovat na lokalitách: Darkov, Oravská Polhora, Solivar, Báhoň, Nesvačilka a pod. (srov. opět obr. 7 a 8).

V přírodě nacházíme řadu přechodných typů vod, které jsou v různém stupni směsi dvou i více základních typů vod. Zařazením vod z různých lokalit do tohoto grafu lze odvodit pro lokalitu řadu příznačných procesů a získat často i nový náhled na původ této vody (Karlový Vary, Fatra, Herlany a pod.).

Závěry a důsledky

Z předloženého materiálu a zjištění možno abstrahovat tyto základní zákonitosti, kterými se řídí tvorba a přeměna přírodních vod v sedimentárních oblastech:

1. Mezi všemi vodními polohami se vytváří dynamická iontová a koncentrační rovnováha, působící trvale v minulosti i v současnosti ve směru vyrovnání rozdílů.
2. Koncentrace a chemický typ aniontové složky vod je regulován součinem rozpustnosti solí přítomných kationtů (V al j a š k o).
3. Koncentrace a chemický typ kationtové složky vod je regulován iontovou rovnováhou v soustavě voda-hornina.

Z průkazného materiálu vyplývá pak několik základních důsledků:

1. Výsledky v široké míře potvrzují Mahelův názor na vadosní původ většiny slovenských minerálních vod a ukazují, že je tento původ obecnější. Na principu iontové dynamické rovnováhy je třeba revidovat názory na původ řady vývěrů minerálních vod (na př.: Karlový Vary, Františkovy lázně, Fatra-Zátorčie, Zaječice, Poděbrady, Herlany ap.).
 2. Studovat obsah sorbovaných iontů v pelitické složce sedimentů jako možnou novou pomůcku pro paleogeografickou rekonstrukci složení a salinity sedimentačního prostředí.
 3. Nepodnikat moderní vrtání na minerální prameny (balneologické účely) bez hydrogeochemické služby.
 4. Nezávislost procesů metamorfosy na přítomnosti kysličníku uhličitého ve většině minerálních vod na území Slovenska i v českých zemích ukazuje, že původ většiny kysličníku uhličitého v těchto vodách není biogenní a je třeba jej přičíst vlivu mladého vulkanismu na karbonátní horniny (většinou druhohorní). Ve shodě s tím se kysličník uhličitý vyskytuje ve větších kvantech na poruchách v cenných sedimentačních pánevích, nikoliv v oblastech, kde vulkanity tvoří povrch země.
- Na laboratorním ověřování výměnných procesů spolupracovali Ing. M. Michaliček a Ing. R. Květ, za což jim děkuji; Ing. Michaličkovi děkuji také za kritické pročtení práce.*

LITERATURA

- [1.] Bastin E. S.: Přítomnost bakterií redukujících sírany v naftových vodách. *Science* 63, 21 (1926). — [2.] Bastin E. S. a Greer F. E.: Doplňující data o bakteriích redukujících sírany v horninách a vodách Illinoiských naftových polí. *Bull. Am. Assoc. Petrol. Geol.* 14, 153 (1930). — [3.] Buneev A. N.: O původu hlavních typů mineralisovaných vod v sedimentárních horninách. *Dokl. Akad. Nauk SSSR* 45/6 (1944). — [4.] Dzens-Litovský A. I.: Původ, tvoření a migrace přírodních vod a vod ložisek solí SSSR. *Dokl. Akad. Nauk SSSR* 46/6 (1945). — [5.] Duben V.: Minerální vody v karpatské části jihovýchodní Moravy. *Zprávy veř. služ. techn.* 1940. — [6.] Dursov S. A.: Vztah mezi povrchovými vodami síranovými a alkalickými vodami hlubinnými. *Dokl. Akad. Nauk SSSR* 77, 641 (1951). — [6a] Dursov S. A. a Gorbenko F. P.: Příklad ostrého odlišení (stratifikace) minerálních vod v pažených studnách. *Dokl. Akad. Nauk SSSR* 93, 109 (1953). — [7.] Filipov K. V.: Gravitační hypotéza tvoření chem. složení hlubinných vod v tabulových depresních oblastech. *Izd. AN SSSR. Moskva* 1956. 320 lit. — [8.] Foster M. D.: Výměna kationtů a redukce sulfátů v slaných vodách podél Atlantiku a v Gulf Coast. *Bull. Am. Assoc. Petrol. Geol.* 28/5 (1942). — [9.] Původ vysoko natrium-bikarbonátních vod na pobřeží Atlantiku a Gulf Coast. *Geochim. cosmochim. Acta* 1, 33 (1950). — [10.] Friedl K.: Hlubinné vody Gösting. Erdöl u. Kohle 9, 505 (1956). — [11.] Gartner O.: O geologickém původu moravsko-slezských minerálních pramenů. *Čas. vlast. spol. musej., Olomouc*, 12, 1 (1929). — [12.] Gapon F. N.: Teorie výměny adsorpce na hornině. *Ž. obšč. Chim.* 3, 144 (1933). — [13.] Gatalaskij M. A.: Použití hydrogeologie při hledání nových naftonosných oblastí. *Neft. Choz.* 34/11, 51 (1954). — [14.] Ginzburg-Karagičeva T. L.: Mikrobiologičeskoje issledovaniye sernosolevych vod Apšerona. *Azerb. neftj. choz.* 6—7, 30 (1926). — [15.] Glogowski J. J. a Szypulowa K.: Hydrochemická prospekce. *Nafta* 8, 145 (1952). — [16.] Heide F.: Geochemie sladkých vod. *Chemie d. Erde* 16, 3 (1952). — [16a] Homola Vl.: Zprávy o geologických výzkumech. *ÚÚG* 1955. — [17.] Hyňie O.: Nové jímání minerální vody v lázních Dudincích u Levic na jižním Slovensku. *Univ. Carolina 2/geologica* 1, 1 (1956). — [18.] Chebotarev I. I.: Hydrologické a thermální závislosti při výskytu nafty. *Bull. Am. Assoc. Petrol. Geol.* 36, 688 (1952). — [19.] Metamorfosa přírodních vod v povrchové zóně větrání. *Geochim. cosmochim. Acta* 8, 22, 137 a 198 (1955). — [20.] Ignatovič N. K.: Pravidla rozdělení a tvoření hlubinných vod. *Dokl. Akad. Nauk SSSR* 45/3 (1944). — [21.] Janák J.: Klasifikace čs. naftových vod. *Archiv VÚN-Brno SACH* 55 (1952); Práce ústavu pro naftový výzkum č. 5, 29 (1955). — [22.] Teorie iontové a koncentrační rovnováhy hlubinných vod čs. části vnitroalpské pánve. *Archiv VÚN-Brno, SACH* (1953); Práce ústavu pro naftový výzkum č. 4, 5 (1955). — [23.] Chromatografická plynová prospekce z hlubinných vod. *Archiv VÚN-Brno, SACH* 82 (1953); *Věstník ÚÚG* 30, 197 (1955). — [24.] Janatjeva O. K.: Působení vodních roztoků síranu vápenatého na dolomit v přítomnosti kysličného uhličitého. *Dokl. Akad. Nauk SSSR* 101, 841 (1955). — [25.] Rozpustnost systému $\text{CaCO}_3 - \text{MgCO}_3 - \text{H}_2\text{O}$ při různých teplotách a parciálních tlacích kysličného uhličitého. *Ž. Obšč. Chim.* 87, 234 (1955). — [26.] Jenny H.: Jednoduchá kinetická teorie iontové výměny. *J. Phys. Chem.* 40, 501 (1936). — [27.] Judson E. a Osmond J.: Radioaktivita hlubinných a povrchových vod. *Am. J. Sci.* 253, 104 (1955). — [28.] Kaveev M. S.: Problémy vyhledávání nafty metodami hydrogeochemickými. *Dokl. Nauk. Akad. SSSR* 61, 329 (1948). — [29.] Kazmina T. I.: Koeficient B/Cl ve vodách naftových ložisek. *Dokl. Akad. Nauk SSSR* 77, 301 (1951). — [30.] Krishnamoorthy C. a Overstreet R.: Pokusné přezkoušení iontovýmenných vztahů. *Soil Sci.* 69, 41 (1956). — [31.] Kuznecov A. M.: Sirovodíkové vody permanského útvaru antiklinály Polasna-Krasnokamsk. *Dokl. Akad. Nauk*

SSSR 39, 151 (1943). — [32.] Změna složení hlubinných vod permu a karbonu a jejich směsí. Dokl. Akad. Nauk SSSR 51, 707 (1946). — [33.] Kuznecov A. M. a Novikov S. N.: Karbonské vody Polansko-Krasnokamské antikliny. Dokl. Akad. Nauk SSSR 36, 61 (1943). — [34.] Lane A. C.: „Connate“ vody při hlubinné cirkulaci. Geol. Soc. Am. Bull. 1919 (1941). — [35.] Magistad O. C., Fireman M. a Marby B.: Srovnání rovníc pro výměnu kationtů na základě zákona o působení hmoty. Soil. Sci. 47, 371 (1944). — [36.] Mahel M.: Minerálne prameňe Slovenska so zreteľom na geologickú stavbu. Práce Št. úst. geol., Bratislava 1952. — [37.] Marinov N. A.: Svislé zonální rozšíření podzemních vod v severozápadní části Střední Asie. Dokl. Akad. Nauk SSSR 40/8 (1948). — [38.] Plummer F. B.: Hlubinné vody a jejich role při akumulaci ropy. Bull. Geol. Soc. Am. 52, 2032 (1941). — [39.] Prochopov S. P. a Kačugin J. G.: Hydrogeologické výzkumy při prospekci ložisek. Gosgeoltechizdat, Moskva 1955. — [40.] Renick B. C.: Výměna kationtů silikátů v hlubinných vodách v Monatně. US-Geol. Surv. Water-Supply Paper 520-D (1926). — [41.] Sage J. F.: Rozbory vod pomáhají identifikovat formace. World Oil 140, 75 (1955). — [42.] Savčenko P. S.: Obsah jodu v hlubinných vodách povodí řeky Sever. Noděc. Dokl. Akad. Nauk SSSR 99, 293 (1954). — [43.] Schmöller A.: Geochemie jodových přírodních solanek. Chemie d. Erde 17, 193 (1955). — [44.] Schöller H.: Geochemie hlubinných vod. Journ. Inst. fr. Petrol 10, 181, 212, 507, 823 a 671 (1955) (lit. 871). — [45.] Sitter de L. U.: Diagenese naftových vod. Bull. Am. Assoc. Petrol. Geol. 31, (1947). — [46.] Spiro N. S., Gramberg I. S. a Wowk C. L.: Genetická klasifikace přírodních vod. Dokl. Akad. Nauk SSSR 93, 531 (1953). — [47.] Spurný M. a Dostálek M.: Mikrobiologie hlubinných vod naftonadějných oblastí. Práce ústavu pro naft. výzkum č. 29, SNTL 1956. — [48.] Stárka J.: Nové poznatky o mikrobiální redukci sulfátů. Biol. listy 32, 108 (1951). — [49.] Šagójanc S. A.: Všeobecné podmínky tvorjení hlubinných vod. Dokl. Akad. Nauk SSSR 59, 1 (1948). — [50.] Šustef N. D.: Vymizení sulfátů z vod devonských ložisek. Neft. Choz. 12, 36 (1954). — [51.] Tagajeva N. V.: Některé geochemické typy hlubinných vod. Izv. Akad. Nauk SSSR 1, 69 (1954). — [52.] Tagajeva N. V. a Tichomirova M. M.: Geochemie vod obsahujících chloridy Mg a Ca. Dokl. Akad. Nauk SSSR 96, 121 (1954). — [53.] Telegdi-Roth K.: Chemické složení vod získaných při hledání a těžbě nafty a plynu v Maďarsku. Bull. Soc. Geol. Hung. 80, 17 (1950). — [54.] Valjasko M. G.: Úloha rozpustnosti při tvorbě chemického složení přírodních vod. Dokl. Akad. Nauk SSSR 99, 581 (1954). — [55.] Hlavní chemické typy vod a jejich tvorjení. Dokl. Akad. Nauk SSSR 102, 315 (1955). — [56.] Zýka V.: Ke geochemii a hydrochemii minerálních vod na Přerovsku. Sborník SLUKO I/A, 89 (1954). — [57.] Zýka V. a Juránek J.: Příspěvek k hydrogeochemii minerálních vod severní a severozápadní části Prešovského kraje. Práce ústavu pro naftový výzkum, č. 21, 81 (1956). SNTL. — [58.] Zýka V.: Kandidátská disertace, Brno 1957. Obsahuje práce: a) Geochemie minerálních vod oblasti Šafárikovo-Lučenec. Geol. práce. Zprávy 3, 79 (1955). — b) Hydrogeochemická prognosa naftonadějnosti ČSR. Geol. sborník 7, 250 (1956); c) spolu s Komíkem E.: Hydrogeochemie minerálních vod Slovenska. Geol. sborník 7, 227 (1956). — [59.] Příspěvek k hydrogeochemii Moravy a Slezska. Přírodověd. sbor. ostrav. kraje 17, 581 (1956).

DIE AUFGABE DES IONENGLICHGEWICHTES BEI BILDUNG UND METAMORPHOSE VON NATURWÄSSERN IN DEN SEDIMENTATIONSGEBIETEN

Die Hydrochemie erzwingt sich im Komplex der geologischen Untersuchungsarbeiten eine dauernde Stellung als ein Teil der Lagerstättenprospektion von Mineralrohstoffen (Bitumen, Salz, Mineralwässer usw.). Wie wir die Möglichkeit festzustellen haben, stösst man bei den Untersuchungs- oder Förderungsbohrungen in den Sedimentationsgebieten im Prinzip an zwei Typen von Tiefwässern: Natriumtypus und Kalzium- (Magnesium) typus. In der Literatur findet man allmählich gesteigerte Aufmerksamkeit, die den Fragen des Verhältnisses der Wässer zu ihrer Genesis, ferner zum Vorkommen und Suche nach den Bitumenlagerstätten und endlich zu den hydrogeologischen Studien gewidmet wird.

Durch die Verarbeitung des analytischen Materials über Tiefwässer gelangte man zur Ansicht, dass zwischen einzelnen Wasserlagen das Ionen- und Konzentrationsgleichgewicht entsteht, das sich durch gegenseitige Beeinflussung der chemischen Zusammensetzung von Wässern äussert. Nun werden diese Gedanken ferner für das System Wasser-Gestein entwickelt.

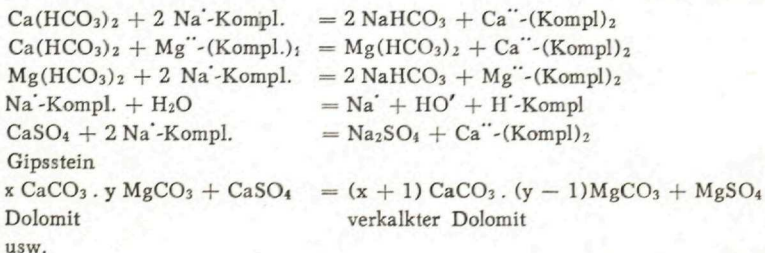
Bei der Ablagerung der Meeressedimente kommt es zur intensiven Berührung der Stoffe kolloidalen Charakters mit dem Meerewasser. Dieser Vorgang wird von Sorption und Ionenaustausch zwischen dem Sediment und Wasser begleitet. Ionenaustauschkomplexe der Sedimentengesteine tragen also den Abdruck der chemischen Zusammensetzung des Wassers, in dem sie entstanden, oder mit dem sie in Berührung kamen.

Prinzipiell kann für die Beschreibung des Gleichgewichts das Guldberg-Waag'sche Gesetz benutzt werden

$$K = \frac{(A)^+ \cdot (B)^-}{AB}$$

wo (A)⁺ das dissozierte Kation im Wasser,
 (B)⁻ den dissozierten Komplex und
 (AB) den undissozierten gesättigten Komplex bedeutet.

In der Natur kommt es dann zum Austausch zwischen den Meereskomplexen (Natriumkomplexen) und verschiedenen Wässern (besonders von vadoser Herkunft):



Alle diese Prozesse wurden im Laboratorium experimentell und während der Bohrarbeiten in der Praxis bestätigt.

Aus den Erwägungen und durchgeföhrten Versuchen erfolgt, dass die Bildung und Umwandlung der Naturwässer in den Sedimentationsgebieten sich im Prinzip nach foldenden Gesetzmäßigkeiten richtet:

1. Zwischen allen Wasserhorizonten bildet sich ein dynamisches Ionen- und Konzentrationsgleichgewicht, das dauernd in der Vergangenheit, sowie in der Gegenwart in der Richtung des Ausgleichs wirkt.

2. Die Konzentration und der chemische Typus der Anion-Komponente der Wässer wird von der Löslichkeit der Salze von anwesenden Kationen geregelt (Valjasko).

3. Die Konzentration und der chemische Typus der Kationenkomponente wird im System Wasser-Gestein geregelt.

Die erste Gesetzmäßigkeit führt zum allmählichen Abwischen der Unterschiede zwischen ausgeprägten Wassertypen und ist die Ursache der Entstehung der horizontalen und vertikalen Wasserzonierung. Die zweite Gesetzmäßigkeit bestimmt die Komponentenfolge, in welcher der Salzinhalt, sowie die Stufe der allmählichen Mineralisation und Änderungen chemischer Zusammensetzung beim Auslaugen bereichert werden. Die dritte Gesetzmäßigkeit bestimmt die Richtung des Ionenaustausches, der bei bestimmter chemischer Zusammensetzung und Mineralisation von Wasser infolge der Berührung mit dem Gesteine entsteht.

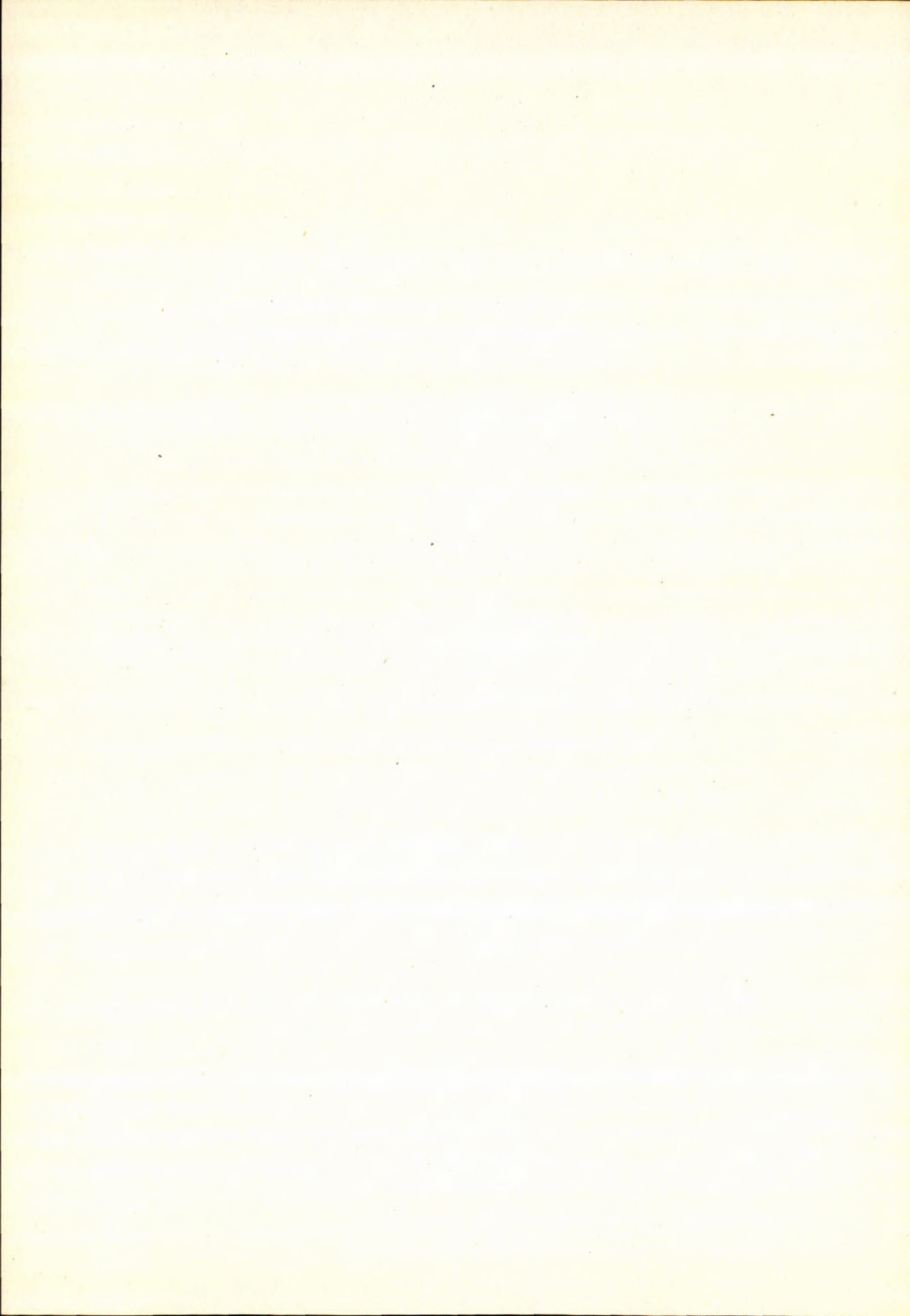
Der Zyklus der Bildung und Umwandlung der Untergrundwässer ist auf Abb. 7 graphisch dargestellt.

Der Wassercharakter, der sich durch die einfache Auslaugung in den Gesteinen ohne Austausch-Komplex bildet, ist mit Linie I. dargestellt. Dieser Zyklus wird der *Kalzium-Zyklus* genannt. Er endet mit dem Typus des Kalzium-Sulfat-Wassers (Gipswasser), also nicht mit dem Typus des Kalzium-Chlorid-Wassers (Valjasko). Eine etwas besondere, aber im Prinzip die gleiche Stellung haben die Wässer mit hohem Inhalt von Kohlendioxyd Ia. Der Kalzium-Zyklus ist in den Gebieten des Mesozoikum im ganzen alpin-karpathischen System (jedoch auch im kaukasischen) besonders entwickelt.

Die zweite Abzweigung II., sog. *Natrium-Zyklus*, stellte den Verlauf der Mineralisation und der Änderungen in den Gebieten der Sedimentgesteine ozeanischer (salziger) Herkunft vor. Sie endet mit dem Typus des maximal mineralisierten Salzwassers. In der Anwesenheit von freiem CO₂ verläuft der Prozess IIa.

Ferner sind mit vollen dicken Linien die ausgeprägten Wassertypen III, IVa, b, c, V und VI dargestellt, denen wir in der Natur in den Sedimentgesteinen begegnen und deren Existenz wir nicht im Stande sind, mittels freier Auslaugung noch Mischung zu erklären.

In der Natur befindet sich eine ganze Reihe von Übergangstypen der Wässer, die in verschiedenen Mischungsstadien von zwei und mehr Grundtypen von Wässern auftreten. Durch ihre Einreihung in diesem graphischen System kann man die charakteristischen Prozesse ableiten und durch die Ausklärung der Genesis dieser Wässer manchmal eine neue Ansicht über die Herkunft dieses Wassers gewinnen. In der graphischen Darstellung sind die hauptsächlichsten Beispiele der Mineralwässerlokalitäten in der ČSR im Sinne der Ionengleichgewichtstheorie diskutiert (Abb. 8).



VÁCLAV ŠPIČKA

PŘÍSPĚVEK K PROBLÉMU STANOVENÍ HRANICE TORTON-HELVET V ČS. ČÁSTI VÍDEŇSKÉ PÁNVE

(*Německé resumé*)

Hranice torton-helvet byla v čs. části Vídeňské pánve kladena na spodní hranici vrstev s lanzendorfskou faunou. Místy byly navrtány basální tortonské vrstvy, tvořené štěrky, slepenci a pískovci. Důležité je zjištění pestře zbarveného slínito-jílovitého tmelu v detritickém slepenci u Břeclavě (T. Buday 1954, Z. Adam 1956). V oblasti Brodské, Smolinské, Borský Sv. Jur, Závod byly v podloží tortonu navrtány vrstvy s netypickou faunou, převážně v pestrého vývoji, které byly zařazeny již do helvetu. T. Buday (1954) upozornil na možnost jejich případného spodnotortonského stáří, později je však řadil do 4. pásmu svrchního helvetu. Otázka stratigrafické příslušnosti těchto vrstev nebyla dále podrobně sledována.

K problému stanovení hranice torton-helvet bylo vrtní činností v oblasti Studienka a Brodské získáno mnoho nových údajů, které umožňují nové zhodnocení stratigrafické příslušnosti vrstev s netypickou faunou, v podloží mikrofaunisticky prokázaného spodního tortonu.

V oblasti Studienka byl zjištěn tento vývoj spodního tortonu: svrchní lagenidový torton byl navrtán v mocnosti cca 350 m. Lithologicky zde můžeme rozlišit dva oddíly:

1. *spodní oddíl*, mocný cca 200 m, je tvořen šedými slínity jíly s hojným uhelným detritem;

2. *svrchní oddíl*, mocný cca 150 m je tvořen pestrými, šedozeleně a rudo hnědě skvrnitými slínity jíly s vápnitými konkrecemi, s vložkami písků.

Pestrý vývoj nejvyššího spodního tortonu můžeme paralelisovat s pestrými vrstvami svrchní lagenidové zony, zjištěnými v oblasti Moravského Žižkova.

Spodní lagenidový torton, mocný cca 330 m, je tvořen převládajícími světle-šedými až šedozelenými slínity jíly až pískovci různé zrnitosti, které se stří-

dají s polohami šedozelených a rudohnědých šedozeleně skvrnitých slabě slinitých jílů až jílovčů. Ojediněle byly zjištěny slepence s dobře opracovanými valouny a písčitým tmelem, vložky bělavé šedých hrubozrnných houževnatých vápnitých pískovců s kalcitovými žilkami a šedé slinité jíly a jílovce. Úklony vrstev se pohybují v rozmezí od 2 do 8°. Faunisticky jsou vrstvy prakticky sterilní, pouze ve vyšší části byly zjištěny vložky šedého slinitého jílu s bohatou lanzendorfskou faunou. Při lithologické jednotnosti celého souvrství můžeme celý komplex přiřadit ke spodnímu tortonu. Správnost tohoto zařazení je podepřena též tím, že v nejnižší části souvrství byl zjištěn slepenec.

V podloží pestřích vrstev bylo navrtáno souvrství s rytmickým střídáním jemnozrnných až středně zrnitých písků a pískovců a šedých slinitých jílovčů. Význačná je dokonalá vrstevnatost, s úklonem vrstev 5–7°. Faunisticky je souvrství netypické; dle lithologické podobnosti s I.–II. pásmem oblasti Lakšárská Nová Ves a Bor. Sv. Jur můžeme je považovat za ekvivalent I.–II. pásmu svrchního helveta.

V oblasti Studienka je tedy spodní lagenidový torton zastoupen vrstvami, vyznačenými rychlou změnou facie a pestře zbarvenými sedimenty, které jasně svědčí na nepravidelnou sedimentaci. V jejich nadloží nejsou vyvinuty šedé slinito-jílovité vrstvy s bohatou lanzendorfskou faunou (t. zv. podivínské vrstvy); nelze vyloučiti, že jsou zastoupeny vrstvami, které mají ochuzenou faunu a byly proto přiřazeny ke svrchní lagenidové zoně. Nejvyšší část spodního tortonu je v pestřém vývoji a můžeme ji paralelisovat s pestřím svrchním lagenidovým tortonem v oblasti Moravského Žižkova.

V širší oblasti Kbel byly navrtány basální tortonské vrstvy mocnosti až 250 m, tvořené písky až pískovci a slepenci (t. zv. kútské slepence – T. Buday, 1955). V jejich nadloží jsou šedé pelity svrchního a spodního lagenidového tortonu mocnosti 100 a 50 m. Poněvadž v oblasti Brodské nebyly zprvu slepence známy a zjištěné pestré vrstvy byly řazeny do svrchního helveta, byly kútské slepence považovány za lokální usazeniny říční delty (T. Buday, 1955, M. Dlabač 1956).

Nejnověji byly východně obce Lanžhot na basi tortonu navrtány přes 150 m mocné slepence. Jsou v nich vyvinuty polohy pestřých, šedozelených a zeleno-šedé a rudohnědě skvrnitých slinitých jílů shodných s pestřimi vrstvami, které byly v oblasti Brodské dosud řazeny do helveta. V podloží byly zjištěny šedé slinité jíly, vrstevnaté, s úklonem vrstev 20–40° s netypickou faunou, které můžeme zařadit již do svrchního helveta.

Západně od dvora Adamov bylo v podloží typického spodního tortonu navrtáno 300 m mocné souvrství tvořené pestřími, šedozelenými, žlutohnědými a skvrnitými slinitými jíly se silně ochuzenou, netypickou autochtonní faunou a faunou allochtonní, v níž jsou zastoupeny svrchnohelvetské a paleogenní prvky. Ojediněle byly zjištěny vůdčí spodnotortonské formy. Souvrství leží na 3. pásmu svrchního

helvetu, na nějž nasedá ostrou hranicí. Jde tedy o transgresivní sedimenty v nadloží svrchního helvetu. Patří stratigraficky do spodního tortonu a představují ekvivalent laterální facii basálních tortonských slepenců.

Obdobné vrstvy, tvořené slepenci a pestrými slínitymi jíly, byly navrtány též v oblasti Lanžhot-Rabensburg, Brodské a Kostice. Na podkladě výše uvedených zjištění je můžeme též zařaditi do spodního tortonu. Celková mocnost basálního spodnotortonského souvrství není ve všech částech oblasti známa, poněvadž na řadě vrtů nebylo souvrství provrtáno.

V basálních spodnotortonských vrstvách byly v oblasti Břeclav a Lanžhot zjištěny vody vyznačené vysokým obsahem síranových aniontů. Tyto vody byly dříve pokládány za typické vody nejvyššího svrchního helvetu (J. Janák 1954). Z nového zařazení faunisticky netypických vrstev na rozhraní torton-helvet vyplynulo, že síranové vody musíme pokládati za spodnotortonské, vázané na basální lagunární souvrství. Jak ukazují některé výsledky našeho průzkumu jedná se zde o zjev lokální. Ve svrchním helvetu síranové vody dosud v této oblasti zjištěny nebyly.

Zjištěná přítomnost krystalků anhydritu v basálních tortonských vrstvách je v genetické souvislosti s chemismem vod na ně vázaných a nelze ji považovat za důkaz proti zařazení pestrého souvrství do tortonu.

V oblasti Láb-Vysoká-Malacky nebyly pestré spodnotortonské vrstvy zjištěny. Hranice torton-helvet je zde kladena na basi souvislého svrchno-spodnotortonského písčitého komplexu resp. na basi spodnotortonského slepence. V podloží jsou vyvinuty lábské ostracodové vrstvy. Pestré vrstvy byly z velkého počtu jader zjištěny pouze v jediném případě. Z podrobné analýzy nevyplývá jasně jejich svrchnohelvetské stáří. Stratigrafickou příslušnost tohoto ojedinělého výskytu nelze jednoznačně určit. Nejde zde však o mocnější pestré vrstvy, nýbrž pouze o pestrou vložku malé mocnosti.

Pestré lagunární souvrství bylo na rozhraní tortonu a helvetu zjištěno též v oblasti Závod, Leváre, Bor. Sv. Jur, Smolinské, Kuklov, Lakšár, Nová Ves. V oblasti Závod, Leváre, Lakš. Nová Ves bylo prokázáno, že leží v nadloží svrchnohelvetských vrstev v šedém vývoji a že v pestrému souvrství samotném jsou vložky s tortonskou faunou. Pro příslušnost pestrých vrstev u Borského Sv. Juru, Kuklova a Smolinského nemáme přímých paleontologických dokladů. Tyto vrstvy leží v podloží prokázaného spodního tortonu a v nadloží šedých vrstev, které můžeme řadit do IV. pásmu svrchního helvetu. Nemáme tedy důvodů předpokládat, že by měly jiné stratigrafické zařazení než v ostatních uvedených oblastech.

Získané poznatky můžeme celkově zhodnotit takto:

Pestré slínitojílovité souvrství, převážně s netypickou faunou, zjištěné na rozhraní tortonu a helvetu a řazené dosud do svrchního helvetu představuje tedy laterální facii basálních spodnotortonských slepenců a patří do spodního tortonu.

Hranice torton-helvet je jasná tam, kde basální spodní torton je zastoupen výhradně nebo převážně slepencovými a písčitými komplexy, dále tam, kde podloží tvoří sedimenty 3. pásmu svrchního helvetu s bohatou faunou. Obtížné a faunisticky místy neproveditelné je stanovení hranice, jestliže v podloží jsou vrstvy IV. pásmu svrchního helvetu. K určení stratigrafie v těchto případech je nutné dodat, že sedimenty IV. pásmu jsou tvořeny převážně šedými až zelenavě šedými slinitými jíly. Nelze v nich sice vyloučiti pestré vložky malé mocnosti, můžeme je však považovat spíše za výjimečný zjev, než za pravidlo. Při stanovení hranice torton-helvet je dále důležitá skutečnost, že ani stanovené úklony vrstev nelze vždy jednoznačně použít pro určení stratigrafie. Úklony vrstev v basálních tortonských sedimentech, jejichž povaha svědčí na nepravidelnou sedimentaci, nelze totiž považovat vždy za věrohodné.

Spodnotortonská sedimentace začíná v celém jižním úseku čs. části Vídeňské pánve basálními sedimenty buď ve vývoji slepenců a písků nebo slinito-jílovitých vrstev, převážně v pestrem vývoji. Elevační oblasti zastihla spodnotortonská transgrese teprve v době maximální záplavy. Basální vrstvy zde proto nejsou vyvinuty a spodní torton je zde zastoupen pouze slinito-jílovitými sedimenty s bohatou faunou.

Dle dnešního stavu poznatků o spodním tortonu můžeme podat tento stručný obraz paleogeografického vývoje spodního tortonu: spodnotortonská transgrese začíná, s výjimkou severovýchodní části pánve, basálními vrstvami. Doznívání tektonických pohybů a poměrně členitá morfologie mezi tortonem a helvitem se projevuje v silné faciální rozrůzněnosti a v neklidné, místy až překotné sedimentaci, při čemž synsedimentární poklesové pohyby umožňují místy sedimentaci vrstev v dosti velkých mocnostech. Životní podmínky jsou v tomto období krajně nepříznivé. Proto jsou tyto vrstvy faunisticky sterilní nebo obsahují faunu zakrnělou a netypickou, odpovídající facii a faunu přeplavenou. Zvětšení rozsahu transgrese se projevuje změnou facie. Lagunární sedimentace a facie typických transgresivních sedimentů je vystřídána normální pánevní sedimentací. Usazují se slinito-jílovité vrstvy s bohatou faunou, ukazující na klidnou sedimentaci. Tento postup transgrese projevuje se již v nejvyšší části basálních vrstev vložkami sedimentů s bohatou faunou. Je samozřejmé, že hranice mezi šedými vrstvami spodní lagenidové zony a vrstvami basálními není ostrá a vertikálně kolísá, v závislosti na blízkosti pobřeží. V okrajových oblastech se projevuje též blízkost pobřeží v charakteru fauny; šedé vrstvy v nadloží basálního tortonu se zde vyznačují hojným uhelným detritem a faunou, která je charakteristická pro svrchní lagenidovou zonu. Tyto vrstvy můžeme považovat za okrajový ekvivalent spodní lagenidové zony. Koncem spodní lagenidové zony dosahuje transgrese vrcholu a zasahuje i oblasti elevační, které na počátku tortonu byly souši. Svrchní lagenidový torton je regresivní. Projevuje se to v ochuzení fauny ve srovnání se spodní lagenidovou zonou a místy opět pestrou lagunární sedimentací.

Novými poznatky je v některých oblastech čs. části Videňské pánve zásadně změněna původně předpokládaná paleogeografie spodního tortonu. Na podkladě nově sestrojených mapových pokladů bude možno zpřesnit poznatky o tektonice a paleogeografii spodního tortonu.

Čs. naftové doly,
Hodonín

SEZNAM LITERATURY

- [1.] Bílek K.: Závěrečná geologická zpráva o průzkumné vrtní činnosti v oblasti Láb-Vysoká za rok 1954. Zpráva ČND Hodonín 1955. — [2.] Výroční geologická zpráva o průzkumné vrtní činnosti v oblasti Vysoká za rok 1955. Zpráva ČND Hodonín 1956. — [3.] Výroční geologická zpráva oblasti Brodské za rok 1953—1954. Zpráva ČND Hodonín 1955. — [4.] Buday T.: Zpráva o výzkumech v neogenu Dolnomoravského úvalu za rok 1954, Zpráva ÚÚG Praha 1955. — [5.] Stratigrafie spodního a středního miocenu hlavních oblastí Dolnomoravského úvalu za rok 1954. Zpráva ÚÚG Praha 1955. — [6.] Současný stav stratigrafických výzkumů ve spodním a středním miocenu Dolnomoravského úvalu. Věstník ÚÚG, XXX — Praha 1955. — [7.] Buday T. — Cícha I.: Zpráva o výzkumech v neogenu Dolnomoravského úvalu za rok 1955. Praha 1956. — [8.] Buday T. — Cícha I.: Nové názory na stratigrafii spodního a středního miocenu Dolnomoravského úvalu a Pováží. Geologické práce, zošit 43, Bratislava 1956. — [9.] Dlabač M.: Řešení otázek akumulace nafty v sarmatu a tortonu Videňské pánve. Zprávu VÚN Brno 1956. — [10.] Janáček J.: Naftově geologické poměry okrsku Lanžhot—jih (Rabensburg) s hlediska dosud provedených průzkumných prací. Zpráva ČND Hodonín 1956. — [11.] Janák J.: Klasifikace hlubinných vod čs. části Vnitroalpské pánve. Práce Ústavu pro naftový výzkum. Publ. č. 4—8, Praha 1955. — [12.] Šelle M.: Výroční geologická zpráva o průzkumné vrtní činnosti v oblasti Vysoká za rok 1956. Zpráva ČND Hodonín. 1957.

VÁCLAV ŠPIČKA

BEITRAG ZUR FESTLEGUNG DER TORTON-HELVEΤGRENZE IN DEM TSCHECHOSLOWAKISCHEN TEIL DES WIENER BECKENS

Die Torton-Helvetgrenze wurde an die untere Grenze der grauen mergelig-tonigen Schichten mit einer Lanzendorfer Fauna, eventuell der basalen, von Schottern, Konglomeraten und Sandsteinen gebildeten Schichten gelegt. In einigen Gebieten wurden im Liegenden des Tortons, überwiegend in der bunten Entwicklung, Schichten mit einer untypischen Fauna gebohrt, die in die vierte Zone des oberen Helvet eingereiht wurden. Aus der Auswertung aller unseren Erkenntnisse geht hervor, dass diese Schichtenfolge stratigraphisch ins untere Torton gehört und eine laterale Fazies basaler untertortonischen Konglomerate darstellt.

Die untertortonische Sedimentation beginnt im ganzen südlichen Abschnitt des tschechoslowakischen Teiles des Wiener Beckens mit einer Entwicklung von Konglomeraten und Sanden oder mergelig-tonigen Schichten, überwiegend in der bunten Entwicklung: Die untertortonische Transgression erreichte die Elevationsgebiete erst in der Zeit der maximalen Überschwemmung. Die basalen Schichten sind da deshalb überhaupt nicht entwickelt und das untere Torton wird durch die mergelig-sandigen Schichten mit reicher Fauna vertreten.

Die Grenze zwischen Torton und Helvet wird dort klar, wo das Liegende des Tortons die dritte Zone des oberen Helvets bildet. Schwierig und faunistisch stellenweise undurchführbar erscheint dagegen die Festlegung der Grenzen in den Fällen, wo das Liegende von Sedimenten der vierten Zone gebildet wird. Als ein wichtiges Leitband für die Bestimmung der Stratigraphie erscheint da die Tatsache, dass die Sedimente der vierten Zone überwiegend von grauen bis grünlich grauen mergeligen Tonen gebildet werden. Zwar kann man in ihnen die bunten Einlagen von geringer Mächtigkeit nicht absondern, aber sie stellen vielmehr eine Ausnahme, als eine regelmässige Erscheinung dar.

Übersetzt von inž. M. Rumann.

LUDOVÍT IVAN

ZPRÁVA O GEOLOGICKOM MAPOVANÍ TERCIÉRU VÝCHODNE OD RIEKY SLANEJ

(*Tab. I.—II., nemecké resumé*)

Študované územie sa rozprestiera vo východnej časti Rimavskej kotliny, a to prevažne na východ od rieky Slanej. Rieka Slaná pri Čoltove vystupuje zo Slovenského krasu typickým kaňonovitým údolím. Mezozoické súvrstvie možno pozorovať v údoliach potokov tečúcich do Slanej a severne od Bretky. Študované územie je mierna pahorkatina; zaoblené tvary sú vymodelované v západnej časti, kde vystupujú terciérne, mäkké slienité pieskovce staršieho neogénu alebo na nich, resp. priamo na mezozoiku ležiace pliocénne sypké sedimenty.

Pleistocénna eolická sprášová skryvka zastiera ako tenká pokrývka starší predkvartérny reliéf. Širšia rovina sa rozprestiera len okolo Slanej, kde údolná niva je niekoľko km široká. Táto aluviálna niva reprezentuje najnižšie miesta študovaného terénu, a to niečo nad 180 m; najvyššie kóty nepresahujú tu 400 m.

Staršie práce

Terciernymi sedimentami Rimavskej kotliny sa zaoberalo viac autorov. Ich práce boli zamerané hlavne na využitie minerálnych prameňov alebo na možnosti výskytov nafty, resp. plynov. Výskum sa robil hlavne v západnej časti Rimavskej kotliny. Z autorov spomieniem aspoň týchto: Noszky J., Jaskó S., Illés V., Rozložník P., Szentes F., Schréter Z., Ferenczi S., Pávai Vajna F., Kulháy J., Sassy J., Székely E., Ludwig E., Lengyel V., Maheľ M., Čechovič V., Seneš J., Homola V., Kulcsár K., Cílek V.

Najnovšie makrofaunu z tejto oblasti spracováva M. Váňová, mikrofaunu R. Lehota a V. Kováč, sedimentárnou petrografiou sa zaoberajú M. Marková a M. Mišík.

Prvú geologickú mapu z tejto oblasti máme od F. Foeterleho (1867),

ktorý kladie bazálne zlepence do eocénu; nadložné mladšie sedimenty, piesčité sliene (hapoka), ako i vulkanity a ich pyroklastiká považoval za miocén. H. Böckh (1898) považuje výplň panvy, piesčité sliene Rimavskej kotliny za helvátske. J. Noszky (1926) začlenil sedimentárnu výplň kotliny do oligocénu. Po ňom i ďalší geológovia a paleontológovia (M. Plička, Vl. Homola, Gy. Kulháy, V. Cílek, P. Rozlozník a ī.) považovali túto výplň — piesčité sliene — za starší terciér.

V tejto práci chcem na základe fauny a celkového vývoja poukázať, že sedimentárna výplň Rimavskej kotliny je neogénna, pravdepodobne ide o najstarší neogén.

Stratigrafia

Trias

Spodný a stredný trias vystupuje v kaňone rieky Slanej a v údoliach potokov na západnom svahu pahorka Puszta, kóta 381. Verfén je zastúpený v údolí potôčika pri mlyne pri Bretke a tvoria ho slienité pestré bridlice so slabšími polohami kvarcitolov a pieskovcov. Výskyt je priestorove malý. Strednotriassové zrnitě dolomity a svetlé vápence wettersteinského typu ležia pri Bretke na verfene. V údolí potoka Uraš z týchto vápencov určil J. Bystrický početné riasy ladinského veku. Severne od obce Bretka pri cintoríne vystupuje serpentinit; túto lokalitu preštudoval J. Kantor (1956). Medzi serpentinitom a cintorínom vystupujú asi na ploche 300 m² svetlé kryštalické vápence intenzívne kontaktne metamorfované, ktoré J. Kantor považuje za strednotriassové, lebo sú späťe pozvolnými prechodom so svetlými vápencami wettersteinského typu.

Spodný miocén

Na paleozoických a mezozoických horninách na niekoľkých miestach ležia transgresívne zlepence a detritické vápence, a to na lokalitách: Bretka, Čoltovo, Lapša pusta, Uraš pusta, ďalej mimo mapovaného terénu: kúpele Strelnice, Hrkáč, Polina, Hostišovce, Budikovany, Španie Pole a Višňové, ktoré majú v podstate rovnaký charakter.

Bazálne zlepence sú väčšinou monomiktné a obsahujú vápencové valúny, resp. úlomky a majú vápnitý tmel. Miestami má bazálne súvrstvie málo opracované úlomky a máva vzhľad brekcievitého zlepencu. V zlepencoch možno obyčajne pozorovať priamu súvislosť sedimentácie zlepencov a detritických vápencov na okolí. Tak napr. pri Bretke vystupuje ojedinele bázická hornina — serpentinit, valúny ktorej možno pozorovať i v bazálnych zlepencoch pri Bretke. Naproti tomu v údolí Uraš, kde sú zlepence tiež mohutne vyvinuté, serpentinity sme nepozorovali. Zlepence sú na skameneliny chudobné, obyčajne len sporadicky nachádzajú sa tu niektoré sublitorálne druhy: *Phacoides* sp., *Ostrea* sp., *Pecten* sp., *Chlamys* sp., *Terebratula* sp., *Balanus* sp. Celkove má fauna miocénny ráz; pravdepodobne ide o najspodnejší miocén.

Z lokality Bretka M. Váňová určila z niekoľkých exemplárov túto faunu: *Chlamys rotundata* Lmk.

Chlamys martelli Ugoł.

Chlamys obliquensis Sacco

Pecten (Flabellipecten) carriensis Guerret.

Táto fauna svedčí o miocennom veku bazálnych zlepencov. *Chlamys martelli* Ugoł., *Chlamys rotundata* Lmk. sa nachádzajú v akvitánskych i v burdigalských sedimentoch. *Chlamys obliquensis* Sacco je rozšírený v akvitáne; *Pecten (Flabellipecten) carriensis* Guerret je zatiaľ známy zo spodného burdigalu. Typická burdigsalská fauna, resp. pektény na spomínaných zlepencových lokalitách zatiaľ nebola zistená. Z doterajšieho rozboru fauny vyplýva, že zlepencové súvrstvie je miocénne, pravdepodobne akvitánske.

V Bretke ležia zlepence s úklonom 30° smerom k terciérnej panve. Makrofauna nie je hojná a je zle zachovaná.

Z mikroorganizmov sú tu sporadicky zastúpené foraminifery miliarového charakteru.

V zlepencoch z Uraš pusty sa tiež nachádza obdobná fauna. Z makrofauny ide tu o druh pekténov a z mikrofauny o miogypsiny. V organogénnych vápencoch sú tiež zastúpené machovky a ostne ježoviek i riasy rodu *Solenopora*.

Sedimentárno-petrograficky jemnozrnné zlepence od Lapša pusty spracoval M. Mišík.

Terciérne súvrstvie je okrem uvedených bazálnych zlepencov, resp. detritických vápencov na skúmanom území prevažne šlívovitého vývoja a je uložené takmer vodorovne.

Šlívovitá fácia je nevodonosná a ľahko podlieha vetraniu. Fauna je obyčajne zle zachovaná a vyskytuje sa len sporadicky. Vo väčšom množstve sa vyskytuje pri teheli v Šafárikove a v Gemerskej Panici.

V Gemerskej Panici pri miestnej elektrárni sme našli túto faunu: *Nucula* sp., *Leda* sp., *Ostrea* sp., *Lucina* sp., *Phacoides* sp., *Tellina* sp., *Flabellum* sp., *Brisopsis* sp. Obdobná fauna sa nachádza aj pri teheli v Šafárikove.

V šlívovitej fácii sú zastúpené jemnozrnné pieskovce, piesčité sliene, slienité ilovce, slienité íly značne piesčité. Sedimentárno-petrografický rozbor vzoriek z Gemerskej Panice urobil M. Mišík.

Bazálne zlepence sú vyvinuté pravdepodobne v okolí tvrdších hornín gemeríd. Na miestach, kde sú mäkšie, jemnejšie fylity, sa v ich okolí využívali jemnejšie sedimenty šlívovitého vývoja.

Stredný miocén

Vulkanity: Kóta 351 (Pusztá) je zložená z andezitických brekcií a tufov; tufitický materiál bol pozorovaný aj v Šafárikovských viniciach a pri kóte 311. Sú to andezitové štrky a pelitické tufity. Andezitové balvany sa vyskytujú spora-

dicky na plateau medzi dolným tokom riečky Turiec a Slanou. Ide o zvyšky súvislej vulkanickej pokrývky medzi Slanou a Rimavou, ktorá bola postupne rozrušená a oddenuďovaná. Tieto andezitické horniny, ktoré ležia na podložných piesčitých slieňoch a pieskovcoch začleňujem zatial analogicky do neogénu. Podla poznatkov zo západnejších území (okolie Lučenca, Modrého Kameňa, Dudiniec) pravdepodobne budú vrchnotortónskeho veku. Na mapovanom území v tufitoch boli zistené len zvyšky listov a vetiev, resp. kmeňov rozličných rastlín. Na vulkanitech ležia pleistocénne sedimenty, predovšetkým štrky.

Vrchný pliocén

Na starších horninách, na paleozoiku, mezozoiku, terciéri a na vulkanitech ležia dobre opracované štrky, štrkopiesky, piesky a piesčité íly. Štrky sú miestami spevnené. Valúny sú prevažne z kremeňa a kvarcitu. V menšej miere sú zastúpené rozličné valúny hornín gemeríd. Ich veľkosť je priemerne 3–7 cm. Faunu som v týchto sedimentoch nezistil. Považujem ich za pliocénne.

Kvartér

Lavá strana Slanej je lemovaná terasovými štrkami v niekoľkých stupňoch. Sú odkryté na početných menších štrkoviskách. Miestami podlhali sklzom po šlirovitom podloží. Terasové štrky sú prikryté sprašou a hlinami. Na vápencoch leží miestami terra rossa. Aluviálne náplavy Slanej sú zastúpené štrkami, štrkopieskami, pieskami, piesčitými ílmi a hlinami. Na zlomoch vyvierajú početné minerálne pramene. Z minerálnych prameňov pri Stránskom sa vytvorili sedimentáciou kvartérne travertíny.

Záver

V serpentinitoch sa vyskytujú tenké žilky azbestu. V minulosti tu bola razená šachta, avšak ďalej sa v prieskume nepokračovalo. Žiadal by sa preto podrobnejší výskum v tomto smere. Vo wettersteinských vápencoch boli a sú početné lomy na miestne pálenie vápna. Bazálne zlepence sú hospodársky využité v Bretke, kde sa dobývajú ako stavebný materiál. V šlirovitej fácii sú založené tehelne, z ktorých hospodársky význam má najmä tehelná v Šafárikove. Terasové štrky sa tiež používajú pre miestnu potrebu. Vo vulkanických andezitických tufoch sú početné lomy pre miestnu stavebnú potrebu. Travertínové kopy pri Stránskom sú tiež vyhľadávané pre ľahko opracovateľný travertín, používaný ako stavebný i dekoračný materiál.

*Geologický ústav Dionýza Štúra,
Bratislava*

LITERATÚRA

- [1.] Čechovič V., 1951: Geológia Juhoslovenskej panvy. Geol. práce, Zoš. 32. Bratislava. — [2.] Danihelová R., 1952: Zpráva o mikropaleontologickom vyhodnotení povrchových vzoriek z okolia Rimavskej Soboty. Rukopis. — [3.] Ferenczi I., Adatok az Ipolymedence Sóshartyán Karancsszág illetve Balassagyarmat körüli részének földtani ismertéhez. MFIEJ (1933—1935) Budapest. — [4.] Foetterle F., 1867: Vorlage der geologischen Detailaufnahmskarte der Umgebung von Rimaszombat. VGRA. Wien. — [5.] Illés V., 1906: Adatok a Gömörmegyében a Kis-, Sajó és a Balohpatak között fekvő terület geológiájához. MFIEJ. Budapest. — [6.] Jaskó A., 1940: A Rima és Tarna közének Oligocén rétegei. FG IXX. Budapest. — [7.] Kulháy L., Zpráva o geologických prácach vykonaných v Čízskej kotline v r. 1941. Rukopis. — [8.] Lengyel V., 1906: A csízi jód-brom forrás rádioaktivitása. Nagy Chem. Folyóirat XII. Budapest. — [9.] Majzon L., Budapest környéki kattiai rétegek foraminiferái. MFIEJ (1933—1935) Budapest. — [10.] Rozlozník P., Geológiai tanulmányok a Mátra északi oldalán Parád, Recsk és Mátraballa községek között. MFIEJ (1933—1934). Budapest. — [11.] Schréter Z., 1940: Nagybátány környéke. A Magyar tájak földtani leírása. II. Budapest. — [12.] Kantor J., 1956: Serpentinity južnej časti Spišsko-gemerského rudochoria. Geol. práce — Zprávy 6. Bratislava. — [13.] Schréter Z., 1941: A csízi sós, jódos, brómos gyógyvíz hydrologiai viszonyai. HK XXI, köt. — [14.] Senec J., 1952: Štúdium o akvitánskom stupni. Geol. práce, Zoš. 31. Bratislava. — [15.] Szentes F., Jelentés az 1934—1935, évben a Márta északi oldalán végzett földtani felvételről MFIEJ (1933—1935). Budapest. — [16.] Váňová M., 1959: Spodnomiocénna fauna z bazálnych zlepencov zo širšieho okolia Šafárikova na južnom Slovensku. Geologické práce — Zošit 52, Bratislava. — [17.] Vitalis A., 1942: Ujjabb hidrológiai adatok Salgotrján környékéről II. HK XXI. Budapest.

LUDOVÍT IVAN

BERICHT ÜBER DIE GEOLOGISCHE KARTIERUNG DES TERTIÄRS ÖSTLICH VOM FLUSS SLANÁ

Das studierte Gebiet breitet sich im östlichen Teil des Beckens Rímavská kotlina, östlich vom Fluss Rimava aus. Auf den älteren paläozoischen und hauptsächlich mesozoischen Gebilden liegen transgressiv basale Konglomerate und schlierartige sandige Mergel, Tonschiefer und mergelige Tone. Es handelt sich wahrscheinlich um älteres Miozän. Auf älteren miozänen Gesteinen liegen Tuffe und Tuffite mit andesitischem Material. Der grosse Teil von ihnen wurde abgetragen. Der jüngste neogene Schichtenkomplex aus diesem Gebiete sind pliozäne Schotter, Schottersande, Sande und sandige Tone, die auf älteren Gesteinen verschiedenen Alters liegen.

Geologisches Institut Dionýz Štúr's,
Bratislava

Aus dem Slowakischen übersetzt von F. Návara

Erläuterung zu den Abbildungen

T a f e l I.

A b b. 1: Dejekt. Kugel in den pliozänen Schottern, nördlich der Gemeinde Čolov. Foto L. Ivan

A b b. 2: Abwechselung der Tuffe mit tuffitischen Schottern, östlich der Gemeinde Nižný Skalník.

Foto L. Ivan

T a f e l II.

A b b. 1: Miogypsinkalkeinlage in den basalen Konglomeraten bei Uraš pusta (Mikrofoto)

Foto Osvald

A b b. 2: Einlage des organogenen Kalkes in den basalen Konglomeraten bei Bretka (Mikrofoto)

Foto Osvald

TIBOR ĎURKOVIC

VÝSKYT PROBLEMATIKA „ZOOPHYCUS“
V MENILITOVÝCH VRSTVÁCH

(Tab. 1, nemecké resumé)

Geologické postavenie problematika Zoophycus

Uvedený výskyt sa nachádza v krosnensko-menilitovej sérii dukelských vrás výravskej brachysynklinály (Leško 1952) pri Svetliciach. Menilitové vrstvy v záreze potoka Vilačka sú podľa Leška (1952) budované z polôh tmavých až čiernych ilovcov, striedajúcich sa s polohami tmavých, sivých, prevažne jemnozrnnych pieskovcov. V spodnej časti súvrstvia sa vyskytujú polohy opálových rohovcov, ktoré sa striedajú s ilovcami tmavej farby v drobnorytmickom vývoji. *Zoophycus* sa nachádza vo vrchnej časti menilitových vrstiev nad vložkami opálových rohovcov. Pri litologickom výskume tejto série pri Svetliciach som zistil niekoľko typov textúrnych znakov povrchu vrstiev organického pôvodu (*bioglyfy*) a pôvodu anorganického (*mechanoglyfy*). Z bioglyfov sú to stopy typu *Bullia* a trubičkovité vyvýseniny, pravdepodobne stopy po lezenej červov. Z mechanoglyfov sú to prúdové *mechanoglyfy* (*Strömungs-Marken* Rücklin 1938) a mechanoglyfy typu *groove-casts* (Shrock 1948).

Na tomto mieste by som sa chcel zaoberať problematickým útvaram *Zoophycus*.

Genus *Zoophycus* (*Zoophycos*) Massalongo 1851.

Tab III, obr. 1.

Synonym: 1955 *Spirophyton* Lessertisseur str. 72—74 v texte, Tab. X, obr. 1.

Nomenklatúra problematík tohto typu nie je dôsledne spracovaná. Podrobnejší synonymiku rodu *Zoophycus* uvádzajú Lessertisseur (1955). Rôzne typy chodieb, prípadne spôsoby vinutia toho istého živočicha boli autormi rôzne pojmenované. Abel (1935) uvádzajú, že kolmo stojace chodby tvaru „J“, hlavne

ich spodné časti, boli popísané ako *Daedalus*, chodby na spodnej strane spirálovito stočené ako *Spirophyton*.

P o p i s. Forma je elipsovitého tvaru, pretiahnutá v jednom smere; dĺžka 55 cm, šírka 41 cm. Zo stredu, z elipsovitého centra rozchádzajú sa na všetky strany jemné rýhy a hrboľky hrubé 1–2 mm. Toto vejárovité usporiadanie je ostro oddelené od okolitého sedimentu.

V ý s k y t. Menilitové vrstvy pri Svetliciach na západnom svahu kopca Kicerca (417) na hornej strane jemnozrnného pieskovca (jeden exemplár).

Podobné formy som mal možnosť študovať aj vo vrstvách vyššieho oddielu paleogénu vláskeho vývoja v synklinálnom pásmi Chabovej (M a t ě j k a – R ó t h 1956) v kameňolome na ľavom svahu Vláry, južne od ústia potoka Jamka.

Genus *Zoophycus* (*Zoophycos*) M a s s a l o n g o 1851.

Tab. III, obr. 2.

Synonym: 1858 *Taonurus brianteus* F i s c h e r – O o s t e r str. 41. Tab. Ia. obr. 1.

1935 *Taonurus* (*Spirophyton*) A b e l str. 442, obr. 368.

P o p i s. V strednozrnnom pieskovci napriek vrstevnatosti leží trubička vyplnená piesčitým materiálom o dĺžke 18 mm a šírke 5 mm. Z trubičky sa rozchádzajú do okolia vejárovite na všetky strany jemné vyvýšeniny na vzdialenosť 10 cm.

Podobné formy podľa osobného oznamenia A n d r u s o v a sa nájdú aj v slienoch alba bradlového obalu (lokalita: Milochov, Považie).

O stratigrafickej hodnote problematika typu *Zoophycus* v Karpatoch vieme zatiaľ veľmi málo. Ako vedúcu skamenelinu ho nemôžeme použiť, lebo (podľa údajov z literatúry) sa vyskytuje vo viacerých geologických útvarech. Tak podľa A b e l a (1953) sa vyskytuje vo Witterbergských kremencoch južnej Afriky, ba uvádza sa jeho výskyt tiež z inocerámových vrstiev Viedenského lesa (Wienerwald). G e k k e r (1957) spomína podobnú formu zo spodného karbónu severného krídla podmoskovského bazénu a L e s s e r t i s s e u r (1955) niektoré výskytu z Pyrenejí.

Všetky tieto údaje hovoria o existencii týchto foriem v rôznych geologických útvarech, pričom najčastejší je výskyt v horninách jemnozrnných, ako sú pieskovce, sliene, prípadne kremence (južná Afrika).

Genézou spomínaných útvarov sa zaoberal C l i f t o n J. S a r l e (in A b e l 1935) pri popise obdobnej formy z medinského pieskovca, ktorý predpokladá vznik centrálnej rúrky, ktorá je na spodnej strane ohnutá do tvaru písmena „J“. Prekladaním takýchto tvarov dostaneme plošný obraz jednotlivých chodbičiek, hákovito na spodnej strane ohnutých a za sebou plošne uložených. Ak živočích

prejavuje ďalšiu životnú činnosť, vytvára chodby, ktoré sú o niečo viac naklonené ako pôvodné, čím vzniká akýsi vrecúškovite zakrivený tvar.

Zodpovedať presne otázku aký živočích spomínané tvary vytvoril, nie je možné. V súhlase s Abelom (1935) možno predpokladať, že ide o živočichy zo skupiny *Polychaeta* (*Annelidae*). Je pravdepodobné, že štúdiom recentných foriem nájde sa klúč k vysvetleniu životnej činnosti a spôsobu života fosilných typov.

*Geologický ústav Dionýza Štúra
v Bratislave*

LITERATÚRA — SCHRIFTTUM

- [1.] Abel O., 1935: Vorzeitliche Lebensspuren, Jena. — [2.] Fischer — Ooster, 1858: Die fossilen Fukoiden der Schweizer Alpen, Bern. — [3.] Fuchs Th., 1895: Studien über Fukoiden und Hieroglyphen. Denkschr. Ak. Wiss. Math., Nat. Kl. Bd. 62. Wien. — [4.] Gekker R. F., 1957: Vvedenie v paleoekologiju, Moskva. — [5.] Lessertisseur J., 1955: Traces fossiles d'activité animale et leur signification Paleobiologique. Mémoires de la societe géologique de France. Tom. XXXIV. n. 74. Paris. — [6.] Leško B., 1952: Geológia vonkajšieho flyša medzi Laborcom a Cirochou. Geologické práce, zošit 35. Bratislava. — [7.] Matějka A. — Roth Z., 1956: Geologie magurského flyše v severním povodí Váhu mezi Bytčou a Trenčinom. Rozpravy ÚřG. sv. 22. Praha. — [8.] Rücklin H., 1938: Strömungs-Marken im Unteren Muschelkalk des Saarlandes. Senckemb. Bd. 20. Frankfurt a. M. — [9.] Shrock R., 1948: Sequence in layered rock. London.

TIBOR ĐURKOVIĆ

DAS VORKOMMEN VON ZOOPHYCUS-PROBLEMATIKUM IN DEN MENILITEN SCHICHTEN

In den meniliten Schichten der Výraver Duklafalten-Brachysynklinale bei Svetlice (Leško 1952) befindet sich in dem feinkörnigen Sandstein an der oberen Seite der Schichtenfläche ein Exemplar des Problematikumtypes *Zoophycus*. Seine Form ist oval, einseitig in die Länge gezogen. Es ist 55 cm lang und 41 cm breit. Aus der Mitte des ellipsoiden Zentrums gehen auf alle Seiten feine Bückelchen und Rillen, 1 bis 2 mm stark, auseinander. Diese fächerförmige Regelung ist scharf von den benachbarten umkreisten Sedimenten abgetrennt.

Lokalität: Menilite Schichten bei Svetlice am westlichen Abhang des Kičera Berges (417).

Ähnliche Formen kommen auch in den Schichten des oberen Paläogens der Vlaraentwicklung in der synkinalen Zone von Chabová (Matějka — Roth 1956) vor. Laut persönlicher Mitteilung Prof. Andrusovs sind diese Schichten auch aus der Klippenzone (Lokalität Miločov, Waagtal) im Alb der Klippenhülle bekannt.

Text zu den Abbildungen (Taf. III.)

Abb. 1: Problematikum *Zoophycus*. Menilite Schichten der Výraver Duklafalten-Brachysynklinale
bei Svetlice. Foto: T. Ďurkovič

Abb. 2: Problematikum *Zoophycus*. Paläogen der Vlaraentwicklung aus der synkinalen Zone
von Chabová. Foto: V. Sitar

Übersetzt von inž. M. R umann.

Geologisches Institut Dionýz Štúr's,
Bratislava

JÁN JARKOVSKÝ – BLAHOSLAV ČÍČEL

JAROZIT Z BANSKEJ BELEJ

(5 obr., anglické resumé)

V slednej južnej časti štôlne Ferdinand, obzoru v rudnom poli šachty Bránik v Banskej Belej zistili sme vedľa bázického hydratovaného ferisulfofosfátu-diadochitu (J. Jarkovský – B. Číčel 1958) ako ďalší sekundárny bázický minerál káliumferisulfát – jarozit.

V spomenutej práci sme ho označili na základe röntgenovej a chemickej analýzy ako cyprusit. Podla najnovších údajov, s ktorými sa budeme zaoberať ďalej, cyprusit a niektoré iné bázické ferisulfáty nie sú samostatné minerály, ale sú členmi rozsiahleho izomorfného radu jarozitov. Správne identifikovanie podľa údajov DTA stažila nám prítomnosť značného množstva diadochitu vo vzorke.

Treba poznamenať, že jarozit nie je totožný s jarošitom, ktorý opísal J. Kokta (1937) zo Smolníka. Jarozit patrí mineralogicky do skupiny alunitu, kym J. Kokta nazýva jarozitom izomorfňu zmes heptahydru síranu železnatého s heptahydru síranu horečnatého a s malou prímesou medi (Cu). Chemický vzorec jarošitu je $(Fe^{+2}Mg) SO_4 \cdot 7 H_2O$, kym vzorec jarozitu je $KFe_3 (SO_4)_2 (OH)_6$. Názov jarozit pochádza podľa pomenovania miesta Barranco Jaroso v Sierra Almagrera v Španielsku, kde bol prvý raz nájdený.

Makroskopický opis a separácia

V pôvodnom stave boli všetky vzorky nasýtené vodou. Väčšina z nich tvorila kôry na stenách banskej chodby. Po vysušení pri laboratórnej teplote ($20^{\circ} C$) skrehli a rozsýpali sa.

Vzorka 1 je separovaná zo zemitej svetložltokrovnej kôry bez známk vrstevnatosti. Tvorí na nej tmavohnedé až hnedočervené povlaky, ktoré nie sú ostro oddelené od základnej hmoty. Postupný prechod je dobre pozorovateľný. Svetlá hmota obsahuje diadochit.

Vzorky 2 a 3 sú separované z kusového, pórovitého materiálu okrovej,

hnedočervenej až hnedej farby. Jednotlivé farebné odtiene sa navzájom prelínajú. Vzorka nie je vrstevnatá. Hnedá časť tvorí kôry, ktoré postupne prechádzajú v okrovú časť. Tieto kôry sa nachádzajú nielen na povrchu, ale aj vo vnútri jednotlivých kusov. Priemerná vzorka okrovej časti je označená číslom 2, hnedočervené kôry číslom 3. V týchto vzorkách nevystupuje jarozit spolu s diadochitom.

Vzorka 4 je separovaná z kusovej hmoty špongiovitého tvaru. Kostru špongie tvorí červenohnedá hmota (jarozit), ktorá miestami prechádza vo svetložltú hmotu (diadochit). Vzorka je tvrdšia a menej krehká ako ostatné.

Vzorka 5 predstavuje hnedočervené vrstvičky zo stalagmitu, odobraného z dna banskej chodby. V stalagmite sa nepravidelne striedajú vrstvičky, ktoré obsahujú krehký diadochit, diadochit vo forme rohovitej hmoty a hnedočervené vrstvičky a povlaky obsahujúce jarozit. Pretože sa diadochitová zložka nedala úplne odstrániť, nevieme, či je diadochit zmiešaný s jarozitom, alebo či ide iba o zvyšky, ktoré zostali na vrstvičkách.

Vzorka 6 má okrovú farbu, zemitý vzhľad a v pôvodnom stave obsahuje jemné laminované kôry a hluzy tmavého, hnedočierneho materiálu, obsahujúceho diadochit.

Pre mineralogický rozbor opísaných vzoriek sme použili spektrálnu, chemickú, röntgenografickú a diferenciálne-termickú analýzu i dehydratačné krivky.

Spektrálna analýza

Kvalitatívne spektrálne analýzy s odhadom množstva prvkov podľa intenzity scernania čiar urobil G. Kupčo. Výsledky analýz sú v tab. 1.

Podľa spektrálnej analýzy najviac zastúpený prvek je tu železo (Fe); ďalej sa zistila prítomnosť väčšieho množstva draslíka (K). Síra (S) sa pri použitých podmienkach budenia neprejavila. Ostatné aniontotvorné prvky nachádzajú sa iba v malých koncentráciách (P, As). Všetky vzorky obsahujú stotiny až desatiny percenta Pb; v stopách sa našlo rubídium (Rb). Pretože sa analytické spektrálne čiary rubídia prekrývajú s čiarami železa, udávame odhad jeho množstva ako otázny (?). Kvalitatívou chemickou analýzou pomocou Nesslerovho činidla zistili sme v stopách aj ammoniový ion (NH_4^{+1}), ktorý zastupuje izomorfne draslík. Ammonium pochádza pravdepodobne z presiakujúcich povrchových vôd. Z geochemického hľadiska je zaujímavá prítomnosť molybdénu a tália. Molybden sa dostal do vodných roztokov oxydačného pásma pôsobením minerálnych kyselin, najmä kyseliny sírovej. Jeho najpravdepodobnejším zdrojom je rudná žila Bíber, kde sa môže vyskytovať spolu s ostatnými sírnikmi. Jeho jestvovanie vo forme sírnika predpokladáme preto, lebo oxydické minerály tvorí v prírode len veľmi vzácne a iba zriedka je prítomný vo forme izomorfných prímesí. Tento prvek je charakteristický pre kyslé magmy. Pritom je zaujímavé, že sa vyskytuje v oxydačnom pásme rudnej žily Bíber spolu s intermediárnymi neovulkanickými hor-

T a b u l k a 1

Č.	100 – 1 %			1 – 1/100 %			1/100 – 1/10 000 %	
1	Fe		P	Al	K	Si, Pb, Mg	B, As, V, Zn, Na, Ti, Sr, Ca, Mn, Rb?, Tl	Mo, Cu, Zn
2	Fe		K		Pb, MO, Na, Al	Si, Tl, Mg, Ti, Sr, Ca, Mn	V, Zn, Ba, Rb?	Sb, Cu
3	Fe		K		Si, Al, Mg, Cu, Na, Ca, Pb	Tl, Mo, Sr, Mn	Zn, Ti, Ba, Rb?	V, Y, Yb
4	Fe			Al	P, K	Si, Pb, As	B, Tl, Mg, V, Zn, Ti, Mn	Ga, Be, Mo, Y, Na, Sr, Ca
5	Fe		P		Si, Pb, Al, K	As, Ba	Tl, Mg, Na, Ti, Sr, Ca, Rb?, Mn	Ga, Be, Mo, V, Cu, Zn, Cr
6	Fe		K	Si, Ca, Al	Mg	Pb, Na, Ba, Sr, Mn	Tl, As, Zn, Ti, Rb?	Ga, Mo, V, Y, Cu, Ag, Yb

Analýzy boli urobené na veľkom kremennom spektrografe „HILGER“ v rozsahu 2500 – 6000 Å.

ninami, a obsahujú ho všetky vzorky skúmaných jarozitov. V rade vyšších koncentráciách je zastúpený vo vzorkach 2 a 3, ktoré prakticky predstavujú čisté jarozity.

Z ďalších prvkov považujeme za potrebné všimnúť si tálium, ktoré je v oblasti slovenských neovulkanítov dosť zriedkavé. Pri zisťovaní synvulkanických a post-vulkanických premien banskoštiavnických neovulkanítov našiel sa tento prvek aj v niektorých premenených andezitických horninách. Tálium je typický disperzný prvek, ktorý vytvára samostatné minerály iba veľmi vzácne. Je v prevažnej miere viazaný na náleziská sírnikov, najmä nízkoteplotných.

O niektorých ďalších prvkoch (As, P, Pb, Rb) bude reč v súhrnej stati o jarozitoch.

Ostatné spektrálne zistené stopové prvky nie sú natoľko zaujímavé a vyskytujú sa bežne v neovulkanických premenených horninách i v rudných žilách banskoštiavnických neovulkanických hornín.

Chemická analýza

Chemické analýzy sme robili osvedčenými klasickými metódami. K_2O a Na_2O boli stanovené plamenným fotometrom. Výsledky analýz obsahuje tab. 2.

T a b u l k a 2

Č.	Zložka	1	2	3	4	5	6
1	nerozp. zb.	0,42	0,18	0,66	0,28	6,16	4,40
2	P_2O_5	3,03	0,31	0,36	1,12	3,25	0,01
3	SO_3	20,25	29,98	31,06	19,72	21,75	26,50
4	Fe_2O_3	48,21	45,44	44,26	51,49	44,16	47,02
5	Al_2O_3	1,76	0,35	0,23	1,69	0,19	0,68
6	BaO	—	—	—	—	—	1,25
7	K_2O	2,40	5,40	6,20	2,18	3,88	5,20
8	Na_2O	0,06	0,10	0,08	0,04	0,06	0,07
9	H_2O do 250 °C	18,50	6,50	5,44	19,00	15,50	7,05
10	H_2O do 400 °C	5,25	11,50	11,56	4,25	4,78	7,50
	Suma	99,58	99,76	99,85	99,67	99,73	99,67

Porovnávacie údaje chemických analýz jarozitu z Deljatina (1), uvádzané v práci M. P. Gabineta (1957) a analýz karphosideritu (2), borgströmitu (3), utahitu (4) a cyprusitu (5) z práce A. A. Mossa (1957) uvádzame v tab. 3.

Na rozdiel od porovnávacích dát uvádzame v našich analýzach vodu do 250 °C a vodu, ktorá uniká medzi 250 a 400 °C preto, lebo v našich vzorkách sa okrem

T a b u l k a 3

Č.	Zložka	1	2	3	4	5
1	nerozp. zb.	3,02	0,7	1,1	0,5	1,5
2	P_2O_5	—	0,6	0,00	0,00	stopy
3	SO_3	29,72	30,6	18,9	31,7	31,8
4	Fe_2O_3	45,14	48,8	61,2	51,0	49,1
5	Al_2O_3	4,18	—	—	—	—
6	FeO	0,79	—	—	—	—
7	MgO	0,13	—	—	—	—
8	K_2O	3,95	6,9	4,8	0,6	1,2
9	Na_2O	1,55	1,3	0,4	5,8	5,4
10	H_2O —	1,19	0,00	1,1	0,05	0,2
11	H_2O	10,12	10,80	12,6	10,7	11,1
	Suma	99,79	99,7	100,1	100,3	100,3

jarozitu nachádza i diadochit, ktorý do 250 °C uvoľňuje značné množstvo vody (tab. 2 analýza 1 a 4). Keby sme uvádzali vodu od 100 do 1000 °C, ako sa bežne udáva, skreslilo by to výsledky mineralogických prepočtov. Okrem toho by bol výsledok skreslený aj chybňom odočítaním SO₃, ktorý uniká do 1000 °C iba čiastočne, ako to vidíme v stati o differenčnej termickej analýze. Údaje v tabuľke 2 sú odčítané z kriviek straty na váhe (dehydratačné krivky).

Najväčšia zhoda je medzi analýzou 2, tab. 2 a analýzou 1, tab. 3. Zastúpenie hlavných komponentov je tu skoro rovnaké. Podľa údajov A. A. Mossa (1957) vykazuje sa tam vyšší obsah alkálií a mierne zvýšený obsah Fe₂O₃.

Prepočet analýz 2 a 3 z tabuľky 2 a analýzy 1 z tabuľky 3 uvádzame v súhrnej stave.

Röntgenová analýza

Štruktúrnou analýzou alunitu a jarozitov sa podrobne zaoberal S. B. Hendricks (1937), ktorý ich zaradil do priestorovej grupy C⁵3v – R 3m. Romboedrická základná buňka obsahuje jednu vzorcovú jednotku v zložení R⁺¹ R⁺³ (SO₄)₂ (OH)₆, kde R⁺¹ môže byť K⁺, Na⁺, Rb⁺, H₂O, Ag⁺, NH₄⁺. Miesto R⁺³ môže byť Fe⁺³ alebo Al⁺³. U jarozitov môže byť namiesto jednomocného kationt dvojmocný (napr. plumbojarozit). Potom každá druhá poloha K⁺ v mriežke je voľná. Toto miesto sa môže zaplniť molekulou vody. V kryštalovej štruktúre synteticky pripravenej zlúčeniny H₂O Fe₃ (SO₄)₂ (OH)₅ H₂O voda úplne nahradzuje alkálie. Zmenu kladného náboja vyrovňáva výmena jednej (OH)⁻¹ skupiny za molekulu H₂O.

Vzájomné zastupovanie kationtov v štruktúre jarozitu sa prejavuje predovšetkým na zmene mriežkovej konštanty *c*, kým konštantu *a* sa prakticky nemení. V tab. 4 uvádzame konštanty *a* i *c* z práce S. B. Hendricka (1937) a Ch. M. Warshawovej (1956). Údaje v tabuľke sú vyjadrené v Angstrónoch.

T a b u l k a 4

Minerál	Chem. zloženie	S. B. Henricks		Ch. M. Warshaw	
		<i>a</i>	<i>c</i>	<i>a</i>	<i>c</i>
Jarozit*	K Fe ₃ (SO ₄) ₂ (OH) ₆	7,261 ± 0,06	17,17 ± 0,07		
Jarozit	K Fe ₃ (SO ₄) ₂ (OH) ₆	7,22	17,03	7,29	17,22
Argentojarozit	Ag Fe ₃ (SO ₄) ₂ (OH) ₆	7,24	16,43		
Natrojarozit	Na Fe ₃ (SO ₄) ₂ (OH) ₆	7,20	16,33		
Ammonium-jarozit	NH ₄ Fe ₃ (SO ₄) ₂ (OH) ₆	7,22	17,03		
Plumbojarozit	Pb [Fe ₃ (SO ₄) ₂ (OH) ₆] ₂	7,22	33,66		
3F ₂ O ₃ 4S ₀ ₃ 9H ₂ O	H ₂ O Fe ₃ (SO ₄) ₂ (OH) ₅ H ₂ O	7,18	16,93		
Karpbosiderit	Fe ₃ (SO ₄) ₂ (OH) ₅ H ₂ O			7,32	16,68

* Mriežkové konštanty jarozitu z Banskej Belej.

Ako uvidíme pri zhodnocovaní výsledkov chemických analýz, môže neznalosť horeuvádzaných vlastností jarozitov viesť k závažným chybám pri prepočítavaní mineralogického zloženia.

Pri snímkovaní nami spracovaných vzoriek jarozitov sme použili filtrované žiarenie Co K α , napäťie 24 kV, prúd 22 mA pri expozičnej dobe 5 hodín. Snímky podla D e b y e - S c h e r e r a sme robili v komôrke Ø 64 mm. V tabuľke 5 uvádzame iba čiary nájdené pri vzorkách 2 a 3, ktoré predstavujú čisté jarozity. Zrovnávacie dátá pre jarozit a cyprusit sú z tabuľiek ASTM (1944) pre karphosiderit z práce Ch. M. W a r s h a w o v e j (1956).

T a b u l k a 5

Č.	hkl	Vzorka 2		Vzorka 3		Jarozit		Cyprusit		Karphosiderit	
		d (hkl)	I	d (hkl)	I	d (hkl)	I	d (hkl)	I	d (hkl)	I
1	101	5,91	2	5,91	2	5,9	4			5,93	3
2	003			5,714	2			5,7	2	5,56	3
3	102	5,057	5	5,057	6	5,0	4			5,05	4
4								4,9	7		
5	110	3,639	3	3,639	3	3,60	4	3,64	2	3,66	1
6						3,38	5			3,48	1
7										3,11	8
8	113	3,072	10	3,064	10	3,06	10	3,06	10	3,06	8
9	202	2,944	1	2,944	1	2,94	2			2,96	2
10	006	2,838	3	2,842	3	2,83	4				
11								2,75	5	2,778	2
12	204	2,540	4	2,540	4	2,52	6	2,51	5	2,526	2
13	107	2,286	8	2,286	8	2,27	8	2,29	2	2,228	3
14						2,16	2	2,21	6		
15	033	1,973	8	1,973	8	1,96	8	1,97	7	1,975	4
16	207	1,931	1	1,931	2						
17	009			1,896	1			1,89	5	1,905	1
18	220	1,820	8	1,820	8	1,81	8	1,82	7	1,830	4
19	208	1,776	2	1,776	2	1,76	2				
20	217	1,721	2	2,723	2	1,70	2	1,72	2	niekoľko slabých čiar	
21	314	1,617	2	1,620	2	1,65	2	1,61	2		
22	307	1,589	2	1,575	3			1,568	5		
23	315	1,550	3	1,555	3	1,553	4				
24	226	1,533	5	1,533	5	1,532	6	1,518	5	1,529	1
25	308	1,500	6	1,505	6	1,502	8				
26	404	1,480	3	1,472	4	1,476	4	1,469	5	1,478	1
27	00,12	1,427	3	1,418	2			1,422	2		
28								1,382	2		
29							1,372	2	1,361	2	
30	325	1,339	5	1,338	6	1,327	7	1,337	5		

Dátá v tabuľke sú vyjadrené v kX.

Zrovnávacie údaje sú zhodné s našou analýzou. Na röntgenových snímkach vzoriek 1, 4, 5 a 6 sme našli iba intenzívnejšie čiary jarozitu, ktorý je v týchto vzorkách prítomný v menšom množstve. Sprevádza ho amorfny diadochit, ktorého prítomnosť indikuje P₂O₅ a značné množstvo vody unikajúcej pri teplote do 250 °C.

Urobili sme indexovanie čiar práškovej snímky a orientačný výpočet mriežkových konštant jarozuitu, predstavovaného vzorkou 3. Výsledky indexovania sa zhodujú s výsledkami Ch. M. W a r s h a w o v e j (1956). Podľa údajov tabuľky 5 sme vypočítali mriežkové parametre. Uvedené výsledky sú aritmetickým prieberom viacerých vypočítaných hodnôt a sú zhodné s údajmi z citovaných prác. (Presné meranie mriežkových parametrov jarozuitu uverejnime neskôr.)

DTA a dehydratačné krivky

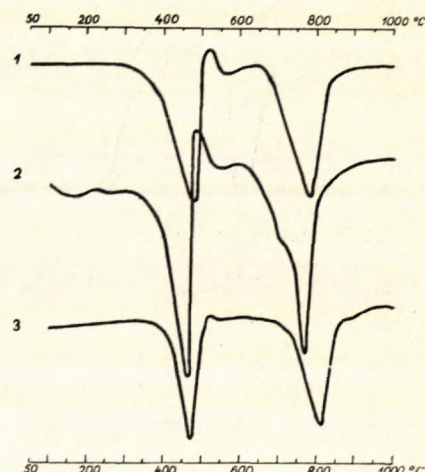
Krivky získané diferenčnou termickou analýzou jarozuítov z Deljatina (1), krivka vzorky 3 z Banskej Belej (2) i krivka jarozuitu z Chihuahua (Mexiko) (3) sú na obr. 1. DTA krivku jarozuítov charakterizujú dve intenzívne endotermné výchylky a jedna exotermná výchylka. Otázkou rozkladu jarozuitu sa zaoberali J. L. K u l p a A. H. A d l e r (1950).

Prvá, endotermná výchylka, ktorá sa začína intenzívne prejavovať medzi teplotami 300 až 350 °C, vrcholí pri teplotách 440 až 480 °C. Spôsobuje ju rozpad štruktúry jarozuitu, spojený s únikom troch molekúl vody a vznikom zlúčeniny $R_2^{+1} SO_4 \cdot Fe_2(SO_4)_3$ a Fe_2O_3 . Exotermnú výchylku pripisujú spomínaní autori kryštalizácii Fe_2O_3 z amorfnej hmoty. Vrchol exotermnej výchylky je pri teplotách 490 až 520 °C.

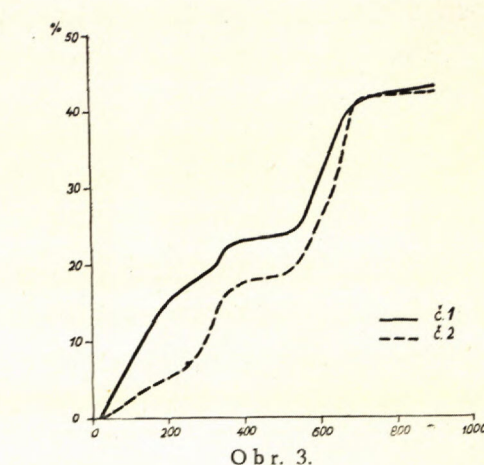
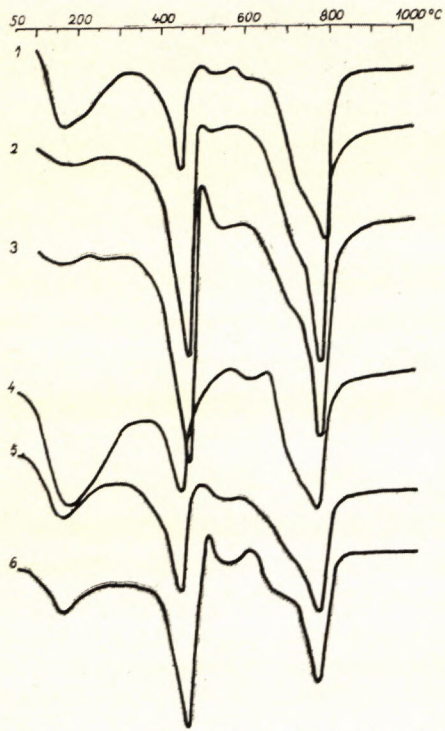
Druhá, exotermná výchylka začína pri teplotach medzi 600 až 650 °C a vrcholí pri teplotach 760 a 790 °C. Po nej nasleduje prudké vyrovnanie teplôt. Táto výchylka je spojená s rozpadom komplexnej zlúčeniny $R_2^{+1} SO_4 \cdot Fe_2(SO_4)_3$ na $R_2^{+1} SO_4$, Fe_2O_3 a SO_3 , ktorý uniká.

Na obr. 2 sú DTA krivky jarozuítov z Banskej Belej. Ich priebeh sa zhoduje s uvedenými dátami. Na krivkách vzoriek 1, 4, 5 a 6 vidíme ešte nízkoteplotnú výchylku, ktorá je charakteristická pre prítomný diadochit a na krivkách 1, 4 a 6 druhú exotermnú výchylku, ktorá vrcholí pri teplotach 570, 650 a 600 °C.

Odlišný je priebeh druhej endotermnej výchylky. Na všetkých DTA krivkách jarozuítov na obr. 2 vidno, že ide o dvojitú endotermnú výchylku; na jarozuite z Deljatina to nepozorujeme. V práci M. P. G a b i n e t a (1957) je publikovaná DTA krivka borislavského jarozuitu, na ktorej táto dvojtá výchylka je dobre viditeľná. Pravdepodobne je spôsobená rozkladom komplexnej zlúčeniny na $R_2^{+1} SO_4$ a $Fe_2(SO_4)_3$. Druhý stupeň je rozklad $Fe_2(SO_4)_3$ na Fe_2O_3 a $3 SO_3$.



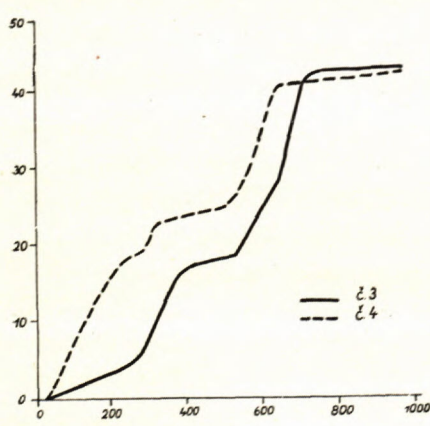
Obr. 1.



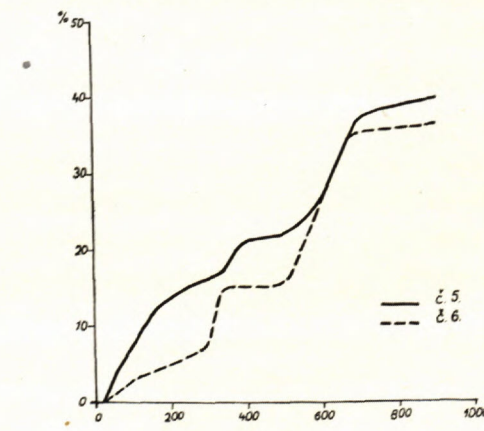
Obr. 2.

S týmto priebehom rozkladu jarozitov sa zhodujú krivky zmien váhy v závislosti na teplote (obr. 3, 4 a 5).

U vzoriek 1, 4, 5 a 6 vidíme prudký pokles váhy zapríčinený unikáním vody z koloidného diadochitu. Konštitučná voda jarozitu uniká medzi 300 a 400 °C. Pokles váhy spôsobený únikom SO₃ je viditeľný medzi 500 až 700 °C. Pri prepočte množstva SO₃ unikajúceho pri zohrievaní zistujeme, že z SO₃ uniká



Obr. 4.



Obr. 5.

o niekoľko percent menej, ako je určené množstvo chemickou analýzou. Rozdiel je viazaný ako $R_2^{+1} SO_4$, ktorý sa do 1000 °C nerozkladá (ide o K_2SO_4 a Na_2SO_4).

Porovnanie výsledkov

Pri prepočítavaní výsledkov chemických analýz sme vychádzali z toho, že vo vzorke 2 a 3 bol identifikovaný iba jarozit, a to termicky i röntgenograficky. Chemický vzorec jarozitu $K Fe_3 (SO_4)_2 (OH)_6$ sme prepočítali na kysličníky, ktorých vzájomný pomer je $K_2O : 3 Fe_2O_3 : 4 SO_3 : 6 H_2O$. Tieto údaje chemickej analýzy sme prepočítali na molekulárne ekvivalenty. Výsledky sú uverejnené v tab. 6.

Všetok kysličník sírový smie pokladali za súčasť jarozitu. Molekulárne ekvivalenty ostatných kysličníkov sme prepočítali v pomere k základu $SO_3 = 4,00$. Vidíme teda, že v analýze 2 je pomer kysličníkov 0,62 : 3,04 : 4,0 : 6,82 blízky teoretickému. Závažný je nedostatok alkália. Podobný výsledok je aj u analýzy 3.

Keby sme vzali alkálie za základ pre výpočet množstva jarozitu, dostali by sme

T a b u l k a 6

Zložky	Váhové %	Molekulárne ekvivalenty	Prepočítané mol. ekvivalenty
Teoretické zloženie			
K_2O	9,41	1,0	
Na_2O	—	—	
Fe_2O_3	47,83	3,0	
SO_3	31,96	4,0	
H_2O	10,80	6,0	
Analýza 2 tab. 2			
K_2O	5,40	0,57	
Na_2O	0,10	0,01	0,62
Fe_2O_3	45,44	2,84	3,04
SO_3	29,98	3,74	4,0
H_2O	11,50	6,38	6,82
Analýza 3 tab. 2			
K_2O	6,20	0,66	
Na_2O	0,08	0,01	0,69
Fe_2O_3	44,26	2,77	2,88
SO_3	31,06	3,87	4,0
H_2O	11,56	6,43	6,65

nepravdepodobné výsledky, pretože vzorky 2 a 3 by takto obsahovali 57 % a 66 % jarozitu. Podobným spôsobom postupoval aj M. P. Gabinet (1957) pri prepočte mineralogického zloženia jarozitu z Deljatina. Jeho prepočty uvádzame v tabuľke 7, ktorú sme doplnili prepočtom molekulárnych ekvivalentov na základ $\text{SO}_3 = 4,00$.

T a b u ľ k a 7

Č.	Zložky	Váh. %	Molekulárne ekvivalenty	$\text{K}_2\text{O} \cdot 3 \text{Fe}_2\text{O}_3 \cdot 4 \cdot \text{SO}_3 \cdot 6 \text{H}_2\text{O}$	Zbytok	Prepočítané molekulárne ekvivalenty
1	Al_2O_3	4,18	041		041	
2	Fe_2O_3	45,14	282	201	081	3,04
3	FeO	,79	011		011	
4	MgO	,13	003		003	
5	K_2O	3,95	042	042	—	
6	Na_2O	1,55	025	025	—	0,73
7	SO_3	29,72	371	268	103	4,0
8	$-\text{H}_2\text{O}$	1,19	066		066	
9	$+\text{H}_2\text{O}$	10,12	562	402	160	6,05
10	nerozb. zb.	3,02				
	Suma	99,79		64,70 %	32,07 %	

Vidíme, že prepočet pri tomto základe dáva pomer kysličníkov 0,73 : 3,04 : 4,00 : 6,05. Aj tu sa objavil nedostatok alkália. Ak by sme sa pridržiavali prepočtu M. P. Gabineta, bolo by treba vysvetliť mineralogické zloženie zvyšku 32,07 %. Autor ho vysvetluje mechanickou prímesou hydrátu $\text{Fe}_2\text{O}_3 \cdot \text{H}_2\text{O}$ presahovalo 10 %, ktoré by sa muselo termicky prejavíť na krivke DTA; tam však pri teplotách medzi 290 a 350 °C nie je pozorovateľná žiadna výchylka. Škoda, že autor neuvádza dátá röntgenovej analýzy.

Prepočet jarozitu s deficitom alkália urobila aj Ch. M. Warshaw-ová (1957). Uvádzame tu prehľad vzájomného pomeru kysličníkov u jarozitov z troch lokalít:

	Ban. Belá		Deljatin (SSSR)	Pensylvánia (USA)
Alkálie	0,62	0,69	0,73	0,77
Fe_2O_3	3,04	2,88	3,04	3,31
SO_3	4,00	4,00	4,00	4,00
H_2O	6,82	6,65	6,05	

Z týchto výsledkov vidíme, že jesťvujú jarozity s deficitom alkália.

A. A. Moss (1957) ukazuje vo svojej práci o karphosiderite a príbuzných zásaditých síranoch železitých, že minerály karphosiderit, borgströmit, utahit,

cyprusit, pastréit a raimondit sú jarozity alebo natrojarozity. Moss vychádza pritom z chemických analýz, ktoré potvrdzujú jeho závery. Preto sa aj údaje röntgenovej analýzy navzájom dobre zhodujú. Pomer alkália a SO_3 je vo všetkých ním publikovaných analýzach približne 1 : 4. Pretože jestvovanie väčšiny týchto minerálov je založené na analýzach z druhej polovice minulého storočia, možno predpokladať, že ide o omyly, najmä ak uvážime obtiažnosť stanovenia alkália.

V uvedenom článku autor ďalej tvrdí, že nict dôvodov, ktoré by oprávňovali predpoklad o existencii minerálu so zložením $\text{H}_2\text{O} \cdot \text{Fe}_3(\text{SO}_4)_2 \cdot (\text{OH})_5 \cdot \text{H}_2\text{O}$; tento vzorec pripisuje karphosideritu. Ch. M. Warshawová (1957) považuje za karphosiderit zlúčeninu $\text{Fe}_3(\text{SO}_4)_2 \cdot (\text{OH})_5 \cdot \text{H}_2\text{O}$. Závažným nedostatkom jej práce je, že neuvádzá chemickú analýzu minerálu, ktorú použila ako štandard. Mriežková konštanta c karphosideritu v jej práci (16,68 Å) ukazuje, že miesta jednomocných kationtov v mriežke sú obsadené kationtami Na^{+1} alebo sú volné.*

Jestvovanie jarozitov s nedostatom alkália ukazuje, že predpokladaná štruktúra s volnými miestami a jednou $(\text{OH})^{-1}$ skupinou nahradenou molekulou H_2O je možná. Potvrdzuje to i prepočet chemickej analýzy jarozitu z Deljatinu. Rovnako je možná aj štruktúra $\text{H}_2\text{O} \cdot \text{Fe}_3(\text{SO}_4)_2 \cdot (\text{OH})_5 \cdot \text{H}_2\text{O}$, ktorá je zhodná s výsledkami analýz z Banskej Belej. Voda umiestnená vo voľnom priestore štruktúry namiesto alkália uniká pri rozpade mriežky minerálu (prvá, endotermná výchylka). Preto uniká do 400 °C viac vody ako sa očakáva teoreticky. Iným spôsobom sa ľahko dá vysvetliť neporušenosť mriežky vzoriek jarozitu so značným nedostatom alkália.

K podobnému záveru dôjdeme, ak porovnáme mriežkovú konštantu c , nameranú Ch. M. Warshawovou (1957) na jarozite (17,22 Å) s našou hodnotou (17,17 Å). Vzorka jarozitu z Banskej Belej má však tretinu miest alkália voľnú. Preto by jej mriežková konštantu mala byť medzi hodnotami 17,22 a 16,68 Å (17,04 Å). Vieme, že polomery K^{+1} a H_2O sú približne rovnaké. Ak predpokladáme zaplnenie voľných miest molekulami H_2O , je výsledok v súlade s predpokladanou hodnotou.

Vznik jarozitu

Jarozit i diadochit sú recentné minerály, ktoré vznikajú v oxydačnom pásme žily Bíber. Pyrit, ktorý je zdrojom síranovej zložky, je prítomný nielen v rudnej výplni žily Bíber, ale impregnuje dosť intenzívne v jej blízkosti aj okolité dacitické horniny. Povrchové vody, ktoré pretekajú rudnou výplňou žily, obsahujú okrem síranovej zložky aj ionty $(\text{PO}_4)^{-3}$, alkálie, železo a ďalšie komponenty,

* Počas tlače publikoval R. van Tassel v Mineralogical Magazine, vol. 31, č. 240, str. 818, chemickú analýzu vzorky karphosideritu (U.S. Nat. Museum, R 6266) z Grónska, ktorú použila aj Ch. M. Warshawová vo svojej práci, a identifikoval ho ako natrojarozit.

z ktorých vznikajú uvedené minerály. Alkálie pochádzajú z alkalických živcov okolitých hornín rozložených vplyvom kyseliny sírovej. Proces vzniku týchto minerálov je pozvolný. Prebieha pri teplotách 10–25 °C. Pohyb vadôznej vody pretekajúcej priestorom žily je veľmi pomalý.

Oba minerály sú výsledkom chemickej sedimentácie z vodných roztokov. Koncentrácie jednotlivých kationtov a aniontov sa periodicky menili. Odráža sa to na mineralogickom zložení vzoriek. Tak v práci o diadochite (1958) udávame analýzy troch farebne rozdielnych častí jedného kusa, kde diadochit a jarozit postupne prechádzajú jeden do druhého. Z uvedených analýz vidieť, že s klesajúcim obsahom P_2O_5 stúpa obsah alkálií, síranovej zložky a olova.

Na obsah alkálií je viazaná prítomnosť rubídia. Spektrálnou analýzou sa našlo vo vzorkách 1, 2, 3, 5 a 6. Vzorka 4 obsahuje najmenej alkálií.

Prítomnosť arzénu je viazaná na obsah fosforu. Vo vzorkách 2 a 3 je obsah P_2O_5 nízky, arzén sa v nich nenašiel. Je zrejmé, že ide o izomorfné zastupovanie aniontov $(PO_4)^{-3}$ a $(AsO_4)^{-3}$ v diadochite, ktorý je zložkou ostatných vzoriek.

Olovo a amónium sú pravdepodobne viazané ako izomorfna prímes v jarozitoch spôsobom opísaným v stati o röntgenovej analýze.

Zo všetkých údajov vyplýva, že jarozit a diadochit tvoria v oxydačnom pásme žily Biber chemicky variabilnú paragenetickú asociáciu.

Súhrn

Článok je druhou časťou mineralogického štúdia sekundárnych minerálov v Banskej Belej. Navázuje na prácu „Výskyt diadochitu v Banskej Belej“.

Zistili sme tieto skutočnosti:

1. minerál označený v prvej časti ako cyprusit bol pri detailnom chemickom a mineralogickom štúdiu určený ako jarozit;
2. zrovnaním výsledkov termickej a röntgenovej analýzy s prepočtom chemickej analýzy na stechiometrické pomery (molekulárne ekvivalenty) sme dokázali existenciu jarozitov s deficitom alkálií. Štruktúra jarozitu zostáva zachovaná;
3. predpokladáme, že opísané jarozity sú produkтом rozkladu pyritu a okolitej dacitickej horniny, vzniklým cirkuláciou vadôznych vód oxydačného pásma rudnej žily Biber;
4. diadochit a jarozit tvoria na tejto lokalite chemicky variabilnú paragenetickú asociáciu sekundárnych minerálov. Takáto asociácia minerálov z uvedenej oblasti nebola dosiaľ opísaná.

LITERATÚRA

- [1.] ASTM, 1944: Extensive Supplementary Card File of X-ray Diffraction Data. New York. — [2.] Gabinet M. P., 1957: Vtoryčnyje mineraly v menilitovych slancach vostočnych Karpat. Min. sbornik Lvov. geol. obšč. č. 11 Lvov. — [3.] Hendricks S. B., 1957: The crystal structure of alunite and jarosites. Am. Min. vol. 22, str. 773. Menasha. — [4.] Jarkovský J., Číčel B., 1958: Výskyt diadochitu v Banskej Belej. Geol. práce, Zprávy 13. Bratislava. — [5.] Kokta J., 1937: O některých sŕanech ze Smolníku na Slovensku. Sborník Přírodověd. klubu v Brně, 19, str. 75—79. Brno. — [6.] Kulp J. L., Adler H. A., 1950: Thermal study of Jarosite. Am. Journ. Sci., vol. 248, č. 7. New Haven. — [7.] Moss A. A., 1957: The nature of carphosiderite and allied basic sulphates of iron. Min. Mag. vol 31., č. 236, str. 407. Londýn. — [8.] Warsaw Ch. M., 1956: The occurrence of jarosite in underclays. Am. Min. vol 41. str. 288. Menasha.

JÁN JARKOVSKÝ—BOHUSLAV ČÍČEL

JAROSITE FROM BANSKÁ BELÁ

In Banská Belá mines we have found the secondary mineral jarosite. In our previous paper „Occurrence of diadochite in Banská Belá“, on the base of data of X-ray analysis compared with ASTM card for cyprusit, was this mineral named cyprusit.

According the data of A. A. Moss (1957) given in table 3., minerals karphosiderite, borgströmite, utahite, and cyprusite together with pastréite and raimondite are jarosites or natro-jarosites. In detail study of cleaner samples of mineral from Banská Belá was confirmed, that this mineral is jarosite too.

Mineralogical analysis were made on six samples. All were dried at room temperature (20°C). They were yellow, brownish to brown colored. Highly pure jarosite were in redbrownish crusts on yellow core of jarosite-diadochite mixture.

Results of chemical analysis are in table 2. Difference between dates in table 2 and 3 are in $+ \text{H}_2\text{O}$. In chemical anlysis of jarosites from Banská Belá as $+ \text{H}_2\text{O}$ is given only loss of weight between 250°C and 400°C . Samples contain diadochite, which has a high loss of weight to 200°C . Other data given in both tables are in good agreement.

In table 5 are given X-ray data only for samples No 2 and 3 from table 2. The powder patterns were indexed and the cell dimensions determined. These data are given in table 4.

Results of DTA are compared with curves given J. L. Kulp and H. A. Adler (1950) and M. P. Gabinet (1957). On some in this paper published curves first endothermic peak at low temperature and one exothermic peak at 500°C — 600°C are signes of presence of diadochite. Second endothermic peak of jarosite at 760°C — 790°C is double. Similar double peak is good expressed on DTA-curve of jarosite from Borislav (USSR).

Our mineralogical calculations are based on fact, that all kinds of analysis show, that in samples No 2 and 3 only jarosite is present. Then all the sulphat was assumed to be present in this mineral and his molecular equivalent is 4,00. On this base was recalculated all results of chemical analysis (table 6). Both samples are deficient in alkalies. Similar data was obtained by recalculation of chemical analysis of Deljatine-jarosite. (USSR, M. P. Gabinet, 1957) given in table 7. Results of Ch. M. Warsaw (1956) confirm existence of jarosites with deficiency in alkalies.

A. A. Moss (1957) in his paper says, that „there exists no evidence for a mineral of the composition $H_2O \cdot Fe_3(SO_4)_2 \cdot (OH)_5 \cdot H_2O$ “. Karphosiderite of his work contain alkalies. Karphosiderite published by Ch. M. Warsaw (1956) according given formula $Fe_3(SO_4)_2 \cdot (OH)_5 \cdot H_2O$ contain no alkalies. Dimension c_0 (16,68 Å) show, that this sample is nastrojarosite or actually alkalie free jarosite with the given formula (data of chemical analysis are not present).

Existence of jarosites with alkalies deficiency show, that structure with free alkalie positions and $(OH)^{-1}$ substituted with H_2O is possible. Recalculation of chemical analyse of jarosite from Deljatin confirm this. Equaly is possible the second structure with H_2O in alkalie position and given substitution $(OH)^{-1} - H_2O$. This is in agreement with results of analysis of Banska Belá jarosite. Removal of constitutional water (first endothermic peak of jarosite) is accompanied with expulsion of H_2O from alkalie positions. Probably that is the reason of higher water loss in $250^{\circ}C - 400^{\circ}C$ region. Similar result is from lattice parameters comparison.

Jarosite and diadochite are on this locality recent minerals. Both are results of chemical sedimentation from water solutions. Changes of content of cations and anions are periodical and both minerals are in intimate mixture.

KAROL BORZA—EDUARD MARTINY—ALOJZ POSPÍŠIL

ZPRÁVA

o výskume „červenozeme“ z oblasti Brezovského pohoria

(*1 obr., nemecké resumé*)

V minulom roku sme robili terénny výskum červenozeme vyvinutej na báze vrchnej kriedy Brezovského pohoria.

Najstaršie súvrstvie spodnej kriedy podľa Andrusova a Kuthana (1942) sa skladá z bazálnych karbonatických zlepencov, jemne až hrubozrnných. Zlepence u Valchovského mlyna a v južnejších výskytoch sú hrubozrnné s valúnmi priemerne veľkosti pásťe vo vyšších polohách. Na niektorých miestach nadobúdajú zlepence brekciovitý charakter. Ich tmel je vápenatý, často červenej farby, o ktorom sa predpokladalo, že je bauxitický. V záreze pri uvedenom mlyne možno pozorovať, že červený tmel tvorí viac-menej súvislé polohy 5–15 cm mocné, sledovateľné na kraťiu vzdialenosť. Tmel je jemnozrnný, miestami ilovitejší, obsahujúci zhluky hnedočervenej farby s ojedinelými nejasnými pizoličmi (hematit). Ďalšie výskyty červenozeme sú v záreze železnice pri uvedenom mlyne v kameňolome pri Brezovej pod Bradlom a v záreze cesty východne od Košarísk.

Pri mikroskopickom štúdiu vidieť, že ide o jemnoklastický materiál, tvorený uhličitanmi (vápence, dolomity) s malou prímesou klastického kremeria, tmelené ilovito-železitým materiálom. Pri určovaní hrubšej frakcie okrem spomenutých komponentov sa zistili úlomky chalcedonu, ihlice húb a radiolárie (tvorené chalcedonom, príp. opáлом). Čažké (akcesorické) minerály neboli zistené.

Chemické analýzy z lokalít: vzorka 1 — lokalita Štverníky — zárez cesty pri mlyne; vzorka 2 — lokalita Štverníky — zárez cesty pri železnici; vzorka 3 — lokalita Brezová pod Bradlom — cigánska osada; vzorka 4 — lokalita zárez cesty vých. od Košarísk.

Identifikácia pomocou difrakcie X-lúčov

Difrakčné záznamy sa robili na vzorkách upravených separovaním v 5n HCl a sedimentačnou metódou (Andreasen). Frakcia po separovaní v HCl a frakcia pod 2 sa analyzovala pomocou difrakcie X-lúčov za týchto experimentálnych

Chemické analýzy

Vzorka	1	2	3	4
SiO ₂	48,72	20,71	34,73	51,31
P ₂ O ₅	0,18	0,21	0,06	0,29
TiO ₂	0,92	0,21	0,32	0,56
Al ₂ O ₃	14,48	3,76	6,56	10,17
Fe ₂ O ₃	7,72	2,52	2,81	4,56
MnO	0,07	0,05	0,07	0,06
CaO	7,01	28,33	27,89	14,20
MgO	3,94	8,20	1,10	1,09
Na ₂ O	0,08	0,35	0,30	0,17
K ₂ O	1,49	0,88	1,24	1,19
Strata žíhaním	15,22	35,29	25,45	17,00
Suma:	99,83	100,51	100,53	100,60

podmienok: prístroj Mikrometa Chirana, metóda D e b y e - S h e r r e r, komôrka o priemere 64 mm, žiarenie Co antikatódy filtrované Fe filtrom, expozičná doba 5 hod. pri 23 kV, 32 mA, šrbina komôrky 1 mm priemeru. Pre registráciu sa použil film Agfa Laue, vývojka Agfa 30, doba vyvolávania 6 min. pri 18 °C.

Premeriavanie difrakčných snímok sa robilo na komparátore Chirana s presnosťou 0,1 mm. Intenzita čiar sa hodnotila vizuálne. Identifikácia minerálov sa vykonala podľa tabuľiek uvádzaných Brindleyom. Výsledky identifikácie a difrakčné hodnoty sú v tabuľkách 1 – 2.

Vorka 1 – lok. Štverníky pri mlyne

T a b u l k a 1

Separ. v 5n HCl č. d v kX	I	č. d v kX	I	Frakcia pod 2 μ
1. 5,00	0,2 illit, goethit	1. 714	0,2 kaolinit	
2. 4,49	0,2 illit	2. 4,49	1,00 illit	
3. 4,25	0,2 kremeň	3. 3,28	0,6 illit	
4. 3,67	0,1 illit	4. 2,67	0,5 hematit	
5. 3,32	1,0 illit, kremeň	5. 2,53	1,0 hematit, goethit	
6. 2,70	0,1 hematit	6. 2,30	0,4 goethit	
7. 2,58	0,4 goethit, illit	7. 2,20	0,4 hematit	
8. 2,13	0,1 kremeň	8. 1,97	0,3 illit, goethit	
9. 1,97	0,1 kremeň	9. 1,82	0,4 hematit	
10. 1,82	0,3 kremeň	10. 1,70	0,7 goethit	
11. 1,70	0,3 goethit	11. 1,49	0,8 hematit	
12. 1,54	0,2 kremeň	12. 1,44	0,4 hematit	
13. 1,50	0,3 kremeň	13. 1,30	0,3 hematit	

Vzorka 1 obsahuje podľa týchto údajov tieto minerály: ako hlavná zložka je to kremeň a illit, ako vedľajšie zložky kaolinit fireclay, hematit a goethit.

Vzorka 2—4

T a b u l k a 2

Separ. v 5n HCl			Frakcia pod 2 μ
č. d v kX	I	č. d v kX	I
1. 4,47	0,5 illit	1. 5,00	0,2 illit, goethit
2. 4,17	0,5 goethit, kremeň	2. 4,49	0,5 illit
3. 3,34	0,4 kremeň	3. 4,20	0,2 goethit
4. 3,28	1,0 illit	4. 3,34	1,0 illit, goethit
5. 2,56	0,3 illit	5. 2,70	0,1 hematit
6. 2,42	0,4 kremeň	6. 2,59	0,8 illit
7. 2,25	0,4 kremeň	7. 1,50	0,7 goethit, illit
8. 2,21	0,1 goethit		
9. 2,11	0,4 kremeň		
10. 1,96	0,4 kremeň		
11. 1,80	0,7 kremeň		
12. 1,66	0,3 illit, kremeň		
13. 1,53	0,6 illit, kremeň		
14. 1,45	0,4 hematit		
15. 1,44	0,3 kremeň		

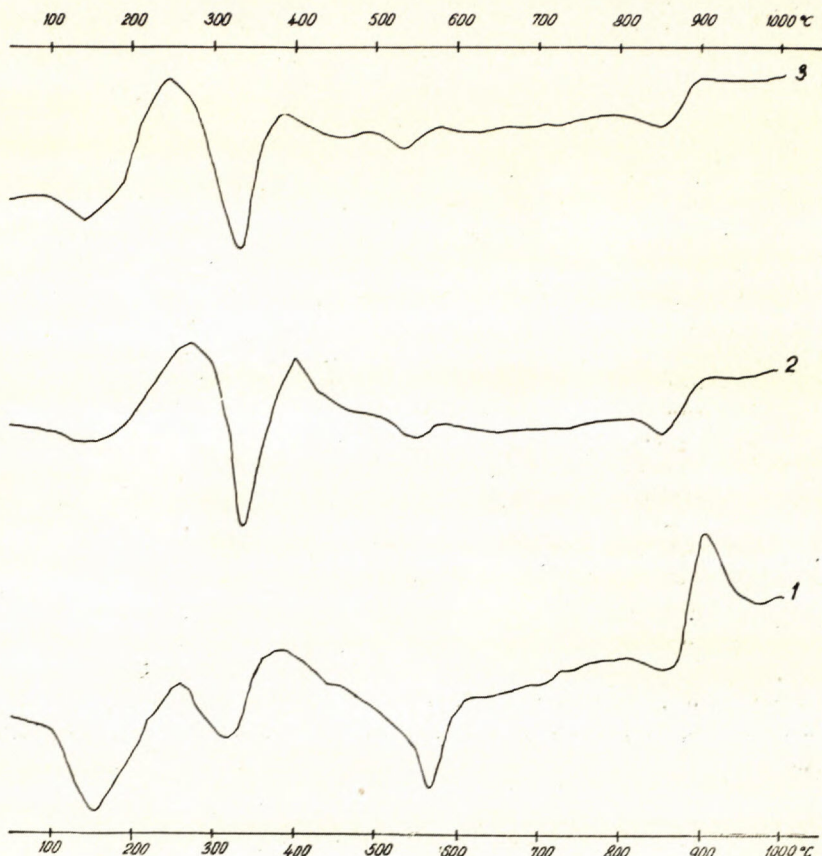
Difrákčné snímky vzoriek 2—4 sú identické. Podľa difrákčných hodnôt obsahujú tieto minerály: kremeň a illit ako hlavné zložky, hematit a goethit ako vedľajšie.

Diferenčno-termické analýzy (Obr. 1)

DTA sa robili zo separovaných vzoriek v Andreasenových sed. válcach po predbežnom odstránení uhličitanov 5n HCl a použila sa frakcia pod 2 μ . DTA krivky boli urobené z týchto lokalít: krivka 1, lokalita Štverníky — zárez cesty pri mlyne; krivka 2, lokalita Štverníky — zárez železnice; krivka 3, lokalita zárez východne od Košarísk.

Pri vzorke 1 bola navážka 1 g vzorky + 0,5 g Al_2O_3 vyžíhaného pri 1100 °C. Pri vzorkách 2 a 3 bola navážka 0,4 vzorky + 0,8 Al_2O_3 . DTA sa robili na normálnej aparátúre za použitia Pt—PtRh termočlánku, rýchlosť zahrevania okolo 10 °C za min. Analýzy boli urobené na GÚDŠ.

Krivka 1 má hned na začiatku veľmi výraznú endotermnú reakciu s vrcholom pri 175 °C a predstavuje únik molekulárnej vody. Ďalej nasleduje exotermná reakcia, ktorá značí vyháranie organických látok. Táto je prerušená endotermnou reakciou prebiehajúcou medzi 260 °C—375 °C a značí dehydratáciu hydrátov Fe_2O_3 . Pri teplotách medzi 460 °C—620 °C prebehla ďalšia endotermná reakcia, ktorej vrchol je pri 570 °C. Táto reakcia značí dehydroxyláciu kaolinitu a illitu.



Dôkazom toho je výrazná exotermná reakcia s vrcholom pri $950\text{ }^{\circ}\text{C}$, ktorá je väčšia, než býva obvykle u illitov. Posunutie nulovej polohy je za exotermnou reakciou; toto je tiež charakteristické pre illit. Malá endotermná výchylka okolo $850\text{ }^{\circ}\text{C}$ značí pravdepodobne rozpad mriežky spomínaných minerálov (Konta 1957).

Súhrn. Vzorka obsahuje illit, kaolinit a hydráty Fe_2O_3 .

Krivky 2 a 3 majú podobný priebeh. Endotermná reakcia pri obidvoch vzorkách má vrchol okolo $150\text{ }^{\circ}\text{C}$ a značí únik molekulárnej vody. Nasledujúca výrazná exotermná reakcia znamená vyháranie organických látok. Táto je prerušená výraznou endotermnou reakciou s vrcholom okolo $330\text{ }^{\circ}\text{C}$, ktorá znamená dehydratáciu hydrátov kysličníka železitého. Ďalšia mälo výrazná endotermná reakcia prebieha u prvej vzorky pri teplotach medzi 500 a $570\text{ }^{\circ}\text{C}$, s vrcholom pri $550\text{ }^{\circ}\text{C}$. Pri druhej vzorke prebieha táto reakcia približne v tom istom rozmedzí, len vrchol reakcie je pri teplotach asi o $10\text{ }^{\circ}\text{C}$ nižších. Pri teplote asi $850\text{ }^{\circ}\text{C}$ prebehla pri-

obidvoch vzorkách pomerne málo výrazná endotermná reakcia, ktorá je obdobne ako reakcia predchádzajúca charakteristická pre illit. Krivka je zakončená u obidvoch vzoriek slabou endoternou reakciou, čo je spôsobené vplyvom posunutia nulovej polohy, tiež charakteristického pre illit.

Súhrn. Vzorky obsahujú illit a hydráty kysličníka železitého.

Dosiahnuté výsledky ukazujú, že tu nejde o bauxitický tmel, ale o horniny s prevládajúcou zložkou uhličitanov a SiO_2 (alumosilikátov). Z ílovitých minerálov ide predovšetkým o illit, menej kaolinit. Červené sfarbenie je spôsobené jemne rozptýleným železitým pigmentom. Na základe toho dochádzame k záveru, že prevažná časť červenozeme Brezovského pohoria vznikla ako residuálna hlina v oblasti rozšírenia uhličitanových hornín (prítomnosť radiolárií a ihlic húb); menšia časť vznikla vetraním vyvrelých, resp. metamorfovaných hornín bohatých na alumosilikáty (illit, kaolinit). Predpokladáme, že ide o zvetralinové plášte pred spodosenonské a že pri transgresii senonského mora boli čiastočne preplavené a usadené spolu so zlepencami, ktoré tu pôsobia ako tmel. Tieto sedimenty boli neskoršie pôsobením erózie odnesené a zachovali sa len na niektorých miestach.

*Geologické laboratórium
Slovenskej akadémie vied, Bratislava*

LITERATÚRA

- [1.] Andrusov — Kuthan, 1942: Zpráva o geologickej výskume územia projektovanej hlavnej železnice Brezová pod Bradlom—Myjava. Archív GÚDŠ. — [2.] Brindley G. W., 1951: X-ray identification and crystal structures of clay minerals, London. — [3.] Konta J., 1957: Jílové minerály Československa, Praha.

KAROL BORZA—EDUARD MARTINY—ALOJZ POSPIŠIL

BERICHT ÜBER DIE UNTERSUCHUNG DER „ROTERDE“ AUS DEM GEBIET DES GEBIRGES BREZOVSKE POHORIE

Die basalen unterkreidezeitlichen Konglomerate des Gebirges Brezovské pohorie werden manchmal durch ein braunrotes, feines, bis toniges Bindemittel verkittet, das auch zusammenhängende, 5—15 cm mächtige Lagen bildet. Man setzte voraus, dass es sich um ein bauxitisches Material handelt. Dieser kurze Bericht antwortet auf die bisher ungelösten Fragen, wie die mineralogische und chemische Zusammensetzung des angeführten Bindemittels und berührt auch eine Genese.

Die vorherrschende SiO_2 -Komponente nimmt an der Bildung von Quarz und Illit, weniger Kaolinit teil. Die weitere CaO-Komponente spricht von einem bedeutenden Kalzitanteil und weniger Dolomit. Die Fe-Minerale, die die braunrote Färbung des Bindemittels verursachen, werden durch Hämatit und Goethit vertreten, wie es aus der DTA folgt. Es handelt sich da also um

kein bauxitisches (da der SiO_2 -Anteil hoch und Al_2O_3 -Anteil klein ist), sondern um ein quarz-karbonatisches, durch Eisen gefärbtes Bindemittel, das als residualer Ton im Gebiete der Verbreitung von Karbonatgesteinen, teilweise auch durch Zerlegung von Alumosilikate enthaltenden Gesteinen entstanden ist. Es handelt sich wohl um eine verwitterte unterkretazeische Hülle, die nach der Herabschwemmung ins Meer zum Bindemittel der erwähnten Konglomerate geworden ist.

Aus dem Slowakischen übersetzt von F. Návara

*Geologisches Laboratorium
der Slov. Akad. der Wissenschaften,
Bratislava*

PETRONELLA ONČÁKOVÁ

VULKANICKÉ SKLÁ A ICH POUŽITIE V STAVEBNÍCTVE

Na východnom Slovensku v južnej časti Prešovsko-tokajského pohoria pri Byšte a v oblasti Zemplínskeho ostrova vyskytujú sa vulkanické sklá, obsidiany, smolky a perlity ako aj ryolitové tufy. Vulkanické sklá predstavujú pôvodnú magmu, ktorá extrudovala a chladla tak skoro, že nemala času na vykryštalizovanie. Preto sa dnes všade intenzívne študujú sklovité horniny; toto štúdium prináša dôležité zaujímavé poznatky. Niektoré vulkanické sklá obsahujúce viazanú vodu, pri rýchлом zohrievaní na teplotu v rozmedzí $900^{\circ}\text{C} - 1200^{\circ}\text{C}$ zväčšujú až 10 krát pôvodný objem horniny. Tak vzniká ľahký pôrovitý materiál známy pod menom expandovaný perlit. Na tomto základe sa v posledných desaťročiach rozšíril najmä v USA nový priemyselný odbor — produkcia ľahkého perlitového agregátu, materiálu, ktorý vzhľadom na svoju ľahkosť a jedinečné tepelno-izolačné vlastnosti má veľkú dôležitosť pri špeciálnych požiadavkách v stavebníctve. Pre svoje vynikajúce vlastnosti, rozmanitosť a hospodárnosť je expandovaný perlit v zahraničí veľmi populárny. Hoci sa pred druhou svetovou vojnou ešte perlit v stavebníctve vôbec nepoužíval, jeho ťažba bola v r. 1953 až 43 razy väčšia ako v roku 1946 (174 461 ton v hodnote 8 894 735 dolárov). Veľké množstvo perlitu je v Novom Mexiku, Utahu, Arizone, Kalifornii, Koloráde a Oregone. Podobný výskum perlitov sa robí aj v Novom Zeelande a v Japonsku. V poslednom čase venujú sa jeho výskumu aj pracovníci Akadémie vied v Ľvove a Laboratória pre výskum nerastných surovín pri Katedre geológie a mineralógie v Košiciach. Perlit v zmysle, v akom sa dnes v hospodárstve používa, je hornina vulkanického pôvodu, obsahujúca chemicky viazanú vodu, plyny a iné prchavé látky. Ak sa náhle zahrieva na vhodnú teplotu, veľmi expanduje v dôsledku volatizácie v zmäknutej hmotě horniny. Táto expanzia sa pohybuje medzi $400 - 2000\%$.

Chemické zloženie perlitu je skoro vždy rovnaké. Koliše iba obsah viazanej vody, ktorý je závislý od vulkanickej horniny, s ktorou príslušné ložisko perlitu geneticky súvisí.

Množstvo chemicky viazanej vody v perlite je dôležité. Merania ukázali, že obsah vody v perlite je viazaný pomerne volne. Postupom dehydratácie sú reziduálne vody postupne zdržiavané v hornine pevnejšie. Autori uvádzajú, že voda nad 1,2 % je v hornine „udržovaná volne“. Či možno expanziu perlitu pripisovať chemicky viazanej vode presahujúcej tento percentuálny obsah, nie je isté; zdá sa však, že voda nad 1,2 % sa vyparí skôr než prebehnú podstatnejšie expanzné procesy. Pravdepodobne iba malá časť $+H_2O$ sa aktívne zúčastňuje expanzie. Podľa L. R. L. Dunn a W. M. Billings hussla, ktorí robili laboratórne výskumy perlítov na Novom Zélande, charakteristickou vlastnosťou najlepších typov ryolitových hornín je obsah viazanej vody ($H_2O +$) medzi 2–4 %. Optimálny obsah vody v perlitech nie je zatiaľ známy; Keller a Pickett však pri výskumoch perlitu na absorbcii infračerveného spektra rozpráškovaných hornín dokázali prítomnosť hydroxylovej a vodikom viazanej vody a na základe prítomnosti takejto vody vysvetľujú expanzné zjavu pri zohrievacích pokusoch.

Dobývanie a spracovanie

Všetky perlity sa dobývajú povrchovými metódami. Dobývanie je jednoduché, pričom jeho spôsob je závislý od špecifických vlastností lokality. Potrebné je iba zariadenie na dopravu materiálu, na lámanie horniny, ak to jej tvrdosť vyžaduje, a zariadenie na prepravu perlitu do mlyna.

Mletie je pomerne jednoduché. Pozostáva z rozdrvenia perlitickej horniny, separácie rozdrveného produktu podľa požadovanej veľkosti zrn. Používajú sa 2 procesy — mokrý a suchý. Mokrou metódou sa znižuje strata v práci na minimum, avšak vyžaduje sa nákladnejšie sušenie a spotrebujú sa veľké množstvá vody. Po prvotnom rozdrvení v drviči, prichádza materiál do tyčových alebo gulových mlynov. Po zomletí hornina sa triedi podľa veľkosti zrn na vibračných sitách. Najjemnejšia frakcia sa bud odstraňuje, alebo sa skladuje pre prípadné budúce použitie. Veľki producenti majú pásové dopravníky pre dopravu rozdrveného materiálu. Pre dopravu surového perlitu firmám, ktoré ho spracovávajú, používajú sa automatické vzorkovače. Sú známe viaceré typy pecí, v ktorých sa vyrába expandovaný perlit, avšak v práci sa používajú dva základné typy:

1. horizontálny (rotačný alebo stabilný),
2. vertikálny (stabilný).

Každý z týchto typov má viac druhov, ktoré sa v detailoch líšia, avšak žiadna z pecí sa nehodí pre všetky typy spracovaného produktu. Horizontálne pece produkujú rozmanitejšie variety perlítov a možno ich plniť hrubozrnejšou surovinou. Vertikálne pece majú málo pohyblivých častí. Väčšina pecí privádza expandovaný perlit do cyklonového zberného systému, v ktorom sa produkt triedi. Vo väčšine prípadov sa v peciach používa plyn, niektoré sú vykurované tektými palivami. Konečný produkt je ovplyvnený veľkosťou a druhom penky, teplotou, časom zohrievania a fyzikálnou i chemickou povahou surovej horniny.

Použitie expandovaného perlitu

Okolo 80 % expandovaného perlitu sa v USA používa ako prísad do sádrových omietok. Výhody perlítických omietok oproti pieskovým sú: ich ľahkosť,

dobré tepelné a zvukové izolačné vlastnosti, ohňovzdornosť, ľahkosť a rýchlosť použitia, dobré spojovacie vlastnosti a pod. Perliticko-sádrová omietka je trojaká: pravidelná, ohňovzdorná a akustická. Asi 10 % produkcie perlitu sa používa pri železobetóne. Najčastejšie použitie sú: platne, prefabrikačné panely a sekcie stien.

Perlit sa používa ešte ako prísada do výplachov (asi 4 % produkcie); izolácia medzi betónovými blokmi stien; izolácia parných potrubí buď ako voľná výplň v plášti alebo ako vrstva omietky; na izoláciu chladiacich prístrojov; ako voľné izolačné prostredie pre žeravé ocelové ingoty počas spracovania; ako náhrada za bežný slievarenský písok; na obkladacie dlaždičky na budovy a izolačné tabuľky; značné uplatnenie má ako plnidlo do gúm, mydiel, farieb, plastík a na filtračné účely.

Najekonomickejšie je dovážať surovú horninu až na miesto väčšej spotreby a tam ho expandovať.

V Laboratóriu pre výskum nerastných surovín pri Katedre geológie a mineralogie v Košiciach boli zhotovené chemické analýzy perlítov, smolkov a obsidiánov z lokality Viničky (Seleška), Byšta a spod Szabovej skaly pri Hliníku nad Hronom [okrem analýzy vz. I a III; (Ambrož, Kokta)].

Výsledky analýz sú tieto:

Chemické analýzy lokality Viničky

Chemická analýza	Obsidián vzor. 42	Obsidián vzor. I.	Obsidián vzor. 48	Obsidián vzor. III.	Obsidián vzor. 41
SiO_2	74,59	75,10	66,93	75,75	68,51
TiO_2 stopy		stopy	0,40	0,02	stopy
Al_2O_3	13,44	14,07	15,74	13,73	15,60
FeO	2,64	0,84	1,57	—	1,62
MnO	0,03	0,04	0,03	—	stopy
MgO	0,34	0,36	1,07	0,03	0,53
CaO	1,42	1,23	3,30	1,25	2,20
Na_2O	3,15	3,54	3,12	2,25	2,51
K_2O	3,95	4,37	3,0	4,92	3,55
P_2O_5	0,17	—	0,16	stopy	0,11
+ H_2O	—	0,19	1,55	0,18	2,99
- H_2O	0,05	0,01	0,13	0,09	0,66
	100,36	100,12	100,36	100,26	100,39

Urobili sa aj predbežné skúšky pre určenie napučiavania nielen z perlítov z Viničky, Byšty a Hliníka n/Hronom, ale aj z iných vulkanických kyslých hornín z Prešovsko-tokajského a Zemplínskeho ostrova.

1. „*Kelímková skúška*“: 2 gramy vzorky sa zomelie na 14 + 52 B. S., preoseje, vloží do platinového kelímku a uloží do elektrickej pece pri teplote 950 °C. Po 10 minútach sa kelímok vyberie a objem expandovaných produktov sa meria v kalibrovanej nádobe.

Chemické analýzy lokality Byšta

Chemická analýza	Smolek vzor. 97	Perlit vzor. 98	Ryolit vzor. 72	Ryolit vz. 60 (Brezinky – Kolbáš)
SiO ₂	72,32	76,27	75,57	77,36
TiO ₂	0,03	0,02	0,29	0,31
Al ₂ O ₃	12,68	13,73	12,65	13,67
Fe ₂ O ₃	1,18	0,70	0,57	0,62
FeO	0,99	0,42	0,97	0,44
MnO	0,01	stopy	stopy	stopy
MgO	0,08	0,06	0,38	0,39
CaO	1,25	1,32	2,45	1,55
Na ₂ O	3,14	4,30	2,80	2,04
K ₂ O	2,78	2,05	2,87	2,97
P ₂ O ₅	0,05	0,03	0,09	0,07
+ H ₂ O	4,87	0,60	0,36	0,04
- H ₂ O	0,13	0,21	0,99	0,39
	99,51	99,71	99,99	99,84

	Vzorka č. 1/58 Smolek Hliník n/Hronom	Vzorka č. 4/58 Perlit Hliník n/Hronom
SiO ₂	68,84	69,98
TiO ₂	0,24	0,42
Al ₂ O ₃	13,29	13,90
Fe ₂ O ₃	2,21	2,64
FeO	0,66	0,19
MnO	0,05	0,02
MgO	0,98	0,92
CaO	3,07	2,12
Na ₂ O	2,36	2,37
K ₂ O	4,74	4,29
P ₂ O ₅	0,04	0,03
H ₂ O +	3,55	2,73
H ₂ O -	0,02	0,22
Spolu:	99,97	99,83

Predbežné výsledky sú na tabuľke (str. 179).

Z uvedených predbežných skúšok vidieť, že niektoré vzorky pri zohriati zväčšujú svoj objem o 50 %.

Prudká skúška: 0,2 gramov vzorky spracovanej ako vyššie dá sa do neprikrytej platinovej mištičky a 2 minúty sa zohrieva. Zaznamenáva sa charakter expanzie „napučiavania“ a farba vzniklého produktu. Objem produktu sa nemeria.

Pri prudkej skúške neboli pozorované žiadne zmeny. Petrografiú a chemizmus vulkanických skiel z východného Slovenska spracujeme neskôr a porovnáme ju s výsledkami dosiahnutými v USA, na Novom Zélande a v Japonsku.

Výsledky „kelimkovej skúšky“

Vzorka	Veľ. čiast. drveného materiálu po pre- osiati	Teplota	Celk. hust. merané kabib. váh 50 ml		Váha	
			počiatočná	konečná	počiatočná	konečná
98/55	-14	950	2 ml	2 ml	2 g	1,90 g
98/55	-15	950	2 ml	2 ml	2 g	1,90 g
98/55	-18	950	2 ml	2 ml	2 g	1,90 g
98/55	-19	950	2 ml	2 1/2 ml	2 g	1,90 g
41/56	-14	960	2 ml	3 ml	2 g	1,90 g
41/56	-15	950	2 ml	3 ml	2 g	2,00 g
41/56	-18	980	2 ml	3 ml	2 g	1,90 g
41/56	-19	950	2 ml	3 ml	2 g	1,95 g
1/58	-14	950	2 ml	2 ml	2 g	1,90 g
1/58	-15	950	2 ml	2 ml	2 g	1,95 g
1/58	-18	980	2 ml	2 ml	2 g	1,95 g
1/58	-19	980	2 ml	2 ml	2 g	1,95 g
Vzorka z Madarska	-14	1000	2 ml	3 ml	2 g	1,95 g
Vzorka z Madarska	-15	1000	2 ml	3 ml	2 g	2,00 g
Vzorka z Madarska	-18	1000	2 ml	3 1/2 ml	2 g	1,90 g
Vzorka z Madarska	-19	1000	2 ml	3 1/2 ml	2 g	2,00 g
59/55	-14	1000	2 1/2 ml	3 ml	2 g	2,00 g
65/55	-14	1000	2 1/2 ml	3 ml	2 g	1,95 g
98/55	-14	1020	2 1/2 ml	3 ml	2 g	1,90 g
100/55	-14	1000	2 1/2 ml	3 ml	2 g	1,95 g
101/55	-14	1000	2 1/2 ml	3 ml	2 g	1,95 g
150/55	-14	1000	2 ml	2 1/2 ml	2 g	1,90 g
152/55	-14	1080	3 ml	4 ml	2 g	2,00 g
154/55	-14	1000	3 ml	4 ml	2 g	1,95 g
155/55	-14	1000	2 ml	4 ml	2 g	1,95 g
157/55	-14	1000	2 ml	3 ml	2 g	1,90 g
72/56	-14	1010	2 ml	3 ml	2 g	1,95 g
48/5	-14	1000	2 ml	3 ml	2 g	1,95 g

Ak by slovenské vulkanické sklá mali požadované vlastnosti, malo by to veľký význam pre náš priemysel.

Stále rastúce požiadavky stavebného priemyslu vyžadujú si rozšírenie produkcie rozličných druhov lahlkých hmôt do betónu. Pri tejto príležitosti chcela by som poukázať na to, že aj afanitické výlevné horniny by sa mohli použiť na výrobu expandovaných lahlkých hmôt. Vyžaduje sa však od nich určitá rovnováha kremíka, hliníka a tekavých zložiek tak, aby parciálna tavenina vytvorila lahlčenú hmotu tým, že udrží v sebe plyny, ktoré sa pri týchto teplotách uvolňujú. Ak obsah kremíka prevyšuje tieto požiadavky, spôsobuje, že tavenie prebieha pri veľmi vysokých teplotach.

kých teplotách, takže výroba materiálu nie je ekonomická. Vysoký percentuálny obsah zložiek CaO, MgO, FeO, K₂O a Na₂O spôsobuje rýchlu efúziu a hornina v dôsledku príliš nízkej teploty nezachováva v sebe plynové bubliny, ktoré sa počas tavenia vytvárajú. Rozdiely sú zvýraznené plochou, ktorá na kompozičnom diagrame obkružuje všetky body, odpovedajúce vzorkám podrobeným zohrievaniu. Bolo zistené, že mnoho bežných typov vyvrelých hornín má obdobné chemické zloženie, aké uvádza Ch. M. R il l e y. Niektoré z týchto hornín s faneritickými štruktúrami boli podrobené výskumu. Všetky vykazovali expanziu, iba ak sa najprv jemne zomleli a potom zlisovali do brikiet. V starších práciach sa naznačuje, že afanitické ekvivalenty týchto hornín by mali expandovať bez predbežnej prípravy.

Predbežné práce ukázali, že kyslé a intermediálne horniny mávajú chemické zloženie s vhodným pomerom alumínia, kremíka a tavených zložiek a vytvárajú čiastočné taveniny s viskozitou dostatočne vysokou, aby sa zachovávala bublinatosť pri teplotách medzi 970 – 1120 °C. Schopnosť týchto hornín expandovať závisí od ich afanitickej a sklovitej štruktúry a vhodných chemických a minerálnych zložiek. Skúšky ryolitov, dacitov, andezitov a iných hornín ukazujú, že tieto sú zväčša dostatočne schopné expandovať a hodia sa na priemyselné použitie.

*Laboratórium pre výskum nerastných surovín,
Banicka fakulta — Košice,
vedúci: prof. dr. Ján Šalát*

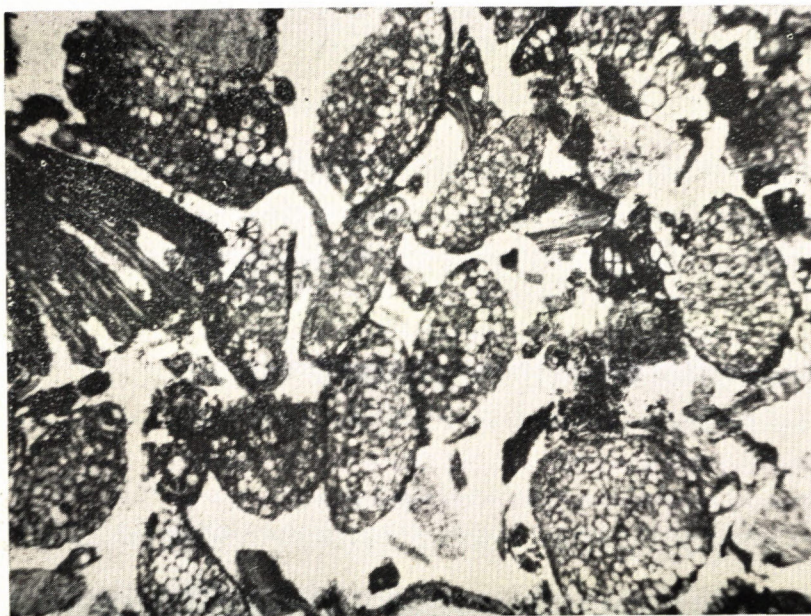


O b r. 1: Dejekčný kužel v pliocennych štrkoch východne od Čoltova.

Foto: L. Ivan



O b r. 2: Striedanie tufov a tufitických štrkov východne od Nižného Skalníka. Foto: L. Ivan



Obr. 1: Vložka miogypsinového vápenca z bazálnych zlepencov z Uraš pusty (mikrosnímka)
Foto Osvald



Obr. 2.: Vložka organogenného vápenca z bazálnych zlepencov z Bretky (mikrosnímka)
Foto Osvald



Obr. 1: Problematicum typu Zoophycus. Menilitové vrstvy výravskej bachysynklinálnej dukelských vrás pri Svetliciach

Foto T. Ďurkovič



Obr. 2: Problematicum Zoophycus. Paleogén vlárskeho vývoja synklinálneho pásma Chabovej

Foto V. Sitár

GEOLOGICKÉ PRÁCE

Zprávy 15

Vydáva Geologický ústav Dionýza Štúra v Bratislave
vo Vydavateľstve Slovenskej akadémie vied v Bratislave

Hlavný redaktor doc. dr. Michal Maheľ
Technický redaktor Jozef Bielik

301.03. Daň 5 %. P. č. 672. Náklad 1100 výtlačkov.
Papier 5154-01 70×10, 80 g. PH 8,05, AH 14,40,
VH 14,79. 1251/1957-VO.

Vytlačila Pravda, vydavateľstvo ÚV KSS, Bratislava

Cena brož. Kčs 17,50

301-03

56/III-3

A-530309